

بسم الله الرحمن الرحيم

ديناميات الطيران

اختصار وترجمة وانتقاء من كتاب

Flight Dynamics Principles

تأليف

M. V. Cook

الطبعة 1997

اعداد

المهندس عبد الرحمن

الطبعة الأولى

مقدمة المساق

هذا المساق يتحدث عن ديناميات الطيران . ويتوقع من الطالب بعد اتمام هذا المساق أن يكون قادر على معرفة إن كان تصميم الطائرة مستقر أم لا ، وحساب خصائص استجابة الطائرة لأمر تحكم معين .

منهج الترجمة والاختصار والانتقاء

الانتقاء:

قمت بانتقاء مواضيع الكتاب التي تفيد الدارس في هذه الدورة ؛ مسترشداً بخطة تخصص هندسة الطيران في الجامعات، مع بعض الاجتهادات الشخصية في حذف بعض المواضيع قليلة الأهمية. وأحياناً أشرت إلى مواضيع بعض المواضيع في الكتاب الأصلي لمن أراد التوسع. وشمل الانتقاء أيضاً المسائل والأمثلة.

الاختصار:

لم أقم بتلخيص النصوص حتى لا أخل بالمعنى. بل تركز الاختصار على حذف معظم الاشتقاقات الرياضية؛ حيث حاولت إعطاء العلاقة النهائية مباشرة دون الاهتمام الكبير بكيفية الوصول إليها. كما اختصرت بعض النصوص التي رأيت أن اختصارها أفضل.

الترجمة:

حاولت أن أترجم ما انتقيته من هذا الكتاب ترجمة حرفية قدر الامكان. أما المصطلحات التخصصية فقد استخدمت معجم متخصص، لكن للأسف لا توجد فيه جميع المصطلحات التي واجهتها؛ ولذلك سأكتب الترجمة التي اعتمدتها للمصطلحات اللازمة في قائمة في نهاية كل وحدة وسأسميها " قائمة ترجمة المصطلحات ". لكن للعلم لم أضع بعض المصطلحات قليلة التكرار في "قائمة ترجمة المصطلحات"؛ بل ترجمتها وأتبعتها بالأصل الانجليزي بين قوسين. ونفس الكلام عندما تكون الترجمة لا تعطي المعنى الدقيق للكلمة الانجليزية، أو عندما تكون هناك عدة مرادفات انجليزية لنفس الكلمة العربية، وأحياناً أفعل نفس الشيء للكلمات التي اعتمدت ترجمة لها في " قائمة ترجمة المصطلحات " ! . وأنصح الدارس أن يهتم بالمصطلحات الانجليزية؛ حتى

يمكن من فهم المراجع الانجليزية - إذا احتاجها - ، وأيضاً كي يسهل عليه فهم المراجع العربية التي تستخدم ترجمة مصطلحات مختلفة عن التي اخترتها (والتي تضع الأصل الانجليزي عادةً) . هذا بالإضافة إلى ارتباط الرموز - حتى في هذه الدورة - بالمصطلحات الانجليزية.

ملاحظة:

الوحدات والدروس والمسائل والمعادلات والأشكال والأمثلة - لها نفس الأرقام الموجودة في الكتاب الأصلي، لذا عندما يأتي الدرس 3.4 بعد الدرس 3.2 فهذا يعني فقط أن الدرس 3.3 ليس موجوداً في هذا المختصر.

مختصر مقدمة الكتاب (مأخوذة من الفصل الأول):

هذا الكتاب يركز على الاستقرار والتحكم والخصائص الدينامية للطائرة. وهذا من أجل الطيران الآمن والجيد. سوف نركز على المفاهيم الأساسية وأيضاً على تطبيقاتها بواسطة أمثلة محلولة.

الفهرس:

مقدمة المساق

منهج الترجمة والاختصار والانتقاء

مختصر مقدمة الكتاب

الفهرس

2

نظام المحاور والرموز

Systems of axes & notation

2.2 المحاور المثبتة بالطائرة

2.2.1 محاور الجسم (body axes)

2.2.2 المحاور الايرودينامية (أو محاور الريح أو محاور الاستقرار)

2.2.3 متغيرات الإقلاق

2.5 الجيومترية المرجعية للطائرة

- 2.5.1 مساحة الجناح
- 2.5.2 المتوسط الايرودينامي للوتر (mac)
- 2.5.3 المتوسط المعياري للوتر (smc)
- 2.5.4 النسبة الباعية
- 2.5.5 موقع مركز الجاذبية (cg)
- 2.5.6 ذراع عزم الذيل (tail moment arm) ونسبة حجم الذيل (tail volume ratio)
- 2.5.7 ذراع عزم الزعنف (fin moment arm) ونسبة حجم الزعنف (fin volume ratio)
- 2.6 رموز المتحكمات (controls notation)
- 2.6.1 التحكمات الايرودينامية
- 2.6.2 التحكم بالمحرك
- 2.7 المراكز المرجعية الايرودينامية

3

التوازن الاستاتي والوزانة

Static equilibrium and trim

- 3.1 التوازن الوزاني
- 3.1.1 تمهيد
- 3.1.2 ظروف الاستقرار
- 3.1.3 درجة الاستقرار
- 3.1.4 التغيرات في الاستقرار
- 3.1.4.1 تأثيرات المحرك
- 3.2 معادلة عزم الخطران
- 3.2.1 انشاء بسيط لمعادلة عزم الخطران
- 3.2.2 زاوية الرافع للوزانة
- 3.2.3 اختبار الاستقرار الاستاتي الطولانية

3.3 الاستقرارية الإستاتية الطولانية

3.3.1 الاستقرارية في حالة المتحكمات المثبتة

3.3.2 الاستقرارية في حالة المتحكمات الحرة

3.3.3 خلاصة الاستقرارية الطولانية الاستاتية

3.4 الاستقرارية الجانبية الاستاتية

3.5 الاستقرارية الاستاتية الاتجاهية

4

معادلات الحركة

Equations of motion

4.1 معادلات الحركة لطائرة متماثلة

4.1.1 مركبات التسارع القصوري

4.1.2 المعادلات العامة للقوة

4.1.3 المعادلات العامة للعزوم

4.1.4 قوى وعزوم القلقة

4.2 المعادلات المخطوطة للحركة (lineaized equation of motion)

4.2.1 حدود الجاذبية (gravitational terms)

4.2.2 الحدود الإيرودينامية (Aerodynamic Terms)

4.2.3 حدود المتحكمات الإيرودينامية (Aerodynamic control terms)

4.2.4 حدود القدرة (للمحرك) (power terms)

4.2.5 معادلات الحركة للقلقات الصغيرة

4.3 معادلات الحركة اللامتقارنة

4.3.1 معادلات الحركة الطولانية

4.3.2 معادلات الحركة الجانبية-الاتجاهية

5

حل معادلات الحركة

The Solotion of Equations of motion

5.1 طرق الحل

- 5.3 اقترانات التحويل لاستجابة الطائرة
- 5.3.1 اقترانات التحويل لاستجابة الطولانية
- 5.3.2 اقترانات التحويل للاستجابة الجانبية
- 5.4 الاستجابة للمتحكمات
- 5.5 اقترانات التحويل للتسارع
- 5.7 اقترانات تحويل اضافية
- 5.7.1 اقتران التحويل لاستجابة الارتفاع
- 5.7.2 اقتران التحويل لاستجابة زاوية السقوط والانزلاق الجانبي
- 5.7.3 اقتران التحويل لزاوية مسار الطيران

6

الديناميات الطولانية

Longitudinal Dynamics

- 6.1 الاستجابة للمتحكمات
- 6.6.1 المعادلة المميزة
- 6.2 أنماط الاستقرار الدينامية
- 6.2.1 التذبذب الخطراني قصير الفترة
- 6.2.2 النمط الدوري (phugiod)
- 6.3 النماذج مُخَفَّضَة الرتبة (reduced order models)
- 6.3.1 تقريب النمط قصير الفترة
- 6.3.2 تقريب النمط الدوري

7

الديناميات الجانبية - الاتجاهية

Lateral-Directional Dynamics

- 7.1 الاستجابة للمتحكمات
- 7.1.1 المعادلة المميزة
- 7.2 أنماط الاستقرار الدينامية
- 7.2.1 نمط الفتور العطوفي
- 7.2.2 النمط الحزوني
- 7.2.3 نمط العطوف الهولندي
- 7.3 النماذج مخفضة الرتبة
- 7.3.1 تقريب نمط العطوف
- 7.3.2 تقريب النمط الحزوني
- 7.3.3 التقريب لنمط العطوف الهولندي

9

الاستقرارية Stability

- 9.1 مقدمة
- 9.1.1 تعريف الاستقرارية
- 9.1.3 الاستقرارية الاستاتيكية والدينامية
- 9.1.4 التحكم
- 9.2 المعادلة المميزة
- 9.3 الاستقرارية للرتبة الرابعة

13

مشتقات التحكم والاستقرارية الايرودينامية Aerodynamic stability & control derivatives

الملحقات

الملحق 1

تعريف مشتقات الاستقرارية والتحكم الايرودينامية

الملحق 2

اقتترانات التحويل للطائرات بالنسبة لمحاور الجسم (body axes)

الملحق 3

الوحدات والثوابت والتحويلات

الملحق 5

ديناميات لنظام خطي ثنائي الرتبة

The Dynamics Of Linear Second Order System

الملحق 6

صيغ تقريبية لمشتقات الاستقرار والتحكم الايرودينامية اللابعدية

الملحق 7

تحويل مشتقات الاستقرار الايرودينامية من محاور الجسم إلى محاور الريح، والعكس

الملحق 8

تحويل عزوم القصور الذاتي ومضاريب القصور من محاور الجسم إلى محاور الريح، والعكس

بسم الله الرحمن الرحيم

2

نظام المحاور والرموز

Systems of axes & notation

قبل الدخول في المهمة الرئيسية وهي تطوير نماذج رياضية للطائرة؛ يجب أولاً أن نضع أساس متين لهذه النماذج. هذا الأساس هو هيكل رياضي يمكن اشتقاق معادلات الحركة ضمنه بطريقة مرتبة ومتناسقة. بما أن الطائرات لها ست درجات حرية؛ فإن وصف حركتها سيكون معقد نسبياً. لذا، فإن الحركة بوصف عادةً بعدد من المتغيرات المرتبطة بنظام محاور مناسب.

2.2 المحاور المثبتة بالطائرة

2.2.1 محاور الجسم (body axes)

وهو نظام محاور مثبت بالطائرة ويتحرك معها. وهو نظام المحاور $(o x_b y_b z_b)$ المبين في الشكل 2.2. مركز المحاور o عادةً يكون عند مركز الجاذبية (center of gravity) (cg).

2.2.2 المحاور الايرودينامية (أو محاور الريح أو محاور الاستقرار)

عادةً نعرف نظام المحاور المثبتة بالطائرة بحيث أن المحور ox يوازي متجه السرعة الكلية V_0 كما هو مبين في الشكل 2.2. في الطيران المستقر المتماثل، محاور الريح (wind axes) $(o x_w y_w z_w)$ هي نسخة من محاور الجسم؛ بحيث تدور المحاور حول المحور oy_b بزاوية سقوط الجسم المستقر (steady incidence angle) a_e ، بحيث يصبح المحور ox_w موازي لمتجه السرعة. هناك دائماً قيمة وحيدة لزاوية سقوط الجسم a_e لكل ظرف طيران، لكنها تختلف من ظرف طيران لآخر، وقيمتها عادةً بين $-10^\circ \leq a_e \leq 20^\circ$.

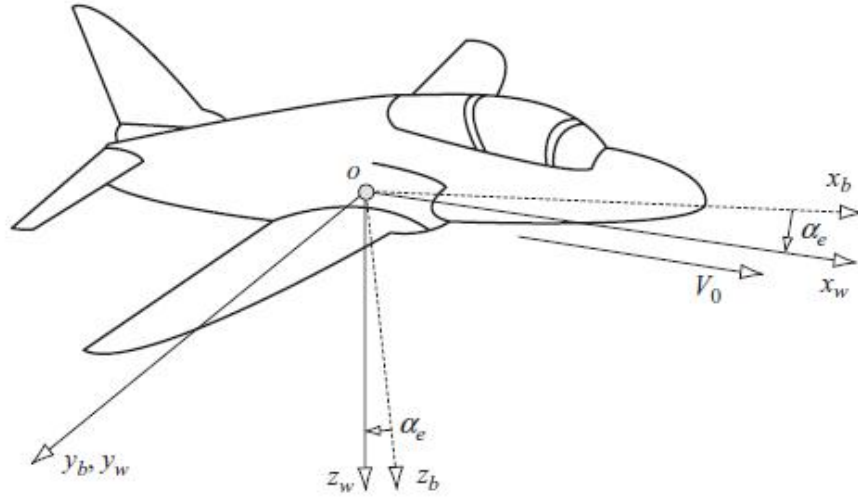


Figure 2.2 Moving axes systems.

الشكل 2.2

2.2.3 متغيرات الإقلاق

حركة الطائرة موصوفة بدلالة القوة والعزوم والسرعات الخطية والزاوية والوضع (attitude) ، والتي يمكن تحويلها إلى مركبات بالنسبة لمحاور مختارة مثبتة بالطائرة (ونفضل محاور الجسم). لذا نفترض أن الطائرة تطير ابتداءً بطيران مستقر ومستقيم (لكن ليس بالضرورة على ارتفاع ثابت) عندما تكون زاوية سقوط الجسم a_e والسرعة المستقرة V_0 يمكن تحليلها إلى مركبات U_e و V_e و W_e كما هو مبين في الشكل 2.3. في الطيران المستقر غير المتسارع تكون الطائرة في حالة توازن (equilibrium) والقوى والعزوم المؤثرة على الطائرة متعادلة ومجموعها صفر. الظروف الابتدائية عادةً تسمى التوازن الوزاني (trimmed equilibrium) .

عندما تُقلَب (disturbed) الطائرة من وضعية الوزانة؛ فإن القوى والعزوم تصبح غير متعادلة ونعرف الحركة العابرة (transient) بدلالة متغيرات الإقلاق المبينة في الشكل 2.3 وملخصة في الجدول 2.1 .

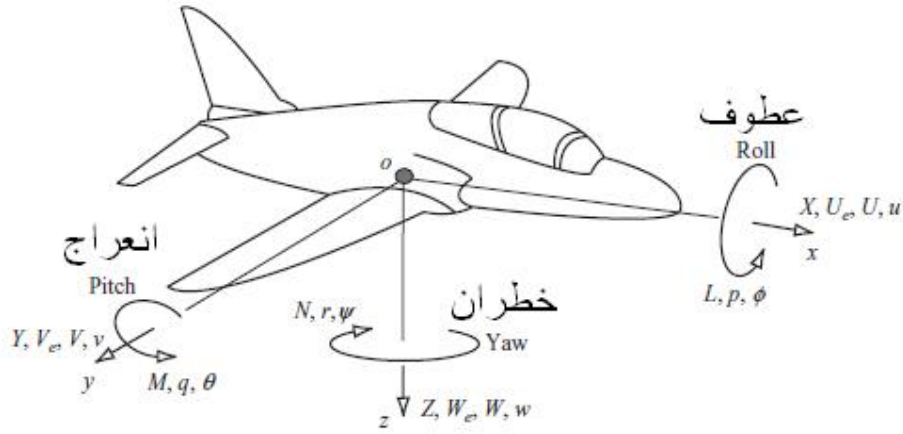


Figure 2.3 Motion variables notation.

الشكل 2.3

الجدول 2.1 ملخص متغيرات الحركة

المُتَلَقَّ (Perturbed)			التوازن الوزاني Trimmed equilibrium			
oz	oy	ox	oz	oy	ox	محاور الطائرة
Z	Y	X	0	0	0	القوة
N	M	L	0	0	0	العزم
W	V	U	W_e	V_e	U_e	السرعة الخطية
r	q	p	0	0	0	السرعة الزاوية
y	q	f	0	q_e	0	الوضع (attitude)

مركبات الكميات الخطية (القوة والسرعة و....) تكون موجبة عندما تكون بنفس اتجاه المحاور الخاصة بها. الاتجاه الموجب لمركبات الكميات الدورانية (العزم والسرعة الزاوية والوضع (attitude) و....) يُحدد كالتالي: العطوف (roll) الموجب حول المحور ox يكون بحيث يتحرك المحور oy باتجاه المحور oz ، الخطران (pitch) الموجب حول المحور oy يكون بحيث يتحرك المحور oz باتجاه المحور ox ، الانعراج (yaw) الموجب حول المحور oz يكون بحيث يتحرك المحور ox باتجاه المحور oy . لذا، العطوف الموجب هو نزول الجناح الأيمن للأسفل، الخطران الموجب هو ارتفاع المقدمة (nose) للأعلى، والانعراج الموجب هو حركة المقدمة (nose) لليمين كما هو مشاهد من قِبَل الطيار.

وصف بسيط لمتغيرات الاقلاق مبين في الجدول 2.2 . لاحظ أن مركبات السرعات المقلقلة الخطية الكلية (U, V, W) تعطى بمجموع مركبات التوازن المستقر ومركبات الإقلاق العابر (U, V, W) ، لذا

$$\left. \begin{aligned} U &= U_e + u \\ V &= V_e + v \\ W &= W_e + w \end{aligned} \right\} \dots\dots\dots 2.1$$

الجدول 2.2 متغيرات الاقلاق (perturbation variables)

مجموع مركبات القوى الايرودينامية والدفع والوزن	القوة المحورية 'المقاومة'	X
	القوة الجانبية (side force)	Y
	القوة العمودية 'الرفع'	Z
مجموع مركبات العزوم الايرودينامية وعزوم الدفع وعزوم الوزن	عزم العطوف	L
	عزم الخطران	M
	عزم الانعراج	N
مركبات السرعات الزاوية	معدل العطوف	p
	معدل الخطران	q
	معدل الانعراج	r
مركبات السرعة الخطية الكلية لمركز الجاذبية (cg)	السرعة المحورية	U
	السرعة الجانبية	V
	السرعة العمودية	W

ملاحظة : عندما تكون الاقلاقات (perturbations) صغيرة بحيث أن الزوايا (f, q, y) صغيرة ، نستطيع الحصول على العلاقات التقريبية التالية:

$$\left. \begin{aligned} p &= \dot{f} \\ q &= \dot{q} \\ r &= \dot{y} \end{aligned} \right\} \dots\dots\dots 2.23$$

2.5 الجيومترية المرجعية للطائرة

وصف التخطيط الجيومتري للطائرة هو جزء رئيسي لعملية النمذجة الرياضية. من أجل تحليل ديناميات الطيران من المناسب وصف جيومتري الطائرة لعدد قليل من الحدود المرجعية والتي سوف نوضحها الآن وهي مبينة في الشكل 2.9

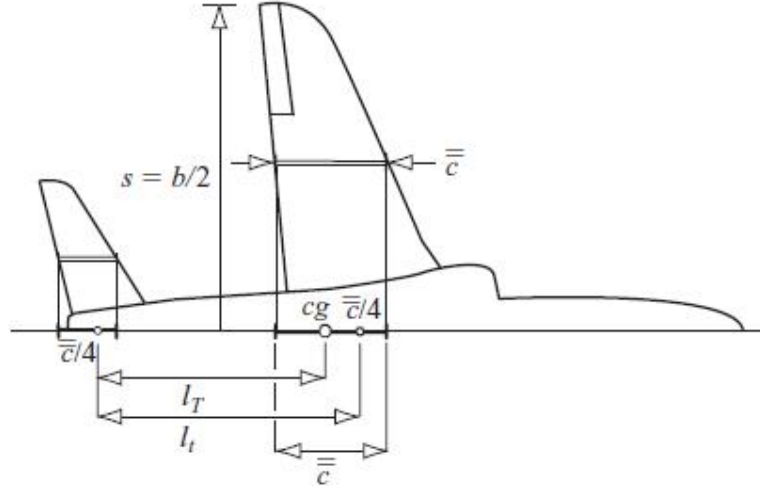


Figure 2.9 Longitudinal reference geometry.

الشكل 2.9 الجيومترية المرجعية الطولانية

2.5.1 مساحة الجناح

المساحة المرجعية هي عادةً المساحة المستوية الاجمالية للجناح بما فيها الجزء داخل جسم الطائرة ، ويرمز لها بـ S

$$S = b \bar{c}$$

حيث b هي باع الجناح و \bar{c} هي المتوسط المعياري لوتر الجناح.

2.5.2 المتوسط الايرودينامي للوتر (mac)

المتوسط الايرودينامي للوتر (mac) (mean aerodynamic chord) ويرمز له بـ

\bar{c} ويعرف كالتالي

$$\bar{c} = \frac{\int_{-s}^s c_y^2 dy}{\int_{-s}^s c_y dy}$$

نحدد موقع الـ mac المرجعي على الخط المركزي للطائرة باسقاط \bar{c} من موقعه الباعي كما هو مبين في الشكل 2.9 . لذا للأجنحة الممتدة (swept) تكون الحافة المتقدمة لـ mac بعد (خلف) الحافة المتقدمة لجذر وتر الجناح . الـ mac يمثل موقع الوتر الجذري للجناح

المستطيل الذي له نفس التأثير الايرودينامي على الطائرة للجناح الفعلي. عادةً، mac يستخدم في دراسات الاستقرار والتحكم لأن العديد من المراكز الايرودينامية تقع عليه.

2.5.3 المتوسط المعياري للوتر (smc)

المتوسط المعياري لوتر الجناح (smc) (standard mean chord) هو نفسه المتوسط الجيومترى للوتر ويرمز له بالرمز \bar{c} . وتعريفه للجناح ذو الهيئة المستوية المتماثلة:

$$\bar{c} = \frac{\int_{-s}^s c_y dy}{\int_{-s}^s dy} \dots\dots\dots 2.29$$

حيث $s=b/2$ هي نصف الباع (semi-span) و c_y هو الوتر الموضعي عند المسافة الباعية y . للجناح المستقيم المستقيم؛ معادلة 2.29 تصبح:

$$\bar{c} = \frac{S}{b} \dots\dots\dots 2.30$$

نحدد موقع الـ smc المرجعي على الخط المركزي للطائرة باسقاط \bar{c} من موقعه الباعي بنفس الطريقة المتبعة في الـ mac. لذا للأجنحة الممتدة تكون الحافة المتقدمة للـ smc أيضاً قبل الحافة المتقدمة للوتر المرجعي للجناح. الـ smc هو المتوسط المفضل للوتر من قبل مصممي الطائرات لأنه يرتبط ببساطة مع جيومترية الطائرة. لمعظم الطائرات الـ smc و mac متماثلات تقريباً في الطول والموقع وبالتالي هما عملياً قابلات للتبادل. من الشائع أن نجد مراجع (كتب) تعطي متوسط الوتر دون تحديد أيهما المقصود. هذا ليس بالأمر الجيد، بالرغم من أن الخطأ الناتج من الافتراض الوتر الخاطئ قلماً يكون خطير؛ مع ذلك، الوتر المرجعي المستخدم في أي تطبيق يجب أن يحدد بوضوح.

2.5.4 النسبة الباعية

النسبة الباعية لجناح الطائرة هي مقياس لنحالتها الباعية، ويرمز لها بـ A (أو AR) وتعرف كالتالي:

$$A = \frac{b^2}{S} = \frac{b}{\bar{c}} \dots\dots\dots 2.31$$

2.5.5 موقع مركز الجاذبية (cg)

مركز الجاذبية (cg) (center of gravity) للطائرة يقع عادةً على الوتر المرجعي كما هو مبين في الشكل 2.9. موقعه يعرف كنسبة من \bar{c} (أو \bar{c})، ويرمز له بـ h ،

ويقاس من الحافة المتقدمة للوتر المرجعي. موقع cg يتغير بتغير تحميل (loading) الطائرة ، التغير عادةً يكون بنسبة 10% إلى 40% من \bar{c} ، أي $0.1 \leq h \leq 0.4$.

2.5.6 ذراع عزم الذيل (tail moment arm) ونسبة حجم الذيل (tail volume ratio)

الـ mac للذيل الأفقي يعرف ويحدد موقعه بنفس الطريقة mac للجناح كما هو مبين في الشكل 2.9 . نفرض أن القوى والعزوم الايرودينامية للذيل والجناح تؤثر في المراكز الايرودينامية لهما، والذان يقعان تقريباً على نقطة ربع الوتر للـ mac للجناح والذيل على التوالي. ذراع عزم الذيل l_T يعرف بالمساحة الطولانية بين مركز الجاذبية والمركز الايرودينامي للذيل كما هو مبين في الشكل 2.9 . نسبة حجم الذيل \bar{V}_T هي حد جيومتري مهم ويعرف بـ

$$\bar{V}_T = \frac{S_T l_T}{S \bar{c}}$$

حيث S_T هي مساحة الذيل . نموذجياً قيمة نسبة حجم الذيل تقع بين $0.5 \leq \bar{V}_T \leq 1.3$ وهي مقياس للكفاءة الايرودينامية للذيل كأداة استقرارية.

أحياناً - وخصوصاً في دراسات الاستقرار والتحكم - من المناسب قياس العزم الطولاني للذيل حول المركز الايرودينامي للـ mac للجناح. في هذه الحالة نرسم ذراع عزم الذيل بـ l_i ، كما هو مبين في الشكل 2.9 ، ونعرف صيغة معدلة قليلاً لنسبة حجم الذيل.

2.5.7 ذراع عزم الزعنف (fin moment arm) ونسبة حجم الزعنف (fin volume ratio)

نحدد موقع الـ mac للزعنف (fin) (الذيل الرأسي) كما هو مبين في الشكل 2.10 . كما هو في الذيل الأفقي؛ فإن ذراع عزم الزعنف يعرف بالمسافة الطولانية بين مركز الجاذبية والمركز الايرودينامي للزعنف كما هو مبين في الشكل 2.10 . نسبة حجم الزعنف \bar{V}_F هي جيومترية مهم ويعرف بـ

$$\bar{V}_F = \frac{S_F l_F}{S \bar{c}}$$

حيث S_F هي المساحة الكلية للزعنف. ثانياً، نسبة حجم الذيل هي مقياس الكفاءة الايرودينامية للزعنف كأداة استقرارية اتجاهية.

كما قلنا فوق، من المناسب أحياناً قياس العزم الطولاني للقوى الايرودينامية المؤثرة على الزعنفة حول المركز الايرودينامي للـ mac للجناح. في هذه الحالة ذراع عزم الزعنفة يرمز له بالرمز l_f وهو مبين في الشكل 2.10 .

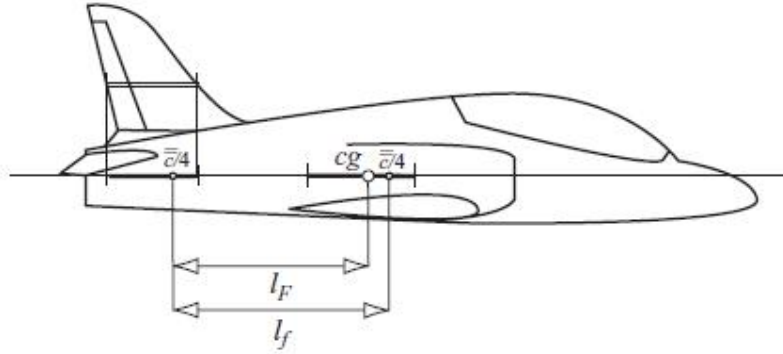


Figure 2.10 Fin moment arm.

الشكل 2.10 ذراع عزم الزعنفة

2.6 رموز المتحكمات (controls notation)

2.6.1 التحكمات الايرودينامية

- يتحكم الطيار بالطائرة بواسطة العصا (stick) والدواسة (pedal)، والآلية كالاتي:
- (i) في العطوف (roll): قوة دفع يمينية موجبة على العصا \Leftarrow ازاحة موجبة للعصا \Leftarrow الجنيح (Aileron) الأيمن للأعلى والأيسر للأسفل (أي وضع سالب) \Leftarrow يتحرك الجناح الأيمن للأسفل (عطوف موجب)
 - (ii) في الخطران (pitch): قوة سحب موجبة للعصا \Leftarrow ازاحة للخلف (موجبة) للعصا \Leftarrow الحافة الخلفية للرافع (elevator) ترتفع للأعلى (سالب) \Leftarrow ارتفاع مقدمة الطائرة (nose) للأعلى (خطران موجب)
 - (iii) في الانعراج (yaw): قوة دفع موجبة للدواسة اليمنى \Leftarrow ازاحة موجبة لقضيب الدفة (bar) (rudder) \Leftarrow الحافة الخلفية للدفة تتجه نحو اليمين (سالب) \Leftarrow مقدمة الطائرة تتجه نحو اليمين (انعراج موجب)
- ازاحات العصا للعطوف والخطران يرمز لها بـ d_x و d_h على التوالي، ونرمز لازاحة دواسة الدفة بـ d_z . ازاحات الجنيح والرافع والدفة نرمز لها بـ x و h و z على التوالي كما هو مبين في الشكل 2.11. يجب أن نلاحظ أنه - لأن الجنيحات تعمل

بصورة فرق (act differentially) الازاحة x تأخذ عادةً كقيمة متوسطة للازاحتين المختلفتين لكل جنبح.

ملاحظة: x تلفظ اكساي ، h تلفظ ايتا ، z تلفظ زيتا ، d تلفظ دلتا.

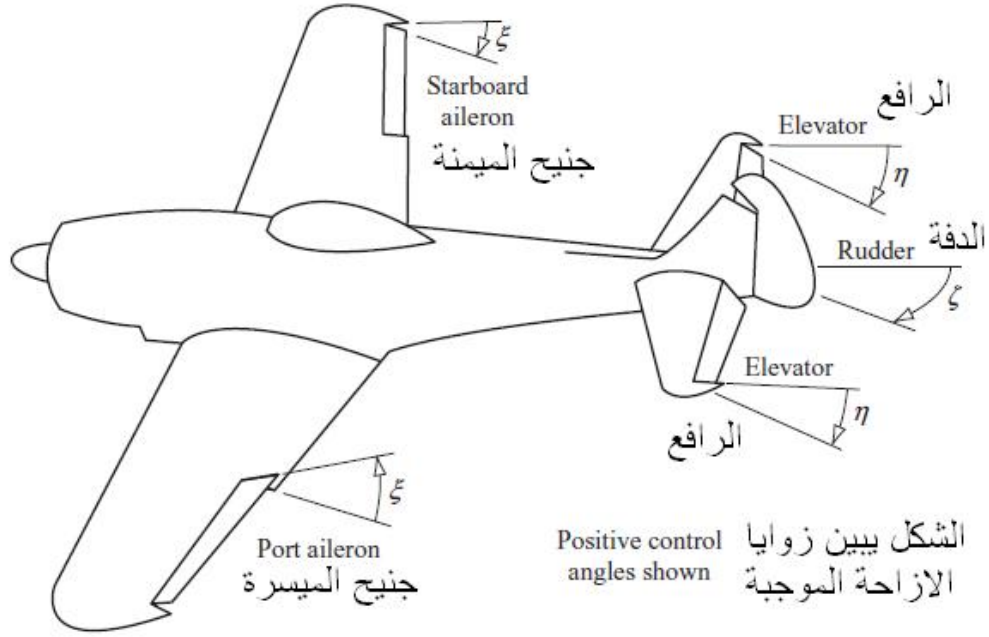


Figure 2.11 Aerodynamic controls notation.

الشكل 2.11 رموز المتحكمات الايرودينامية

2.6.2 التحكم بالمحرك

دفع (thrust) المحرك t ازاحة (e) ذراع الخنق (throttle lever) .
الازاحة موجبة لذراع الخنق - وتكون عادةً بالدفع للأمام - تنتج زيادة موجبة في الدفع .

2.7 المراكز المرجعية الايرودينامية

بالرجوع إلى الشكل 2.12 مركز الضغط (cp) (center of pressure) للمقطع الايرودينامي أو الجناح أو الطائرة ككل هي النقطة التي تؤثر عندها محصلة القوة الايرودينامية F . عادةً نحلل القوة إلى مركبة رفع (Lift) عمودية على متجه السرعة ومركبة مقاومة (Drag) موازية لمتجه السرعة ، ونرمز لهما بالرمز L و D على التوالي. نعين موقع الـ cp على الـ mac وبالتالي يصبح لدينا مركز ايرودنامي مرجعي مهم.

الـ cp للمقطع الايرودينامي يقع عادةً بين منتصف الوتر وربع الوتر . موقع الـ cp يتغير كاقتران لزاوية الهجوم ورقم ماخ والشكل . يجب أن نلاحظ أن الـ cp للطائرة كاملة

في ظروف طيران التوازن الوزاني يعطي قيمة ثابتة ($h_n \bar{c}$) لنقطة التحكم المتعادل، والتي سنناقشها في وحدة 3.

الآن نأخذ نقطة مرجعية أخرى مهمة واقعة أيضاً على الـ mac ، عند هذه النقطة القوة الايرودينامية الكلية تبقى نفسها لكنها مصحوبة بعزم خطران حول هذه النقطة. من الواضح أن أنسب نقطة مرجعية على الـ mac هي النقطة التي يبقى حولها عزم الخطران ثابت مع تغير زاوية الهجوم . هذه النقطة تسمى المركز الايرودينامي (ac) (aerodynamic center) ، وعند أرقام ماخ صغيرة تقع على - أو تكون قريبة من - نقطة ربع الوتر $\bar{c}/4$ (center) . (أنظر الشكل 2.12) . لان الـ ac تبقى تقريباً ثابتة الموقع خلال الاقلاقات الصغيرة لظروف طيران معينة ، ولان عزم الخطران ثابت حول ac ، فإننا نستخدم هذه النقطة كنقطة مرجعية في دراسات التحكم والاستقرارية . من المهم معرفة انه عند زيادة رقم ماخ للطيران فإن ac تتحرك للخلف، وفي الطيران الفوق صوتي تقع أو تكون قريبة من $\bar{c}/2$.

تعريف المركز الايرودينامي المعطى فوق كان لموقع ac على وتر المقطع الايرودينامي. لكن، هذا أيضاً ينطبق على موقعه على الـ mac للجناح نيستخرج أيضاً بكثرة لموقع الـ ac على الـ mac لمجموع الجناح-جسم الطائرة . دون فقد الكثير من الدقة. يجب أن ننبهه إلى أن الايروديناميات المعقدة لمجموع الجناح-جسم الطائرة يمكن أن تعطي ac في موقع غير ربع الوتر، لكن لن يكون بعيداً عنه كثيراً.

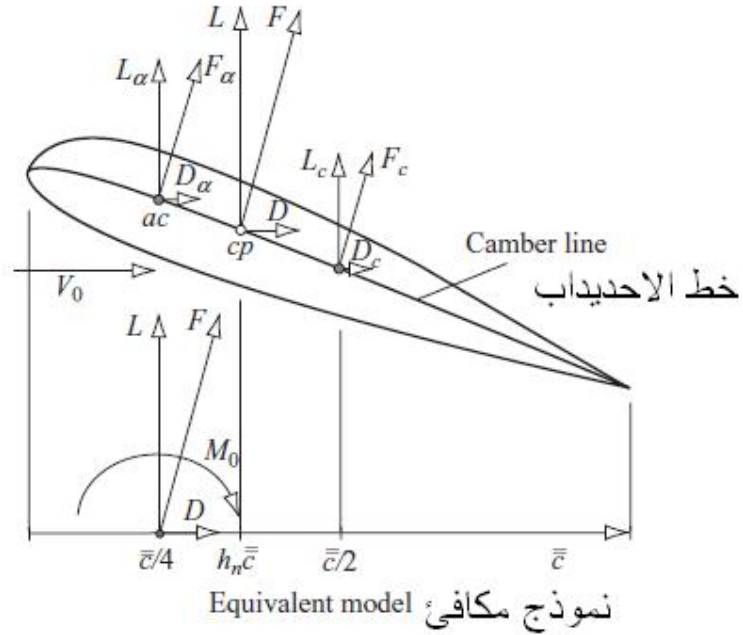


Figure 2.12 Aerodynamic reference centres.

الشكل 2.12 مراكز مرجعية ايرودينامية

Dynamics	ديناميات
Aeroplane	طائرة
Aircraft	طائرة
Axes	محاور
Axis	محور
Center of gravity	مركز الجاذبية
Steady	مستقر
Incidence	سقوط
Incidence angle	زاوية السقوط
Perturbation	إقلاق (قفلقة)
Attitude	وضع
Equilibrium	توازن
Trim	وزانة
Variable	متغير
Fuselage	جسم الطائرة
Span	باع
Chord	وتر
Swept	ممتد
Root Chord	الوتر الجذري
Tapered	مستدق
Aspect ratio	النسبة الباعية
Tail	ذيل
Wing	جناح
Fin	زعنفة
Longitudinal	طولاني
Aileron	جنيح
Roll	عطوف

Yaw	انعراج
Pitch	خطران
Pedal	دواسة
Stick	عصا
Rudder	دفة
Aileron	جنيح
Elevator	رافع
Planform	هيئة مستوية
Moment arm	ذراع عزم
Thrust	دفع
Center of pressure	مركز الضغط
Airfoil	مقطع ايرو دينامي
Trimmed equilibrium	توازن وزاني
Lift	رفع
Drag	مقاومة
Aerodynamic center	المركز الايرو دينامي
Angle of attack	زاوية الهجوم

بسم الله الرحمن الرحيم

3

التوازن الاستاتي والوزانة

Static equilibrium and trim

3.1 التوازن الوزاني

3.1.1 تمهيد

في ظروف الطيران العادية من المعتاد ان يقوم الطيار بتعديل متحكمات الطائرة بحيث أنه عند ترك المتحكمات تتابع الطائرة الطيران عند ظرف الطيران المختار. أي أن الطيار سيرتاح من ضجر متابعة المحافظة على مدخلات التحكم، وقوى التحكم والتي قد تكون متعبة. الطائرة عندها تسمى مُوازنة (trimmed)، وحالة الوزانة (trim state) تعرف الظرف الابتدائي الذي يمكن حوله دراسة الديناميات التي تهمننا. لذا جميع الطائرات تستخدم طرق للتحديد المسبق أو تعديل حالة الوزانة لسطوح التحكم الرئيسية.

الجنحيات والرافع والدفة جميعها مزودة بسطحيات تصحيح وزانية (trim tabs)، والتي في كل الطائرات - باستثناء الصغيرة - يمكن تعديلها من قبل حجرة القيادة خلال الطيران. أيضاً، جميع الطائرات مزودة بسطحيات تصحيح رافع خاضع للتعديل باستمرار. إنه متطلب رئيسي أن تبقى الطائرة مستقرة إذا كانت يجب أن تبقى متوازنة بعد الوزانة. عملياً، خصائص الاستقرارية الاستاتيية حول المحاور الثلاث تحدها وزانية (trimmability) للطائرة بصورة كبيرة. لذا، الاستقرارية الاستاتيية تهتم بأفعال التحكم اللازمة لاجداث التوازن وبالخصائص اللازمة للتأكد من أن الطائرة تبقى في حالة توازن. الاستقرارية الدينامية أيضاً مهمة طبعاً، وتحدد بقوة خصائص الحركة المؤقتة (transient) التابعة للقلقلة حول ظرف الطيران الوزاني.

هدف احداث الوزانة هو اىصال العزوم والقوى المؤثرة على الطائرة إلى حالة توازن. أي الظرف الذي تصبح فيه القوى العمودية والمحورية والجانبية وعزوم العطوف والخطران والانعراج جميعها صفر. تعادل القوى يوصف عادة تقريبياً بمتطلب مساواة الرفع للوزن والدفع للمقاومة. بشرط أن الطائرة مستقرة، فستبقى في توازن إلى حين قلقلتها بمدخلات التحكم من الطيار أو تأثيرات خارجية مثل الاضطرابات الهوائية (turbulence). الحركة الانتقالية التابعة لمثل هذه القلقللة موصوفة بخصائص الاستقرارية الدينامية. الطائرة المستقرة ستعود إلى حالة التوازن مرة أخرى.

المحافظة على التوازن الوزاني يحتاج تعديل صحيح متزامن لمتغيرات الطيران الرئيسية لدرجات الحرية الستة ويعتمد على السرعة (أو رقم ماخ) وزاوية ممر (مسار الطيران) وشكل الهيكل والوزن وموقع cg. مع تغير هذه الحدود خلال رحلة طيران ما فإن تعديلات الوزانة تصبح ضرورية. لحسن الحظ، مهمة وزانة الطائرة ليست صعبة كما قد يبدو للوهلة الأولى . متماثل الهيكل يعطي خصائص ايروديناميكية متماثلة على الهيكل، وبالتالي - عادةً - يختصر المهمة إلى الوزانة الطولانية فقط . نحتاج تعديلات الوزانة الاتجاهية-الجانبية فقط عند فقد التماثل الايرودينامي، بسبب فقد إحدى المحركات منه مثلاً .

الاستقرارية الجانبية-الاتجاهية مصممة في معظم الطائرات، وتضمن في العطوف بقاء الطائرة مستوية الأجنحة وفي الانعراج الميل للانخماد في (tend to weathercock) الريح عندما تكون الجنيحات والدفة في وضعها الصفري. لذا في الظروف الطبيعية تمتلك الطائرة توازن جانبي-اتجاهي دون تدخل من الطيار . هذا صحيح حتى عندما تحصل تغيرات ملحوظة في السرعة والشكل والوزن وموقع cg ، مثلاً، لأن تماثل الطائرة ما زال موجود. لكن، مثل هذه التغيرات في ظروف الطيران قد تؤدي إلى تغيرات كبيرة في الوزانة الطولانية

الوزانة الطولانية تتضمن تعديل متزامن لزاوية الرفع والدفع لاعطاء السرعة المطلوبة وزاوية ممر الطيران المطلوبة لشكل هيكل طائرة معين. نحصل على التوازن فقط إذا كانت الطائرة مستقرة طولانياً وتأثيرات التحكم للوزانة تعتمد على درجة الاستقرارية الاستاتية الطولانية. لأن ظرف الطيران الطولاني متغير باستمرار فمن المهم جداً أن يكون التوازن الوزاني ممكن عند جميع الظروف.

3.1.2 ظروف الاستقرارية

الاستقرارية الاستاتية للطائرة تصف رغبة (ميل) الطائرة للرجوع إلى ظرف التوازن الابتدائي بعد قلقلة صغيرة عن الوزانة. الاستقرارية الدينامية، من ناحية أخرى، تصف الحركة المؤقتة الحاصلة في عملية الرجوع إلى التوازن بعد القلقلة. الشكل 3.1 يبين رسميتين تبيان تأثيرات الاستقرارية الاستاتية والاستقرارية الدينامية لحالتين مستقرتين دينامياً. بعد قلقلة ابتدائية - مثلاً الخطران - عند الزمن $t=0$ فإن الاستجابة الزمانية اللاحقة مبينة في الشكل وتعتمد بوضوح على استقرارية الطائرة.

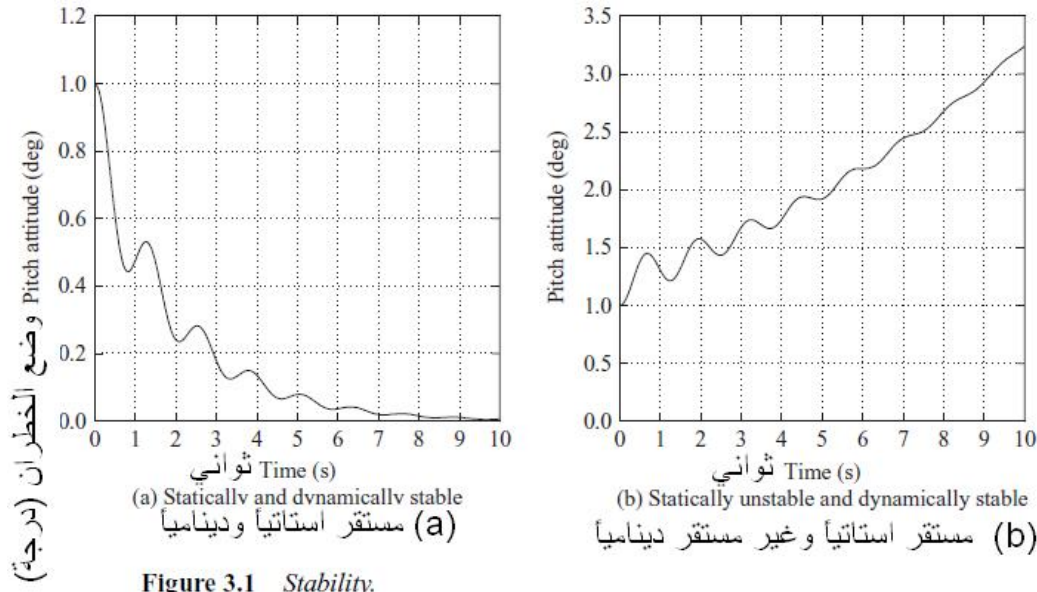


Figure 3.1 Stability.

الشكل 3.1 الاستقرار

للحصول على التوازن الوزاني يقوم الطيار بتعديل زاوية الرافع والدفع للحصول على قوة رفع كافية لتحمل الوزن ودفع كافي لمعادلة المقاومة عند السرعة وزاوية ممر الطيران المطلوبتين. بما أن الطائرة متماثلة فإن قوة التوازن الجانبية تساوي صفر بالطبع. عندما تكون السرعة فوق سرعة المقاومة الصغرى فإن تعادل القوى سيبقى مستمر مع السرعة. لذا فإن الاستقرار الاستاتيائي للطائرة تُختزل إلى تأثيرات القلقلات الزاوية حول المحاور الثلاث. بُعيد مثل هذه القلقلات فإن القوى والعزوم الايرودينامية لن تبقى في حالة توازن وفي الطائرة المستقرة استاتيائياً فإن العزوم المحصلة الناتجة سوف تجعل الطائرة تتقارب إلى وضعها الابتدائي. إذن يمكن بسهولة تحديد ظرف الاستقرار الاستاتيائي لطائرة ما.

لنأخذ قلقلات خطر ان أو زاوية سقوط (incidence) موجبات حول التوازن. هذا في اتجاه رفع مقدمة الطائرة ويعمل على زيادة السقوط a وبالتالي زيادة معامل الرفع C_L . في الطائرة المستقرة يجب أن يكون عزم الخطران الناتج عزم ارجاع (restoring)، أي في الاتجاه السالب (اتجاه خفض مقدمة الطائرة). أيضاً العكس يجب أن يكون صحيح بالطبع (أي بعد قلقلات خفض مقدمة الطائرة). لذا فإن ظرف عزم الاستقرار الاستاتيائي الطولانية يمكن تحديده بواسطة رسم عزم الخطران M أو معامل عزم الخطران C_m ، لزاويا سقوط a حول سقوط الوزانة a_e كما في الشكل 3.2. قلقلات رفع مقدمة الطائرة تزيد a وتأخذ الطائرة بعيداً عن نقطة الوزانة p حيث يصبح معامل عزم الخطران سالب وبالتالي عزم ارجاع. طبعاً قلقلات خفض مقدمة الطائرة تعطي نفس الاستنتاج. إذن الطائرة تكون مستقرة عندما يكون ميل (slope) هذه الرسمة سالب، أي أن ظرف الاستقرار هو

$$C_m = 0 \dots\dots\dots 3.1$$

$$\frac{dC_m}{da} < 0 \dots\dots\dots 3.2$$

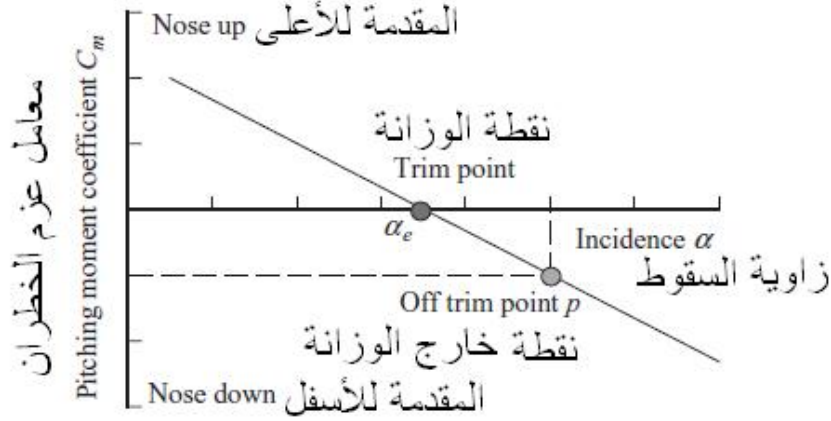


Figure 3.2 Pitching moment variation with incidence for a stable aircraft.

الشكل 3.2 تغير عزم الخطران مع زاوية السقوط لطائرة مستقرة
المعادلة السابقة تكون دقيقة لحالة الطيران دون الصوتي ، أما الطيران فوق الصوتي فنستعمل
المعادلة (الأشمل) التالية:

$$\frac{dC_m}{dC_L} < 0 \dots\dots\dots 3.3$$

بنفس الطريقة يمكن ان نثبت أن ظروف الاستقرارية الجانبية-الاتجاهية هي:

$$\frac{dC_l}{df} < 0 \dots\dots\dots 3.4$$

$$\frac{dC_n}{db} < 0 \dots\dots\dots 3.5$$

حيث C_l و C_n هي معاملات عزم العطوف والانعراج على التوالي، و f و b هي زاوية
العطوف وزاوية الانزلاق الجانبي (sideslip) على التوالي.

3.1.3 درجة الاستقرارية

كما رأينا للتو فإن ظروف الاستقرارية الاستاتيكية للطائرة حول المحاور الثلاث عند
ظروف وزانة معينة هو أن يكون ميل رسومات $C_m - a$ و $C_l - f$ و $C_n - b$ سالب.
طبعاً هناك نطاق كبير من الميل السالب، ودرجة الميل تحدد درجة الاستقرارية التي تمتلكها
الطائرة . التغير في درجة الاستقرارية الاستاتيكية الطولانية مبين في الشكل 3.3 . درجة
الاستقرارية الاستاتيكية تُعرف بدلالة هامش الاستقرارية (stability margin) التي تمتلكها

الطائرة فوق وتحت الاستقرارية الصفيرية (استقرارية التعادل) . لذا (مثلاً) هامش الاستقرارية الطولانية يرتبط مباشرة بميل رسمه $C_m - a$.

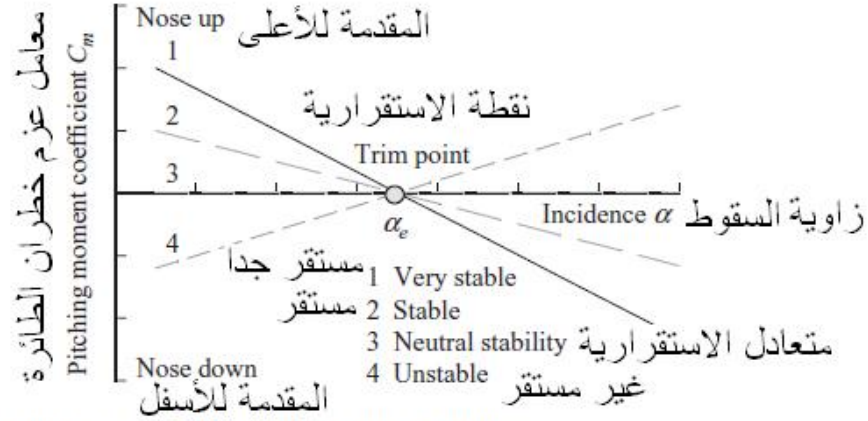


Figure 3.3 The degree of longitudinal static stability.

الشكل 3.3 درجة الاستقرارية الاستاتيكية الطولانية

بالرجوع إلى الشكل 3.3 وللفلقة معينة لـ a من الواضح أن عزم الخطران الارجاجي (C_m restoring) يكون اكبر للطائرة المستقرة كثيراً . قيمة عزم الارجاج تتناقص مع تناقص درجة الاستقرارية (أو هامش الاستقرارية) ، ويصبح عزم الارجاج صفر عند الاستقرارية المتعادلة ويصبح سالب لحالة عدم الاستقرارية أعلى كلما كان عزم الارجاج التالي لفلقة ما أكبر . هذا يعني أن الطائرة المستقرة كثيراً ستكون مقاومة للفلقة (أعني هنا الـ upset) . وهذا بدوره يعني الحاجة إلى أفعال تحكم أعلى لجعل الطائرة تغير حالة الوزانة أو للمناورة. هذا يعني أن هامش الاستقرارية يحدد قيمة أفعال التحكم اللازمة لاجداث وزانة للطائرة . هذا يعني أن الاستقرارية المفرطة يمكن أن تكون ضارة مثل الاستقرارية القليلة ، لأن طاقة التحكم المتوفرة محدودة.

كما أشرنا سابقاً فإن الاستقرارية الاستاتيكية الجانبية-الاتجاهية تكون عادة ثابتة (بسبب التصميم) وتبقى ثابتة (بدرجة أقل أو أكثر) خلال غلاف الطيران (flight envelope). إذن هامش الاستقرارية الجانبية-الاتجاهية يبقى ثابت (بشكل أساسي) لجميع ظروف الطيران (باستثناء المناورات ذات القيم (amplitudes) العالية التي تصبح بها الخصائص الايرودينامية غير خطية، وبالتالي هي خارج نطاق هذا الكتاب).

3.1.4 التغيرات في الاستقرار

التغيرات في ظروف التشغيل الايروديناميكية للطائرة - والتي تؤدي إلى تغيرات في عزم الخطران - تؤدي إلى تغيرات في الاستقرار الاستاتيكية الطولية. للطائرات الكلاسيكية الدون صوتية تكون هذه التغيرات عادة مقبولة وصغيرة، أما في الطائرات فوق صوتية الحديثة عالية الكفاءة فإن التغير الكبير في ظروف الطيران قد يؤدي إلى تغير كبير في الاستقرار الاستاتيكية؛ فمن الممكن أن تكون مثل هذه الطائرة مستقرة عند ظروف طيران معينة وغير مستقرة عند أخرى. الآن نأخذ ملخص في المصادر الرئيسية لتغير الاستقرار:

3.1.4.1 تأثيرات المحرك

عادة أكبر تغير في الاستقرار الاستاتيكية الطولية ينشأ من تأثير المحرك. التأثيرات المباشرة تنتج من نقطة تأثير وخط تأثير قوى الدفع بالنسبة للـ cg . كما هو موضح في الشكل 3.4 خطوط الدفع العالية تنتج عزم خطران في اتجاه خفض مقدمة الطائرة، وبالعكس. في ظروف الطيران الوزانية العادية فإن عزم الدفع يجمع مع العزم الايروديناميكي، وتتم وزانة عزم الخطران الكلي إلى الصفر بواسطة تعديل الرفع. لكن، أي قلقلة ايروديناميكية حول الوزانة والتي تنتج قلقلة دفع تعطي تغيرات في الاستقرار.

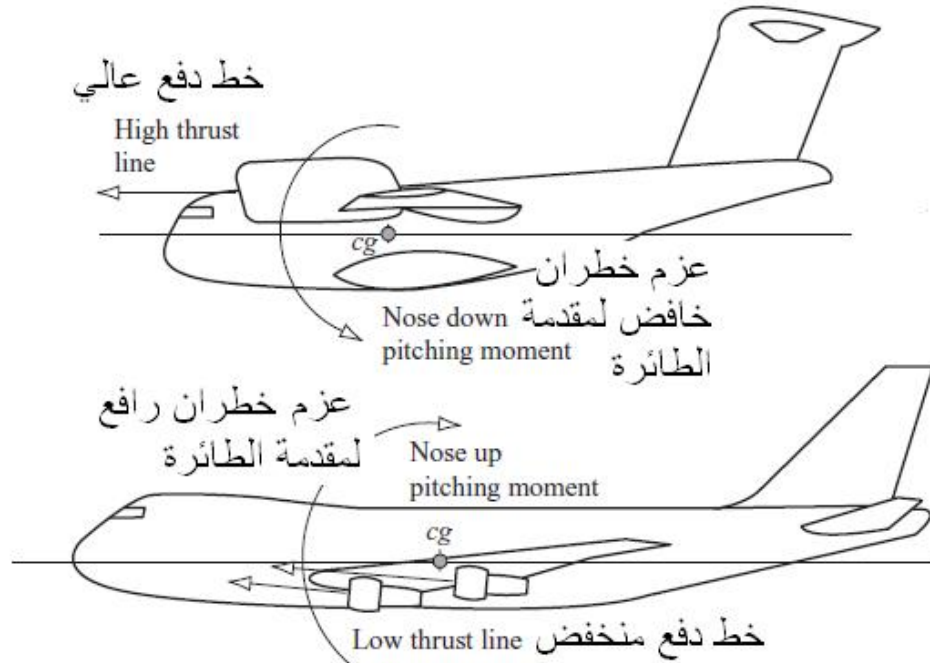


Figure 3.4 Typical thrust line effects on pitching moment.

الشكل 3.4 تأثيرات خط الدفع على عزم الخطران

التأثيرات غير المباشرة للمحركات تنتج من الدفع المستحث المرافق للمروحة ومخرها (wake) أو المدخل والمخرج للمحرك التربينى . أنظر الشكل 3.5 (بعض الشرح في الكتاب الأصلي لمن أراد)

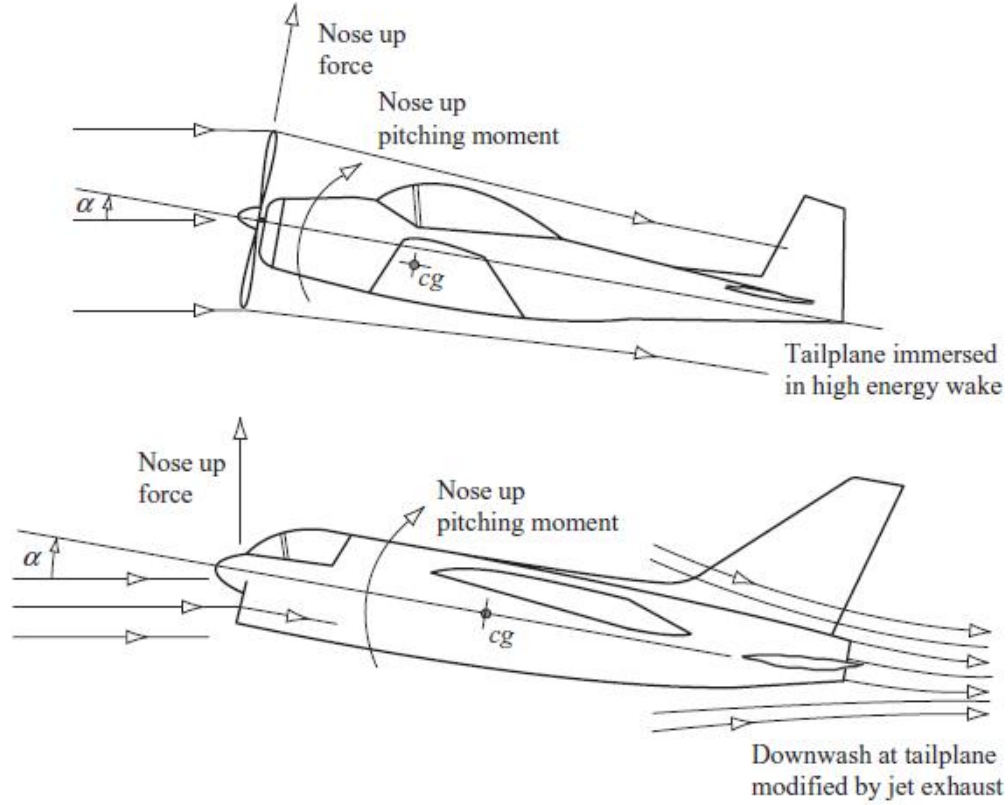


Figure 3.5 Typical induced flow effects on pitching moment.

الشكل 3.5

هناك تأثيرات أخرى أقل أهمية مبينة في الكتاب الأصلي لمن أراد ، بالإضافة إلى شرح هذه التأثيرات على رسمة $C_m - C_L$ (المهمة في تحديد الاستقرار)

3.2 معادلة عزم الخطران

بعد أن قمنا بتبيان أهمية عزم الخطران في تحديد الاستقرار الاستاتيكية الطولانية، فإن تحليل اضافي للاستقرارية يحتاج معادلة عزم الخطران. من الصعب إيجاد معادلة عزم الخطران بصورتها الكاملة (الدقيقة) لأنها تعتمد بشدة على جيومترية الطائرة. لكن من الممكن إيجاد تقريب مبسط لمعادلة عزم الخطران، والتي هي مهمة للدراسات الأولية وتعطي فهم جيد لمتطلبات الاستقرار الاستاتيكية والوزانة .

3.2.1 انشاء بسيط لمعادلة عزم الخطران

لانشاء أبسط معادلة عزم خطران ممكنة فإنه من المعتاد تعريف نموذج يبين فقط القوى العمودية وعزوم الخطران المؤثرة على الطائرة. سوف نفرض أنه في الطيران المستقر وعلى ارتفاع ثابت يكون الدفع والمقاومة في حالة توازن وتؤثران عند الـ cg ، أيضاً لقلقلات زاوية سقوط صغيرة يكون التغير في هذا التوازن غير ملحوظ. هذا الافتراض يعني أن قلقلات صغيرة في زاوية السقوط تعطي تغيرات ملحوظة في قوى الرفع وعزم الخطران فقط. هذا النموذج موضح في الشكل 3.8 .

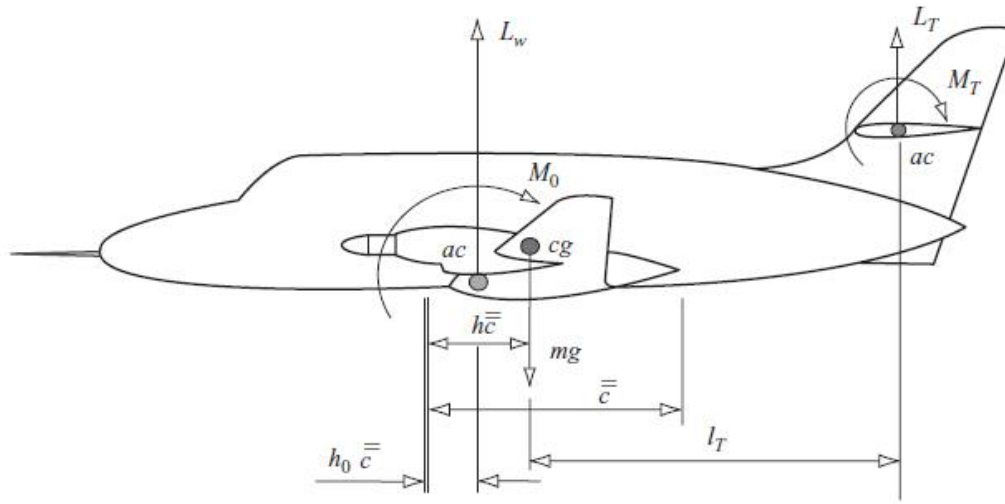


Figure 3.8 Simple pitching moment model.

الشكل 3.8 نموذج عزم خطران بسيط

من أجل نمذجة الخطران سنفرض ان النموذج مقسم لجزئين، وهما (مجموع الجناح-جسم الطائرة) و (الذيل). ثم نفرض أن الجناح وجسم الطائرة يتصرفان إيرودينامياً كأنهما جناح فقط. والذيل سنعتبره جزء منفصل لأنه يعطي الميكانيكية الايرودينامية الرئيسية للتحكم بالوزانة والاستقرارية الاستاتيكية الطولانية.

بالرجوع إلى الشكل 3.8 ، نرى أن رفع الجناح-جسم الطائرة L_w وعزم الخطران M_0 يؤثران عند المركز الايرودينامي ac . بطريقة مشابهة نفرض أن الرفع L_T وعزم الخطران M_T للذيل يؤثران عند المركز الايرودينامي للذيل. يمكن كتابة عزم الخطران الكلي M حول الـ cg كالتالي:

$$M = M_0 + L_w(h - h_0)\bar{c} - L_T l_T + M_T \dots \dots \dots 3.6$$

إذا افترضنا (كما هي العادة) أن المقطع الايرودينامي للذيل متماثل ؛ عندها M_T

تصبح صفر. إذن يمكن كتابة معادلة 3.6 بصيغة معاملات كالتالي :

$$C_m = C_{m0} + C_{L_w} (h - h_0) - C_{L_T} \bar{V}_T \dots\dots\dots 3.7$$

لتسهيل تحليل عزم الخطران من الضروري كتابة معامل رفع الذيل C_{L_T} بدلالة معاملات أكثر قبولاً، معامل رفع الذيل يمكن كتابته كالتالي :

$$C_{L_T} = a_0 + a_1 a_T + a_2 h + a_3 b_h \dots\dots\dots 3.8$$

حيث a_0 a_1 a_2 a_3 هي معاملات ايرودينامية ثابتة، a_T زاوية السقوط الموضعية (local) h ، هي زاوية الرفع b_h هي زاوية سطوح التصحيح الوزاني . لاحظ أنه بما أن المقطع الايرودينامي للذيل متماثل فإن a_0 تساوي صفر . زاوية السقوط الموضعية تتأثر بزاوية وضع الذيل h_T وتشوه الدفع الموضعي بسبب الاجتراف السفلي (downwash) خلف الجناح . جيومترية الدفع مبينة في الشكل 3.9 .

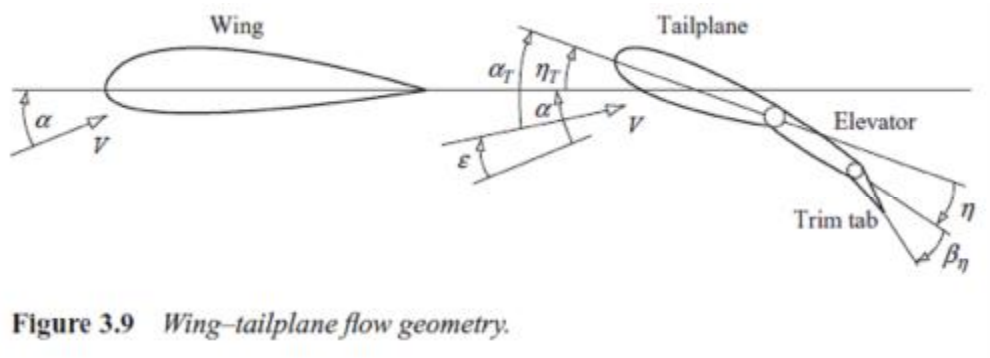


Figure 3.9 Wing-tailplane flow geometry.

الشكل 3.9 جيومترية دفع الجناح-الذيل

إذن زاوية الهجوم تعطى بالمعادلة :

$$a_T = a - e - h_T \dots\dots\dots 3.8$$

حيث e هي زاوية الاجتراف السفلي عند الذيل . بما أنه عند قلقلات صغيرة تكون زاوية الاجتراف السفلي تعتمد فقط على a . إذن :

$$a - e = a \left(1 - \frac{de}{da} \right) = \frac{C_{L_w}}{a} \left(1 - \frac{de}{da} \right) \dots\dots\dots 3.10$$

إذن

$$a_T = \frac{C_{L_w}}{a} \left(1 - \frac{de}{da} \right) + h_T \dots\dots\dots 3.11$$

وبتعويض معادلة 3.11 في 3.8 وتعويض المعادلة الناتجة في 3.7 ومع ملاحظة أن a_o تساوي صفر، نحصل على معادلة عزم الخطران في أبسط صورها :

$$C_m = C_{mo} + C_{Lw}(h - h_o) - \bar{V}_T \left(C_{Lw} \frac{a_1}{a} \left(1 - \frac{de}{da} \right) + a_2 h + a_3 b_h + a_1 h_T \right) \quad \text{.....3.12}$$

3.2.2 زاوية الرفع للوزانة

رأينا سابقاً في معادلة 3.1 أن ظرف الوزانة هو $C_m = 0$. بتطبيق هذا الظرف على معادلة 3.12 ، نحصل على زاوية الرفع اللازمة لوزانة الطائرة :

$$h = \frac{1}{\bar{V}_T a_2} (C_{mo} + C_{Lw}(h - h_o)) - \frac{C_{Lw}}{a} \left(\frac{a_1}{a_2} \left(1 - \frac{de}{da} \right) - \frac{a_3}{a_2} b_h - \frac{a_1}{a_2} h_T \right) \quad \text{.....3.1}$$

3

عندما يكون سطح التصحيح الوزاني موضوع في موضعه المتعادل ($b_h = 0$) وعند موقع Cg معين (h معين) فإن زاوية الرفع للوزانة تتغير فقط مع معامل الرفع. عند أوضاع سطح تصحيح وزاني أخرى نحتاج إلى زاوية رافع أخرى لإحداث الوزانة .

3.2.3 اختبار الاستقرار الاستاتي الطولانية

المتطلب الرئيسي لكي تكون الطائرة مستقرة استاتياً عند طرف وزانة معين معطى بمعادلة 3.2 . بمفاضلة (اشتقاق) معادلة 3.12 بالنسبة لـ C_L (أو C_{Lw}) وملاحظة أن h_T و C_{mo} ثابت ، إذن ظرف الاستقرار يعطى بالمعادلة :

$$\frac{dC_m}{dC_{Lw}} < 0$$

حيث

$$\frac{dC_m}{dC_{Lw}} = (h - h_o) - \bar{V}_T \left(\frac{a_1}{a} \left(1 - \frac{de}{da} \right) + a_2 \frac{dh}{dC_{Lw}} + a_3 \frac{db_h}{dC_{Lw}} \right) \quad \text{.....3.14}$$

3.3 الاستقرار الإستاتي الطولانية

3.3.1 الاستقرار في حالة المتحكمات المثبتة

الظرف المسمى بالمتحكمات المثبتة هي الحالة التي يكون فيها الرفع و سطح التصحيح الرفع في وضع ثابت بالنسبة لظروف الوزانة السائدة . عملياً ، هذا يعني أن الطيار يطير ويداه على المتحكمات في الوضع المثبت (fixed) اللازم لحدوث الوزانة . هذا طبعاً يفترض أن الطائرة مستقرة وتبقى في حالة وزانة.

بما أن المتحكمات مثبتة

$$\frac{dh}{dC_{Lw}} = \frac{db_h}{dC_{Lw}} = 0 \dots\dots\dots 3.15$$

معادلة 3.14 يمكن كتابتها كالتالي:

$$\frac{dC_m}{dC_{Lw}} = (h - h_o) - \bar{V}_T \frac{a_1}{a} \left(1 - \frac{de}{da} \right) \dots\dots\dots 3.16$$

أو تكتب

$$K_n = - \frac{dC_m}{dC_{Lw}} = h_n - h \dots\dots\dots 3.17$$

حيث K_n هي هامش الاستقرار للمتحكمات المثبتة، ميل رسمة $C_m - C_L$. موقع نقطة التعادل للمتحكمات المثبتة h_n على الـ الوتر الايرودينامي المتوسط \bar{c} هو

$$h_n = h_o + \bar{V}_T \frac{a_1}{a} \left(1 - \frac{de}{da} \right) \dots\dots\dots 3.18$$

للطائرات المستقرة استاتياً يكون هامش الاستقرار موجب ، وكلما كانت قيمته أكبر كلما كانت درجة الاستقرار التي تمتلكها الطائرة أكبر. بالرجوع لمعادلة 3.17 من الواضح أن الطائرة تكون مستقرة عندما يكون موقع الـ cg (h) أمام موقع نقطة التعادل للمتحكمات المثبتة (h_n) . لذا فإن هوامش الاستقرار المقبولة تحدد المجال المسموح لموقع الـ cg لطائرة معينة. الحد الخلفي عادة يكون هو نقطة التعادل للمتحكمات المثبتة، بينما الحد الأمامي تحدده القيمة القصوى لهامش الاستقرار . تذكر من درس 3.13 أن الاستقرار المفرطة يمكن أن تكون خطيرة مثل الاستقرار الضئيلة.

معنى الاستقرار للمتحكمات المثبتة يترجم بسهولة بواسطة دراسة أفعال الطيار اللازمة لعمل وزانة للطائرة في حالة المتحكمات المثبتة. سوف نفرض أن الطائرة مستقرة وبالتالي يمكن عمل وزانة لها لظروف طيران متزن. عندما تكون الطائرة في حالة اتزان وزاني ابتدائي يكون عزم الخطران يساوي صفر . معادلة 3.12 تصبح

$$0 = C_{mo} + C_{Lw}(h - h_o) - \bar{V}_T \left(C_{Lw} \frac{a_1}{a} \left(1 - \frac{de}{da} \right) + a_2 h + a_3 b_h + a_1 h_T \right) \dots\dots\dots 3.19$$

نفترض أن الطيار يمسك المتحكمات عند زاوية الرفع المطلوبة، وقدرة المحرك مضبوطة لتعطي طيران مستقر على ارتفاع ثابت و سطوح التصحيح الرفع موضوع عند $b_h = 0$. الآن، لإعادة وزانة الطائرة عند ظرف طيران جديد للمتحكمات المثبتة فإنه من الضروري أن يقوم الطيار بتحريك المتحكمات لوضع الرفع الجديد ثم مسك المتحكمات عند

هذا الوضع . على سبيل المثال ، لاعادة الوزانة عند سرعة أعلى عند وضع تكون فيه المقدمة أكثر انخفاض، فإن على الطيار أن يحرك عمود التحكم للأمام إلى أن يتم الوصول إلى الوضع الجديد المطلوب ثم يمسك العمود عند هذا الموقع. هذا طبعاً سوف يضع الطائرة في وضع هبوط إلا إذا تم زيادة قدرة المحرك بما يكفي للمحافظة على طيران على ارتفاع ثابت عند سرعة أعلى . لكن، تغيرات قدرة المحرك غير مسموح بها في نموذجنا البسيط هنا. لذا، لإحداث وزانة لطائرة مستقرة عند أي ظرف ضمن غلاف السرعة (speed envelop) ، ببساطة نحتاج اختيار زاوية الرفع الصحيحة، باقي العوامل تبقى ثابتة. لذا ، فإن المتغير في الاستقرار للمتحكمات المثبتة هي زاوية الرفع للوزانة. بمفاضلة (اشتقاق) معادلة (3.19) بالنسبة لـ C_{Lw} وبعمل نفس الافتراضات السابقة لكن مع السماح لزاوية الرفع h بالتغير مع الوزانة، ثم بعد بعض اعادة الترتيب نحصل على

$$\frac{dh}{dC_{Lw}} = \frac{-1}{V_T a_2} (h_n - h) = \frac{-1}{V_T a_2} K_n \dots\dots\dots 3.20$$

لذا، بما أن \bar{V}_T و a_2 ثابتات ، فإن مشتقة زاوية الرفع للوزانة $\frac{dh}{dC_{Lw}}$ تتناسب مع

هامش الاستقرار للمتحكمات المثبتة (K_n) . قياسات زاوية الرفع للوزانة لنطاق من ظروف الطيران - الخاضعة للظروف المذكورة - تعطي طرق عملية لتحديد خصائص الاستقرار للمتحكمات المثبتة في تجارب الطيران . على كل حال، في مثل هذه التجارب لا يمكن عموماً إهمال أثر قدرة المحرك بشكل كامل على النتائج.

3.3.2 الاستقرار في حالة المتحكمات الحرة

الظرف المسمى بالمتحكمات الحرة يعني الظرف الذي يكون فيه الرفع حر الطوفان (floating) عند الزاوية التابعة لظرف الوزانة السائد. عملياً هذا يعني أن الطيار يستطيع تطيير الطائرة ويداه مرفوعتان عن المتحكمات مع بقاء الطائرة في حالة الطيران الوزاني. مرة أخرى فرضنا أن الطائرة مستقرة ، إن لم تكن كذلك فإنها سوف تتباعد عند ترك المتحكمات. هذا الظرف يمكن الحصول عليه فقط إذا أمكن تعديل (adjust) وضع المتحكمات بحيث يطوف الرفع (float) عند الزاوية الصحيح لظرف الوزانة المطلوب (مع رفع الأيدي عن التحكم) . يمكن الحصول على هذا بتعديل (adjust) سطوح التصحيح الوزاني للرفع إلى حين الوصول إلى وضع الوزانة المطلوب. لذا فإن استقرار المتحكمات الحرة تهتم بسطوح التصحيح الوزاني وخصائص التحكم له.

(باقي التفاصيل في الكتاب الأصلي لمن أراد)

3.3.3 خلاصة الاستقرار الطولية الاستاتيكية

يمكن تلخيص التفسير الفيزيائي لمعنى الاستقرار الطولية الاستاتيكية الطولية كما في الشكل

3.14

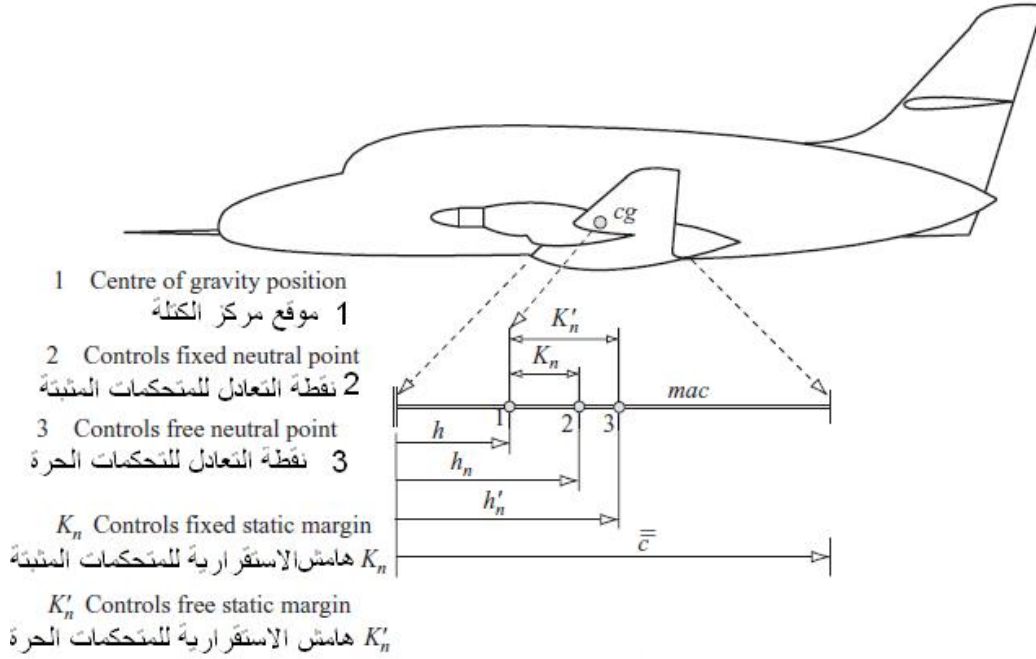


Figure 3.14 Longitudinal stability margins.

الشكل 3.14 هامش الاستقرار الطولية

الحدود المهمة هي مواقع نقاط التعادل وعلاقتها بموقع الـ cg ؛ والذي يحدد هامش الاستقرار للطائرة . هامش الاستقرار تعبر كلامياً عن درجة الاستقرار التي تمتلكها الطائرة - للتحكمات المثبتة والحرة - الهوامش إذن تحدد درجة أمان الطائرة . أيضاً ، بنفس الدرجة من الأهمية ، هامش الاستقرار تعطي مقياس لأفعال التحكم اللازمة لوزانة الطائرة . عملياً ، هامش الاستقرار للتحكمات المثبتة هو مقياس لإزاحة التحكم اللازمة للوزانة ، وهامش الاستقرار للتحكمات الحرة هو مقياس لقوة التحكم اللازمة للوزانة .

3.4 الاستقرار الجانبية الاستاتيكية

تهتم الاستقرار الجانبية الاستاتيكية بقابلية الطائرة على المحافظة على استواء (level) الجناحين. زوجية الجناح هي أكثر عامل يعطي استقراراً جانبياً استاتياً، أيضاً هناك عوامل أخرى وبعضها يقلل الاستقرار. بما أنه من المطلوب من جميع الطائرات أن تطير وجناحها

مستويان في الطيران الوزاني فإن الاستقرارية الاستاتية الجانبية تصمم في البداية . الزوجية (dihedral) هي أسهل عامل للتعديل في عملية التصميم من أجل ضبط درجة الاستقرارية لمستوى مقبول. تذكر أن الاستقرارية الاستاتية الجانبية المفرطة سوف تعطي طائرة ذات مقاومة (ممانعة) للمناورة الجانبية ، لذا فإن من المهم الحصول على درجة صحيحة من الاستقرارية. يمكن إدراك أثر اللزوجة كوسيلة للحصول على استقرارية استاتية جانبية بواسطة دراسة الوضع الموجود في شكل 3.15 . بعد قلقة جانبية صغيرة في العطوف (f) فإن الطائرة ستبدأ بالانزلاق جانبياً بسرعة انزلاق جانبي v . لنأخذ التغيير الناتج في الظروف الايرودينامية في الجناح المتقدم الذي له زاوية زوجية Γ . (يتابع الكتاب الأصلي في شرح أثر اللزوجة على إحداث الاستقرارية، ويثبت أن شرط الاستقرارية هو

$$\frac{dC_l}{df} < 0 \quad \dots\dots\dots 3.34$$

حيث C_l هو معامل عزم العطوف ، التفاصيل في الكتاب الأصلي)

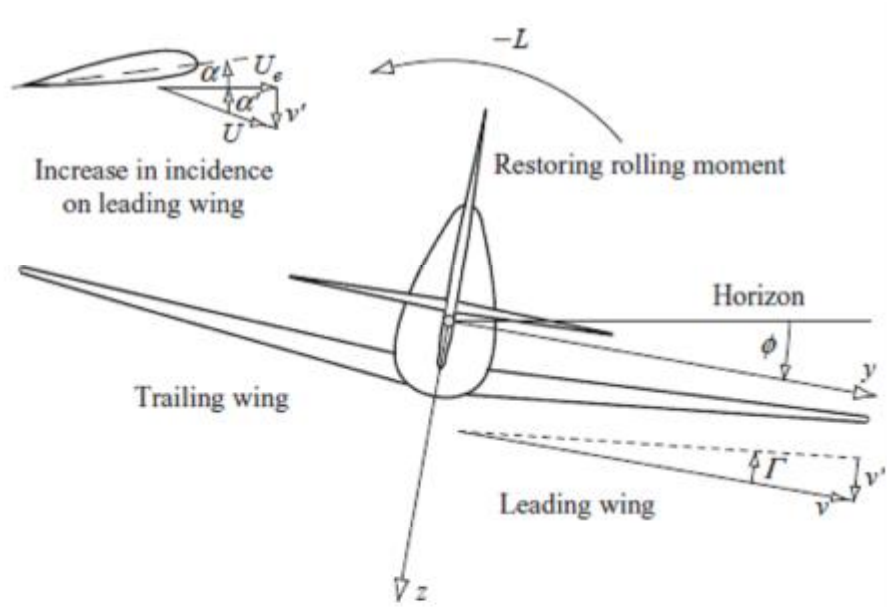


Figure 3.15 Dihedral effect.

الشكل 3.15 أثر الزوجية

سلسلة الاحداث التي تتبع قلقة الانزلاق الجانبي مبينة في الشكل 3.17 لطائرة مستقرة جانبياً ومتعادلة الاستقرارية الجانبية وغير مستقرة جانبياً . لكن تذكر أنه بعد القلقة تتحدد الحركة الناتجة بخصائص الاستقرارية الجانبية الدينامية أيضاً .

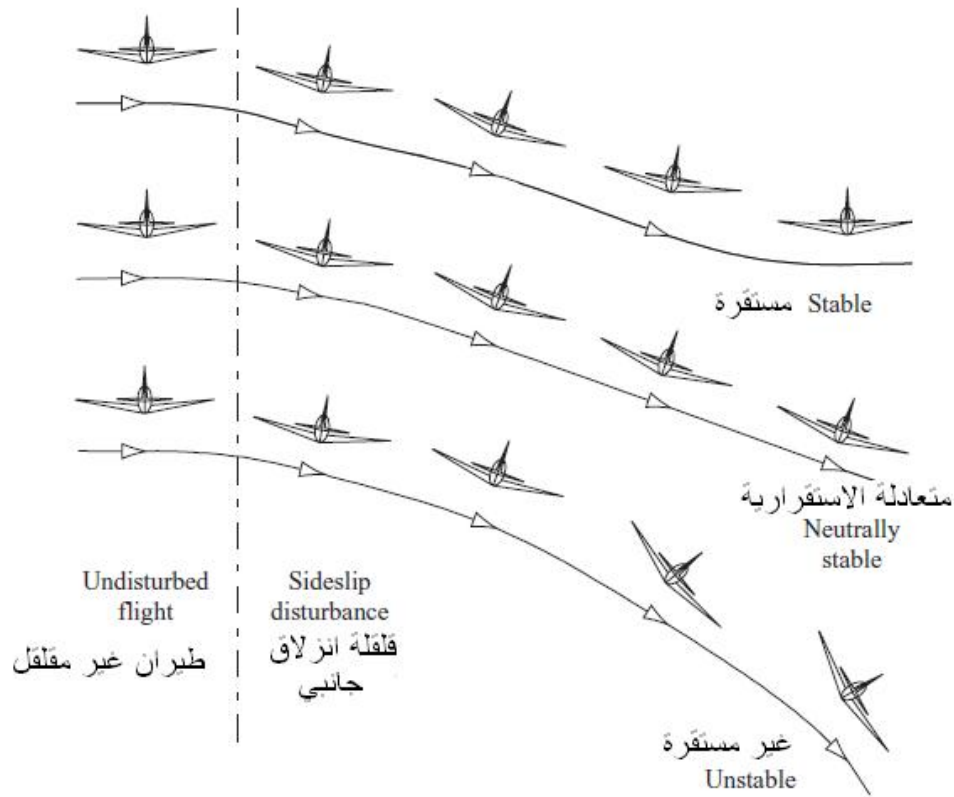


Figure 3.17 The effect of dihedral on lateral stability.

الشكل 3.17 أثر الزوجية على الاستقرار الجانبي

3.5 الاستقرار الاستاتي الاتجاهية

الاستقرار الاستاتي الاتجاهية تهتم بقابلية الطائرة للانعراج (yaw) في اتجاه الرياح في سبيل المحافظة على الاتزان الاتجاهي بما أن من المطلوب أن تطير كل طائرة بانزلاق جانبي مقداره صفر في الانعراج ، فإنه يبدأ بتصميم الاستقرارية الاتجاهية الموجبة من البداية . الزعنفة (fin) هي المساهم الرئيسي في الاستقرارية الاتجاهية ، أيضا هناك عوامل أخرى بعضها تقلل الاستقرارية . أيضا من المهم تذكر أن الاستقرارية الاتجاهية الاتجاهية المفرطة سوف تسبب مقاومة (ممانعة) في مناورة الطائرة ، لذا فإنه من المهم الحصول على الدرجة الصحيحة من الاستقرارية.

لنأخذ الطائرة المعرضة لقلقلة انزلاق جانبي موجبة ما في الشكل 3.18 . أثر سرعة الانزلاق الجانبي v ومركبة السرعة المحورية U تعطي زاوية انزلاق جانبي موجبة b . لاحظ أن زاوية الانزلاق الجانبي الموجبة هذه تعادل زاوية الانعراج السالبة y لأن مقدمة الطائرة انزاحت ليسار محصلة متجه السرعة V . الآن كما هو في الشكل 3.18 ، في القلقة

تكون الزعنفه عند زاوية هجوم غير صفريه تساوي زاوية الانزلاق الجانبي b . إذن تنتج رفع L_F والذي يؤثر في الاتجاه المبين وبالتالي ينتج عزم انعراج موجب N . عزم الانعراج يسبب الاستقرار لأنه يجعل الطائرة تنعرج لليمين إلى أن تتناقص زاوية الانزلاق الجانبي للصفر. لذا ، فإن ظرف كون الطائرة مستقرة هو اتجاهياً هو

$$\frac{dC_n}{dy} > 0 \quad (\text{أو بصورة معادلة}) \quad \frac{dC_n}{db} < 0 \dots\dots\dots 3.35$$

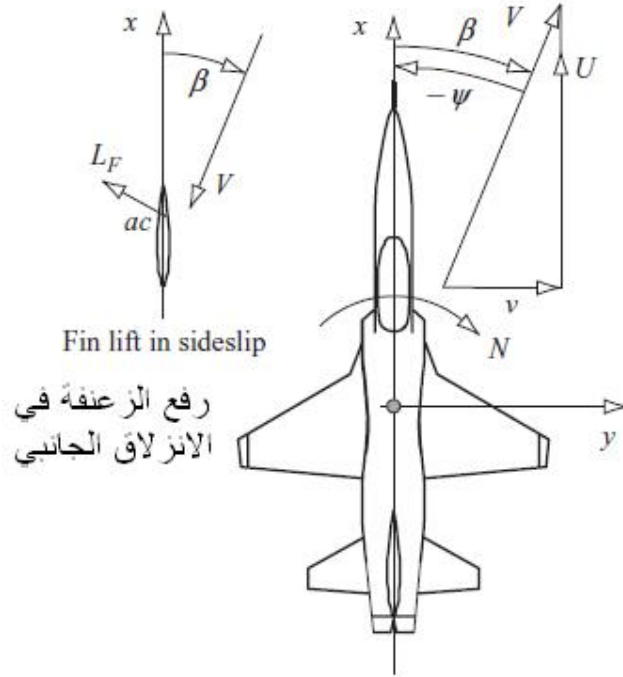


Figure 3.18 Directional weathercock effect.

الشكل 3.18 الأثر الاتجاهي (ديك الريح)

Static	استاتي
Trim	وزانة
Trimmed	موازنة
Equilibrium	توازن
Stability	استقرارية
Controls	متحكمات
Tab	سطيح تصحيح

Transient	مؤقت
Disturb	يقفل
Flight path	ممر الطيران
Flight path angle	زاوية ممر الطيران
Longitudinal	طولاني
Lateral	جانبى
Directional	اتجاهى
Angular	زاويّ
Disturbance	قلقة
Converge	يتقارب
Nose up	رفع مقدمة الطائرة
Nose down	خفض مقدمة الطائرة
Stability margin	هامش الاستقرار
Lateral-directional	جانبى-اتجاهى
Flight envelope	غلاف الطيران
Tailplane	ذيل
Elevator tab	سطيح تصحيح رافع
Power	قدرة
Controls Fixed	المتحكمات المثبتة
Elevator angle to trim	زاوية الرافع للوزانة
Controls free	المتحكمات الحرة
Float	تطوف
Fin	زعنفة
Sideslip	انزلاق جانبى
Dihedral	زوجية

بسم الله الرحمن الرحيم

4

معادلات الحركة

Equations of motion

4.1 معادلات الحركة لطائرة متماثلة

نتعامل مع قانون نيوتن الثاني لكل واحدة من درجات الحرية (degrees of

freedom) الست ، والقانون يقول :

الكتلة \times التسارع = قوة القلقة 4.1

لدرجات الحرية الدورانية الكتلة والتسارع تصبح عزم القصور الذاتي والتسارع الزاوي على التوالي، بينما قوة القلقة تصبح عزم القلقة. لذا فإن اشتقاق معادلة الحركة يحتاج كتابة معادلة 4.1 بدلالة متغيرات الحركة التي أخذناها في وحدة 2 .

4.1.1 مركبات التسارع القصوري

المهمة الأولى في فهم معادلة 4.1 هي تعريف مركبات التسارع القصوري الناتج من

تأثير مركبات قوة قلقة على الطائرة. لنأخذ الحركة بالنسبة لنظام المحاور (xyz) حيث المركز o يتطابق مع cg للجسم في الشكل 4.1 . نفترض الجسم والمحاور تتحرك بالنسبة لمرجع خارجي مثل محاور الأرض. مركبات السرعة والقوة على المحاور (ox, oy, oz) يرمز لها بالرمز (U, V, W) و (X, Y, Z) على التوالي. مركبات السرعة الزاوية والعزم حول نفس المحاور يرمز لها بـ (p, q, r) و (L, M, N) على التوالي. المركبات المحلية للسرعات والتسارع عند p بالنسبة لمحاور الجسم يرمز لها بـ (u, v, w) و (a_x, a_y, a_z) على التوالي .

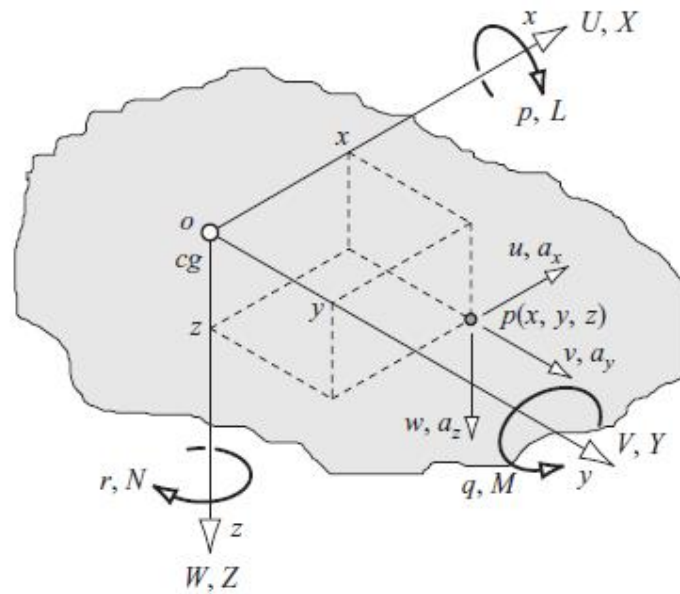


Figure 4.1 Motion referred to generalised body axes.

الشكل 4.1 الحركة بالنسبة لنظام محاور جسم عام

4.1.2 المعادلات العامة للقوة

مركبات محصلة القوة الكلية المؤثرة على جسم جاسئ هي

$$\begin{aligned} m(\dot{u} - rV + qW) &= X \\ m(\dot{v} - pW + rU) &= Y \dots\dots\dots 4.12 \\ m(\dot{w} - qU + pV) &= Z \end{aligned}$$

حيث m هي الكتلة الكلية للجسم

4.1.3 المعادلات العامة للعزوم

معادلات العزوم للطائرة (المتماثلة طبعاً) هي :

$$\begin{aligned} I_x \dot{p} - (I_y - I_z)qr - I_{xz}(pq + r\dot{x}) &= L \\ I_y \dot{q} + (I_x - I_z)pr + I_{xz}(p^2 - r^2) &= M \dots\dots\dots 4.19 \\ I_z \dot{r} - (I_x - I_y)pq + I_{xz}(qr - p\dot{x}) &= N \end{aligned}$$

معادلة 4.19 تصف حركة العطوف والخطران والانعراج على التوالي. عادةً تكون I_{xz} أصغر من I_x, I_y, I_z ويمكن إهمالها.

الجدول 4.1 عزوم القصور الذاتي و مضاريب القصور الذاتي

عزم القصور الذاتي حول المحور OX	$I_x = \sum dm(y^2 + z^2)$
عزم القصور الذاتي حول المحور OY	$I_y = \sum dm(x^2 + z^2)$
عزم القصور الذاتي حول المحور OZ	$I_z = \sum dm(x^2 + y^2)$
مضروب القصور الذاتي حول المحور OX والمحور OZ	$I_{xz} = \sum dm x z$

4.1.4 قوى وعزوم القلقلّة

معادلات 4.12 و 4.19 معاً تشكل المعادلات العامة للحركة بدرجات الحرية الستة لجسم جاسئ متماثل له توزيع كتلة متجانس. الآن نطور المعادلات أكثر بوضع صيغ جديدة للحدود في الجانب الأيمن من المعادلات تصف قوى وعزوم القلقلّة بصورة مرضية. الطريقة المعتمدة هي افتراض أن قوى وعزوم القلقلّة ناتجة عن تأثيرات إيرودينامية (aerodynamic) وجاذبية (gravitational) وتأثيرات تحرك سطح التحكم (controls) وتأثيرات قدرة المحركات (power) وتأثير القلقلات الجوية (atmospheric disturbances). إذن المعادلات 4.12 و 4.19 يمكن كتابتها كالتالي:

$$\left. \begin{aligned} m(\dot{U} - rV + qW) &= X_a + X_g + X_c + X_p + X_d \\ m(\dot{V} - pW + rU) &= Y_a + Y_g + Y_c + Y_p + Y_d \\ m(\dot{W} - qU + pV) &= Z_a + Z_g + Z_c + Z_p + Z_d \\ I_x \dot{p} - (I_y - I_z)qr - I_{xz}(pq + r^2) &= L_a + L_g + L_c + L_p + L_d \\ I_y \dot{q} + (I_x - I_z)pr + I_{xz}(p^2 - r^2) &= M_a + M_g + M_c + M_p + M_d \\ I_z \dot{r} - (I_x - I_y)pq + I_{xz}(qr - p^2) &= N_a + N_g + N_c + N_p + N_d \end{aligned} \right\} \dots\dots\dots 4.20$$

المعادلات 4.20 تصف الحركة العامة للطائرة بغض النظر عن مقدار الحركة (ضمن الافتراضات المطبقة). المعادلات غير خطية وحلها بالطرق التحليلية (analytic) غير عملية عموماً. أيضاً، الحدود في الطرف الأيمن للمعادلات يجب استبدالها بصيغ، والتي تكون صعبة التحديد لمعظم الحركات العامة. إذا أردنا المتابعة مع المعادلات الغير خطية للحركة فعلياً استخدام الطرق الحاسوبية والتي هي خارج نطاق هذا الكتاب.

من أجل متابعة تطوير معادلات الحركة لأهداف تحليلية، يجب تحويلها إلى خطية (خطوطتها). الخطوطة (linearization) يمكن الحصول عليها بسهولة بواسطة تقيد حركة الطائرة بالقلقلات الصغيرة حول ظرف الوزانة.

4.2 المعادلات المخطوطة للحركة (lineaized equation of motion)

ابتداءً نفرض أن الطائرة تطير تطيران مستقيم وزاني مستمر له زاوية صفرية للعطوف والإنزلاق الجانبي والانعراج. في ظروف الطيران هذه سرعة الطائرة هي V_o ، ومركبات السرعة الخطية (U_e, V_e, W_e) ومركبات السرعة الزاوية كلها صفر. بما أنه لا يوجد انزلاق جانبي ($V_e = 0$). نفرض أيضاً أن الجو مستقر وغير مقلقل أي :

$$X_d = Y_d = Z_d = L_d = M_d = N_d = 0 \dots\dots\dots 4.21$$

الآن ، إذا تعرضت الطائرة لقلقلة صغيرة حول الوزانة، فإن مركبات سرعة القلقلات الخطية هي (u, v, w) ومركبات سرعات القلقلات الزاوية هي (p, q, r) بالنسبة لمحاور الطائرة الغير مقلقلة (xyz). لذا فإن المركبات الكلية لسرعة مركز جاذبية الطائرة (cg) في الحركة المقلقلة تعطي بـ

$$U = U_e + u$$

$$V = V_e + v \dots\dots\dots 4.22$$

$$W = W_e + w$$

الآن من التعريف (u, v, w) و (p, q, r) جميعها كميات صغيرة بحيث أن الكميات التي تتضمن مضاربيها ومربعاتها تكون صغيرة جداً ويمكن إهمالها. إذن، نعوض معادلات 4.21 و 4.22 في معادلات 4.20 ، وبملاحظة أن (U_e, V_e, W_e) مستقرة (steady) وبالتالي ثابتة، وبحذف الحدود الصغيرة جداً ، نحصل على معادلات الحركة المخطوطة:

$$\left. \begin{aligned} m(\dot{x} + qW_e) &= X_a + X_g + X_c + X_p \\ m(\dot{y} - pW_e + rU_e) &= Y_a + Y_g + Y_c + Y_p \\ m(\dot{z} - qU_e) &= Z_a + Z_g + Z_c + Z_p \\ I_x \dot{p} - I_{xz} \dot{r} &= L_a + L_g + L_c + L_p \\ I_y \dot{q} &= M_a + M_g + M_c + M_p \\ I_z \dot{r} - I_{xz} \dot{p} &= N_a + N_g + N_c + N_p \end{aligned} \right\} \dots\dots\dots 4.23$$

إيجاد صيغ بديلة للتي في الطرف الأيمن من المعادلات أصبح الآن سهل لأن علينا فقط التعامل مع القلقلات الصغيرة حول الوزانة.

4.2.1 حدود الجاذبية (gravitational terms)

قوة الوزن mg المؤثرة على طائرة يمكن تحليلها إلى مركبات تؤثر باتجاه محاور الطائرة الثلاث . عند قلقلة الطائرة فإن هذه المركبات ستتغير تبعاً للقلقلة في الـ (altitude) ، مما يساهم في الحركة المقلقلة. لذا فإن مساهمة الجاذبية في المعادلات 4.23 نحصل عليها

بتحليل وزن الطائرة على محاور الجسم المقلقل. بما أن مركز محاور جسم الطائرة يتحد مع cg فلا يوجد عزوم للوزن حول هذه المحاور

$$L_g = M_g = N_g = 0 \dots\dots\dots 4.24$$

بتحليل مركبات الوزن على المحاور وبعمليات أخرى (موجودة في الكتاب الأصلي) نحصل على مركبات قوة الجاذبية للقلقلات الصغيرة كالتالي:

$$X_g = -mg \sin q_e - mgq \cos q_e$$

$$Y_g = mgy \sin q_e - mgf \cos q_e \dots\dots\dots 4.27$$

$$Z_g = mg \cos q_e - mgq \sin q_e$$

4.4.2 الحدود الإيرودينامية (Aerodynamic Terms)

عندما تقلقل الطائرة من وضع الإتزان فإن التعادل الإيرودينامي يفسد. لوصف التغيرات الحاصلة أثناء القلقله أمر مثير للتحدي لكثرة التفاعلات الموجودة في الحركة. لكن هناك طرق تعمل بصورة جيدة للطائرات الكلاسيكية التي تكون حركتها محصورة في القلقلات الصغيرة (نسبياً).

ذكر الكتاب الأصلي إحدى هذه الطرق وأثبت أن القوة المحورية الإيرودينامية X_a

مثلاً يمكن كتابتها كالتالي

$$X_a = X_{ae} + \frac{\partial X}{\partial u} u + \frac{\partial X}{\partial v} v + \frac{\partial X}{\partial w} w + \frac{\partial X}{\partial p} p + \frac{\partial X}{\partial q} q + \frac{\partial X}{\partial r} r + \frac{\partial X}{\partial \delta} \delta \dots\dots\dots 4.29$$

باستخدام رموز مختصرة بديلة، معادلة 4.29 تكتب كالتالي:

$$X_a = X_{ae} + \overset{\circ}{X}_u u + \overset{\circ}{X}_v v + \overset{\circ}{X}_w w + \overset{\circ}{X}_p p + \overset{\circ}{X}_q q + \overset{\circ}{X}_r r + \overset{\circ}{X}_{\delta} \delta \dots\dots\dots 4.30$$

المعاملات $\overset{\circ}{X}_u \overset{\circ}{X}_v \overset{\circ}{X}_w$ تسمى مشتقات الإستقرارية الإيرودينامية والرمز $\left(\overset{\circ}{} \right)$ يعني أن

المشتقات بعدية (لها بعد (وحدة)). بنفس الطريقة ، يمكن تحديد حدود القوة والعزم الأخرى

في باقي المعادلات 4.20. مثلاً الحد الإيرودينامي في معادلات عزم العطوف هو :

$$L_a = L_{ae} + \overset{\circ}{L}_u u + \overset{\circ}{L}_v v + \overset{\circ}{L}_w w + \overset{\circ}{L}_p p + \overset{\circ}{L}_q q + \overset{\circ}{L}_r r + \overset{\circ}{L}_{\delta} \delta \dots\dots\dots 4.31$$

4.2.3 حدود المتحكمات الإيرودينامية (Aerodynamic control terms)

المتحكمات الإيرودينامية الرئيسية هي الرافع والجنيحات والدفة. بما أن القوى والعزوم

. بما أن القوى والعزوم الحاصلة من انحرافات (deflections) التحكم تنشأ من التغيرات في

الظروف الإيرودينامية ؛ فمن الطبيعي حساب أثرها بدلالة حدود (terms) المتحكمات

الإيروديناميكية. الافتراضات التي تنطبق للحدود الإيروديناميكية تنطبق أيضاً لحدود التحكم ، لذا ،
مثلاً، عزم الخطران الناتج من المتحكمات الإيروديناميكية يمكن كتابته كالتالي:

$$M_c = \frac{\partial M}{\partial x} x + \frac{\partial M}{\partial h} h + \frac{\partial M}{\partial z} z \dots\dots\dots 4.32$$

حيث يرمز لزاوية الجنيح والرافع والدفة بـ x h z على التوالي. بما أن المعادلة 4.32
تصف أثر المتحكمات الإيروديناميكية بالنسبة لظرف الومانة السائد فمن المهم أن ندرك أن
زوايا التحكم x h z مقاسة بالنسبة لظروف الوزانة x_e h_e z_e على التوالي. مرة أخرى
يمكن استخدام صيغة مختصرة لمعادلة 4.32 لتصبح:

$$M_c = \overset{\circ}{M}_x x + \overset{\circ}{M}_h h + \overset{\circ}{M}_z z \dots\dots\dots 4.33$$

يمكن وضع حدود المتحكمات الإيروديناميكية في باقي معادلات الحركة بطريقة شبيهة . إذا
أردنا دراسة الإستجابة لمتحكمات إيروديناميكية أخرى ، مثل القلابات (flaps) والمفصلات (spoilers)
وغيرها، عندها علينا إضافة حدود جديدة لمعادلة 4.33 وباقي معادلات الحركة.

4.2.4 حدود القدرة (للمحرك) (power terms)

القدرة وبالتالي الدفع (thrust) نتحكم بها عادة بواسطة زاوية ذراع الخنق في
المحرك. تحرك ذراع الخنق يسبب تغير في الدفع والذي يسبب بدوره تغير في مركبات القوة
والعزم المؤثرة على الطائرة . من المناسب رياضياً وصف هذه التأثيرات بدلالة مشتقات دفع
المحرك ، مثلاً القوة العمودية الناتجة من الدفع يمكن كتابتها :

$$Z_p = \overset{\circ}{Z}_t t \dots\dots\dots 4.34$$

يمكن كتابة المساهمة في باقي المعادلات بصورة شبيهة. كما في حالة المتحكمات
الإيروديناميكية فإن تغيرات القدرة تقاس بالنسبة لوضع الوزانة السائد. وبالتالي t هي قفلة
الدفع بالنسبة وضع الوزانة t_e .

4.2.5 معادلات الحركة للقلقات الصغيرة

لاكمال عملنا للحصول على معادلات الحركة المخطوطة ، فإنه يتبقى علينا تعويض
الصيغ المناسبة للحدود الإيروديناميكية وحدود الجاذبية وحدود المتحكمات الإيروديناميكية وحدود
الدفع في معادلة 4.23 . نحصل على باقي الحدود الإيروديناميكية من معادلات شبيهة بـ 4.30
و 4.31 ، ونحصل على حدود الجاذبية من معادلة 4.27 و بجمع هذه
المعادلات معاً وتعويضها ثم إجراء بعض التبسيطات نحصل على معادلة 4.37 .

$$\begin{aligned}
& \dot{m}u - \dot{X}_u u - \dot{X}_v v - \dot{X}_w w - \dot{X}_p p - \left(\dot{X}_q - mW_e \right) q - \dot{X}_r r + mg\theta \cos \theta_e = \dot{X}_\xi \xi + \dot{X}_\eta \eta + \dot{X}_\zeta \zeta + \dot{X}_\tau \tau \\
& - \dot{Y}_u u + m\dot{v} - \dot{Y}_v v - \dot{Y}_w w - \dot{Y}_p p - \left(\dot{Y}_q + mW_e \right) q \\
& - \dot{Y}_q q - \left(\dot{Y}_r - mU_e \right) r - mg\phi \cos \theta_e - mg\psi \sin \theta_e = \dot{Y}_\xi \xi + \dot{Y}_\eta \eta + \dot{Y}_\zeta \zeta + \dot{Y}_\tau \tau \\
& - \dot{Z}_u u - \dot{Z}_v v + \left(m - \dot{Z}_w \right) \dot{w} - \dot{Z}_w w \\
& - \dot{Z}_p p - \left(\dot{Z}_q + mU_e \right) q - \dot{Z}_r r + mg\theta \sin \theta_e = \dot{Z}_\xi \xi + \dot{Z}_\eta \eta + \dot{Z}_\zeta \zeta + \dot{Z}_\tau \tau \\
& - \dot{L}_u u - \dot{L}_v v - \dot{L}_w w - \dot{L}_p p - \dot{L}_q q - I_{xz} \dot{r} - \dot{L}_r r = \dot{L}_\xi \xi + \dot{L}_\eta \eta + \dot{L}_\zeta \zeta + \dot{L}_\tau \tau \\
& + I_x \dot{p} - \dot{M}_u u - \dot{M}_v v - \dot{M}_w w - \dot{M}_p p + I_y \dot{q} - \dot{M}_q q - \dot{M}_r r = \dot{M}_\xi \xi + \dot{M}_\eta \eta + \dot{M}_\zeta \zeta + \dot{M}_\tau \tau \\
& - \dot{N}_u u - \dot{N}_v v - \dot{N}_w w - I_{xz} \dot{p} - \dot{N}_p p - \dot{N}_q q + I_z \dot{r} - \dot{N}_r r = \dot{N}_\xi \xi + \dot{N}_\eta \eta + \dot{N}_\zeta \zeta + \dot{N}_\tau \tau \\
& \dots 4.37
\end{aligned}$$

المعادلات 4.37 هي معادلات الحركة للقلقلات الصغيرة بالنسبة لمحاور الجسم ، والتي تصف الإستجابة العابرة للطائرة حول ظرف الطيران الوزاني الحاصل بعد أحداث قلقلية صغيرة. المعادلات تشكل نظام من ستة معادلات أنية خطية تفاضلية مكتوبة بالطريقة التقليدية تكون فيها حدود المدخلات (input) في الجانب الأيمن . ضمن الافتراضات التي وضعناها لاشتقاق هذه المعادلات؛ فإن هذه المعادلات عامة وتصف الحركة التي يمكن أن تكون فيها الديناميات الطولية والجانبية متقارنة (coupled) . لكن لمعظم الطائرات عند الكلام عن القلقلات الصغيرة (مثل حالتنا هنا) فإن التقارن الطولي-الجانبية يكون مهمل عادة. إذن ، نستطيع تبسيط هذه المعادلات بافتراض أن الحركة الطولية الجانبية غير متقارنتان بتاتا.

4.3 معادلات الحركة اللامتقارنة

4.3.1 معادلات الحركة الطولية

الحركة الطولية اللامتقارنة هي حركة الاستجابة لقلقلة محصورة بالمستوى الطولي oxz . إذن الحركة بمعادلات القوة الطولية X والقوة العمودية Z (normal) وعزم الخزان M فقط. بما أنه لا يوجد جانبية فإن متغيرات الحركة الجانبية v و p و r

ومشتقاتها كلها تساوي صفر. أيضا الحركة الطولانية-الجانبية اللامتقارنة تعني أن مشتقات التقارن الايرودينامية صغيرة ومهملة. ويمكن أخذها مساوية لصفر. أي

$$\dot{X}_v = \dot{X}_p = \dot{X}_r = \dot{Z}_v = \dot{Z}_p = \dot{Z}_r = \dot{M}_v = \dot{M}_p = \dot{M}_r = 0 \dots\dots\dots 4.38$$

أيضا، بما أن حركة الدفة والجنيحات لا تسبب عادة حركة في مستوى التماثل الطولاني، فإنه يمكن أيضا اعتبار مشتقات التحكم الايرودينامي التقارني مساوية لصفر، أي

$$\dot{X}_x = \dot{X}_z = \dot{Z}_x = \dot{Z}_z = \dot{M}_x = \dot{M}_z = 0 \dots\dots\dots 4.39$$

إذن نحصل على معادلات الحركة الطولانية المتماثلة بأخذ معادلات الحركة الطولانية والعمودية وعزم الخطران من المعادلات 4.37 ونعوض المعادلات 4.38 و 4.39 فيها

$$\begin{aligned} m\dot{u} - \dot{X}_{uu}u - \dot{X}_{\dot{w}}\dot{w} - \dot{X}_{ww}w - \left(\dot{X}_q - mW_e \right) q + mg\theta \cos \theta_e &= \dot{X}_{\eta}\eta + \dot{X}_{\tau}\tau \\ -\dot{Z}_{uu}u + \left(m - \dot{Z}_{\dot{w}} \right) \dot{w} - \dot{Z}_{ww}w - \left(\dot{Z}_q + mU_e \right) q + mg\theta \sin \theta_e &= \dot{Z}_{\eta}\eta + \dot{Z}_{\tau}\tau \\ -\dot{M}_{uu}u - \dot{M}_{\dot{w}}\dot{w} - \dot{M}_{ww}w + I_y\dot{q} - \dot{M}_qq &= \dot{M}_{\eta}\eta + \dot{M}_{\tau}\tau \dots \end{aligned}$$

.....4.40

المعادلات 4.40 هي أعم صيغة للمعادلات اللامتقارنة للحركة الطولانية المتماثلة بالنسبة لمحاور جسم الطائرة. إذا افترضنا أيضا أن الطائرة تطير على ارتفاع ثابت (level flight) وأن المحاور المرجعية هي محاور الريح أو محاور الاستقرار، إذن:

$$q_e = W_e = 0 \dots\dots\dots 4.41$$

مما يبسط المعادلات أكثر لتصبح:

$$\begin{aligned} m\dot{u} - \dot{X}_{uu}u - \dot{X}_{\dot{w}}\dot{w} - \dot{X}_{ww}w - \dot{X}_qq + mg\theta &= \dot{X}_{\eta}\eta + \dot{X}_{\tau}\tau \\ -\dot{Z}_{uu}u + \left(m - \dot{Z}_{\dot{w}} \right) \dot{w} - \dot{Z}_{ww}w - \left(\dot{Z}_q + mU_e \right) q &= \dot{Z}_{\eta}\eta + \dot{Z}_{\tau}\tau \\ -\dot{M}_{uu}u - \dot{M}_{\dot{w}}\dot{w} - \dot{M}_{ww}w + I_y\dot{q} - \dot{M}_qq &= \dot{M}_{\eta}\eta + \dot{M}_{\tau}\tau \dots\dots\dots \end{aligned}$$

4.42

المعادلات 4.42 تمثل أبسط صيغة ممكنة لمعادلات الحركة اللامتقارنة الطولانية. التبسيطات الأكثر تكون ممكنة عموما عند معرفة القيم الرقمية للمعاملات في المعادلات، حيث تكون بعض المعاملات صغيرة ومهملة.

4.2 مثال

حصلنا على قيم المشتقات الطولانية وبيانات أخرة لطائرة (McDonell F-4C Phantom) من أحد المراجع لظروف طيران لها رقم ماخ 0.6 وارتفاع 10000m

كثافة الهواء $r = 0.3809 \text{ Kg} / \text{m}^3$

مساحة الجناح $S = 49.239 \text{ m}^2$

الوتر الايرودينامي المتوسط

زاوية مسار الطيران $g_e = 0^\circ$

زاوية سقوط الجسم $a_e = 9.4^\circ$

السرعة $V_o = 178 \text{ m} / \text{s}$

$\bar{c} = 4.889 \text{ m}$

تسارع الجاذبية الأرضية $g = 9.8 \text{ m} / \text{s}^2$

الكتلة $m = 17642 \text{ kg}$

عزم القصور الذاتي للخطر $I_y = 1656690 \text{ Kg m}^2$

بما ان زاوية مسار الطيران $g_e = 0^\circ$ وزاوية سقوط الجسم a_e ليست صفر فبإمكاننا أن

نستنتج أن المشتقات التالية هي بالنسبة لمحاور الجسم وأن $q_e \equiv a_e$. المرجع يعطينا

المشتقات الطولانية اللابعدية، أي مشتقة ايرودينامية أخرى مفقودة يجب اعتبارها غير مؤثرة

وبالتالي صفرية. لكن مشتقات التحكم المفقودة لا يمكن اعتبارها غير مؤثرة وغياها سوف

يمنع دراسة الاستجابة لهذه المتحكمات.

$$X_u = 0.0076$$

$$Z_u = -0.7273$$

$$M_u = 0.0340$$

$$X_w = 0.0483$$

$$Z_w = -3.1245$$

$$M_w = -0.2169$$

$$X_{\dot{u}} = 0$$

$$Z_{\dot{u}} = -0.3997$$

$$M_{\dot{u}} = -0.5910$$

$$X_q = 0$$

$$Z_q = -1.2109$$

$$M_q = -1.2732$$

$$X_h = 0.0618$$

$$Z_h = -0.3741$$

$$M_h = -0.5581$$

المعادلة 4.40 مناسبة لكن يجب قبل ذلك حساب المشتقات البعدية، وذلك بالاستعانة بالجدول

A1.1 و A1.2 في الملحق 1 . ثم سنحصل على المعادلات الطولانية البعدية بالنسبة لمحاور

الجسم بواسطة التعويض في معادلة 4.40 ، سنحصل على :

$$17642\dot{u} - 12.67u - 80.62w + 512852.94q + 170744.06\dot{q} = 3755.77h$$

$$1214.01u + 17660.33\dot{u} + 5215.44w - 3088299.7q + 28266.507\dot{q} = -22735.15h$$

$$-277.47u + 132.47\dot{u} + 1770.07w + 0.165669\dot{u} + 50798.03\dot{q} = -165822.03h$$

حيث $U_e = V_o \cos q_e = 175.61 \text{ m} / \text{s}$ و $W_e = V_o \sin q_e = 20.07 \text{ m} / \text{s}$. لاحظ أن

المتغيرات الزاوية في المعادلات تكون بوحدة (rad) . عادة نبسط هذه المعادلة (ومثلاتها)

لنصبح بالصيغة التالية:

$$\dot{u} = 0.0007u + 0.0046w - 29.07q - 9.6783\dot{q} + 0.2129h$$

$$\dot{u} = -0.0687u - 0.2953w + 174.868q - 1.6000\dot{q} - 1.2874h$$

$$\dot{u} + 0.0008\dot{u} = 0.0017u - 0.0107w - 0.3066q - 1.001h$$

4.3.2 معادلات الحركة الجانبية-الاتجاهية

الحركة الجانبية-الاتجاهية تتضمن العطوف والانعراج والانزلاق الجانبي فقط.

باستخدام بعض الأفكار والتحليلات (كما في الكتاب الأصلي) نحصل من معادلات

4.37 على المعادلات التالية للحركة الجانبية-الاتجاهية

$$\left. \begin{aligned} m\ddot{Y}_v - (\dot{Y}_p + mW_e)p - (\dot{Y}_r - mU_e)r - mgf \cos q_e - mgy \sin q_e &= (\dot{Y}_x x + \dot{Y}_z z) \\ -\dot{L}_v v + I_{xz}\ddot{p} - \dot{L}_p p - I_{xz}\ddot{r} - \dot{L}_r r &= \dot{L}_x x + \dot{L}_z z \\ -\dot{N}_v v - I_{xz}\ddot{p} - \dot{N}_p p + I_{xz}\ddot{r} - \dot{N}_r r &= \dot{N}_x x + \dot{N}_z z \end{aligned} \right\} \dots\dots 4.45$$

المعادلات 4.45 هي أعم صيغة للمعادلات اللامتقارنة للحركة الجانبية-الاتجاهية المتائلة بالنسبة لمحاور جسم الطائرة. إذا افترضنا أيضا أن الطائرة تطير على ارتفاع ثابت (level flight) وأن المحاور المرجعية هي محاور الريح أو محاور الاستقرار، إذن:

$$q_e = W_e = 0 \dots\dots\dots 4.46$$

مما يبسط المعادلات أكثر لتصبح:

$$\left. \begin{aligned} m\ddot{Y}_v - p\dot{Y}_p - (\dot{Y}_r - mU_e)r - mgf &= \dot{Y}_x x + \dot{Y}_z z \\ -\dot{L}_v v + I_{xz}\ddot{p} - \dot{L}_p p - I_{xz}\ddot{r} - \dot{L}_r r &= \dot{L}_x x + \dot{L}_z z \\ -\dot{N}_v v - I_{xz}\ddot{p} - \dot{N}_p p + I_{xz}\ddot{r} - \dot{N}_r r &= \dot{N}_x x + \dot{N}_z z \end{aligned} \right\} \dots\dots\dots 4.47$$

المعادلات 4.47 تمثل أبسط صيغة ممكنة لمعادلات الحركة اللامتقارنة الجانبية-الاتجاهية. التبسيطات الأكثر تكون ممكنة عموما عند معرفة القيم الرقمية للمعاملات في المعادلات، حيث تكون بعض المعاملات صغيرة ومهملة.

Product of inertia	مضروب القصور الذاتي
Linear	خطية
Non-linear	غير خطية
Linearize	يُخطَّو (يحول لصيغة خطية)
Linearized	مُخطَّوَة
Linearization	خطَّوَة
Dimensional	بعدي
Non-Dimensional	لا بعدي
Aerodynamic stability derivatives	مشتقات الاستقرار الإيرودينامية
Coupled	متقارنة
Decoupled	غير متقارنة

بسم الله الرحمن الرحيم

5

حل معادلات الحركة

The Solotion of Equations of motion

5.1 طرق الحل

الهدف الرئيسي لحل معادلات الحركة هو الحصول على وصف رياضي وبالتالي بياني (رسمه بيانية) للحركة الزمانية لجميع متغيرات الحركة كاستجابة لمُدخل الحركة أو للقلقلة الجوية، أيضا الهدف هو تقدير الاستقرار. أيضا من المهم أن تعطي طريقة الحل المختارة تصور جيد لطريقة تأثير الخواص الفيزيائية لهيكل الطائرة على طبيعة الاستجابة. معادلات الحركة اللامتقارنة الطولانية والجانبية كل واحدة تمثل بمجموعة من ثلاث معادلات تفاضلية خطية متزامنة ويمكن حلها بالطرق الرياضية الكلاسيكية.

هناك أيضا طريقة تحويل لابلاس. حيث نحول المعادلات التفاضلية إلى معادلات جبرية بدلالة معامل لابلاس s . ثم نوجد حل هذه المعادلات بالطرق الجبرية. ثم نحول الحل إلى استجابة زمانية باستخدام تحويل لابلاس العكسي [سوف نستبدل بعض الخطوات بطرق حاسوبية باستخدام البرنامج المشهور Matlab (المترجم)].

الآن اقتران التحويل (transfer function) - كطريقة لوصف خواص ديناميات النظام - هو طريقة رئيسية لهندسة التحكم. من حسنات هذه الطريقة البساطة النسبية لرسم النتيجة. أيضا نوجد منها معلومات عن الاستقرار والاستجابة الزمانية والاستجابة الترددية. أيضا تمكنا من تصميم التغذية الراجعة المثبطة (وهذا أمر مهم في الكثير من الطائرات الحديثة).

الحصول على اقتران التحويل يتم بواسطة تحويل لابلاس وبعض العمليات الرياضية على معادلات الحركة. ثم من اقترانات التحويل هذه نحصل على الخواص الدينامية للطائرة باستخدام طرق هندسة التحكم (بدل الطرق الايرودينامية القديمة). أيضا يمكن الاستعانة بالبرامج الحاسوبية.

5.3 اقترانات التحويل لاستجابة الطائرة

اقترانات التحويل لاستجابة الطائرة تصف العلاقات الدينامية بين المدخلات (inputs) والمخرجات (outputs). وهذه العلاقات مبينة في الشكل 5.1. عندما يتكون النموذج

الرياضي للطائرة من معادلات حركة لا متقارنة؛ فإنه لا يوجد اقترانات تربط المدخلات الطولانية مع المخرجات الجانبية وبالعكس.

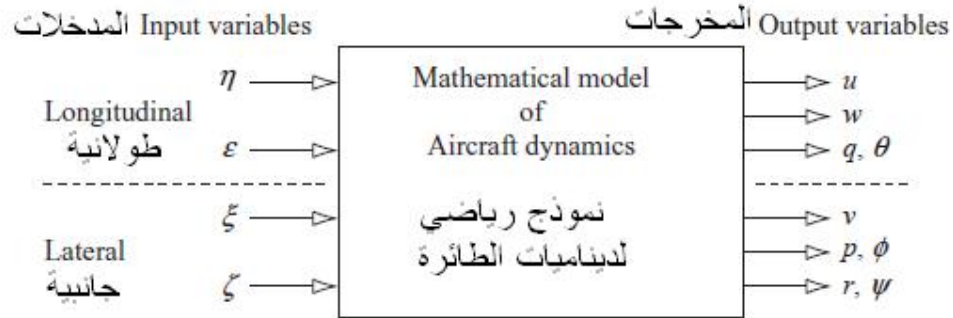


Figure 5.1 Aircraft input–output relationships.

الشكل 5.1 العلاقات بين مدخلات ومخرجات الطائرة

سوف نستخدم رموز اختصارية في هذا الكتاب . مثلاً اقتران التحويل لاستجابة وضع الخطران $q(s)$ للرافع $h(s)$ يرمز له بالرمز:

$$\frac{q(s)}{h(s)} = \frac{N_h^q(s)}{\Delta(s)} \dots\dots\dots 5.4$$

حيث $N_h^q(s)$ هو متعدد الحدود (polynomial) بـ s يربط وضع الخطران بمدخل الرفع $\Delta(s)$ و هو متعدد الحدود للمقام بـ s وهو مشترك في جميع اقترانات التحويل الطولانية. بصورة شبيهة اقتران التحويل لاستجابة معدل العطوف مع الجنيحات يرمز لها بـ

$$\frac{p(s)}{x(s)} = \frac{N_x^p(s)}{\Delta(s)} \dots\dots\dots 5.5$$

حيث $\Delta(s)$ هو متعدد الحدود للمقام بـ s وهو مشترك في جميع اقترانات التحويل الجانبية. متعدد حدود المقام $\Delta(s)$ يسمى متعدد الحدود المميز وعندما نساويه بالصفر يعرف المعادلة المميزة (characteristic equation). لذا $\Delta(s)$ يصف بصورة كاملة خصائص استقرارية الطائرة الطولانية أو الجانبية.

5.3.1 اقترانات التحويل لاستجابة الطولانية

[قام الكتاب بعدد من العمليات الرياضية والافتراضات ليحول معادلات الحركة 4.40 إلى الصيغة التالية]:

$$\begin{bmatrix} (ms - \dot{X}_u) & -(\dot{X}_{\dot{w}}s + \dot{X}_w) & -\left(\left(\dot{X}_q - mW_e\right)s - mg \cos \theta_e\right) \\ -\dot{Z}_u & -\left(\left(\dot{Z}_{\dot{w}} - m\right)s + \dot{Z}_w\right) & -\left(\left(\dot{Z}_q + mU_e\right)s - mg \sin \theta_e\right) \\ -\dot{M}_u & -(\dot{M}_{\dot{w}}s + \dot{M}_w) & (I_y s^2 - \dot{M}_q s) \end{bmatrix} \begin{bmatrix} u(s) \\ w(s) \\ \theta(s) \end{bmatrix} \\ = \begin{bmatrix} \dot{X}_\eta & \dot{X}_\tau \\ \dot{Z}_\eta & \dot{Z}_\tau \\ \dot{M}_\eta & \dot{M}_\tau \end{bmatrix} \begin{bmatrix} \eta(s) \\ \tau(s) \end{bmatrix} \quad (5.9)$$

.....5.9

ومنها اقترانات التحويل (استجابة للرافع) هي:

$$\frac{u(s)}{h(s)} = \frac{N_h^u(s)}{\Delta(s)}, \quad \frac{w(s)}{h(s)} = \frac{N_h^w(s)}{\Delta(s)}, \quad \frac{q(s)}{h(s)} = \frac{N_h^q(s)}{\Delta(s)} \quad \dots\dots\dots 5.11$$

$$\frac{q(s)}{h(s)} = \frac{N_h^q(s)}{\Delta(s)} = \frac{sN_h^q(s)}{\Delta(s)} \quad \dots\dots\dots 5.12$$

حيث $N_h^u(s)$ $\Delta(s)$ هي متعددات الحدود بـ s وصيغها مبينة في الملحق 2

أما اقترانات التحويل (استجابة للدفع) فقد ذكر الكتاب الأصلي في الملحق 2 أن

الحصول عليها يتم بكل بساطة باستبدال الرمز h الرمز t في الملحق المذكور.

5.3.2 اقترانات التحويل للاستجابة الجانبية

معادلة 4.45 تصبح بعد تحويل لابلاس

$$\begin{bmatrix} (ms - \dot{Y}_v) - \left(\left(\dot{Y}_p + mW_e\right)s + mg \cos \theta_e\right) & -\left(\left(\dot{Y}_r - mU_e\right)s + mg \sin \theta_e\right) \\ -\dot{L}_v & (I_x s^2 - \dot{L}_p s) & -\left(I_{xz} s^2 + \dot{L}_r s\right) \\ -\dot{N}_v & -\left(I_{xz} s^2 + \dot{N}_p s\right) & (I_z s^2 - \dot{N}_r s) \end{bmatrix} \begin{bmatrix} v(s) \\ \phi(s) \\ \psi(s) \end{bmatrix} = \begin{bmatrix} \dot{Y}_\xi & \dot{Y}_\zeta \\ \dot{L}_\xi & \dot{L}_\zeta \\ \dot{N}_\xi & \dot{N}_\zeta \end{bmatrix} \begin{bmatrix} \xi(s) \\ \zeta(s) \end{bmatrix} \quad (5.17)$$

..... 5.17

حيث $sf(s) = p(s)$ و $sy(s) = r(s)$

اقترانات التحويل (استجابة للجنيحات) هي :

$$\frac{f(s)}{x(s)} = \frac{N_x^f(s)}{\Delta(s)}, \quad \frac{p(s)}{x(s)} = \frac{sN_x^f(s)}{\Delta(s)}$$

$$\frac{v(s)}{x(s)} = \frac{N_x^v(s)}{\Delta(s)}$$

$$\frac{Y(s)}{X(s)} = \frac{N_x^Y(s)}{\Delta(s)}, \quad \frac{r(s)}{X(s)} = \frac{sN_x^Y(s)}{\Delta(s)}$$

حيث $\Delta(s)$ $N_x^f(s)$ هي متعددات الحدود بـ s وصيغها مبينة في الملحق 2
أما اقترانات التحويل (استجابة للدفع) فقد ذكر الكتاب الأصلي في الملحق 2 أن
الحصول عليها يتم بكل بساطة باستبدال الرمز X الرمز Z في الملحق المذكور.

مثال 5.2

سوف نحسب اقتران التحويل الذي يصف استجابة وضع الخطران لحركة الرافع لطائرة (Lockhead F-104 Starfighter). حصلنا على البيانات من أحد المراجع وهي لطرف
الطيران عن مستوى سطح البحر. معاينة البيانات توحى أن $q_e = 0$ ، إذن نستنتج أن هذه
البيانات هي عند محاور الريح.

$$r = 0.00238 \text{ slug} / \text{ft}^3 \text{ كثافة الهواء}$$

$$U_e = 305 \text{ ft} / \text{s} \text{ مركبة السرعة المحورية هي}$$

$$m = 746 \text{ slugs} \text{ كتلة الطائرة}$$

$$I_y = 65000 \text{ slug} \text{ ft}^2 \text{ عزم القصور الذاتي للخطران}$$

$$g = 32.2 \text{ m} / \text{s}^2 \text{ ثابت الجاذبية الأرضية}$$

$$\dot{X}_u = -26.26 \text{ slug} / \text{s}$$

$$\dot{Z}_u = -159.64 \text{ slug} / \text{s}$$

$$\dot{M}_u = 0$$

$$\dot{X}_w = 79.82 \text{ slug} / \text{s}$$

$$\dot{Z}_w = -328.24 \text{ slug} / \text{s}$$

$$\dot{M}_w = -10140 \text{ slug ft} / \text{s}$$

$$\dot{X}_{\dot{w}} = 0$$

$$\dot{Z}_{\dot{w}} = 0$$

$$\dot{M}_{\dot{w}} = -0.5910$$

$$\dot{X}_q = 0$$

$$\dot{Z}_q = 0$$

$$\dot{M}_q = -1.2732$$

$$\dot{X}_h = 0$$

$$\dot{Z}_h = -16502 \text{ slug} \text{ ft} / \text{s}^2 / \text{rad}$$

$$\dot{M}_h = -303575 \text{ slug} \text{ ft} / \text{s}^2 / \text{rad}$$

(ملاحظة : نظام الوحدات المستخدم في هذا المثال هو نظام الوحدات الانجليزي وليس العالمي
(SI

للحصول على اقتران التحويل المطلوب $\left(\frac{q(s)}{h(s)} \right)$ ، نكتب

$$\frac{q(s)}{h(s)} = \frac{N_h^q(s)}{\Delta(s)}$$

ونذهب إلى الملحق 2 لايجاد معادلة حساب $N_h^q(s)$ و $\Delta(s)$ ،

مثلا لحساب $N_h^q(s)$ نختار الجدول المناسب في الملحق 2 ومنه :

$$N_h^q(s) = a s^2 + b s + c$$

$$a = m \overset{o}{Z}_h \overset{o}{M}_{\&} + m \overset{o}{M}_h \left(m - \overset{o}{Z}_{\&} \right)$$

$$b = \overset{o}{X}_h \left(\overset{o}{Z}_u \overset{o}{M}_{\&} + \overset{o}{M}_u \left(m - \overset{o}{Z}_{\&} \right) \right) + \overset{o}{Z}_h \left(m \overset{o}{M}_w - \overset{o}{X}_u \overset{o}{M}_{\&} + \overset{o}{M}_u \overset{o}{X}_{\&} \right)$$

$$c = \overset{o}{X}_h \left(\overset{o}{Z}_u \overset{o}{M}_w - \overset{o}{M}_u \overset{o}{Z}_w \right) + \overset{o}{Z}_h \left(\overset{o}{X}_w \overset{o}{M}_u - \overset{o}{M}_w \overset{o}{X}_u \right) + \overset{o}{M}_h \left(\overset{o}{X}_u \overset{o}{Z}_w - \overset{o}{Z}_u \overset{o}{X}_w \right)$$

الآن نعوض البيانات السابقة في هذه المعادلات لاجاد قيم a ، b ، c مثلا :

$$a = m \overset{o}{Z}_h \overset{o}{M}_{\&} + m \overset{o}{M}_h \left(m - \overset{o}{Z}_{\&} \right)$$

$$= 746 \times -16502 \times -36.4 + 746 \times -303575(746 - 0)$$

$$= 16.85 \times 10^{10}$$

ونعوض أيضا لحساب قيم b ، c فنحصل على

$$b = -6.77 \times 10^{10}$$

$$c = -0.607 \times 10^{10}$$

الآن نعوض قيم a ، b ، c في $N_h^q(s) = a s^2 + b s + c$ لنحصل على

$$N_h^q(s) = -16.85 \times 10^{10} s^2 - 6.77 \times 10^{10} b s - 0.607 \times 10^{10}$$

$$= -16.85 \times 10^{10} (s^2 + 0.402 b s + 0.036)$$

أيضا بنفس الطريقة نرجع للجدول المناسب في ملحق 2 لحساب $\Delta(s)$ ، والتي بعد حسابها

ستساوي :

$$\Delta(s) = 3.613 \times 10^{10} (s^4 + 0.925 s^3 + 4.935 s^2 + 0.182 s + 0.108)$$

إذن اقتران التحويل هو

$$\frac{q(s)}{h(s)} = \frac{N_h^q(s)}{\Delta(s)} = \frac{-16.85 \times 10^{10} (s^2 + 0.402 b s + 0.036)}{3.613 \times 10^{10} (s^4 + 0.925 s^3 + 4.935 s^2 + 0.182 s + 0.108)} \text{ rad / rad}$$

.....5.23

ويمكن اجراء بعض العمليات الحسابية لكتابته بالصورة التالية

$$\frac{N_h^q(s)}{\Delta(s)} = \frac{-4.664(s + 0.135)(s + 0.267)}{(s^2 + 0.033s + 0.022)(s^2 + 0.893s + 4.884)} \text{ rad / rad}$$

.....5.24

قسمنا مقام معادلة 5.24 إلى زوجين من الجذور المركبة (أقطاب (poles)) كل زوج يصف

نمط استقرارية طولانية ويمكن كتابة هذين الزوجين بصورة أخرى $(s^2 + 2zw s + w^2)$.

الاستقرارية لكل نمط تحدد بواسطة نسبة التضاؤل Z والتردد الطبيعي الغير متضائل w .

النمط ذو التردد الأقل يسمى "الدوري" (phugoid) والنمط ذو التردد الأعلى يسمى "قصير الفترة" (short period). لكي تكون الطائرة مستقرة طولانياً، يجب أن تكون نسبة التضاؤل لنمطين موجبة.

وحدة اقتران التحويل المعطى في معادلة 5.24 هي rad/rad (أو deg/deg). لاحظ أن كل واحد rad يساوي 53.7° . يجب دائماً أن ننتبه أن اقترانات التحويل لها وحدات ويجب دائماً تحديدها لمنع اختلاط الأمور.

اقتران التحويل في معادلة 5.24 يعطي وصف كامل لخصائص الاستقرار الطولانية والاستجابة الدينامية للرافع لطائرة F-104 عند ظروف الطيران في السؤال. من الجيد ملاحظة أن اقتران التحويل له إشارة سالبة، هذا يعني أن حركة الرافع الموجبة تعطي استجابة خطران سالبة، وهو يتوافق مع ما قلناه في وحدة 2. يمكن الحصول على باقي اقترانات التحويل باستخدام الملحق 2.

5.4 الاستجابة للمتحكمات

يمكن الحصول على الرسم الزماني لاستجابة الطائرة للمتحكمات بواسطة إيجاد تحويل لابلاس المعكوس لاقتران التحويل المعني. مثلاً، معدل استجابة العطوف للجنيحات يعطى بالمعادلة 5.5 كالتالي:

$$p(s) = \frac{N_x^p(s)}{\Delta(s)} x(s) \quad \dots\dots\dots 5.25$$

على فرض أن الطائرة كانت ابتداءً في طيران وزاني. $N_x^p(s)$ و $\Delta(s)$ معطاة في الملحق 2. مُدخل الجنيحات $x(s)$ هو ببساطة تحويل لابلاس لاقتران المدخل. على سبيل المثال هناك مدخلين مشهورين هما اقتران النبضة (impulse) و اقتران الخطوة (step).

نبضة مقدارها k تكتب كالتالي: $x(s) = k$

خطوة مقدارها k تكتب كالتالي: $x(s) = k/s$

(توضيح من المترجم: مثال على اقتران الخطوة $x(s) = 5^\circ/s$ معناه أننا حركنا الجنيحات فجأة بقيمة 5 درجات وأبقيناها ثابتة على هذه القيمة. مثال على اقتران الخطوة $x(s) = 5^\circ$ معناه أننا حركنا الجنيحات فجأة بقيمة 5 درجات ثم أرجعناها فوراً إلى القيمة السابقة.)
لاكمال الشرح لنأخذ مثال استجابة معدل العطوف لمدخل جنيحات عبارة خطوة مقدارها k أي:

$$p(t) = L^{-1} \left(\frac{k N_x^p(s)}{s \Delta(s)} \right) \dots\dots\dots 5.26$$

نحل معادلة 5.26 بواسطة ايجاد تحويل لابلاس المعكوس (L^{-1}) للحد الموجود في الطرف الأيمن، والذي يمكن الحصول عليه يدويا بالاستعانة بالجداول (كما في الكتاب الأصلي). أيضا يمكن الاستعانة ببرامج الحاسوب مثل برنامج (Matlab) (كما في هذا المختصر).

مثال 5.3

الآن لنوجد استجابة الخطران لطائرة F-104 لمدخل رافع مقداره خطوة أحادية (unit step) عند ظروف الطيران الموجودة في مثال 5.2. على فرض أن مدخل الخطوة الأحادي هو بوحدة الدرجة ($^{\circ}$)، إذن من معادلة 5.24

$$q(t) = L^{-1} \left(\frac{-4.664(s+0.135)(s+0.267)}{s(s^2+0.033s+0.022)(s^2+0.893s+4.884)} \right) \dots\dots\dots 5.27$$

الآن بدل طريقة الكتاب الأصلي سنستخدم طريقة برنامج Matlab :

- نفتح شاشة برنامج Matlab
- ثم نعرف المتغير s ، أي نكتب
syms s
- ثم نكتب الطرف الأيمن من معادلة 5.27 بلغة Matlab ، أي :
ilaplace(-
4.664*(s+0.135)*(s+0.267)/(s*(s^2+0.033*s+.022)*(s^2+0.893*s+4.884)
))
حيث ilaplace هو تحويل لابلاس المعكوس (L^{-1}) و s^2 مثلا هو s^2 و / هي علامة القسمة (كسر)، و * هي علامة الضرب.
- ثم نضغط Enter فنحصل على الجواب

-127359/81400+3607356967/5344848100*exp(-
33/2000*t)*cos(1/2000*86911^(1/2)*t)-
3658795736089/464526093219100*exp(-
33/2000*t)*86911^(1/2)*sin(1/2000*86911^(1/2)*t)+653174612486711
3/6271225606862301800*exp(-
893/2000*t)*110879^(1/2)*sin(13/2000*110879^(1/2)*t)+38707565205
41/4350706353400*exp(-893/2000*t)*cos(13/2000*110879^(1/2)*t)
حيث exp(...) هو الاقتران $e^{(\dots)}$

وهو بعد التبسيط نفس جواب الكتاب الأصلي تقريبا (الكتاب الأصلي اضطر لبعض التقريبات) :

$$-1.565 + 0.667e^{-0.017t}(\cos 0.148t - 3.469 \sin 0.148t) + 0.891e^{-0.447t}(\cos 2.164t + 0.389 \sin 2.164t) \text{deg} \quad \dots\dots\dots 5.32$$

الحل المعطى بمعادلة 5.32 يتضمن ثلاث حدود وهي:

(1) الحد الأول -1.565° ، وهو وضع خطر ان مستقر ثابت للحالة المستقرة (ويسمى زيادة (gain) للطائرة.

(2) الحد الثاني، وهي المساهمة الحاصلة من ديناميات النمط الدوري (phgoid)، حيث التردد الطبيعي الغير متضائل $w_p = 0.148 \text{ rad/s}$ وبما أن $z_p w_p = 0.1017$ ، فإن نسبة التضاؤل هي $z_p = 0.115$.

(2) الحد الثاني، وهي المساهمة الحاصلة من ديناميات النمط قصير الفترة (short period)، حيث التردد الطبيعي الغير متضائل $w_s = 0.148 \text{ rad/s}$ وبما أن $z_s w_s = 0.447 \text{ rad/s}$ ، فإن نسبة التضاؤل هي $z_s = 0.207$.

الاستجابة الزمانية الموضحة بمعادلة 5.32 مبينة في الشكل 5.2 ويمكن ملاحظة

النمطين الديناميين. أيضا من المعلوم أن وضع الخطران سوف يستقر عند القيمة التي تنبأنا فيها فوق .

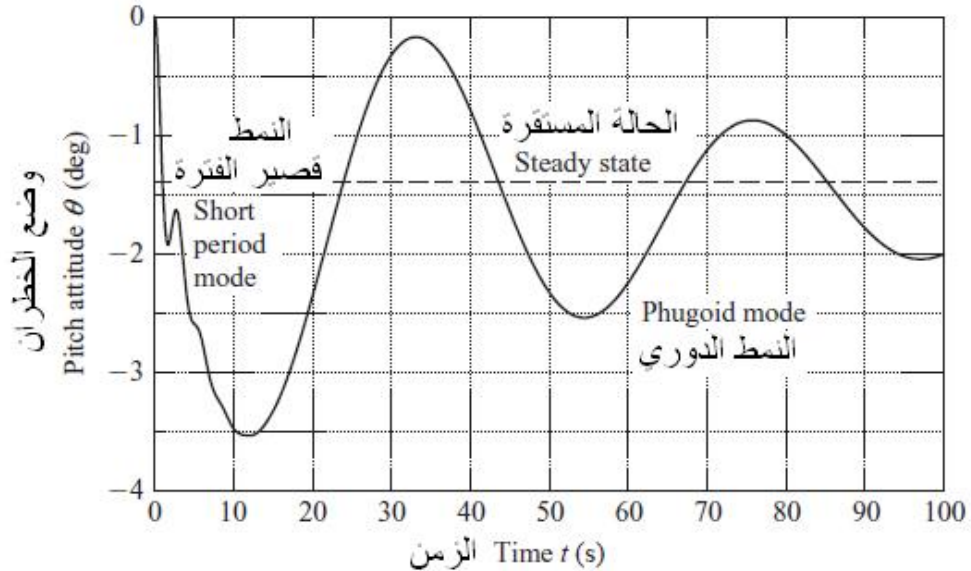


Figure 5.2 Pitch attitude response of the F-104 to a 1° step of elevator.

الشكل 5.2 استجابة وضع الخطران لطائرة F-104 عند 1° خطوة رافع مقدارها 1° .

(ملاحظة من المترجم: للحصول على رسمة الاستجابة (مثل التي في الشكل 5.2) بواسطة برنامج Matlab نقوم بالخطوات التالية

- نكتب البسط في معادلة 5.23 بالصورة التالية

$$n = -16.85 \times 10^{10} * [1, 0.402, 0.036]$$

حيث 1 هو معامل s^2 و 0.402 هو معامل s و
 • نكتب المقام بالصورة التالية

$$d = 3.613 \times 10^{10} * [1, 0.925, 4.935, 0.182, 0.108]$$
 • الآن نكتب اقتران التحويل (ولنسمية G مثلا) كالتالي

$$G = tf(n,d)$$

وسيطهرا لجواب كالتالي

Transfer function:

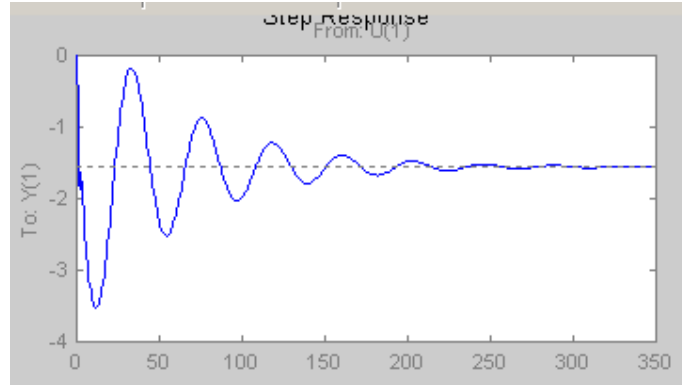
$$-1.685e011 s^2 - 6.774e010 s - 6.066e009$$

$$3.613e010 s^4 + 3.342e010 s^3 + 1.783e011 s^2 + 6.576e009 s + 3.902e009$$

- الآن نرسم الاستجابة لاقتران الخطوة (step) بكتابة

$$step(G)$$

فتظهر الرسمة التالية



وهي مختلفة عن الشكل 5.2 لأن الرسم هنا لغاية الزمن 350 ثانية وليس لغاية 100 ثانية كما في الشكل 5.2 .

(انتهى

المثال 5.3 يوضح أنه ليس من الضروري حساب الاستجابة الزمانية الكاملة من أجل إيجاد خصائص الأنماط الدينامية. يمكن الحصول على الخصائص الرئيسية (نسبة التضاؤل والتردد الطبيعي) للنمطين مباشرة من معادلة $\Delta(s)$ في أي اقتران تحويل. أيضا زيادة (gain) الحالة المستقرة يمكن الحصول عليها بالاستعانة بنظرية القيمة النهائية:

$$f(t)_{t \rightarrow \infty} = \lim_{s \rightarrow 0} (sf(s))$$

أيضا هناك نظرية أخرى مفيدة (نظرية القيمة الابتدائية)، وهي

$$f(t)_{t \rightarrow 0} = \lim_{s \rightarrow \infty} (sf(s))$$

مثال 5.4

باستخدام نظرية القيمة النهائية أوجد قيمة الحالة المستقرة للخطران في المثال السابق.

من المثال السابق تحويل لابلاس للاستجابة لاقتران الخطوة هي

$$q(s) = \frac{-4.664(s + 0.135)(s + 0.267)}{s(s^2 + 0.033s + 0.022)(s^2 + 0.893s + 4.884)} \text{deg}$$

باستخدام النظرية

$$f(t)_{t \rightarrow \infty} = \lim_{s \rightarrow 0} \left(\frac{-4.664(s + 0.135)(s + 0.267)}{(s^2 + 0.033s + 0.022)(s^2 + 0.893s + 4.884)} \right) \text{deg} = -1.565^\circ$$

وهي نفس القيمة التي حصلنا عليها في المثال 2 عند الاستقرار.

5.5 اقترانات التحويل للتسارع

اقتران التحويل للتسارع العمودي لمركز جاذبية الطائرة يمكن تقريبه كالتالي :

$$\frac{N_h^{a_z}(s)}{\Delta(s)} = \frac{a_z(s)}{h(s)} = \frac{s(N_h^w(s) - U_e N_h^q(s))}{\Delta(s)} \dots\dots\dots 5.24$$

اقتران التحويل للتسارع العمودي الذي يحسه الطيار يمكن تقريبه كالتالي :

$$\frac{N_h^{a_z}(s)}{\Delta(s)} = \frac{a_z(s)}{h(s)} = \frac{s(N_h^w(s) - (U_e + xs)N_h^q(s))}{\Delta(s)} \dots\dots\dots 5.25$$

حيث x هو بعد الطيار عن مركز الجاذبية للطائرة.

مثال 5.5

سوف نحسب التسارع العمودي الناتج من الرافع في الطائرة في مثال 5.2 . حيث ان المركبة

المحورية لسرعة الطيران ثابتة ومقدارها $U_e = 305 \text{ ft/s}$ واقترانات التحويل

$$\frac{N_h^q(s)}{\Delta(s)} = \frac{-4.664(s + 0.135)(s + 0.267)}{(s^2 + 0.033s + 0.022)(s^2 + 0.893s + 4.884)} \text{rad/rad} \dots\dots\dots 5.45$$

$$\frac{N_h^w(s)}{\Delta(s)} = \frac{-22.147(s^2 + 0.035s + 0.022)(s + 64.675)}{(s^2 + 0.033s + 0.022)(s^2 + 0.893s + 4.884)} \text{ ft/s/rad} \quad \dots\dots 5.46$$

(المعادلة 5.45 حصلنا عليها من حل مثال 5.2 والمعادلة 5.46 يمكن الحصول عليها بالاستعانة بالملحق 2 .

بتعويض المعادلات 5.45 و 5.46 في معادلة 5.42 وقيمة U_e وبالاكتفاء للوحدات نحصل على :

$$\frac{N_h^{a_z}(s)}{\Delta(s)} = \frac{-22.147(s + 0.037)(s - 4.673)(s + 5.081)}{(s^2 + 0.033s + 0.022)(s^2 + 0.893s + 4.884)} \text{ ft/s}^2/\text{rad}$$

جزء من رسمة الاستجابة لاقتران خطوة مقداره 1 مبين في الشكل 5.3 .

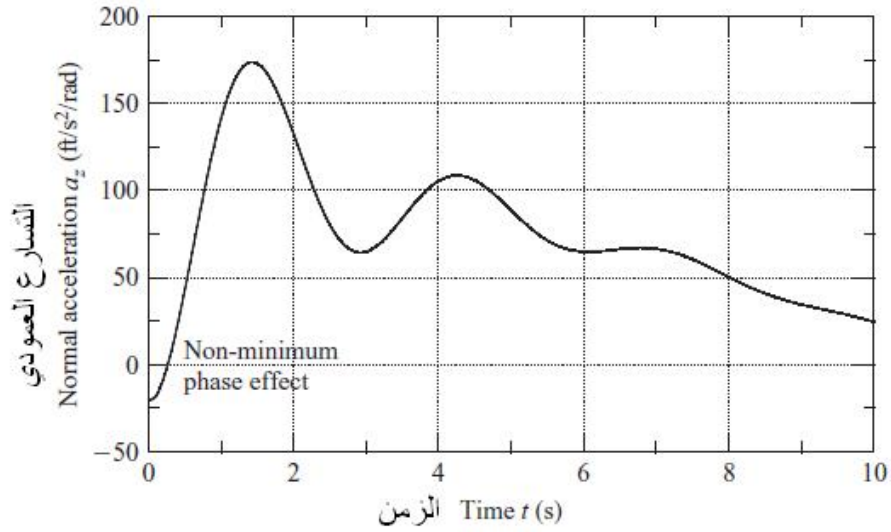


Figure 5.3 Normal acceleration response at the cg to an elevator unit step input.

الشكل 5.3 استجابة التسارع العمودي عند cg لمدخل خطوة أحادي للرافع

5.7 اقتترانات تحويل اضافية

عادة يلزمنا اقتترانات تحويل اضافية غير التي أخذناها ، فيمكن أن نكتبها بدلالة اقتترانات التحويل السابقة.

5.7.1 اقتران التحويل لاستجابة الارتفاع

معدل التغير في الارتفاع يمكن كتابته كالتالي:

$$\dot{h} = V_o q - w \quad \dots\dots\dots 5.115$$

ومنها مثلاً:

$$\frac{h(s)}{h(s)} = \frac{1}{s} \left(V_o \frac{q(s)}{h(s)} - \frac{w(s)}{h(s)} \right)$$

أي

$$\frac{N_h^h(s)}{\Delta(s)} = \frac{1}{s} \left(V_o \frac{N_h^q(s)}{\Delta(s)} - \frac{N_h^w(s)}{\Delta(s)} \right)$$

5.7.2 اقتران التحويل لاستجابة زاوية السقوط والانزلاق الجانبي

معدل التغير في زاوية السقوط يمكن كتابته كالتالي:

$$a \cong \frac{w}{V_o} \dots\dots\dots 5.119$$

ومنها مثلاً:

$$\frac{a(s)}{h(s)} = \frac{1}{V_o} \frac{w(s)}{h(s)}$$

أي

$$\frac{N_h^a(s)}{\Delta(s)} = \frac{1}{V_o} \frac{N_h^w(s)}{\Delta(s)}$$

معدل التغير في زاوية الانزلاق الجانبي يمكن كتابتها كالتالي:

$$b \cong \frac{v}{V_o} \dots\dots\dots 5.123$$

ومنها مثلاً:

$$\frac{b(s)}{x(s)} = \frac{1}{V_o} \frac{v(s)}{x(s)}$$

أي

$$\frac{N_x^b(s)}{\Delta(s)} = \frac{1}{V_o} \frac{N_x^v(s)}{\Delta(s)}$$

أيضاً من معادلة 5.123 :

$$\frac{b(s)}{z(s)} = \frac{1}{V_o} \frac{v(s)}{z(s)}$$

أي

$$\frac{N_x^b(s)}{\Delta(s)} = \frac{1}{V_o} \frac{N_x^v(s)}{\Delta(s)}$$

5.7.3 اقتران التحويل لزاوية مسار الطيران

زاوية مسار الطيران g تساوي

$$g = q - a \cong q - \frac{w}{V_o} \dots\dots\dots 5.127$$

ومنها مثلاً

$$\frac{g(s)}{h(s)} = \frac{q(s)}{h(s)} - \frac{1}{V_o} \frac{w(s)}{h(s)}$$

أي

$$\frac{N_h^g(s)}{h(s)} = \frac{N_h^q(s)}{\Delta(s)} - \frac{1}{V_o} \frac{N_h^w(s)}{\Delta(s)}$$

مثال 5.8

للطائرة المشروحة في مثال 5.2 أحسب اقترانات تحويل للاستجابات g h a q q w u

اقتران التحويل لاستجابة q ، أي $\frac{N_h^q(s)}{\Delta(s)}$ تحسب بالاستعانة بملحق 2 ، وفعلنا ذلك في مثال

5.2، وكانت النتيجة:

$$\frac{N_h^q(s)}{\Delta(s)} = \frac{-4.658(s+0.134)(s+0.269)}{(s^2+0.033s+0.022)(s^2+0.892s+4.883)} \text{ rad / rad}$$

اقتران التحويل لاستجابة q ، أي $\frac{N_h^q(s)}{\Delta(s)}$ تحسب بالاستعانة بملحق 2 (البيانات من مثال

5.2) ، والنتيجة بعد الحساب ستكون:

$$\frac{N_h^q(s)}{\Delta(s)} = \frac{-4.658s(s+0.134)(s+0.269)}{(s^2+0.033s+0.022)(s^2+0.892s+4.883)} \text{ rad / s / rad}$$

اقتران التحويل لاستجابة u ، أي $\frac{N_h^u(s)}{\Delta(s)}$ تحسب بالاستعانة بملحق 2 (البيانات من مثال

5.2) ، والنتيجة بعد الحساب ستكون:

$$\frac{N_h^u(s)}{\Delta(s)} = \frac{-4.664(s+0.135)(s+0.267)}{(s^2+0.033s+0.022)(s^2+0.893s+4.884)} \text{ rad / rad}$$

اقتران التحويل لاستجابة w ، أي $\frac{N_h^w(s)}{\Delta(s)}$ تحسب بالاستعانة بملحق 2 (البيانات من مثال

5.2) ، والنتيجة بعد الحساب ستكون:

$$\frac{N_h^w(s)}{\Delta(s)} = \frac{-22.147(s^2 + 0.035s + 0.023)(s + 64.675)}{(s^2 + 0.033s + 0.022)(s^2 + 0.893s + 4.884)} ft / s / rad$$

الآن دور اقترانات التحويل الجديدة التي أخذناها في هذا الدرس وهي

الآن دور اقترانات التحويل الجديدة المشروحة في هذا الدرس وهي لاستجابة (g h a)

$$\frac{N_h^a(s)}{\Delta(s)} = \frac{1}{V_o} \frac{N_h^w(s)}{\Delta(s)}$$

حيث V_o تساوي تقريبا U_e التي تساوي $305 ft / s$ (من مثال 5.2) ، إذن

$$\begin{aligned} \frac{N_h^a(s)}{\Delta(s)} &= \frac{1}{305} \frac{-22.147(s^2 + 0.035s + 0.023)(s + 64.675)}{(s^2 + 0.033s + 0.022)(s^2 + 0.893s + 4.884)} \\ &= \frac{-0.073(s^2 + 0.035s + 0.023)(s + 64.675)}{(s^2 + 0.033s + 0.022)(s^2 + 0.893s + 4.884)} rad / rad \end{aligned}$$

أما اقتران التحويل لاستجابة g فهو

$$\frac{N_h^g(s)}{h(s)} = \frac{N_h^q(s)}{\Delta(s)} - \frac{1}{V_o} \frac{N_h^w(s)}{\Delta(s)}$$

نعوض قيمة V_o واقترانات التحويل المناسبة في الصيغة السابقة، فنحصل بعد التبسيط على :

$$\frac{N_h^g(s)}{\Delta(s)} = \frac{0.073(s + 0.036)(s - 4.636)(s + 5.085)}{(s^2 + 0.033s + 0.022)(s^2 + 0.893s + 4.884)} rad / rad$$

أما اقتران التحويل لاستجابة h فهو

$$\frac{N_h^h(s)}{\Delta(s)} = \frac{1}{s} \left(V_o \frac{N_h^q(s)}{\Delta(s)} - \frac{N_h^w(s)}{\Delta(s)} \right)$$

نعوض قيمة V_o واقترانات التحويل المناسبة في الصيغة السابقة، فنحصل بعد التبسيط على :

$$\frac{N_h^h(s)}{\Delta(s)} = \frac{22.121(s + 0.036)(s - 4.636)(s + 5.085)}{s(s^2 + 0.033s + 0.022)(s^2 + 0.893s + 4.884)} rad / rad$$

(لاحظ أنه يمكننا الحصول عليه أيضا من العلاقة $\frac{N_h^h(s)}{\Delta(s)} = \frac{V_o}{s} \frac{N_h^g(s)}{\Delta(s)}$ (وهي سهلة الإثبات)

(

Input	مُدخَل
Output	مُخرَج
Laplace	لابلاس

Transfer function	اقتران التحويل
Polynomial	متعدد الحدود
Characteristic	مُمَيِّز
Phugoid	دوري
Short period	قصير الفترة
Frequency	تردد
Undamped natural frequency	تردد طبيعي غير متضائل
Short period	قصير الفترة
Impulse function	اقتران النبضة
Step function	اقتران الخطوة

6.1 الاستجابة للمتحكمات

حل معادلات الحركة الطولية - بطرق وحدة 5 مثلاً - يمكننا من الحصول على اقترانات التحويل للاستجابة. وهذا يصف بشكل كامل استجابة الديناميات الخطية لمدخل المتحكمات في مستوى التماثل . ويعطي الخصائص الدينامية التي تحددها خصائص الاستقرار للطائرة. اقترانات التحويل ومتغيرات الاستجابة جميعها خطية لأن نموذجنا الرياضي بُنيَ على افتراض ان الحركة مقيدة بقلقلات صغيرة حول حالة الوزانة المتوازنة. أيضاً عادة يمكن ان نفرض أن هذه الاقترانات يمكن استعمالها في القلقلات التي يصعب اعتبارها صغيرة. في معظم الطائرات التقليدية فإن الخطأ الناتج من هذا الافتراض صغير نسبياً، لأن خصائص هذه الطائرات تكون قريبة من الخطية ضمن غلاف طيرانها المعتاد. أما الطائرات ذات غلاف طيران عالي جداً فإن استعمال التقريب الخطي غير مقبول.

من المناسب مراجعة الاستجابة الطولية للطائرة لحركة الرفع حول حالة الوزانة مع بقاء الدفع ثابت. يمكن كتابة معادلات الحركة الموجودة في ملحق 2 . بالصورة التالية:

$$\frac{u(s)}{h(s)} = \frac{N_u^u(s)}{\Delta(s)} = \frac{k_u(s+1/T_u)(s^2 + 2Z_u w_u s + w_u^2)}{(s^2 + 2Z_p w_p s + w_p^2)(s^2 + 2Z_s w_s s + w_s^2)} \quad \dots\dots 6.2$$

$$\frac{w(s)}{h(s)} = \frac{N_h^w(s)}{\Delta(s)} = \frac{k_w(s+1/T_a)(s^2 + 2Z_a w_a s + w_a^2)}{(s^2 + 2Z_p w_p s + w_p^2)(s^2 + 2Z_s w_s s + w_s^2)} \quad \dots\dots 6.3$$

$$\frac{q(s)}{h(s)} = \frac{N_h^q(s)}{\Delta(s)} = \frac{k_q(s+1/T_{q_1})(s+1/T_{q_2})}{(s^2 + 2Z_p w_p s + w_p^2)(s^2 + 2Z_s w_s s + w_s^2)} \quad \dots\dots 6.4$$

$$\frac{\dot{q}(s)}{h(s)} = \frac{N_h^{\dot{q}}(s)}{\Delta(s)} = \frac{k_{\dot{q}}(s+1/T_{q_1})(s+1/T_{q_2})}{(s^2 + 2Z_p w_p s + w_p^2)(s^2 + 2Z_s w_s s + w_s^2)} \quad \dots\dots 6.5$$

(هذه المعادلات هي اعادة صياغة للمعادلات في ملحق 2 وليست بديل لها)

أكثر شيء يهمنا هو المقام حيث يحدد نسب التضاؤل والترددات الطبيعية والاستقرارية.

6.1 مثال

بالرجوع إلى أحد المراجع ، لطائرة Ling-Temco-Vought A-7A Corsair II ، عند ظروف طيران على ارتفاع ثابت مقداره 15000 ft عند رقم ماخ 0.3 ، وجدنا البيانات الايرودينامية التالية (بالنسبة لمحاور الجسم):

$$\begin{aligned}x_u &= 0.00501 & x_w &= 0.00464 & x_q &= -72.9 & x_q &= -31.34 & x_h &= 5.63 \\z_u &= -0.0857 & z_w &= -0.545 & z_q &= 309 & z_q &= -7.4 & z_h &= -23.8 \\m_u &= 0.00185 & m_w &= -0.00767 & m_q &= -0.395 & m_q &= 0.00132 \\m_h &= -4.51576\end{aligned}$$

الآن نحسب اقترانات التحويل لاستجابة $g \ a \ q \ q \ w \ u$ ، حيث اقترانات التحويل لـ $q \ w$ نحصل عليها بالاستعانة بالملحق 2 (صفحة 340) ، أما اقترانات التحويل لـ $g \ a$ فنحصل عليها بالتعويض في العلاقات المناسبة 5.7 (قيمة V_o تساوي تقريباً U_e والتي تساوي رقم ماخ ضرب سرعة الصوت عن الارتفاع المذكور (سرعة الصوت تساوي 1058 ft/s عند ذلك الارتفاع كما يفهم من المثال في الكتاب الأصلي)). بعد التبسيط لما سنحصل عليه ، نحصل على اقترانات التحويل بالصيغة التالية:

$$\begin{aligned}\frac{u(s)}{\eta(s)} &= \frac{5.63(s + 0.369)(s + 0.587)(s + 58.437)}{(s^2 + 0.033s + 0.020)(s^2 + 0.902s + 2.666)} \text{ ft/s/rad} \\ \frac{w(s)}{\eta(s)} &= \frac{-23.8(s^2 - 0.0088s + 0.0098)(s + 59.048)}{(s^2 + 0.033s + 0.020)(s^2 + 0.902s + 2.666)} \text{ ft/s/rad} \\ \frac{q(s)}{\eta(s)} &= \frac{-4.516s(s - 0.008)(s + 0.506)}{(s^2 + 0.033s + 0.020)(s^2 + 0.902s + 2.666)} \text{ rad/s/rad (deg/s/deg)} \\ \frac{\theta(s)}{\eta(s)} &= \frac{-4.516(s - 0.008)(s + 0.506)}{(s^2 + 0.033s + 0.020)(s^2 + 0.902s + 2.666)} \text{ rad/rad (deg/deg)} \\ \frac{\alpha(s)}{\eta(s)} &= \frac{-0.075(s^2 - 0.0088s + 0.0098)(s + 59.048)}{(s^2 + 0.033s + 0.020)(s^2 + 0.902s + 2.666)} \text{ rad/rad (deg/deg)} \\ \frac{\gamma(s)}{\eta(s)} &= \frac{0.075(s - 0.027)(s + 5.004)(s - 6.084)}{(s^2 + 0.033s + 0.020)(s^2 + 0.902s + 2.666)} \text{ rad/rad (deg/deg)}\end{aligned} \tag{6.8}$$

.....6.8

نحصل على المعادلة المميزة (characteristic equation) بمساواة المقام المشترك بالصفر ، أي

$$(s^2 + 0.033s + 0.02)(s^2 + 0.902s + 2.666) = 0$$

(وبمقارنة كل حد بالصيغة $(s^2 + 2zws + w^2)$ نحصل على:)
الحد الأول من المعادلة المميزة يصف نمط الاستقرار الدورية (phugiod) ، وله الخصائص التالية:

$$z_p = 0.11 \text{ نسبة التضاؤل}$$

$$w_p = 0.14 \text{ rad / s التردد الطبيعي الغير متضائل}$$

$$(s^2 + 2z_p w_p s + w_p^2) \text{ (حصلنا على هذه القيم بالمقارنة مع الصيغة)}$$

الحد الثاني المعادلة المميزة يصف نمط الاستقرار للتردد قصير الفترة (short period) ، وله الخصائص التالية:

$$z_s = 0.28 \text{ نسبة التضاؤل}$$

$$w_s = 1.63 \text{ rad / s التردد الطبيعي الغير متضائل}$$

خصائص هذا النمط تشير إلى أن الطائرة مستقرة إيروديناميا، لكن سنرى لاحقا أن نسبة التضاؤل صغيرة بصورة غير مقبولة.

استجابة الطائرة لمدخل رافع على شكل اقتران خطوة مقدارها (1°) مبين في الشكل

6.1 . الشكل يبين استجابة جميع المتغيرات الموجودة في معادلات 6.8

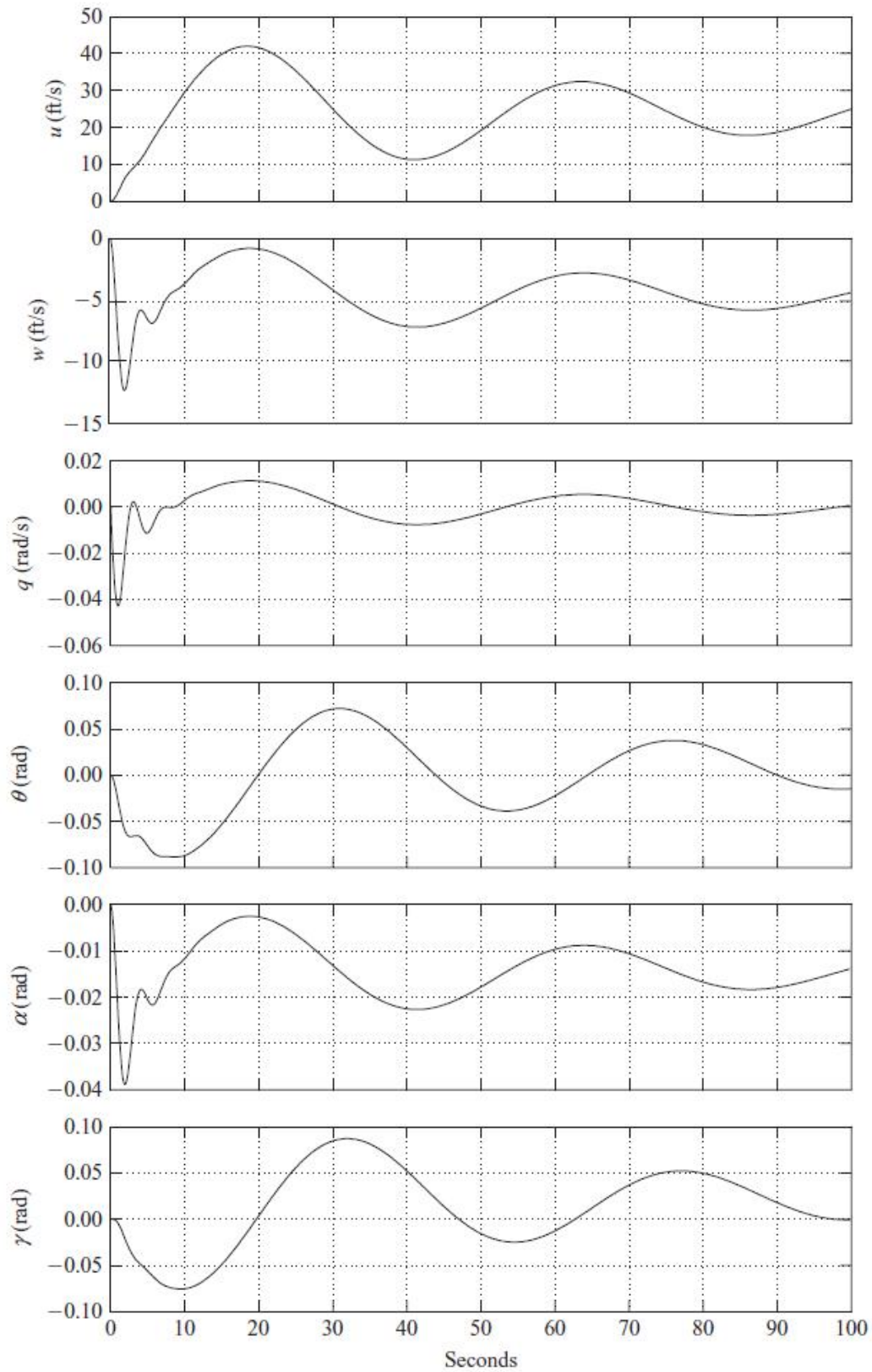


Figure 6.1 Aircraft response to 1° elevator step input.

الشكل 6.1

الاستجابات في الشكل تبين بوضوح نمطي الاستجابة (الدوري وقصير الفترة). لكن قيمة كل نمط استقرارية تختلف لكل متغير استجابة. مثلاً ، التذبذب قصير الفترة يكون أوضح شيء في بداية استجابة w q a ، بينما النمط الدوري في جميع المتغيرات ظاهر في جميع المتغيرات لكن له قيمة متباينة. طبعاً استقرارية الاستجابة هي نفسها ما يحددها هو المقام وهو مشترك لجميع اقترانات التحويل في معادلة 6.8 ، أما تنوع الاستجابات فناتج من تنوع البسط لاقترانات التحويل المذكورة.

نلاحظ من الشكل 6.1 أن النمط الدوري هو المسيطر لـ u ، وأن النمط قصير الفترة هو المسيطر لـ w و q ، والنمطان يظهران في q .

قيم الحالة المستقرة للمتغيرات الحاصلة بعد مدخل للرافع على شكل اقتران خطوة مقداره (1°) يمكن حسابها بواسطة نظرية القيمة النهائية (المعادلة 5.33) . اقترانات التحويل في معادلات 6.8 هي بوحدة rad، لذا يجب كتابة مدخل الخطوة بوحدة rad أيضاً، أي:

$$h(s) = \frac{1^\circ}{s} = \frac{1}{57.3s} \text{ rad} = \frac{0.0175}{s} \text{ rad}$$

لذا، على سبيل المثال، تحويل لابلاس لاستجابة السرعة لمدخل خطوة (1°) للرافع هو

$$u(s) = \frac{5.63(s+0.369)(s+0.587)(s+58.437)}{(s^2+0.033s+0.02)(s^2+0.9025s+2.666)} \frac{0.0175}{s} \text{ ft/s}$$

بتطبيق نظرية القيمة النهائية، معادلة 5.33 نحصل على :

$$u(t) = \lim_{t \rightarrow \infty} \left(s \frac{5.63(s+0.369)(s+0.587)(s+58.437)}{(s^2+0.033s+0.02)(s^2+0.9025s+2.666)} \frac{0.0175}{s} \right) \\ = 23.39 \text{ ft/s}$$

بما ان المدخل يكون باتجاه خفض مقدمة الطائرة ، فإن الاستجابة تستقر في النهاية على زيادة في السرعة بالقيمة المحسوبة فوق .

بنفس الطريقة نحسب قيمة الحالة المستقرة - (steady state) (أو اختصاراً ss) -

لباقى المتغيرات

$$\begin{aligned}
u_{ss} &= 23.39 \text{ ft/s} \\
w_{ss} &= -4.53 \text{ ft/s} \\
q_{ss} &= 0 \\
\dot{q}_{ss} &= 0.34^\circ \\
a_{ss} &= -0.81^\circ \\
g_{ss} &= 1.15^\circ
\end{aligned}$$

6.6.1 المعادلة المميزة

متعدد الحدود للمعادلة المميزة الطولانية هو من الرتبة الرابعة، وهو المقام المشترك لاقتراحات التحويل لاستجابة الطولانية ، وعندما نساويه بالصفر نسميه المعادلة المميزة، ويمكن كتابتها كالتالي:

$$As^4 + Bs^3 + Cs^2 + Ds + E = 0 \dots\dots\dots 6.11$$

أو بالصيغة الأشهر:

$$(s^2 + 2z_p w_p s + w_p^2)(s^2 + 2z_s w_s s + w_s^2) = 0 \dots\dots\dots 6.12$$

كما شرحنا، كل حد من هذين يصف نمط استجابة (الدوري وقصير الفترة). أنماط الاستقرار الموجودة في معادلة 6.12 تعطي وصف كامل لخصائص الاستقرار الطولانية للطائرة المعرضة لقلقلات صغيرة. لفهم خصائص الاستجابة لهذه الأنماط راجع الملحق 5 الذي يتكلم عن المثال المشهور لنظام زنبك وكتلة ومضائل (مثال توضيحي).

6.2 أنماط الاستقرار الدينامية

كلا نمطي الاستقرار الطولانية يتم تفعيلهما عند قلقلات الطائرة من وضع الوزاني الاتزاني. هذه القلقلات تحصل بسبب مدخل تحكم من الطيار أو تغير في قدرة المحرك أو تأثيرات المطبات الهوائية وغيرها .

6.2.1 التذبذب الخطراني قصير الفترة

النمط قصير الفترة هو بصورة رئيسية تذبذب متضائل في الخطران حول محور oy . بمجرد قلقلات الطائرة من وضع الاتزان الخطراني فإن هذا النمط يُفَعَّل على صورة ذبذبة كلاسيكية من الرتبة الثانية، بحيث أن المتغيرات الرئيسة هي زاوية السقوط a (و w ضمناً) ومعدل الخطران q ووضع الخطران q . ويمكن ملاحظة هذا في مثال 6.1 (شكل 6.1) . عادة يكون التردد الطبيعي الغير متضائل لهذا النمط بين 1 rad/s و 10 rad/s ، التضائل يكون عادة عامل استقرار بالرغم من أن نسبة التضائل تكون عادة أقل من المطلوب . أحد

معالم هذا النمط أن السرعة تبقى ثابتة ($u = 0$) خلال القفلة . فترة الذنب لهذا النمط قصيرة.

يمكن تمثيل الوضع الفيزيائي الموجود بمقارنتها بنظام زنبرك ومضائل كما في الشكل 6.2 . عند احداث قفلة تتحرك الطائرة بالشكل المبين في الشكل 6.2 . طبعاً لا يوجد زنبرك ومضائل لكن هذا تشبيه للقوى الايرودينامية الموجودة (والتي تكون على الذيل بشكل رئيسي في هذا النمط) .

قوة الارجاع (المشابهة للزنبرك) تنشأ بسبب ميل الذيل للاصطفاف باتجاه الريح (مثل ديك الريح الذي يوضع على ظهر البيوت لتحديد اتجاه الريح، ولذلك يسمى هذا التردد بتردد ذيل الديك (weathercock)

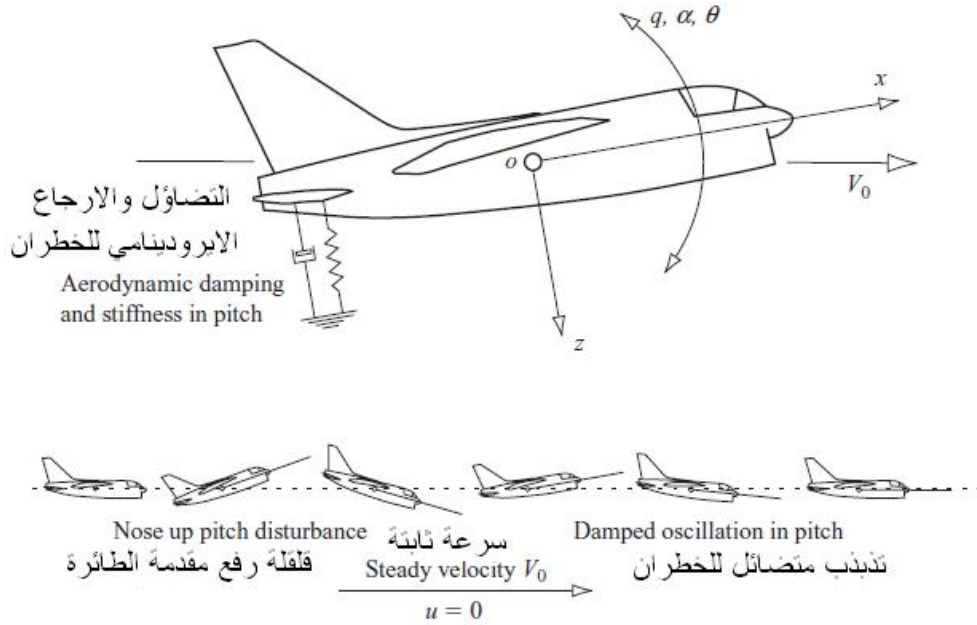


Figure 6.2 A stable short period pitching oscillation.

الشكل 6.2 تذبذب خطراني مستقر قصير الفترة

6.2.2 النمط الدوري (phugiod)

النمط الدوري هو تذبذب متضاؤل منخفض التردد للسرعة u ومتقارن مع وضع الخطران q والارتفاع h . هناك معلم واضح في هذا النمط وهو أن زاوية السقوط a (و w ضمناً) تبقى ثابتة تقريباً خلال القفلة . يمكن ملاحظة هذا في مثال 6.1 (شكل 6.1) . على كل حال نلاحظ أن النمط الدوري يظهر في جميع المتغيرات الطولانية، لكن قيمته في زاوية

السقوط a (و w) ومعدل الخطران q تكون صغيرة . عادة يكون التردد الصغير الغير متضائل بين $0.1rad/s$ و $1rad/s$ ، ونسبة التضائل صغيرة جداً.

لنستعرض الاستجابة في النمط الدوري التي تحصل بعد قلقله صغيرة في السرعة كما في الشكل 6.3 . ابتداءً تكون الطائرة تطير على ارتفاع ثابت بسرعة مستقرة مقدارها V_0 . لنفرض أنه حصلت قلقله خففت سرعة الطائرة بمقدار صغير u . فهذا سوف يسبب الحركة بالصورة الدورية المتضائلة المبينة في الشكل 6.3 (الشرح في الكتاب الأصلي). وسوف تبقى تنذبذب وتتضائل إلى أن تعود للوضع الأصلي.

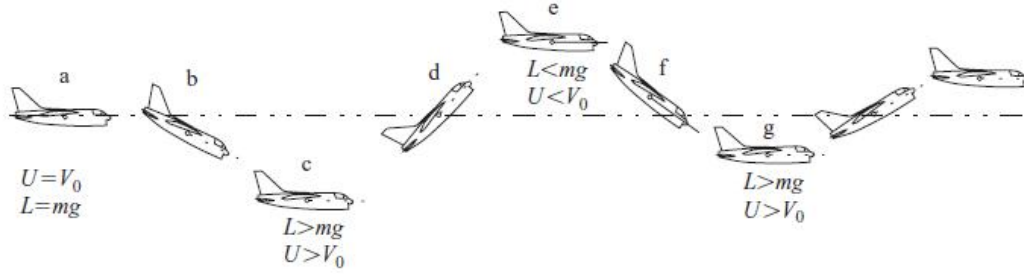


Figure 6.3 The development of a stable phugoid.

الشكل 6.3 النمط الدوري

6.3 النماذج مُخَفَّضَة الرتبة (reduced order models)

لغاية الآن ركزنا على الحل الدقيق لمعادلات الحركة الطولانية، والذي أعطى وصف دقيق لخصائص الاستقرار والاستجابة للطائرة. بالرغم من أن هذا عادة هو هدف دراسة ديناميات الطيران، إلا أن له سيئتين؛ الأولى، يجب استخدام طرق حاسوبية إذا أردنا تجنب الحل اليدوي المرهق جداً، والثانية، من الصعب وأحياناً من المستحيل وضع علاقة بين خصائص الاستقرار والمشتقات الايرودينامية. يمكن تجنب هاتين السيئتين باستخدام الحلول التقريبية والتي تعطي أيضاً فهم أكثر للظواهر الفيزيائية التي تتحكم في ديناميات الطائرة.

6.3.1 تقريب النمط قصير الفترة

بعد عدة تبسيطات وافتراضات (من بينها التعامل مع نظام محاور الريح) نحصل على تقريب لاقتربات التحويل الفعالة في حالة النمط قصير الفترة، وهي :

$$\frac{w(s)}{h(s)} = \frac{z_h \left(s + U_e \frac{m_h}{z_h} \right)}{s^2 - (m_q + z_w)s + (m_q z_w - m_w U_e)} \equiv \frac{k_w (s + 1/T_a)}{s^2 + 2Z_s w_s s + w_s^2} \dots\dots\dots 6.17$$

$$\frac{q(s)}{h(s)} = \frac{m_h(s - z_w)}{s^2 - (m_q + z_w)s + (m_q z_w - m_w U_e)} \equiv \frac{k_q(s + 1/T_{q_2})}{s^2 + 2z_s w_s s + w_s^2} \dots\dots\dots 6.18$$

$$\frac{q(s)}{h(s)} = \frac{1}{s} \frac{q(s)}{h(s)} \quad \text{فحصل عليها بالاستعانة بالعلاقة}$$

نحصل من مقام هذه العلاقات على التردد الطبيعي w_s ونسبة التضاؤل z_s ، أي

$$\left. \begin{aligned} 2z_s w_s &= -(m_q + z_w) \\ w_s &= \sqrt{m_q z_w - m_w U_e} \end{aligned} \right\} \dots\dots\dots 6.20$$

علاقة الرموز المستخدمة هنا بالمشتقات الإيرودينامية مبينة في الملحق 1 ، ومنها نستطيع الحصول على العلاقة التالية:

$$\left. \begin{aligned} 2z_s w_s &= - \left(\frac{\overset{o}{M}_q}{I_y} + \frac{\overset{o}{Z}_w}{m} + \frac{\overset{o}{M}_w U_e}{I_y} \right) \\ w_s &= \sqrt{\frac{\overset{o}{M}_q}{I_y} \frac{\overset{o}{Z}_w}{m} - \frac{\overset{o}{M}_w U_e}{I_y}} \end{aligned} \right\} \dots\dots\dots 6.21$$

للطائرات التقليدية يمكن التقريب أكثر للوصول للقيمة التالية:

$$\left. \begin{aligned} 2z_s w_s &= - \frac{\overset{o}{M}_q}{I_y} \\ w_s &= \sqrt{- \frac{\overset{o}{M}_w U_e}{I_y}} \end{aligned} \right\} \dots\dots\dots 6.21$$

قيمة المشتقة $\overset{o}{M}_w$ تعتمد على إروديناميات الذيل. إشارة $\overset{o}{M}_w$ تعتمد على موقع cg ، تصبح أكثر سالبة عندما يكون الـ cg أقرب لمقدمة الطائرة. إذن النمط قصير الفترة يكون مستقر إذا كان الـ cg بعيد كفاية باتجاه مقدمة الطائرة. موقع الـ cg الذي تكون عنده $\overset{o}{M}_w$ تساوي صفر يسمى نقطة التعادل للمتحكمات الثابتة، وبالتالي $\overset{o}{M}_w$ تعطي هامش الأمان للمتحكمات الثابتة للطائرة. بالرجوع لمعادلة 6.19 أو 6.20 ، موقع cg الذي تصبح عنده $m_q z_w - m_w U_e$ مساوية للصفر يسمى نقطة الناور للـ c.g الثابتة للطائرة.

6.3.2 تقريب النمط الدوري

هذا النمط لوحده قليل الأهمية في دراسة ديناميات الطيران ولكن فائدته الحقيقية تكون في تعريف الخصائص الإيرودينامية لهيكل الطائرة التي تتحكم في خصائص هذا النمط.

بعد الكثير من العمليات والتبسيط نحصل على قيمة نسبة التضاؤل والتردد الطبيعي

لهذا النمط وهي:

$$\left. \begin{aligned} 2z_p w_p &= -x_u \approx \frac{\overset{o}{X}_u}{m} \\ w_p &= \sqrt{-\frac{g z_u}{U_e}} \approx \sqrt{-\frac{g \overset{o}{Z}_u}{m U_e}} \end{aligned} \right\} \dots\dots\dots 6.36$$

عادة تكون z_p قريبة من الصفر

يمكن اجراء تبسيطات وافتراضات أخرى لنصل إلى نتيجة (وهي أقل دقة من السابقة)

:

$$w_p = \frac{g \sqrt{2}}{V_o} \dots\dots\dots 6.39$$

$$z_p = \frac{1}{\sqrt{2}} \left(\frac{C_D}{C_L} \right) \dots\dots\dots 6.40$$

نلاحظ أن نسبة التضاؤل تتناسب عكسيا مع "نسبة الرفع إلى المقاومة"، وبما أن هذه القيمة يجب أن تكون عالية في الطائرات، فستكون قيمة z_p كما سبق أن قلنا.

6.2 مثال

لتوضيح استعمال النماذج منخفضة الدرجة لنأخذ الطائرة في مثال 6.1 عند نفس ظروف

الطيران، المثال 6.1 أعطى بيانات الطائرة ($m_w \dots\dots$) بالنسبة لاحتاثيات الجسم منها:

$$z_h = -23.8 \quad z_w = -0.545 \quad m_h = -4.51576$$

$$m_w = -0.00767 \quad m_q = -0.395$$

لكن يجب أن نحول هذه القيم إلى القيم المقابلة عند احداثيات الريح، وذلك بالاستعانة بملحق 7

و 8 (وربما 1!) ، بعد التحويل نحصل على القيم التالية (على ذمة الكتاب الأصلي):

$$z_h = -24.4568 \quad z_w = -0.49774 \quad m_h = -4.51576$$

$$m_w = -0.0079 \quad m_q = -0.39499$$

$$U_e = 316$$

الآن نعوض في معادلة 6.17 و 6.18 وفي $a = w/V_o \approx w/U_e$ للحصول على افتراضات

التحويل :

$$\left. \begin{aligned} \frac{w(s)}{h(s)} &= \frac{-24.457(s+59.015)}{(s^2 + 0.893s + 2.704)} ft/s/rad \\ \frac{q(s)}{h(s)} &= \frac{-4.516(s+0.455)}{(s^2 + 0.893s + 2.704)} rad/s/rad(deg/s/deg) \\ \frac{a(s)}{h(s)} &= \frac{-0.077(s+59.015)}{(s^2 + 0.893s + 2.704)} rad/rad(deg/deg) \end{aligned} \right\} \dots\dots 6.43$$

من المهم تذكر أن اقتراحات التحويل هذه تصف تقريبا الاستجابة قصيرة الفترة لهذه المتغيرات المسيطرة في الحركة قصيرة الفترة. وضع الخطران قصير الفترة المقابل هو :

$$\frac{q(s)}{h(s)} = \frac{1}{s} \frac{q(s)}{h(s)} = \frac{-4.516(s+0.455)}{s(s^2 + 0.893s + 2.704)} rad / rad(deg/deg) \dots\dots 6.44$$

القيم التقريبية لنسب التضاؤل والتردد الطبيعي الغير متضائل للنمط قصير الفترة يمكن حسابها من معادلة 6.21 ، وتساوي :

$$z_s = 0.27 \quad \text{نسبة التضاؤل}$$

$$w_s = 1.64 rad / s \quad \text{التردد الطبيعي الغير متضائل}$$

نلاحظ أن هذه القيم قريبة جدا من القيم الدقيقة في مثال 6.1

الآن لنأخذ استجابة قصيرة الفترة لمدخل الرفع. الاستجابات لاقتران خطوة 1°

للمتغيرات المعطاة في معادلة 6.43 مبينة في الشكل 6.5 . أيضا موضح على نفس الرسم

الاستجابات للنموذج الكامل (مثال 6.1) من معادلات 6.41 . نلاحظ أنه في العشر ثواني

الأولى يكون هناك توافق بين النموذجين . مما يعني أن النموذج مخفض الرتبة مقبول لدراسة الاستجابة للنمط قصير الفترة.

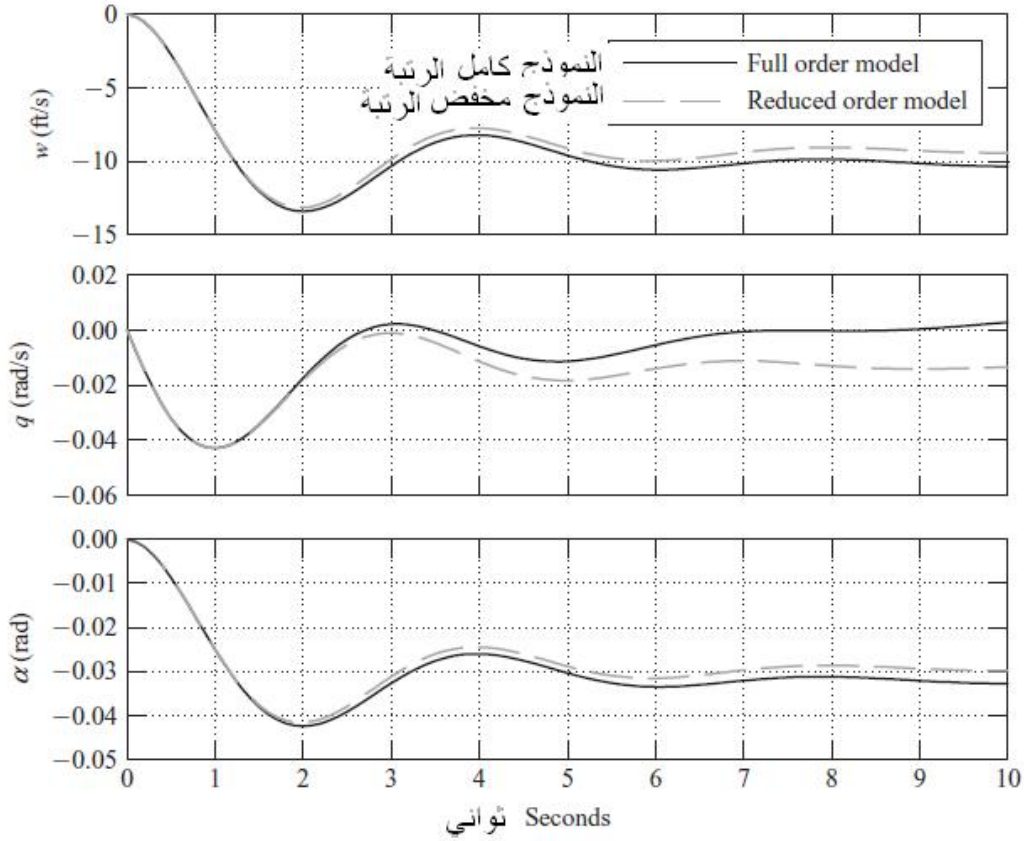


Figure 6.5 Reduced order longitudinal response to 1° elevator step input.

الشكل 6.5 الاستجابة الطولانية مخفضة الرتبة لمدخل اقتران خطوة مقدارها 1°

الآن لننتقل إلى خصائص النموذج مخفض الرتبة للنمط الدوري. البيانات التي تلزمنا (بالنسبة لمحور الريح) هي :

$$x_u = 0.04225 \text{ l/s}$$

$$z_u = 0.20455 \text{ l/s}$$

$$m_u = -0.0003 \text{ rad/ft}$$

$$U_e = V_o = 317.48 \text{ ft/s}$$

بالتعويض في معادلات 6.36 نحصل على :

$$z_p = 0.147 \quad \text{نسبة التضاؤل}$$

$$w_p = 0.144 \text{ rad/s} \quad \text{التردد الطبيعي الغير متضاؤل}$$

بالمقارنة مع القيم الدقيقة في مثال 6.1 نلاحظ توافق جيد خصوصاً لـ w_p

7.1 الاستجابة للمتحكمات

نحصل على اقترانات التحويل الجانبية الاتجاهية بحل معادلات الحركة الجانبية باستخدام طرق الوحدة الخامسة مثلاً.

اقترانات التحويل تصف بشكل كامل الديناميات الخطية لاستجابة الانزلاق الجانبي والعطوف والانعراج لمداخلات الجنيحات والدفة. اقترانات التحويل تحوي ضمناً خصائص الاستقرار الجانبية-الاتجاهية. كما في السابق، فإن اقترانات التحويل ومتغيرات الاستجابة الموصوفة بها خطية لأن النموذج الرياضي الذي استخدمناه لاشتقاقها كان مقيد بالقلقات الصغيرة حول وضع الاتزان الوزاني. فرضنا أن وضع الاتزان الوزاني معناه الطيران المُطرد (steady) على ارتفاع ثابت.

بما أن هناك مدخلين (الجنيحات والدفة)، فهناك مجموعتين من اقترانات التحويل. على العموم، أنماط الديناميات الجانبية-الاتجاهية ليست منفصلة عن بعضها كثيراً. وتميل للتقارب الدينامي بدرجة أكبر. ملاحظة أخرى، بعكس الديناميات الطولانية، فإن الديناميات الجانبية-الاتجاهية لا تتغير كثيراً مع ظروف الطيران، لأن معظم الطائرات تمتلك تماثل إيرودينامي بفعل التصميم.

معادلات الحركة الجانبية-الاتجاهية تصف قلقات صغيرة حول ظرف الاتزان

الوزاني بالنسبة لمحاور الريح. يمكن الحصول على اقترانات التحويل بالاستعانة بملحق 2. عادة تكتب اقترانات التحويل التي تصف الاستجابة للجنيحات بالصورة التالية:

$$\frac{v(s)}{x(s)} = \frac{N_x^v(s)}{\Delta(s)} = \frac{k_v(s+1/T_{b_1})(s+1/T_{b_2})}{(s+1/T_s)(s+1/T_r)(s^2+2Z_d w_d s + w_d^2)} \dots\dots 7.2$$

$$\frac{p(s)}{x(s)} = \frac{N_x^p(s)}{\Delta(s)} = \frac{k_p s(s^2+2Z_f w_f s + w_f^2)}{(s+1/T_s)(s+1/T_r)(s^2+2Z_d w_d s + w_d^2)} \dots\dots 7.3$$

$$\frac{r(s)}{x(s)} = \frac{N_x^r(s)}{\Delta(s)} = \frac{k_r(s+1/T_y)(s^2+2Z_y w_y s + w_y^2)}{(s+1/T_s)(s+1/T_r)(s^2+2Z_d w_d s + w_d^2)} \dots\dots 7.4$$

$$\frac{f(s)}{x(s)} = \frac{N_x^f(s)}{\Delta(s)} = \frac{k_f(s^2+2Z_f w_f s + w_f^2)}{(s+1/T_s)(s+1/T_r)(s^2+2Z_d w_d s + w_d^2)} \dots\dots 7.5$$

واقترانات التحويل التي تصف الاستجابة للدفة تكتب عادة بالصورة التالية:

$$\frac{v(s)}{z(s)} = \frac{N_z^v(s)}{\Delta(s)} = \frac{k_v(s+1/T_{b_1})(s+1/T_{b_2})(s+1/T_{b_3})}{(s+1/T_s)(s+1/T_r)(s^2 + 2Z_d w_d s + w_d^2)} \dots\dots 7.6$$

$$\frac{p(s)}{z(s)} = \frac{N_z^p(s)}{\Delta(s)} = \frac{k_p s(s+1/T_{f_1})(s+1/T_{f_2})}{(s+1/T_s)(s+1/T_r)(s^2 + 2Z_d w_d s + w_d^2)} \dots\dots 7.7$$

$$\frac{r(s)}{z(s)} = \frac{N_z^r(s)}{\Delta(s)} = \frac{k_r(s+1/T_y)(s^2 + 2Z_y w_y s + w_y^2)}{(s+1/T_s)(s+1/T_r)(s^2 + 2Z_d w_d s + w_d^2)} \dots\dots 7.8$$

$$\frac{f(s)}{z(s)} = \frac{N_z^f(s)}{\Delta(s)} = \frac{k_f(s+1/T_{f_1})(s+1/T_{f_2})}{(s+1/T_s)(s+1/T_r)(s^2 + 2Z_d w_d s + w_d^2)} \dots\dots 7.9$$

اقترانات التحويل لها تنوع في متعددات الحدود الموجودة في البسط، ونفس متعدد

الحدود في المقام ، كما هو مبين في الملحق 2 .

في المعادلات 7.2 – 7.9 نلاحظ تكرار بعض رموز البسط في اقترانات التحويل

للدفة والجنيحات، لكن هذا لا يعني أن لها نفس القيمة! ؛ أما المقام فهو نفسه لجميع اقترانات التحويل.

كما في السابق، مقام اقتران التحويل يصف المعادلة المميزة (عند مساواتها بالصفر)، والتي بدورها تصف خصائص الاستقرار الجانبية الاتجاهية للطائرة. ولهذا يكون المقام نفسه لجميع اقترانات التحويل. استجابة جميع المتغيرات لمدخل الدفة أو الجنيحات مسيطر عليها من قبل حدود المقام، تحديداً ثوابت الزمن ونسبة التضاؤل والتردد الطبيعي. الاختلاف بين كل واحد من المتغيرات ينتج من اختلاف البسط ، لكن الشكل العام للاستجابة يحدده المقام.

مثال 7.1

طائرة Douglas DC-8 تطير على ارتفاع 150000 ft ولها رقم ماخ 0.44 ووزنها

190000 lb ، حصلنا على البيانات التالية (بالنسبة لمحاور الريح):

$$y_v = -0.1008 \quad y_p = 0 \quad y_r = -468.2 \quad y_f = 32.2 \quad y_x = 0$$

$$y_z = 13.48416$$

$$l_v = -0.00579 \quad l_p = -1.232 \quad l_r = 0.397 \quad l_f = 0 \quad l_x = -1.62 \quad l_z = 0.392$$

$$n_v = 0.00278 \quad n_p = -0.0364 \quad n_r = -0.257 \quad n_f = 0 \quad n_x = -0.01875$$

$$n_z = -0.864$$

أما : سرعة الطائرة = رقم ماخ × سرعة الصوت عند الارتفاع المذكور

$$V_o = 1060 \times 0.44 = 466.4 \text{ (بوحد } ft/s \text{)}$$

بتعويض البيانات السابقة في اقترانات التحويل في ملحق 2 (صفحة 341) وباستخدام المعادلة

$$\frac{b(s)}{x(s)} = \frac{1}{V_o} \frac{v(s)}{x(s)} \quad (\text{من درس 5.7.2}) , \text{ نحصل على اقترانات التحويل لاستجابة الجنيحات:}$$

$$\left. \begin{aligned} \frac{v(s)}{x(s)} &= \frac{8.779(s+0.197)(s-7.896)}{(s+0.0065)(s+1.329)(s^2+0.254s+1.433)} ft/s/rad \\ \frac{p(s)}{x(s)} &= \frac{-1.62s(s^2+0.362s+1.359)}{(s+0.0065)(s+1.329)(s^2+0.254s+1.433)} rad/s/rad(deg/s/deg) \\ \frac{r(s)}{x(s)} &= \frac{-0.0188(s+1.59)(s^2-3.246s+4.982)}{(s+0.0065)(s+1.329)(s^2+0.254s+1.433)} rad/s/rad(deg/s/deg) \\ \frac{f(s)}{x(s)} &= \frac{-1.62(s^2+0.362s+1.359)}{(s+0.0065)(s+1.329)(s^2+0.254s+1.433)} rad/rad(deg/deg) \\ \frac{b(s)}{x(s)} &= \frac{0.0188(s+0.197)(s-7.896)}{(s+0.0065)(s+1.329)(s^2+0.254s+1.433)} rad/rad(deg/deg) \end{aligned} \right\} \dots\dots 7.12$$

ومن نفس الملحق والدرسين المذكورين نحصل على اقترانات التحويل لمدخل الدفة:

$$\left. \begin{aligned} \frac{v(s)}{z(s)} &= \frac{13.484(s-0.0148)(s+1.297)(s+30.207)}{(s+0.0065)(s+1.329)(s^2+0.254s+1.433)} ft/s/rad \\ \frac{p(s)}{z(s)} &= \frac{0.392s(s+1.85)(s-2.566)}{(s+0.0065)(s+1.329)(s^2+0.254s+1.433)} rad/s/rad(deg/s/deg) \\ \frac{r(s)}{z(s)} &= \frac{-0.864(s+1.335)(s^2-0.03s+0.109)}{(s+0.0065)(s+1.329)(s^2+0.254s+1.433)} rad/s/rad(deg/s/deg) \\ \frac{f(s)}{z(s)} &= \frac{0.392(s+1.85)(s-2.566)}{(s+0.0065)(s+1.329)(s^2+0.254s+1.433)} rad/rad(deg/deg) \\ \frac{b(s)}{z(s)} &= \frac{0.029(s-0.0148)(s+1.297)(s+30.207)}{(s+0.0065)(s+1.329)(s^2+0.254s+1.433)} rad/rad(deg/deg) \end{aligned} \right\} \dots\dots 7.13$$

نحصل على المعادلة المميزة بمساواة المقام بصفر:

$$\Delta(s) = (s+0.0065)(s+1.329)(s^2+0.254s+1.433) = 0 \quad \dots\dots 7.14$$

الحد الأول من المعادلة يصف النمط الحلزوني (spiral mode) الذي له ثابت زمن (time

constant) يساوي:

$$T_s = \frac{1}{0.0065} = 154s$$

الحد الثاني من معادلة 7.14 يصف نمط الفتور العطوفي (roll subsidence)، وثابت الزمن يساوي:

$$T_r = \frac{1}{1.329} = 0.75s$$

والحد الثالث يصف نمط العطوف الهولندي المتذبذب (oscillatory dutch roll) وله الخصائص التالية:

نسبة التضاؤل: $z_d = 0.11$

التردد الطبيعي الغير متضاؤل: $w_d = 1.2 \text{ rad/s}$

نلاحظ من المعادلة المميزة أن الطائرة مستقرة.

الاستجابة لمدخل جنيح على شكل نبضة مقدارها 1° تستمر لثانيتين ثم ترجع للصفر مبين في الشكل 7.1 .

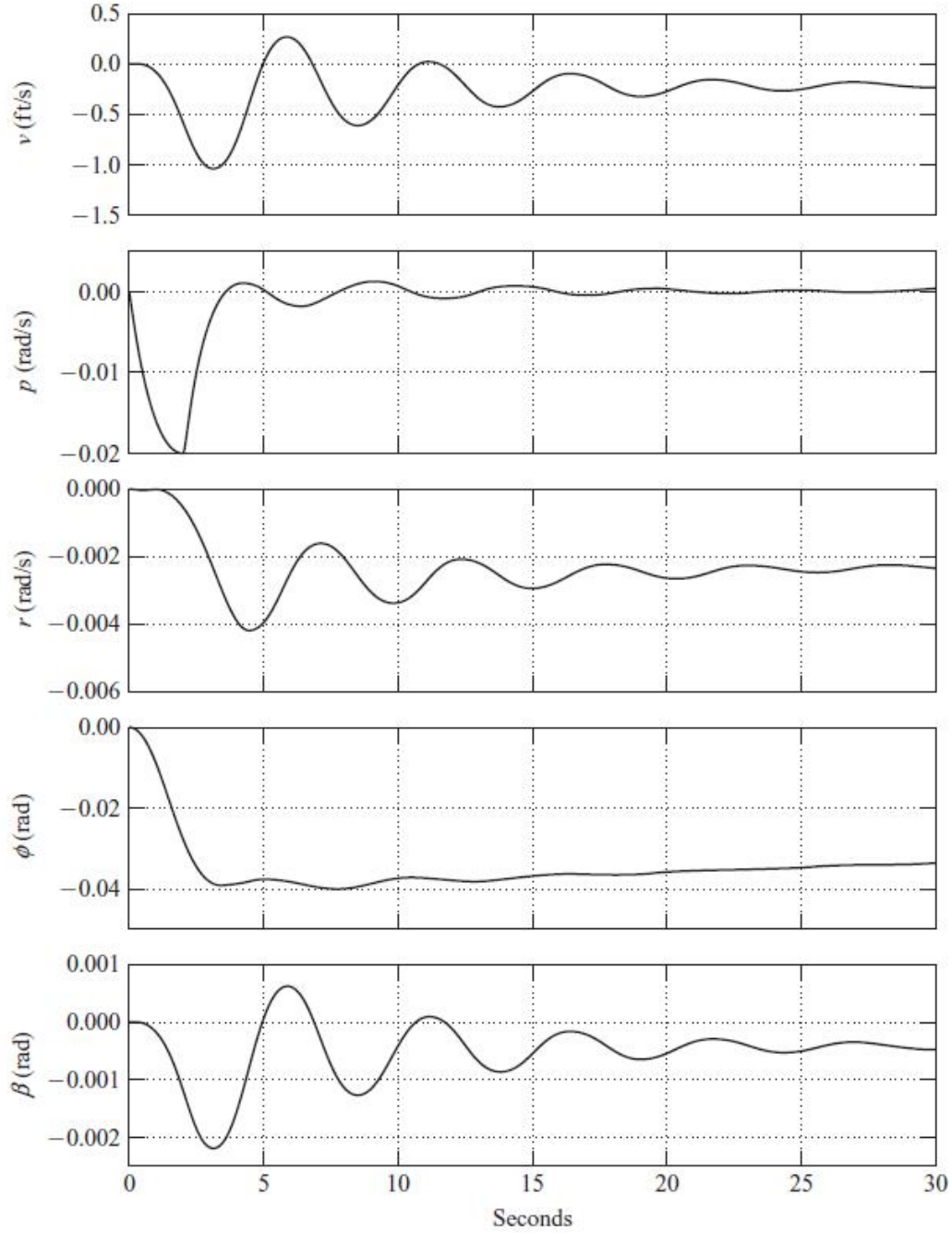


Figure 7.1 Aircraft response to 1° 2 s aileron pulse input.

الشكل 7.1 استجابة الطائرة لمدخل جنح نبضة مقداره 1° ومدته ثانيتين.

الاستجابة لمدخل دفعة على شكل خطوة مقدارها 1° مبين في الشكل 7.2 .

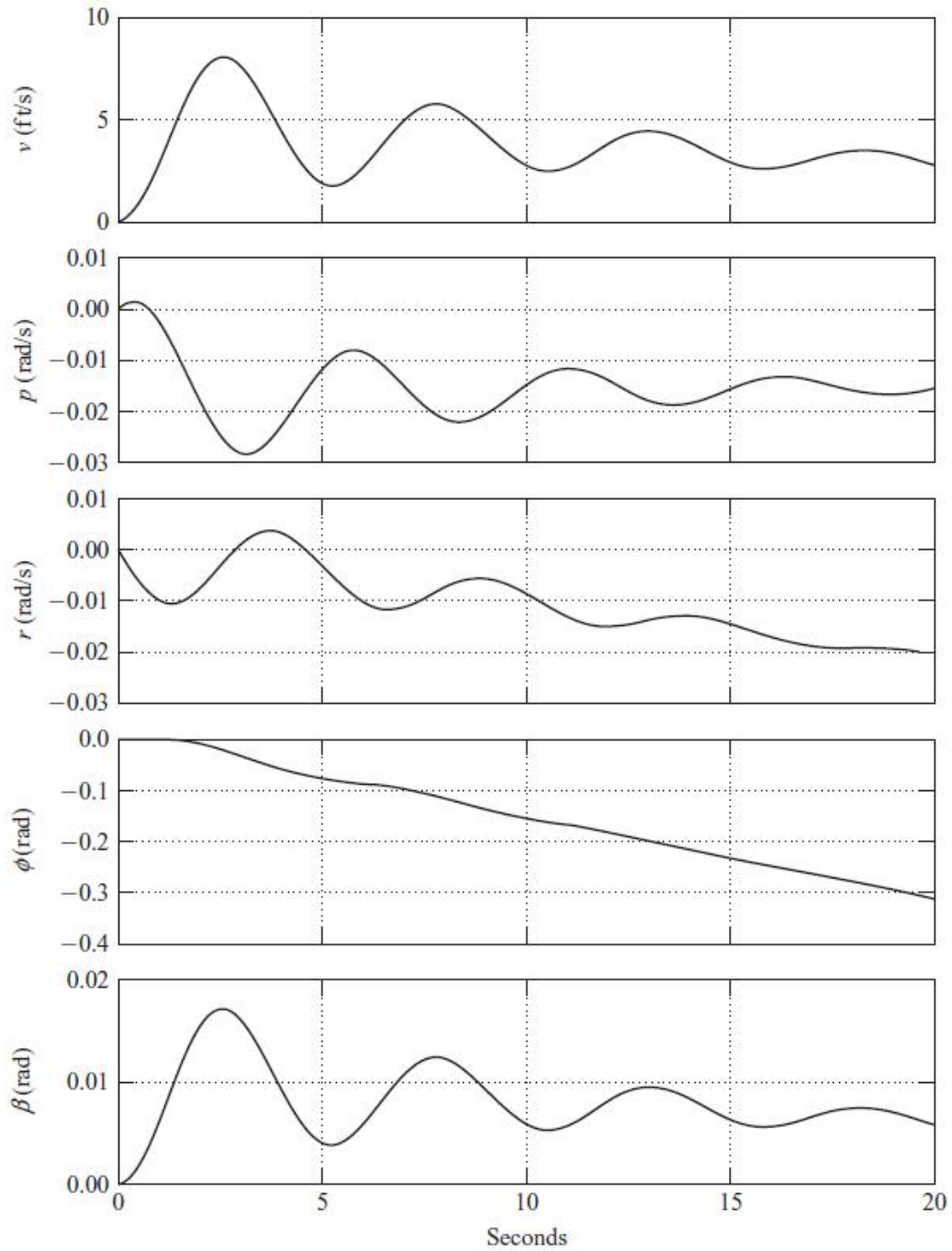


Figure 7.2 Aircraft response to 1° rudder step input.

الشكل 7.2 استجابة الطائرة لمدخل جنيح خطوة مقداره 1° .

يمكن الحصول على قيم الحالة المستقرة (steady state) لمتغيرات الحركة الحاصلة بعد خطوة مقدارها 1° للجنيحات أو الدفة باستعمال نظرية القيمة النهائية (معادلة 5.33) على اقترانات التحويل في معادلات 7.12 و 7.13 ، ومنها نحصل على القيم التالية:

لمدخل خطوة للجنيح (aileron):

$$\begin{bmatrix} v \\ p \\ r \\ f \\ b \end{bmatrix}_{steady\ state} = \begin{bmatrix} -19.24\ ft/s \\ 0 \\ -11.99\ deg/s \\ -177.84\ deg \\ -2.35\ deg \end{bmatrix}_{aileron}$$

لمدخل خطوة للدفة (rudder):

$$\begin{bmatrix} v \\ p \\ r \\ f \\ b \end{bmatrix}_{steady\ state} = \begin{bmatrix} -11.0\ ft/s \\ 0 \\ -10.18\ deg/s \\ -150.36\ deg \\ -1.35\ deg \end{bmatrix}_{rudder}$$

7.1.1 المعادلة المميزة

متعدد الحدود للمعادلة المميزة في الحالة الجانبية-الاتجاهية يكون من الرتبة الرابعة، أي :

$$As^4 + Bs^3 + Cs^2 + Ds + E = 0 \quad \dots\dots 7.18$$

ويمكن كتابتها أيضا بالصورة المهمة التالية:

$$(s+1/T_s)(s+1/T_r)(s^2 + 2\zeta_d w_d s + w_d^2) = 0 \quad \dots\dots\dots 7.19$$

كما ذكرنا سابقا، الحد الأول يصف النمط الحلزوني الغير متذبذب والحد الثاني يصف نمط الفتور العطوفي الغير متذبذب والحد الثالث يصف نمط العطوف الهولندي المتذبذب. لفهم أكثر حول معنى هذه الحدود يجب الرجوع إلى مثال نظام الزنبرك في ملحق 5. بخلاف الديناميات الطولانية، فإن التعامل مع الديناميات الجانبية-الاتجاهية ليس مباشر كثيرا؛ لأن أنماط الاستقرار ليست مستقلة كثير عن بعضها، حيث هناك نسبة أكبر من التقارن والتفاعلات بين الأنماط.

7.2 أنماط الاستقرار الدينامية

عندما تقلل الطائرة عن وضع الاتزان الوزاني فإن أنماط الاستقرار الجانبية-الاتجاهية سوف تُفعّل. هذه القلقلات تنشأ من أوامر التحكم من الطيار أو من تغير وضع القدرة للمحرك أو من تغيرات شكل هيكل الطائرة مثل حركة القلابات أو من تأثيرات خارجية مثل المطبات الهوائية.

7.2.1 نمط الفتور العطوفي

نمط الفتور العطوفي أو بعبارة أبسط نمط العطوف (roll mode) ، هو خاصية جانبية (lateral) غير اهتزازية، والذي يكون عادة غير متقارن مع النمط الحلزوني ونمط العطوف الهولندي. المبدأ الايرودينامي الميكانيكي الذي يحكم هذا النمط مبين في الشكل 7.3

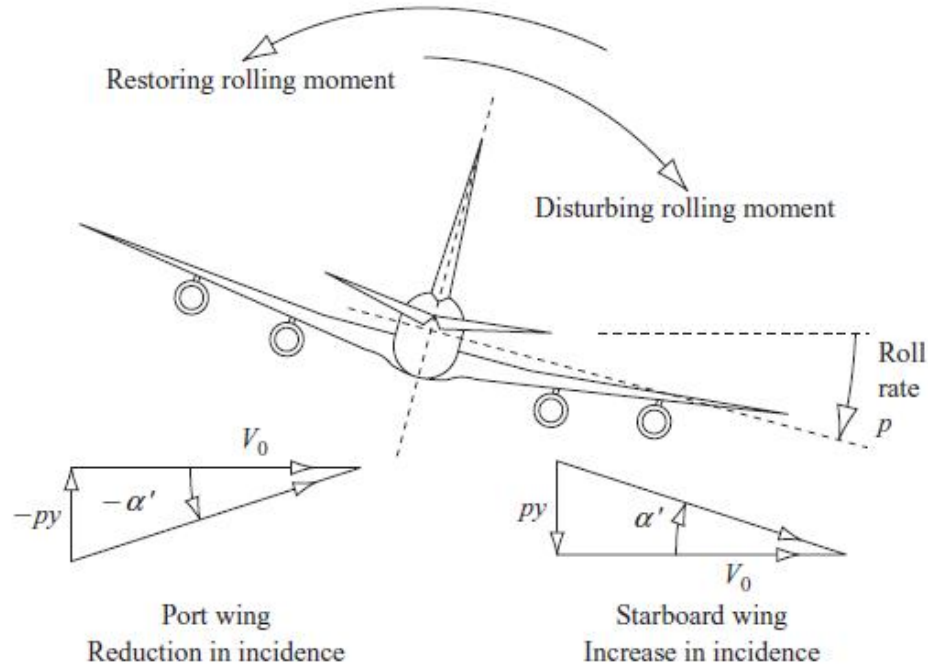


Figure 7.3 The roll subsidence mode.

الشكل 7.3 نمط الفتور العطوفي

7.2.2 النمط الحلزوني

أيضا النمط الحلزوني غير اهتزازي . بعد تفعيله يكون هذا النمط عادة بطيء في الحصول ويتضمن تقارن معقد في الحركة بين العطوف والانعراج والانزلاق الجانبي. المبدأ الايرودينامي الميكانيكي الذي يحكم هذا النمط مبين في الشكل 7.4 . خصائص هذا النمط تعتمد بشدة على الاستقرارية الاستاتية الجانبية والاتجاهية للطائرة.

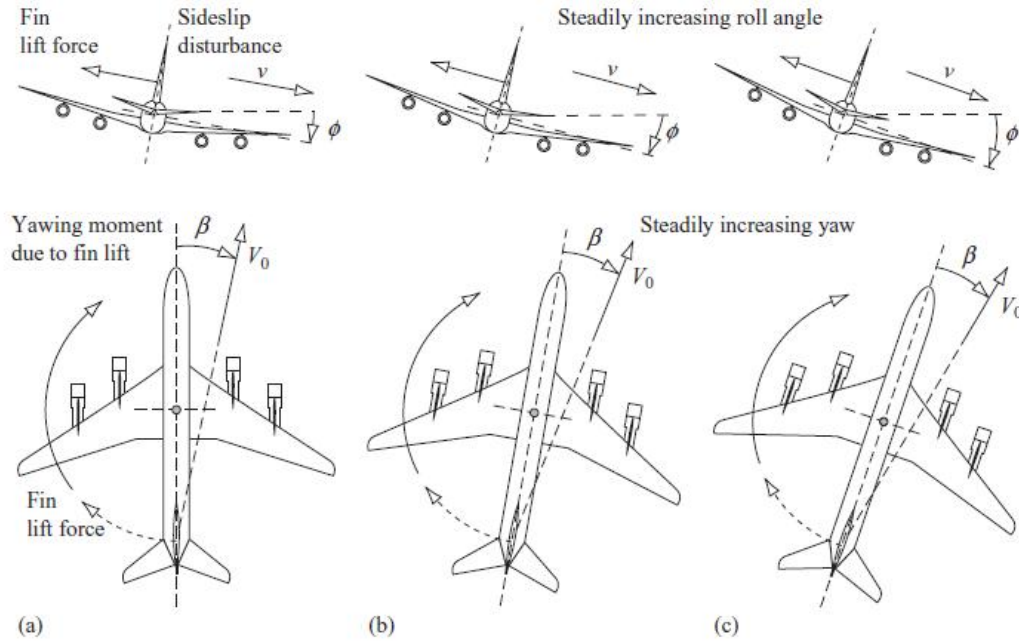


Figure 7.4 The spiral mode development.

الشكل 7.4 النمط الحلزوني

عندما يكون أثر الزوجية (dihedral) أكبر من أثر الزعنفه (fin) يكون النمط الحلزوني مستقر ومتقارب ، أما لالعكس فيعني عدم استقرارية (تباعد). لكن عادة يكون هذان الأثران متساويان ولهذا يكون هذا النمط تقريباً متعادل الاستقرارية. ثابت الزمن كبير جداً عادة يكون بمئات الثواني، هذا يعني أنه إذا كان هذا النمط مستقر فإن الرجوع لوضع الاستواء الأفقي للأجنحة يكون بطيء، وعندما يكون غير مستقر ، يكون تباعده عن الاستواء أيضاً بطيء.

في حالة عدم الاستقرارية يكون تباعد الطائرة عن الاستقرارية بطيء ويكون في العطف والانعراج وأيضاً في الارتفاع (بسبب اختلال توازن القوى)، وسيظهر الطيران بشكل حلزوني. وإن استمر سترتطم الطائرة بالأرض، لكن بما أن هذا الوضع بطيء فبإمكان الطيار التدخل لحل المشكلة . لذلك من المسموح أن تكون الطائرة غير مستقرة في الخط الحلزوني بشرط ان يكون ثابت الزمن كبير.

7.2.3 نمط العطف الهولندي

نمط العطف الهولندي هو اهتزاز كلاسيكي متضائل في الانعراج ومتقارب مع العطف و -بدرجة أقل - مع الانزلاق الجانبي. لذا فإن الحركة الموصوفة بهذا النمط تتضمن تفاعل معقد بين درجات الحرية الثلاث للحركة الجانبية -الاتجاهية. التردد الطبيعي لهذا النمط

له نفس رتبة التردد الطبيعي للنمط قصير الفترة، لكن التضاؤل يكون أقل. هذا النمط موضح في الشكل 7.5

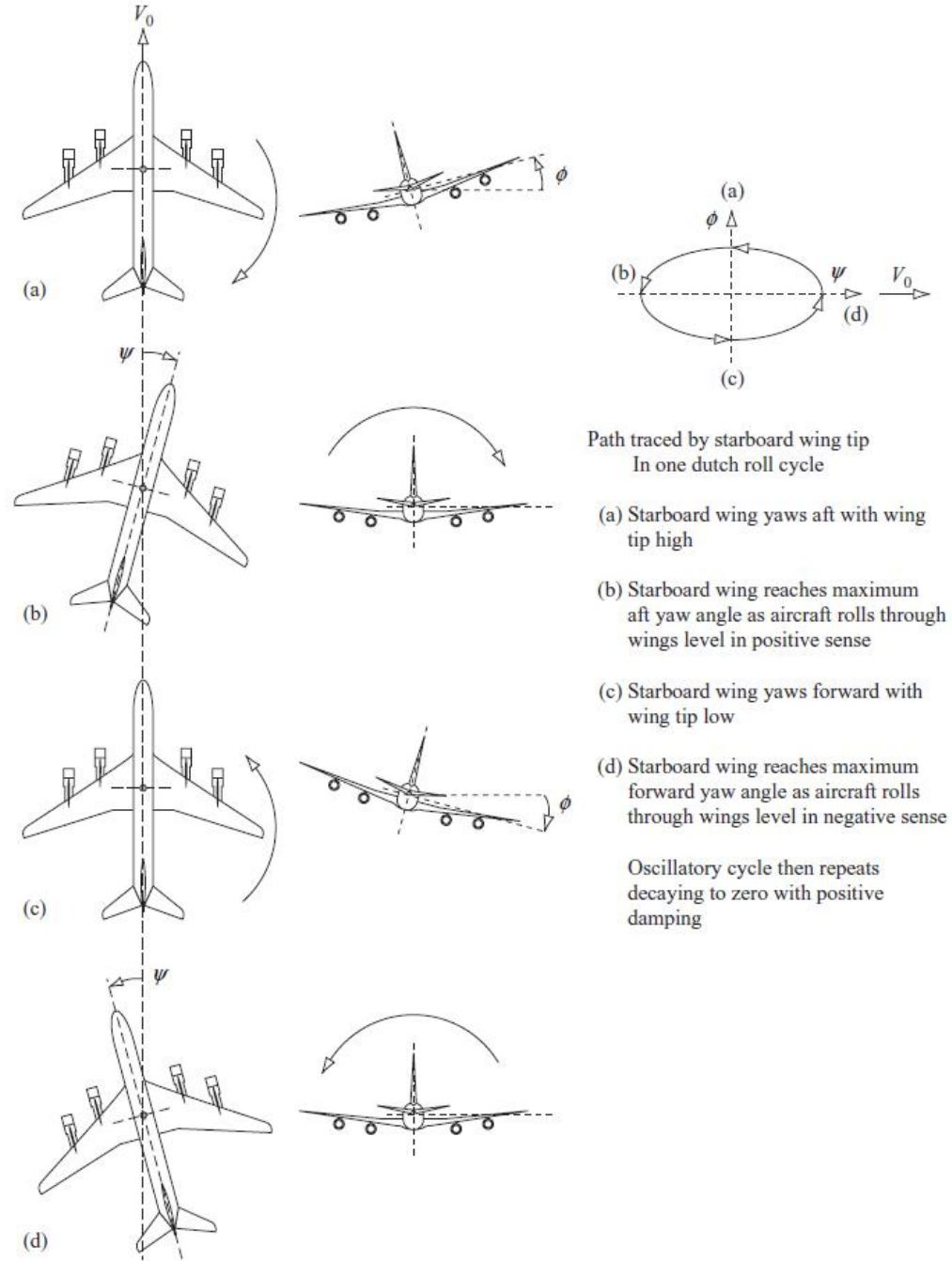


Figure 7.5 The oscillatory dutch roll mode.

الشكل 7.5 نمط العطوف الهولندي المهتز

الزعنفة (fin) الكبيرة مفيدة لإحداث نمط عطوف هولندي مستقر وجيد. لكن لسوء الحظ هذا يعارض متطلبات الاستقرارية للنمط الحلزوني المستقر. التصميم الأيرودينامي عادة يكون متوسط عدم الاستقرارية في النمط الحلزوني وضعيف التضائل في نمط العطوف الهولندي.

7.3 النماذج مخفضة الرتبة

بخلاف معادلات الحركة الطولانية فإنه من الصعب إيجاد حل تقريبي لمعادلات الحركة. بسبب وجود تقارن للحركة بين الأنماط الثلاث (بدرجات متفاوتة)، لذا فإن حل تقريبي مستقل يعني خسران في الدقة. لكن مع ذلك النماذج المبسطة لها فوائد.

7.3.1 تقريب نمط العطوف

عندما تكون القلقلات صغيرة، فإن نمط الفتور العطوفي يتضمن عادة حركة عطوف خالصة مع قليل من التقارن مع الانزلاق الجانبي والانعراج. بعد تبسيط المعادلات نحصل على اقتران التحويل التالي (بالنسبة لمحاور الريح):

$$\frac{p(s)}{x(s)} = \frac{l_x}{s - l_p} = \frac{k_p}{s + 1/T_r} \dots\dots\dots 7.25$$

هذه المعادلة تصف بشكل جيد أول ثانية أو ثانييتين من استجابة العطوف للجنيح . ثابت الزمن يمكن كتابته بالصيغة التقريبية التالية:

$$T_r \cong \frac{-I_x}{L_p} \dots\dots\dots 7.27$$

حيث I_x هو عزم القصور الذاتي للعطوف.

7.3.2 تقريب النمط الحلزوني

بعد عدد من الحسابات والتقريبات نحصل على الصيغة التقريبية التالية للنمط الحلزوني

:

$$T_s \cong \frac{y_r(l_v n_p - l_p n_v)}{y_f(l_r n_v - l_v n_r)} \dots\dots\dots 7.34$$

والتي يمكن كتابتها بالصيغة التقريبية التالية

$$T_s \cong - \frac{U_e \begin{pmatrix} \overset{o}{L}_v \overset{o}{N}_p - \overset{o}{L}_p \overset{o}{N}_v \end{pmatrix}}{g \begin{pmatrix} \overset{o}{L}_r \overset{o}{N}_v - \overset{o}{L}_v \overset{o}{N}_r \end{pmatrix}} = - \frac{V_o \begin{pmatrix} L_v N_p - L_p N_v \end{pmatrix}}{g \begin{pmatrix} L_r N_v - L_v N_r \end{pmatrix}} \dots\dots\dots$$

7.35

الآن، ليكون النمط الحزوني مستقر يجب أن تكون T_s موجبة، عادة البسط يكون موجب لكل الطائرات التقليدية دون الصوتية، فعليه شرط الاستقرارية يصبح

$$L_v N_r > L_r N_v \dots\dots\dots 7.36$$

7.3.3 التقريب لنمط العطوف الهولندي

مع بعض التقريبات والافتراضات (المبالغ فيها نسبياً) نحصل على العلاقات التقريبية التالية:

$$\left. \begin{aligned} 2Z_d w_d &\cong - \left(\frac{\dot{N}_r}{I_z} + \frac{\dot{Y}_v}{m} \right) \\ w_d^2 &\cong \left(\frac{\dot{N}_r}{I_z} \frac{\dot{Y}_v}{m} - V_o \frac{\dot{N}_v}{I_z} \right) \cong -V_o \frac{\dot{N}_v}{I_z} \end{aligned} \right\} \dots\dots\dots 7.40$$

مثال 7.2

لنأخذ الطائرة في مثال 7.1 ، نعوض قيمة $l_x = -1.62$ و $l_z = 0.392$ المعطاة في مثال 7.1 في معادلة 7.25 لنحصل على المعادلة :

$$\frac{p(s)}{x(s)} = \frac{-1.62}{s + 1.232} \text{deg/s/deg} \dots\dots\dots 7.43$$

بالرجوع لمعادلة 7.25 ، فإن ثابت الزمن التقريبي يساوي

$$T_r \cong \frac{1}{1.232} = 0.812s$$

وهي قريبة من القيمة الدقيقة التي حصلنا عليها في مثال 7.1 ($T_r = 0.75s$) . الثواني الأولى من استجابة معدل العطوف لمدخل خطوة للجنح مقدارها 1° في هذا النموذج التقريبي (المعادلة 7.43) مبينة في الشكل 7.6 . وهو قريب من الحل الدقيق المعطى بمعادلة 7.12 .

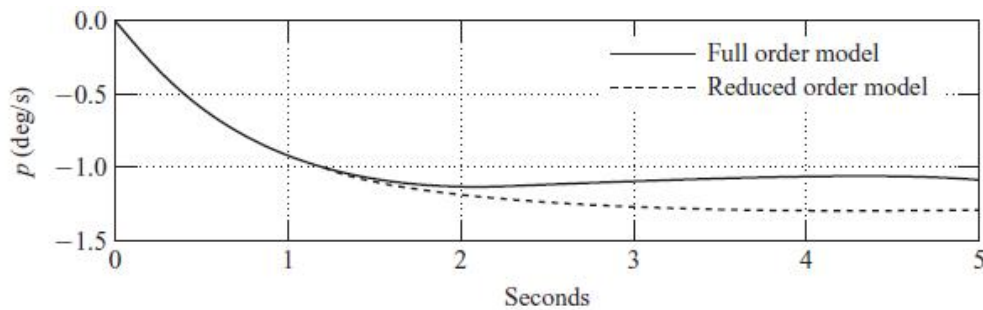


Figure 7.6 Roll rate response to 1° aileron step input.

الشكل 7.6 معدل استجابة العطوف لمدخل خطوة 1° للجنيح

بالرجوع لمعادلة 7.34 و 7.35 يمكن أن نكتب المعادلة التالية :

$$T_s \cong -\frac{U_e(l_v n_p - l_p n_v)}{g(l_r n_v - l_v n_r)} \dots\dots\dots 7.45$$

بتعويض القيم من مثال 7.1 في هذه المعادلة نحصل على:

$$T_s \cong -\frac{468.2(0.0002 - 0.00343)}{32.2(0.0011 - 0.00149)} = 135.34s$$

نلاحظ أن هذه القيمة ليست قريبة كثيراً من القيمة الحقيقية التي حصلنا عليها في مثال 7.1 ($T_s = 154s$) لكن هذا غير مهم لأن هذا النمط بطيء بالنسبة لردة فعل الطيار. نلاحظ أن شرط الاستقرار في معادلة 7.36 متحقق

$$0.00149 > 0.0011$$

لاحظ أن الرقمين متقاربين مما يعني أن الطائرة قريبة من حالة تعادل الاستقرار، وهذا أمر معتاد في الطائرات التقليدية مثل DC-8 .

نحصل على قيمة تقريبية لنسبة التضاؤل والتردد الطبيعي الغير متضائل لنمط

العطوف الهولندي بتعويض بيانات مثال 7.1 في المعادلات 7.39 ، وسنحصل على

$$w_d = 1.152 \text{ rad / s}$$

$$z_d = 0.135$$

وهي قريبة من القيم الدقيقة في مثال 7.1 ، والتي كانت $w_d = 1.2 \text{ rad / s}$ و $z_d = 0.11$. لكن هذا التقارب الجيد لا يكون موجود دائماً.

Spiral mode	النمط الحلزوني
time constant	ثابت الزمن
roll subsidence mode	نمط الفتور العطوفي
oscillatory dutch roll mode	نمط العطوف الهولندي المتذبذب
roll mode	نمط العطوف
fin	زعنفة

9.1 مقدمة

ذكرنا الاستقرارية في الوحدات السابقة دون تعريف رسمي لها. لذا من المناسب أخذ الموضوع الآن بمزيد من التفصيل.

9.1.1 تعريف الاستقرارية

النظام (الطائرة) الذي يكون ابتداءً حالة اتزان وزاني نقول عنه مستقر إذا بعد أن أثرت عليه قفلة محدودة القيمة والمدة؛ أصبحت استجابته في النهاية صغيرة متلاشية.

9.1.3 الاستقرارية الاستاتيكية والدينامية

الاستقرارية الاستاتيكية للطائرة تصف ميل الطائرة للعودة لوضع الاتزان الابتدائي بعد حصول قفلة عن وضع الوزانة. الاستقرارية الدينامية تصف الحركة العابرة (transient) الحثة في عملية الرجوع للاتزان بعد القفلة. من المهم أن تمتلك الطائرة لنوعي الاستقرارية كي تكون آمنة. لكن درجة الاستقرارية أيضا مهمة جداً لأنها تحدد كفاءة متحكمات الطائرة.

9.1.4 التحكم

من التعريف ، الطائرة المستقرة تمنع التقلقل، أي تميل للبقاء في حالة الطيران المتزن الوزاني. شدة الممانعة للقفلة تُحدّد بواسطة درجة الاستقرارية التي تمتلكها الطائرة. الطائرة عالية الاستقرارية تحتاج قوة تحكم كبيرة لتتناور حول وضع الوزانة. بينما الطائرة قليلة الاستقرارية لها مساوؤها المعروفة أيضا.

9.2 المعادلة المميزة

عزفنا من الوحدات السابقة أن مقام اقترانات التحويل هو متعدد الحدود المميز، وجذوره (roots) تحدد نمط الاستقرارية للطائرة. بمساواة متعدد الحدود المميز بالصفر نحصل على المعادلة المميزة. لاحظنا أن أكبر رتبة للمعادلة المميزة في هذا الكتاب كانت 4 . المعادلة المميزة من الرتبة n تكتب بالصيغة العامة التالية:

$$a_n s^n + a_{n-1} s^{n-1} + \dots + a_1 s + a_0 = 0 \dots\dots\dots 9.1$$

استقرارية النظام تحدد بواسطة الجذور الـ n (أعني ذات العدد n) للمعادلة 9.1 .
الجذور قد تكون حقيقية (real) أو أزواج مركبة (complex) ، إذن يمكن كتابة الجذور كالتالي :

$$s = -s_1 \text{ والحل الزمني هو } k_1 e^{-s_1 t} \quad (i)$$

$$s = -s_2 \text{ والحل الزمني هو } k_2 e^{-s_2 t} \sin(g_2 t + f) \quad (ii)$$

حيث s هو الجذر الحقيقي و g هو الجزء الوهمي و $\dots\dots\dots$.

عندما تكون جميع الجذور لها جزء حقيقي سالب فإن الجزء العابر من الاستجابة يؤول للصفر مع $t \rightarrow \infty$ ونقول عندها أن النظام مستقر. النظام يكون غير مستقر عندما يكون الجزء الحقيقي لأحد الجذور موجب، النظام يكون متعادل الاستقرارية عندما يكون أحد الأجزاء لأحد الجذور مساوي للصفر. لذا فإن الاستقرارية والتصرف الدينامي لأي نظام (طائرة مثلاً) هو مجموع الديناميات المرتبطة بكل جذر للمعادلة المميزة.

9.3 الاستقرارية للرتبة الرابعة

بما أن المعادلات المميزة الطولانية والاتجاهية-الجانبية تكون من الدرجة الرابعة، فسوف نركز على هذه الحالة هنا. لنكتب المعادلة المميزة من الرتبة الرابعة على الصورة التالية

$$As^4 + Bs^3 + Cs^2 + Ds + E = 0 \dots\dots\dots 9.16$$

حيث المعاملات E, B, C, D, E مبينة في الملحق 2 . كي يكون عندنا استقرارية يجب أن يكون (الاثبات في الكتاب الأصلي) :

$$D(BC - AD) - B^2 E > 0$$

$$E > 0$$

لندرس الشرط المهم في حالة الطائرة $E > 0$ ، بالرجوع للملحق 2 نجد أن E لمعادلات الحركة الطولانية (بالنسبة لمحاور الريح) تساوي:

$$E = mg \left(\overset{\circ}{M}_w \overset{\circ}{Z}_u - \overset{\circ}{M}_u \overset{\circ}{Z}_w \right) \dots\dots\dots 9.19$$

إذن يمكن كتابة شرط الاستقرارية كالتالي:

$$M_w Z_u > M_u Z_w \dots\dots\dots 9.20$$

M_w هي مقياس لهامش الاستقرارية الطولانية للمتحكمات الثابتة، Z_u تعتمد بشدة على معامل الرفع، Z_w يسيطر عليها ميل منحنى الرفع، و M_u لها قيمة فعالة عند أرقام ماخ عالية فقط. إذن M_w يجب أن تكون كبيرة كفاية ليكون عندنا استقرارية.

للاستقرارية الجانبية الاتجاهية من ملحق 2 :

$$E = mg \left(\overset{\circ}{L}_v \overset{\circ}{N}_r - \overset{\circ}{L}_r \overset{\circ}{N}_v \right) \dots\dots\dots 9.21$$

إذن شرط الاستقرارية يصبح

$$L_v N_r > L_r N_v \dots\dots\dots 9.22$$

عادة تحقيق هذا الشرط يتم بواسطة القيم النسبية لـ N_r و L_v . N_r و L_v هي المشتقات التي تصف الاستقرارية الاستاتية للمتحكمات الثانية في الحالة الجانبية والاتجاهية على التوالي. قيمة المشتقة L_v تتحدد من أثر الزوجية الجانبية (lateral dihedral effect) وقيمة المشتقة N_v تتحدد من أثر "ديك الريح" الاتجاهي. المعادلة 9.22 أيضا تحدد أيضا شرط الاستقرارية للنمط الحزوني كما ذكرنا في درس 7.3.2 .

بسم الله الرحمن الرحيم

13

مشتقات التحكم والاستقرارية الايرودينامية

Aerodynamic stability & control derivatives

في مختصر هذه الوحدة سنأخذ صيغ بسيطة لمشتقات التحكم والاستقرارية بالنسبة لمحاور الريح ، إذا لزمنا هذه المشتقات بالنسبة لمحاور الجسم فعلينا أن نحولها إليها بالاستعانة بالطرق في ملحق 7 و 8 . جميع العلاقات التالية هي للطيران دون الصوتي . يجب الإشارة إلى أن هذه العلاقات البسيطة نادراً ما تعطي نتائج دقيقة . من أجل علاقات أدق يجب الرجوع لمراجع أوسع .

13.2 مشتقات الاستقرارية الايرودينامية الطولانية

ملخص العلاقات في هذه الوحدة موجود في الملحق 6 . (والهدف من عدم الاكتفاء بالملحق هو الرغبة في توضيح معنى الرموز والأمور المستخدمة فيه فقط (المترجم))
الشكل 13.1 يبين قفلة صغيرة طولانية . حيث المحاور المعتمدة هي محاور الريح والظرف الابتدائي هو طيران مضطرب (steady) على ارتفاع ثابت بسرعة V_0 ودفع t .

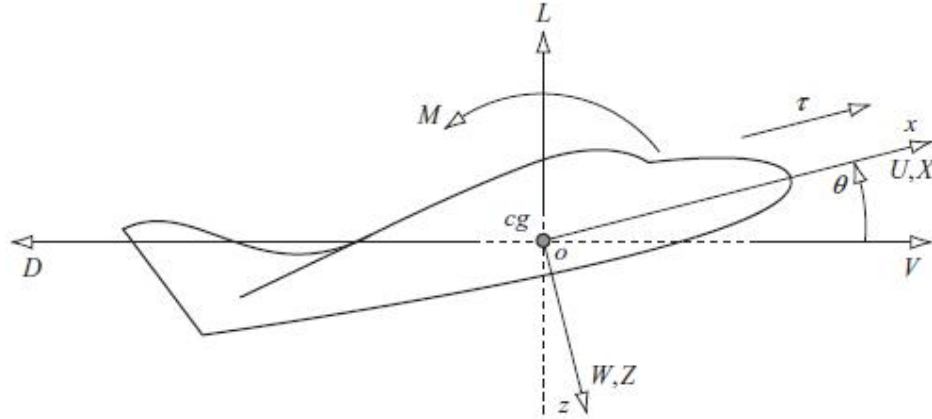


Figure 13.1 Perturbed wind axes.

الشكل 13.1 محاور الريح المقلقة

عند القفلة تصبح السرعة الكلية V ومركباتها U و W على المحاور OX و OZ .
بما أننا سنستخدم محاور الريح فزاوية قفلة الخطر q هي نفسها زاوية قفلة السقوط a .

a ميل منحنى الرفع

r كثافة الهواء

S مساحة الجناح

k_n هامش الاستقرار للمتحكمات الثابتة (controls fixed static stability)

$$M_w = \frac{dC_m}{da} = \frac{dC_L}{da} \frac{dC_m}{dC_L} = a k_n$$

إذا قامت الطائرة بالخطران بمعدل خطران q كما في الشكل 13.2 ؛ فهذا الخطران سوف

يجعل زاوية سقوط الذيل المحلية هي a_T

$$a_T \approx \frac{ql_T}{V}$$

حيث l_T هي المسافة بين cg للطائرة والمركز الايرودينامي للذيل الأفقي، انظر الشكل 13.2

الرمز السفلي T يرمز للذيل الأفقي الثابت (Tailplane)

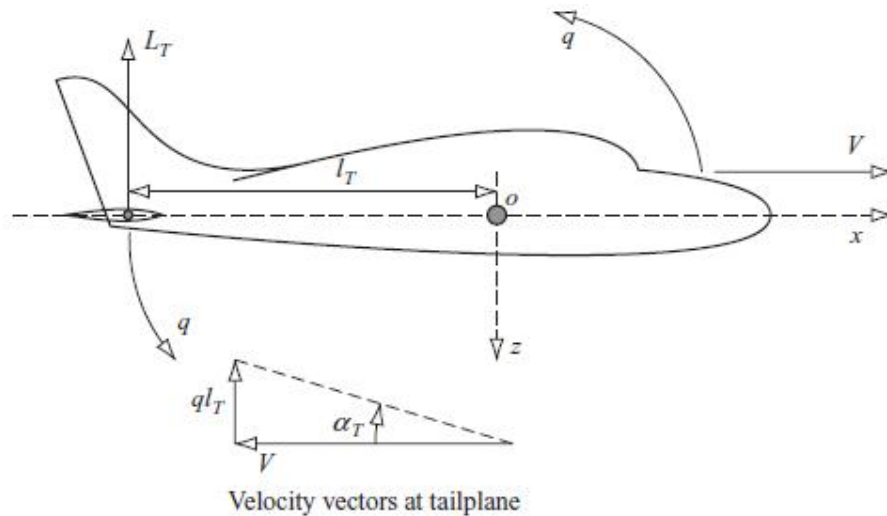


Figure 13.2 Tailplane incidence due to pitch rate.

الشكل 13.2 زاوية سقوط الذيل الأفقي بفعل معدل الخطران

C_{D_T} هو معامل مقاومة الذيل الأفقي.

\bar{V}_T يسمى نسبة حجم الذيل الأفقي tail Volume ratio ، ويُعرّف كالتالي

$$\bar{V}_T = \frac{S_T l_T}{S \bar{c}}$$

a_1 ميل منحنى الرفع للذيل الأفقي

$$a_1 = \frac{\partial C_{L_T}}{\partial a}$$

وجود الجناح يؤثر على اتجاه الرياح الساقط على الذيل بظاهرة تسمى الانجراف السفلي (downwash)، وهذا الانجراف السفلي (أو انحراف الرياح) سيغير زاوية السقوط للذيل بقيمة e (وتسمى زاوية الانجراف السفلي). أنظر الشكل 13.3. وزاوية سقوط الذيل تصبح :

$$a_T(t) = a_e + h_T - e(t)$$

حيث a_e هو زاوية سقوط الجناح في حالة الاتزان، h_T هي الزاوية الثابتة للذيل (للجزء الثابت)، و e هي زاوية الانجراف السفلي عند الذيل.

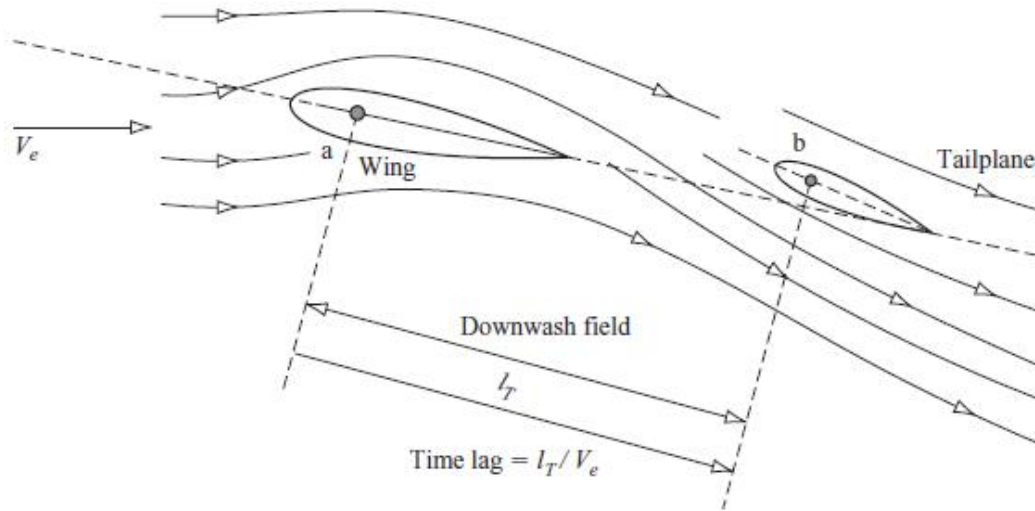


Figure 13.3 A typical downwash field.

الشكل 13.3

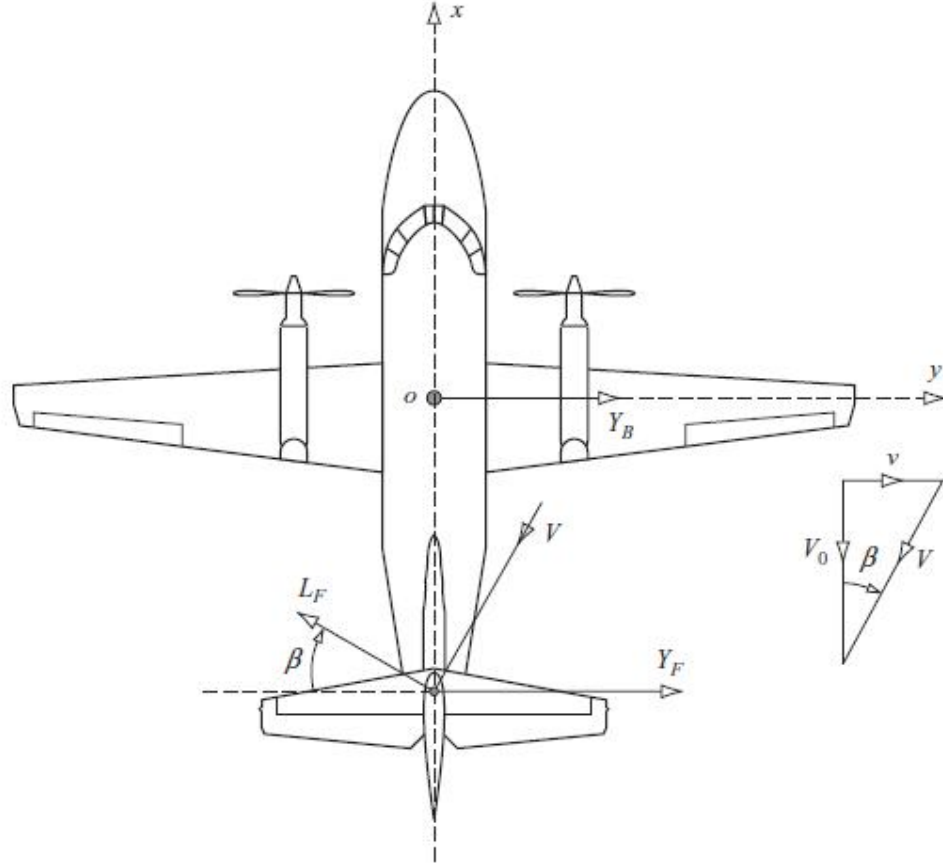


Figure 13.4 Side force generation in a sideslip.

الشكل 13.4 الانزلاق الجانبي

S_B مساحة مسقط المساحة الجانبية لجسم الطائرة (fuselage)

b زاوية الانزلاق الجانبي

y_B معامل عديم الوحدة (يصف القوة الجانبية على جسم الطائرة)

S_F مساحة الزعنفة (fin) (الذيل العمودي).

a_{1F} ميل منحنى الرفع للذيل العمودي

Γ زاوية الزوجية (أنظر الشكل 3.15)

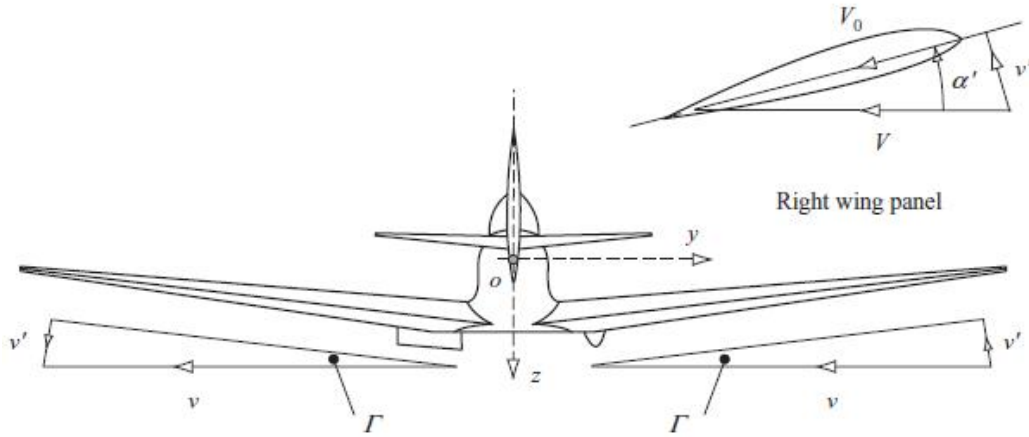


Figure 13.5 Incidence due to sideslip on a wing with dihedral.

الشكل 13.5

c_y طول وتر الجناح على المسافة y (انظر الشكل 13.6)
 s نصف طول باع الجناح ($s = b/2$) (انظر الشكل 13.6)

$$L_{v(dihedral)} = \frac{-1}{S_S} \int_0^s c_y a_y \Gamma_y dy \quad \text{(انظر الشكل 13.6)}$$

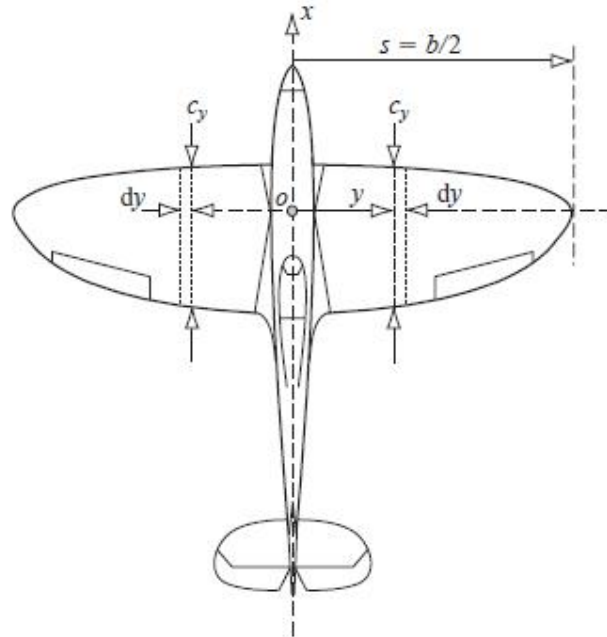


Figure 13.6 A chordwise strip element on the right wing panel.

الشكل 13.6

$\Lambda_{1/4}$ زاوية الامتداد لخط ربع الوتر (أنظر الشكل 13.7)

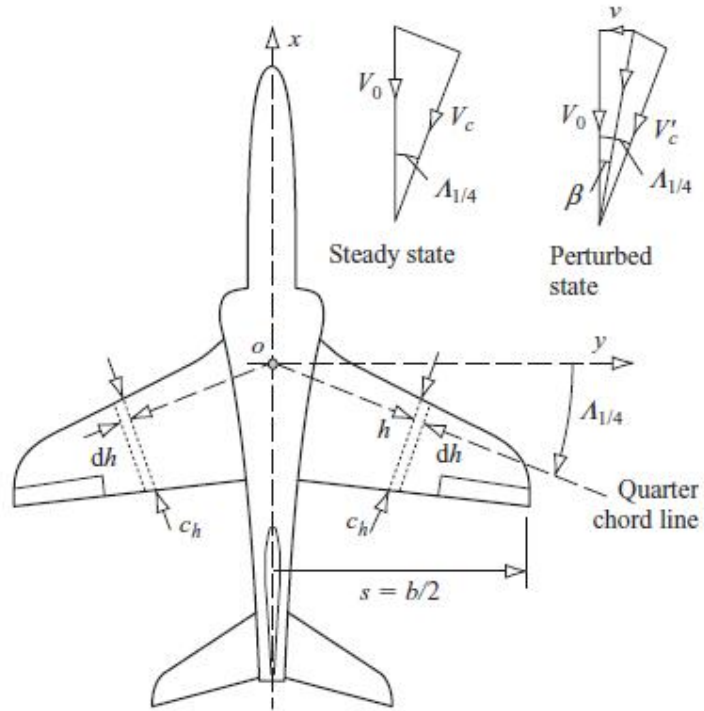


Figure 13.7 A swept wing in sideslip.

الشكل 13.7

وجود الجناح فوق الطائرة يساهم في أثر الزوجية (dihedral) (يساهم في الاستقرار)،
(أنظر الشكل 3.18)

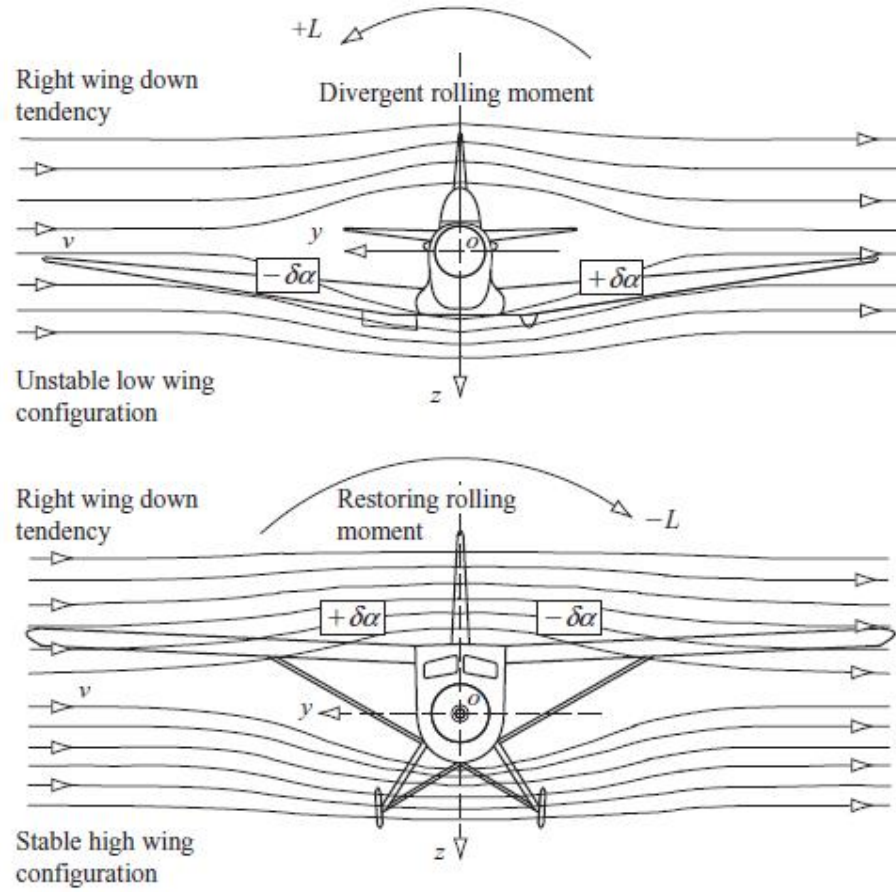


Figure 13.8 Lateral cross flow in a sideslip.

الشكل 13.8

المسافة بين محور العطوف و المركز الايرودينامي للزعنفة (fin) (الذيل العمودي).
 \bar{V}_F يسمى نسبة حجم الزعنفة Fin Volume ratio ، ويُعرّف كالتالي

$$\bar{V}_F = \frac{S_F l_F}{S b}$$

l_F مبيّنة في الشكل 13.9

b طول باع الجناح

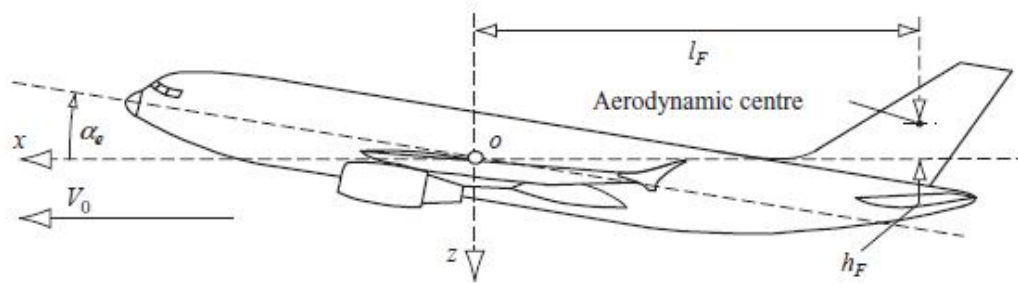


Figure 13.9 Rolling moment due to fin lift in sideslip.

الشكل 13.9

h مبنية في الشكل 13.10

$$\left(\text{أنظر الشكل 13.10} \right) \frac{-1}{Sb} \int_0^{H_F} c_h a_h h dh$$

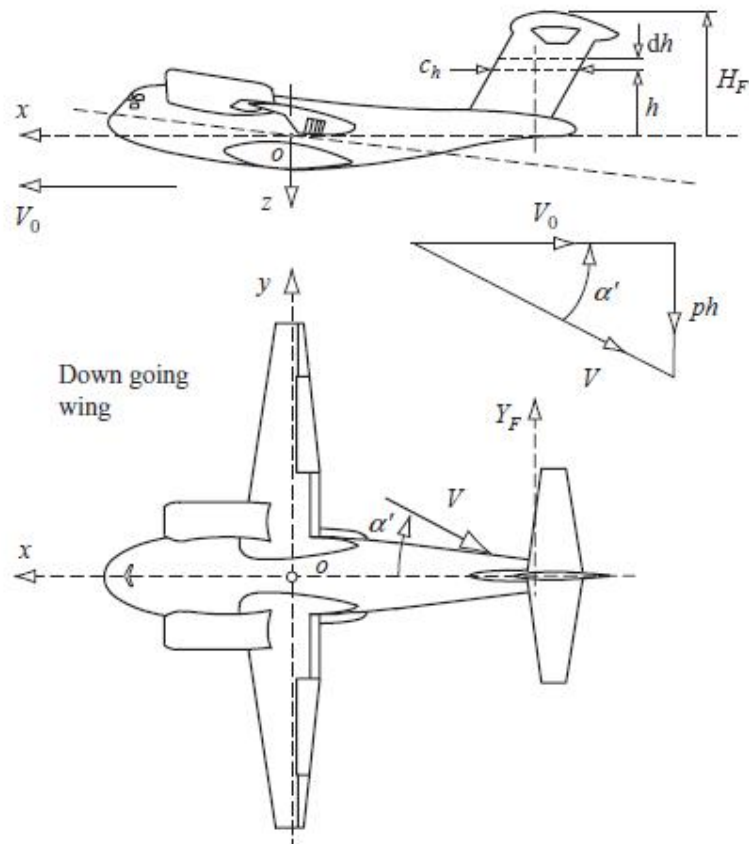


Figure 13.10 Fin side force generation in rolling flight.

الشكل 13.10

$$\left(\text{أنظر الشكل 13.11} \right) L_p = \frac{-1}{2Ss^2} \int_0^s c_y (a_y + C_D) y^2 dy$$

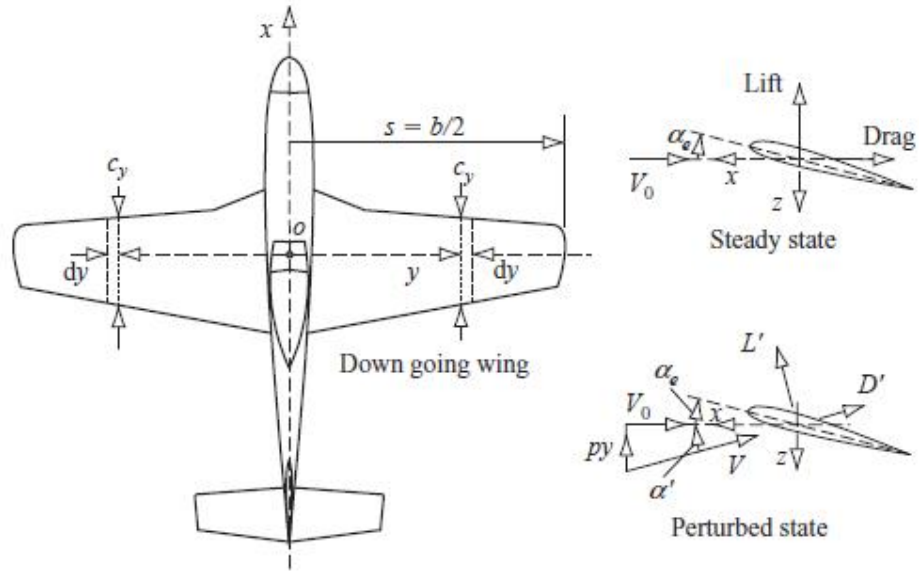


Figure 13.11 Wing incidence in rolling flight.

الشكل 13.11

معامل رفع الذيل هو عادة

$$C_{L_T} = a_0 + a_1 a_T + a_2 h$$

حيث a_1 ميل منحنى الرفع للذيل الأفقي (tailplane)

a_2 ميل منحنى الرفع بالنسبة لزاوية الرفع h

معامل المقاومة للذيل يكتب

$$C_{D_T} = C_{D_{oT}} + k_T C_{L_T}^2$$

بسم الله الرحمن الرحيم

الملحق 1

تعريف مشتقات الاستقرار والتحكم الايرودينامية

ملاحظات:

(i) المشتقات الموجودة في الجدول A1.5 إلى A1.8 كلها بالنسبة لمحاور الجسم، و $U_e = V_0 \cos q_e$ و $W_e = V_0 \sin q_e$. في الحالة الخاصة التي تكون فيها المشتقات بالنسبة لمحاور الريح $q_e = 0$ ويمكن اجراء التبسيطات التالية $U_e = V_0$ و $W_e = 0$ و $\sin q_e = 0$ و $\cos q_e = 1$

(iii) في الجدول A1.5 إلى A1.8 الكتلة وعزم القصور الذاتي المؤحدات تعرف كالتالي:

$$m' = \frac{m}{\frac{1}{2}\rho V_0 S}$$

$$I'_x = \frac{I_x}{\frac{1}{2}\rho V_0 S b}$$

$$I'_y = \frac{I_y}{\frac{1}{2}\rho V_0 S \bar{c}}$$

$$I'_z = \frac{I_z}{\frac{1}{2}\rho V_0 S b}$$

$$I'_{xz} = \frac{I_{xz}}{\frac{1}{2}\rho V_0 S b}$$

الجدول A1.1 مشتقات الاستقرار الايرودينامية الطولانية

Table A1.1 *Longitudinal aerodynamic stability derivatives*

<i>Dimensionless</i> لابعدي	<i>Multiplier</i> معامل الضرب	<i>Dimensional</i> بعدي
X_u	$\frac{1}{2}\rho V_0 S$	\dot{X}_u
X_w	$\frac{1}{2}\rho V_0 S$	\dot{X}_w
$X_{\dot{w}}$	$\frac{1}{2}\rho S \bar{c}$	$\dot{X}_{\dot{w}}$
X_q	$\frac{1}{2}\rho V_0 S \bar{c}$	\dot{X}_q
Z_u	$\frac{1}{2}\rho V_0 S$	\dot{Z}_u
Z_w	$\frac{1}{2}\rho V_0 S$	\dot{Z}_w
$Z_{\dot{w}}$	$\frac{1}{2}\rho S \bar{c}$	$\dot{Z}_{\dot{w}}$
Z_q	$\frac{1}{2}\rho V_0 S \bar{c}$	\dot{Z}_q
M_u	$\frac{1}{2}\rho V_0 S \bar{c}$	\dot{M}_u
M_w	$\frac{1}{2}\rho V_0 S \bar{c}$	\dot{M}_w
$M_{\dot{w}}$	$\frac{1}{2}\rho S \bar{c}^2$	$\dot{M}_{\dot{w}}$
M_q	$\frac{1}{2}\rho V_0 S \bar{c}^2$	\dot{M}_q

الجدول A1.2 مشتقات التحكم الطولانية

Table A1.2 Longitudinal control derivatives

Dimensionless لابعدي	Multiplier معامل الضرب	Dimensional بعدي
X_η	$\frac{1}{2}\rho V_0^2 S$	\dot{X}_η
Z_η	$\frac{1}{2}\rho V_0^2 S$	\dot{Z}_η
M_η	$\frac{1}{2}\rho V_0^2 S \bar{c}$	\dot{M}_η
X_τ	1	\dot{X}_τ
Z_τ	1	\dot{Z}_τ
M_τ	\bar{c}	\dot{M}_τ
M_w	$\frac{1}{2}\rho V_0 S \bar{c}$	\dot{M}_w
M_q	$\frac{1}{2}\rho V_0 S \bar{c}^2$	\dot{M}_q

الجدول A1.3 مشتقات الاستقرارية الايروديناميكية الجانبية

Table A1.3 Lateral aerodynamic stability derivatives

Dimensionless لابعدي	Multiplier معامل الضرب	Dimensional بعدي
Y_v	$\frac{1}{2}\rho V_0 S$	\dot{Y}_v
Y_p	$\frac{1}{2}\rho V_0 S b$	\dot{Y}_p
Y_r	$\frac{1}{2}\rho V_0 S b$	\dot{Y}_r
L_v	$\frac{1}{2}\rho V_0 S b$	\dot{L}_v
L_p	$\frac{1}{2}\rho V_0 S b^2$	\dot{L}_p
L_r	$\frac{1}{2}\rho V_0 S b^2$	\dot{L}_r
N_v	$\frac{1}{2}\rho V_0 S b$	\dot{N}_v
N_p	$\frac{1}{2}\rho V_0 S b^2$	\dot{N}_p
N_r	$\frac{1}{2}\rho V_0 S b^2$	\dot{N}_r

الجدول A1.4 مشتقات التحكم الجانبية

Table A1.4 *Lateral aerodynamic control derivatives*

<i>Dimensionless</i> لابعدي	<i>Multiplier</i> معامل الضرب	<i>Dimensional</i> بعدي
Y_{ξ}	$\frac{1}{2}\rho V_0^2 S$	$\overset{\circ}{Y}_{\xi}$
L_{ξ}	$\frac{1}{2}\rho V_0^2 S b$	$\overset{\circ}{L}_{\xi}$
N_{ξ}	$\frac{1}{2}\rho V_0^2 S b$	$\overset{\circ}{N}_{\xi}$
Y_{ζ}	$\frac{1}{2}\rho V_0^2 S$	$\overset{\circ}{Y}_{\zeta}$
L_{ζ}	$\frac{1}{2}\rho V_0^2 S b$	$\overset{\circ}{L}_{\zeta}$
N_{ζ}	$\frac{1}{2}\rho V_0^2 S b$	$\overset{\circ}{N}_{\zeta}$

الجدول A1.5 المشتقات الموجزة (concise) للاستقرارية الايرودينامية الطولانية

Table A1.5 Concise longitudinal aerodynamic stability derivatives

Concise derivative مشتقة موجزة	Equivalent expressions in terms of dimensional derivatives صيغة مكافئة بدلالة المشتقات الابعدية	Equivalent expressions in terms of dimensionless derivatives صيغة مكافئة بدلالة المشتقات البعدية
x_u	$\frac{\dot{X}_u}{m} + \frac{\dot{X}_{\dot{w}} \dot{Z}_u}{m(m - \dot{Z}_{\dot{w}})}$	$\frac{X_u}{m'} + \frac{\frac{\bar{c}}{V_0} \dot{X}_{\dot{w}} \dot{Z}_u}{m' \left(m' - \frac{\bar{c}}{V_0} \dot{Z}_{\dot{w}} \right)}$
z_u	$\frac{\dot{Z}_u}{m - \dot{Z}_{\dot{w}}}$	$\frac{\dot{Z}_u}{m' - \frac{\bar{c}}{V_0} \dot{Z}_{\dot{w}}}$
m_u	$\frac{\dot{M}_u}{I_y} + \frac{\dot{Z}_u \dot{M}_{\dot{w}}}{I_y(m - \dot{Z}_{\dot{w}})}$	$\frac{M_u}{I_y'} + \frac{\frac{\bar{c}}{V_0} \dot{M}_{\dot{w}} \dot{Z}_u}{I_y' \left(m' - \frac{\bar{c}}{V_0} \dot{Z}_{\dot{w}} \right)}$
x_w	$\frac{\dot{X}_w}{m} + \frac{\dot{X}_{\dot{w}} \dot{Z}_w}{m(m - \dot{Z}_{\dot{w}})}$	$\frac{X_w}{m'} + \frac{\frac{\bar{c}}{V_0} \dot{X}_{\dot{w}} \dot{Z}_w}{m' \left(m' - \frac{\bar{c}}{V_0} \dot{Z}_{\dot{w}} \right)}$
z_w	$\frac{\dot{Z}_w}{m - \dot{Z}_{\dot{w}}}$	$\frac{\dot{Z}_w}{m' - \frac{\bar{c}}{V_0} \dot{Z}_{\dot{w}}}$
m_w	$\frac{\dot{M}_w}{I_y} + \frac{\dot{Z}_w \dot{M}_{\dot{w}}}{I_y(m - \dot{Z}_{\dot{w}})}$	$\frac{M_w}{I_y'} + \frac{\frac{\bar{c}}{V_0} \dot{M}_{\dot{w}} \dot{Z}_w}{I_y' \left(m' - \frac{\bar{c}}{V_0} \dot{Z}_{\dot{w}} \right)}$
x_q	$\frac{(\dot{X}_q - mW_e)}{m} + \frac{(\dot{Z}_q + mU_e) \dot{X}_{\dot{w}}}{m(m - \dot{Z}_{\dot{w}})}$	$\frac{\bar{c}X_q - m'W_e}{m'} + \frac{(\bar{c}Z_q + m'U_e) \frac{\bar{c}}{V_0} \dot{X}_{\dot{w}}}{m' \left(m' - \frac{\bar{c}}{V_0} \dot{Z}_{\dot{w}} \right)}$
z_q	$\frac{(\dot{Z}_q + mU_e)}{m - \dot{Z}_{\dot{w}}}$	$\frac{\bar{c}Z_q + m'U_e}{m' - \frac{\bar{c}}{V_0} \dot{Z}_{\dot{w}}}$
m_q	$\frac{\dot{M}_q}{I_y} + \frac{(\dot{Z}_q + mU_e) \dot{M}_{\dot{w}}}{I_y(m - \dot{Z}_{\dot{w}})}$	$\frac{\bar{c}M_q}{I_y'} + \frac{(\bar{c}Z_q + m'U_e) \frac{\bar{c}}{V_0} \dot{M}_{\dot{w}}}{I_y' \left(m' - \frac{\bar{c}}{V_0} \dot{Z}_{\dot{w}} \right)}$
x_θ	$-g \cos \theta_e - \frac{\dot{X}_{\dot{w}} g \sin \theta_e}{m - \dot{Z}_{\dot{w}}}$	$-g \cos \theta_e - \frac{\frac{\bar{c}}{V_0} \dot{X}_{\dot{w}} g \sin \theta_e}{m' - \frac{\bar{c}}{V_0} \dot{Z}_{\dot{w}}}$
z_θ	$-\frac{mg \sin \theta_e}{m - \dot{Z}_{\dot{w}}}$	$-\frac{m' g \sin \theta_e}{m' - \frac{\bar{c}}{V_0} \dot{Z}_{\dot{w}}}$
m_θ	$-\frac{\dot{M}_{\dot{w}} mg \sin \theta_e}{I_y(m - \dot{Z}_{\dot{w}})}$	$-\frac{\frac{\bar{c}}{V_0} \dot{M}_{\dot{w}} m' g \sin \theta_e}{I_y' \left(m' - \frac{\bar{c}}{V_0} \dot{Z}_{\dot{w}} \right)}$

الجدول A1.6 المشتقات الموجزة للمتحكمات الطولانية

Table A1.6 Concise longitudinal control derivatives

Concise derivative مشتقة موجزة	Equivalent expressions in terms of dimensional derivatives صيغة مكافئة بدلالة المشتقات اللابعدية	Equivalent expressions in terms of dimensionless derivatives صيغة مكافئة دلالة المشتقات البعدية
x_η	$\frac{\dot{X}_\eta}{m} + \frac{\dot{X}_\eta \dot{Z}_\eta}{m(m - \dot{Z}_\eta)}$	$\frac{V_0 X_\eta}{m'} + \frac{\frac{\bar{c}}{V_0} \dot{X}_\eta \dot{Z}_\eta}{m' \left(m' - \frac{\bar{c}}{V_0} \dot{Z}_\eta \right)}$
z_η	$\frac{\dot{Z}_\eta}{m - \dot{Z}_\eta}$	$\frac{V_0 Z_\eta}{m' - \frac{\bar{c}}{V_0} \dot{Z}_\eta}$
m_η	$\frac{\dot{M}_\eta}{I_y} + \frac{\dot{M}_\eta \dot{Z}_\eta}{I_y(m - \dot{Z}_\eta)}$	$\frac{V_0 M_\eta}{I'_y} + \frac{\bar{c} \dot{M}_\eta \dot{Z}_\eta}{I'_y \left(m' - \frac{\bar{c}}{V_0} \dot{Z}_\eta \right)}$
x_τ	$\frac{\dot{X}_\tau}{m} + \frac{\dot{X}_\tau \dot{Z}_\tau}{m(m - \dot{Z}_\tau)}$	$\frac{V_0 X_\tau}{m'} + \frac{\frac{\bar{c}}{V_0} \dot{X}_\tau \dot{Z}_\tau}{m' \left(m' - \frac{\bar{c}}{V_0} \dot{Z}_\tau \right)}$
z_τ	$\frac{\dot{Z}_\tau}{m - \dot{Z}_\tau}$	$\frac{V_0 Z_\tau}{m' - \frac{\bar{c}}{V_0} \dot{Z}_\tau}$
m_τ	$\frac{\dot{M}_\tau}{I_y} + \frac{\dot{M}_\tau \dot{Z}_\tau}{I_y(m - \dot{Z}_\tau)}$	$\frac{V_0 M_\tau}{I'_y} + \frac{\bar{c} \dot{M}_\tau \dot{Z}_\tau}{I'_y \left(m' - \frac{\bar{c}}{V_0} \dot{Z}_\tau \right)}$

الجدول A1.7 المشتقات الموجزة للاستقرارية الايرودينامية الجانبية

Table A1.7 Concise lateral aerodynamic stability derivatives

Concise derivative	Equivalent expressions in terms of dimensional derivatives	Equivalent expressions in terms of dimensionless derivatives
مشتقة موجزة	صيغة مكافئة بدلالة المشتقات الابعادية	صيغة مكافئة دلالة المشتقات البعدية
y_v	$\frac{\dot{Y}_v}{m}$	$\frac{Y_v}{m'}$
y_p	$\frac{\dot{Y}_p + mW_e}{m}$	$\frac{(bY_p + m'W_e)}{m'}$
y_r	$\frac{(\dot{Y}_r - mU_e)}{m}$	$\frac{(bY_r - m'U_e)}{m'}$
y_ϕ	$g \cos \theta_e$	$g \cos \theta_e$
y_ψ	$g \sin \theta_e$	$g \sin \theta_e$
l_v	$\frac{(I_z \dot{L}_v + I_{xz} \dot{N}_v)}{(I_x I_z - I_{xz}^2)}$	$\frac{(I'_z L_v + I'_{xz} N_v)}{(I'_x I'_z - I_{xz}^2)}$
l_p	$\frac{(I_z \dot{L}_p + I_{xz} \dot{N}_p)}{(I_x I_z - I_{xz}^2)}$	$\frac{(I'_z L_p + I'_{xz} N_p)}{(I'_x I'_z - I_{xz}^2)}$
l_r	$\frac{(I_z \dot{L}_r + I_{xz} \dot{N}_r)}{(I_x I_z - I_{xz}^2)}$	$\frac{(I'_z L_r + I'_{xz} N_r)}{(I'_x I'_z - I_{xz}^2)}$
l_ϕ	0	0
l_ψ	0	0
n_v	$\frac{(I_x \dot{N}_v + I_{xz} \dot{L}_v)}{(I_x I_z - I_{xz}^2)}$	$\frac{(I'_x N_v + I'_{xz} L_v)}{(I'_x I'_z - I_{xz}^2)}$
n_p	$\frac{(I_x \dot{N}_p + I_{xz} \dot{L}_p)}{(I_x I_z - I_{xz}^2)}$	$\frac{(I'_x N_p + I'_{xz} L_p)}{(I'_x I'_z - I_{xz}^2)}$
n_r	$\frac{(I_x \dot{N}_r + I_{xz} \dot{L}_r)}{(I_x I_z - I_{xz}^2)}$	$\frac{(I'_x N_r + I'_{xz} L_r)}{(I'_x I'_z - I_{xz}^2)}$
n_ϕ	0	0
n_ψ	0	0

الجدول A1.8 المشتقات الموجزة للمتحكمات الجانبية

Table A1.8 Concise lateral control derivatives

Concise derivative	Equivalent expressions in terms of dimensional derivatives	Equivalent expressions in terms of dimensionless derivatives
مشتقة موجزة	صيغة مكافئة بدلالة المشتقات الابعادية	صيغة مكافئة دلالة المشتقات البعدية
y_ξ	$\frac{\dot{Y}_\xi}{m}$	$\frac{V_0 Y_\xi}{m'}$
l_ξ	$\frac{(I_z \dot{L}_\xi + I_{xz} \dot{N}_\xi)}{(I_x I_z - I_{xz}^2)}$	$\frac{V_0 (I'_z L_\xi + I'_{xz} N_\xi)}{(I'_x I'_z - I_{xz}^{'2})}$
n_ξ	$\frac{(I_x \dot{N}_\xi + I_{xz} \dot{L}_\xi)}{(I_x I_z - I_{xz}^2)}$	$\frac{V_0 (I'_x N_\xi + I'_{xz} L_\xi)}{(I'_x I'_z - I_{xz}^{'2})}$
y_ζ	$\frac{\dot{Y}_\zeta}{m}$	$\frac{V_0 Y_\zeta}{m'}$
l_ζ	$\frac{(I_z \dot{L}_\zeta + I_{xz} \dot{N}_\zeta)}{(I_x I_z - I_{xz}^2)}$	$\frac{V_0 (I'_z L_\zeta + I'_{xz} N_\zeta)}{(I'_x I'_z - I_{xz}^{'2})}$
n_ζ	$\frac{(I_x \dot{N}_\zeta + I_{xz} \dot{L}_\zeta)}{(I_x I_z - I_{xz}^2)}$	$\frac{V_0 (I'_x N_\zeta + I'_{xz} L_\zeta)}{(I'_x I'_z - I_{xz}^{'2})}$

بسم الله الرحمن الرحيم

الملحق 2

اقترانات التحويل للطائرات بالنسبة لمحاور الجسم (body axes)

1. اقترانات التحويل الطولية بدلالة المشتقات البعدية

متعددات الحدود التالية للبسط تصف الاستجابة للرافع h . للحصول على متعددات الحدود للبسط التي تصف الاستجابة للدفع t فكل ما علينا فعله هو استبدال الرمز السفلي h بـ t (مثلا \dot{M}_t بدل \dot{M}_h)

Common denominator polynomial $\Delta(s) = as^4 + bs^3 + cs^2 + ds + e$

$$a \quad mI_y \left(m - \dot{Z}_w \right)$$

$$b \quad I_y \left(\dot{X}_u \dot{Z}_w - \dot{X}_w \dot{Z}_u \right) - mI_y \left(\dot{X}_u + \dot{Z}_w \right) - m\dot{M}_w \left(\dot{Z}_q + mU_e \right) - m\dot{M}_q \left(m - \dot{Z}_w \right)$$

$$c \quad + I_y \left(\dot{X}_u \dot{Z}_w - \dot{X}_w \dot{Z}_u \right) + \left(\dot{X}_u \dot{M}_w - \dot{X}_w \dot{M}_u \right) \left(\dot{Z}_q + mU_e \right) + \dot{Z}_u \left(\dot{X}_w \dot{M}_q - \dot{X}_q \dot{M}_w \right) + \left(\dot{X}_u \dot{M}_q - \dot{X}_q \dot{M}_u \right) \left(m - \dot{Z}_w \right) + m \left(\dot{M}_q \dot{Z}_w - \dot{M}_w \dot{Z}_q \right) + mW_e \left(\dot{M}_w \dot{Z}_u - \dot{M}_u \dot{Z}_w \right) + m^2 \left(\dot{M}_w g \sin \theta_e + W_e \dot{M}_u - U_e \dot{M}_w \right)$$

$$d \quad \left(\dot{X}_u \dot{M}_w - \dot{X}_w \dot{M}_u \right) \left(\dot{Z}_q + mU_e \right) + \left(\dot{M}_u \dot{Z}_w - \dot{M}_w \dot{Z}_u \right) \left(\dot{X}_q - mW_e \right) + \dot{M}_q \left(\dot{X}_w \dot{Z}_u - \dot{X}_u \dot{Z}_w \right) + mg \cos \theta_e \left(\dot{M}_w \dot{Z}_u + \dot{M}_u \left(m - \dot{Z}_w \right) \right) + mg \sin \theta_e \left(\dot{X}_w \dot{M}_u - \dot{X}_u \dot{M}_w + m\dot{M}_w \right)$$

$$e \quad mg \sin \theta_e \left(\dot{X}_w \dot{M}_u - \dot{X}_u \dot{M}_w \right) + mg \cos \theta_e \left(\dot{M}_w \dot{Z}_u - \dot{M}_u \dot{Z}_w \right)$$

Numerator polynomial $N_\eta^u(s) = as^3 + bs^2 + cs + d$

$$a \quad I_y \left(\dot{X}_w \dot{Z}_\eta + \dot{X}_\eta (m - \dot{Z}_w) \right)$$

$$b \quad \dot{X}_\eta \left(-I_y \dot{Z}_w - \dot{M}_w (\dot{Z}_q + m U_e) - \dot{M}_q (m - \dot{Z}_w) \right) + \dot{Z}_\eta \left(I_y \dot{X}_w - \dot{X}_w \dot{M}_q \right. \\ \left. + \dot{M}_w (\dot{X}_q - m W_e) \right) + \dot{M}_\eta \left((\dot{X}_q - m W_e) (m - \dot{Z}_w) + \dot{X}_w (\dot{Z}_q + m U_e) \right)$$

$$c \quad \dot{X}_\eta \left(\dot{Z}_w \dot{M}_q - \dot{M}_w (\dot{Z}_q + m U_e) + mg \sin \theta_e \dot{M}_w \right) \\ + \dot{Z}_\eta \left(\dot{M}_w (\dot{X}_q - m W_e) - \dot{X}_w \dot{M}_q - mg \cos \theta_e \dot{M}_w \right) + \dot{M}_\eta \left(\dot{X}_w (\dot{Z}_q + m U_e) \right. \\ \left. - \dot{Z}_w (\dot{X}_q - m W_e) - mg \cos \theta_e (m - \dot{Z}_w) - mg \sin \theta_e \dot{X}_w \right)$$

$$d \quad \dot{X}_\eta \dot{M}_w mg \sin \theta_e - \dot{Z}_\eta \dot{M}_w mg \cos \theta_e + \dot{M}_\eta \left(\dot{Z}_w mg \cos \theta_e - \dot{X}_w mg \sin \theta_e \right)$$

Numerator polynomial $N_\eta^w(s) = as^3 + bs^2 + cs + d$

$$a \quad m I_y \dot{Z}_\eta$$

$$b \quad I_y \dot{X}_\eta \dot{Z}_u - \dot{Z}_\eta \left(I_y \dot{X}_u + m \dot{M}_q \right) + m \dot{M}_\eta \left(\dot{Z}_q + m U_e \right)$$

$$c \quad \dot{X}_\eta \left(\dot{M}_u (\dot{Z}_q + m U_e) - \dot{Z}_u \dot{M}_q \right) + \dot{Z}_\eta \left(\dot{X}_u \dot{M}_q - \dot{M}_u (\dot{X}_q - m W_e) \right) \\ + \dot{M}_\eta \left(\dot{Z}_u (\dot{X}_q - m W_e) - \dot{X}_u (\dot{Z}_q + m U_e) - m^2 g \sin \theta_e \right)$$

$$d \quad -\dot{X}_\eta \dot{M}_u mg \sin \theta_e + \dot{Z}_\eta \dot{M}_u mg \cos \theta_e + \dot{M}_\eta \left(\dot{X}_u mg \sin \theta_e - \dot{Z}_u mg \cos \theta_e \right)$$

Numerator polynomials $N_\eta^q(s) = s(as^2 + bs + c)$ and $N_\eta^\theta(s) = as^2 + bs + c$

$$\begin{aligned}
 a \quad & m\dot{Z}_\eta\dot{M}_w + m\dot{M}_\eta\left(m - \dot{Z}_w\right) \\
 b \quad & \dot{X}_\eta\left(\dot{Z}_u\dot{M}_w + \dot{M}_u\left(m - \dot{Z}_w\right)\right) + \dot{Z}_\eta\left(m\dot{M}_w - \dot{X}_u\dot{M}_w + \dot{M}_u\dot{X}_w\right) \\
 & + \dot{M}_\eta\left(-\dot{X}_u\left(m - \dot{Z}_w\right) - \dot{Z}_u\dot{X}_w - m\dot{Z}_w\right) \\
 c \quad & \dot{X}_\eta\left(\dot{Z}_u\dot{M}_w - \dot{M}_u\dot{Z}_w\right) + \dot{Z}_\eta\left(\dot{X}_w\dot{M}_u - \dot{M}_w\dot{X}_u\right) \\
 & + \dot{M}_\eta\left(\dot{X}_u\dot{Z}_w - \dot{Z}_u\dot{X}_w\right)
 \end{aligned}$$

2. اقترانات التحويل الجانبية-الاتجاهية بدلالة المشتقات البعدية

متعددات الحدود التالية للبسط تصف الاستجابة للجنيح X . للحصول على متعددات الحدود للبسط التي تصف الاستجابة للدفة Z فكل ما علينا فعله هو استبدال الرمز السفلي X بـ Z (مثلا \dot{N}_z بدل \dot{N}_x)

Denominator polynomial $\Delta(s) = s(as^4 + bs^3 + cs^2 + ds + e)$

$$a \quad m(I_x I_z - I_{xz}^2)$$

$$b \quad -\ddot{Y}_v (I_x I_z - I_{xz}^2) - m \left(I_x \dot{N}_r + I_{xz} \dot{L}_r \right) - m \left(I_z \dot{L}_p + I_{xz} \dot{N}_p \right)$$

$$c \quad \ddot{Y}_v \left(I_x \dot{N}_r + I_{xz} \dot{L}_r \right) + \ddot{Y}_v \left(I_z \dot{L}_p + I_{xz} \dot{N}_p \right) - \left(\ddot{Y}_p + mW_e \right) \left(I_z \dot{L}_v + I_{xz} \dot{N}_v \right) \\ - \left(\ddot{Y}_r - mU_e \right) \left(I_x \dot{N}_v + I_{xz} \dot{L}_v \right) + m \left(\dot{L}_p \dot{N}_r - \dot{L}_r \dot{N}_p \right)$$

$$d \quad \ddot{Y}_v \left(\dot{L}_r \dot{N}_p - \dot{L}_p \dot{N}_r \right) + \left(\ddot{Y}_p + mW_e \right) \left(\dot{L}_v \dot{N}_r - \dot{L}_r \dot{N}_v \right) \\ + \left(\ddot{Y}_r - mU_e \right) \left(\dot{L}_p \dot{N}_v - \dot{L}_v \dot{N}_p \right) - mg \cos \theta_e \left(I_z \dot{L}_v + I_{xz} \dot{N}_v \right) \\ - mg \sin \theta_e \left(I_x \dot{N}_v + I_{xz} \dot{L}_v \right)$$

$$e \quad mg \cos \theta_e \left(\dot{L}_v \dot{N}_r - \dot{L}_r \dot{N}_v \right) + mg \sin \theta_e \left(\dot{L}_p \dot{N}_v - \dot{L}_v \dot{N}_p \right)$$

Numerator polynomial $N_\xi^v(s) = s(as^3 + bs^2 + cs + d)$

$$a \quad \dot{Y}_\xi (I_x I_z - I_{xz}^2)$$

$$b \quad \dot{Y}_\xi \left(-I_x \dot{N}_r - I_z \dot{L}_p - I_{xz} (\dot{L}_r + \dot{N}_p) \right) + \dot{L}_\xi \left(I_z \left(\ddot{Y}_p + mW_e \right) + I_{xz} \left(\ddot{Y}_r - mU_e \right) \right) \\ + \dot{N}_\xi \left(I_x \left(\ddot{Y}_r - mU_e \right) + I_{xz} \left(\ddot{Y}_p + mW_e \right) \right)$$

$$c \quad \dot{Y}_\xi \left(\dot{L}_p \dot{N}_r - \dot{L}_r \dot{N}_p \right) + \dot{L}_\xi \left(\dot{N}_p \left(\ddot{Y}_r - mU_e \right) - \dot{N}_r \left(\ddot{Y}_p + mW_e \right) \right) \\ + mg \left(I_z \cos \theta_e + I_{xz} \sin \theta_e \right) + \dot{N}_\xi \left(\dot{L}_r \left(\ddot{Y}_p + mW_e \right) - \dot{L}_p \left(\ddot{Y}_r - mU_e \right) \right) \\ + mg \left(I_x \sin \theta_e + I_{xz} \cos \theta_e \right)$$

$$d \quad \dot{L}_\xi \left(\dot{N}_p mg \sin \theta_e - \dot{N}_r mg \cos \theta_e \right) + \dot{N}_\xi \left(\dot{L}_r mg \cos \theta_e - \dot{L}_p mg \sin \theta_e \right)$$

Numerator polynomials $N_{\xi}^p(s) = s(as^3 + bs^2 + cs + d)$ and
 $N_{\xi}^{\phi}(s) = as^3 + bs^2 + cs + d$

$$a \quad m \left(I_z \overset{\circ}{L}_{\xi} + I_{xz} \overset{\circ}{N}_{\xi} \right)$$

$$b \quad \overset{\circ}{Y}_{\xi} \left(I_z \overset{\circ}{L}_v + I_{xz} \overset{\circ}{N}_v \right) + \overset{\circ}{L}_{\xi} \left(-I_z \overset{\circ}{Y}_v - m \overset{\circ}{N}_r \right) + \overset{\circ}{N}_{\xi} \left(m \overset{\circ}{L}_r - I_{xz} \overset{\circ}{Y}_v \right)$$

$$c \quad \overset{\circ}{Y}_{\xi} \left(\overset{\circ}{L}_r \overset{\circ}{N}_v - \overset{\circ}{L}_v \overset{\circ}{N}_r \right) + \overset{\circ}{L}_{\xi} \left(\overset{\circ}{N}_r \overset{\circ}{Y}_v - \overset{\circ}{N}_v \overset{\circ}{Y}_r + m U_e \overset{\circ}{N}_v \right) \\ + \overset{\circ}{N}_{\xi} \left(\overset{\circ}{L}_v \overset{\circ}{Y}_r - \overset{\circ}{L}_r \overset{\circ}{Y}_v - m U_e \overset{\circ}{L}_v \right)$$

$$d \quad mg \sin \theta_e \left(\overset{\circ}{L}_v \overset{\circ}{N}_{\xi} - \overset{\circ}{L}_{\xi} \overset{\circ}{N}_v \right)$$

Numerator polynomials $N_{\xi}^r(s) = s(as^3 + bs^2 + cs + d)$ and
 $N_{\xi}^{\psi}(s) = as^3 + bs^2 + cs + d$

$$a \quad m \left(I_x \overset{\circ}{N}_{\xi} + I_{xz} \overset{\circ}{L}_{\xi} \right)$$

$$b \quad \overset{\circ}{Y}_{\xi} \left(I_x \overset{\circ}{N}_v + I_{xz} \overset{\circ}{L}_v \right) + \overset{\circ}{L}_{\xi} \left(m \overset{\circ}{N}_p - I_{xz} \overset{\circ}{Y}_v \right) - \overset{\circ}{N}_{\xi} \left(I_x \overset{\circ}{Y}_v + m \overset{\circ}{L}_p \right)$$

$$c \quad \overset{\circ}{Y}_{\xi} \left(\overset{\circ}{L}_v \overset{\circ}{N}_p - \overset{\circ}{L}_p \overset{\circ}{N}_v \right) + \overset{\circ}{L}_{\xi} \left(\overset{\circ}{N}_v \overset{\circ}{Y}_p - \overset{\circ}{N}_p \overset{\circ}{Y}_v + m W_e \overset{\circ}{N}_v \right) \\ + \overset{\circ}{N}_{\xi} \left(\overset{\circ}{L}_p \overset{\circ}{Y}_v - \overset{\circ}{L}_v \overset{\circ}{Y}_p - m W_e \overset{\circ}{L}_v \right)$$

$$d \quad mg \cos \theta_e \left(\overset{\circ}{L}_{\xi} \overset{\circ}{N}_v - \overset{\circ}{L}_v \overset{\circ}{N}_{\xi} \right)$$

3. اقتارات التحويل الطولية بدلالة المشتقات الموجزة

متعددات الحدود التالية للبسط تصف الاستجابة للرافع h . للحصول على متعددات الحدود للبسط التي تصف الاستجابة للدفع t فكل ما علينا فعله هو استبدال الرمز السفلي h بـ t (مثلا m_t بدل m_h)

Common denominator polynomial $\Delta(s) = as^4 + bs^3 + cs^2 + ds + e$

a 1

b $-(m_q + x_u + z_w)$

c $(m_q z_w - m_w z_q) + (m_q x_u - m_u x_q) + (x_u z_w - x_w z_u) - m_\theta$

d $(m_\theta x_u - m_u x_\theta) + (m_\theta z_w - m_w z_\theta) + m_q(x_w z_u - x_u z_w) + x_q(m_u z_w - m_w z_u) + z_q(m_w x_u - m_u x_w)$

e $m_\theta(x_w z_u - x_u z_w) + x_\theta(m_u z_w - m_w z_u) + z_\theta(m_w x_u - m_u x_w)$

Numerator polynomial $N_\eta^u(s) = as^3 + bs^2 + cs + d$

a x_η

b $m_\eta x_q - x_\eta(m_q + z_w) + z_\eta x_w$

c $m_\eta(x_w z_q - x_q z_w + x_\theta) + x_\eta(m_q z_w - m_w z_q - m_\theta) + z_\eta(m_w x_q - m_q x_w)$

d $m_\eta(x_w z_\theta - x_\theta z_w) + x_\eta(m_\theta z_w - m_w z_\theta) + z_\eta(m_w x_\theta - m_\theta x_w)$

Numerator polynomial $N_\eta^w(s) = as^3 + bs^2 + cs + d$

a z_η

b $m_\eta z_q + x_\eta z_u - z_\eta(m_q + x_u)$

c $m_\eta(x_q z_u - x_u z_q + z_\theta) + x_\eta(m_u z_q - m_q z_u) + z_\eta(m_q x_u - m_u x_q - m_\theta)$

d $m_\eta(x_\theta z_u - x_u z_\theta) + x_\eta(m_u z_\theta - m_\theta z_u) + z_\eta(m_\theta x_u - m_u x_\theta)$

Numerator polynomials $N_\eta^q(s) = s(as^2 + bs + c)$ and $N_\eta^\theta(s) = as^2 + bs + c$

$a \quad m_\eta$

$b \quad -m_\eta(x_u + z_w) + x_\eta m_u + z_\eta m_w$

$c \quad m_\eta(x_u z_w - x_w z_u) + x_\eta(m_w z_u - m_u z_w) + z_\eta(m_u x_w - m_w x_u)$

4. اقترانات التحويل الجانبية-الاتجاهية بدلالة المشتقات الموجزة

متعددات الحدود التالية للبسط تصف الاستجابة للجنيح X . للحصول على متعددات الحدود للبسط التي تصف الاستجابة للدفة Z فكل ما علينا فعله هو استبدال الرمز السفلي X بـ Z (مثلا n_z بدل n_x)

Denominator polynomial $\Delta(s) = as^5 + bs^4 + cs^3 + ds^2 + es + f$

$a \quad 1$

$b \quad -(l_p + n_r + y_v)$

$c \quad (l_p n_r - l_r n_p) + (n_r y_v - n_v y_r) + (l_p y_v - l_v y_p) - (l_\phi + n_\psi)$

$d \quad (l_p n_\psi - l_\psi n_p) + (l_\phi n_r - l_r n_\phi) + l_v(n_r y_p - n_p y_r - y_\phi) + n_v(l_p y_r - l_r y_p - y_\psi) + y_v(l_r n_p - l_p n_r + l_\phi + n_\psi)$

$e \quad (l_\phi n_\psi - l_\psi n_\phi) + l_v((n_r y_\phi - n_\phi y_r) + (n_\psi y_p - n_p y_\psi)) + n_v((l_\phi y_r - l_r y_\phi) + (l_p y_\psi - l_\psi y_p)) + y_v((l_r n_\phi - l_\phi n_r) + (l_\psi n_p - l_p n_\psi))$

$f \quad l_v(n_\psi y_\phi - n_\phi y_\psi) + n_v(l_\phi y_\psi - l_\psi y_\phi) + y_v(l_\psi n_\phi - l_\phi n_\psi)$

Numerator polynomial $N_{\xi}^v(s) = as^4 + bs^4 + cs^2 + ds + e$

$a \quad y_{\xi}$

$b \quad l_{\xi}y_p + n_{\xi}y_r - y_{\xi}(l_p + n_r)$

$c \quad l_{\xi}(n_p y_r - n_r y_p + y_{\phi}) + n_{\xi}(l_r y_p - l_p y_r + y_{\psi}) + y_{\xi}(l_p n_r - l_r n_p - l_{\phi} - n_{\psi})$

$d \quad l_{\xi}(n_{\phi} y_r - n_r y_{\phi} + n_p y_{\psi} - n_{\psi} y_p) + n_{\xi}(l_r y_{\phi} - l_{\phi} y_r + l_{\psi} y_p - l_p y_{\psi})$
 $+ y_{\xi}(l_{\phi} n_r - l_r n_{\phi} + l_p n_{\psi} - l_{\psi} n_p)$

$e \quad l_{\xi}(n_{\phi} y_{\psi} - n_{\psi} y_{\phi}) + n_{\xi}(l_{\psi} y_{\phi} - l_{\phi} y_{\psi}) + y_{\xi}(l_{\phi} n_{\psi} - l_{\psi} n_{\phi})$

Numerator polynomials $N_{\xi}^p(s) = s(as^3 + bs^2 + cs + d)$ and
 $N_{\xi}^{\phi}(s) = as^3 + bs^2 + cs + d$

$a \quad l_{\xi}$

$b \quad -l_{\xi}(n_r + y_v) + n_{\xi}l_r + y_{\xi}l_v$

$c \quad l_{\xi}(n_r y_v - n_v y_r - n_{\psi}) + n_{\xi}(l_v y_r - l_r y_v + l_{\psi}) + y_{\xi}(l_r n_v - l_v n_r)$

$d \quad l_{\xi}(n_{\psi} y_v - n_v y_{\psi}) + n_{\xi}(l_v y_{\psi} - l_{\psi} y_r) + y_{\xi}(l_{\psi} n_v - l_v n_{\psi})$

Numerator polynomials $N_{\xi}^r(s) = s(as^3 + bs^2 + cs + d)$ and
 $N_{\xi}^{\psi}(s) = as^3 + bs^2 + cs + d$

$a \quad n_{\xi}$

$b \quad l_{\xi}n_p - n_{\xi}(l_p + y_v) + y_{\xi}n_v$

$c \quad l_{\xi}(n_v y_p - n_p y_v + n_{\phi}) + n_{\xi}(l_p y_v - l_v y_p - l_{\phi}) + y_{\xi}(l_v n_p - l_p n_v)$

$d \quad l_{\xi}(n_v y_{\phi} - n_{\phi} y_v) + n_{\xi}(l_{\phi} y_v - l_v y_{\phi}) + y_{\xi}(l_v n_{\phi} - l_{\phi} n_v)$

بسم الله الرحمن الرحيم

الملحق 3

الوحدات والثوابت والتحويلات

الجدول A3.1 معاملات التحويل من الوحدات الـ Imperial إلى الوحدات SI

<i>Parameter</i>	<i>Symbol</i>	<i>Imperial unit</i>	<i>Equivalent SI unit</i>
Mass	<i>m</i>	1 slug	14.594 kg
Length	<i>l</i>	1 ft	0.3048 m
Velocity	<i>V</i>	1 ft/s	0.3048 m/s
Acceleration	<i>a</i>	1 ft/s ²	0.3048 m/s ²
Force	<i>F</i>	1 lb	4.448 N
Moment	<i>M</i>	1 lb ft	1.356 N m
Density	ρ	1 slug/ft ³	515.383 kg/m ³
Inertia	<i>I</i>	1 slug ft ²	1.3558 kg m ²

الجدول A3.2 ثوابت مفيدة

<i>Constant</i>	<i>Symbol</i>	<i>Imperial units</i>	<i>SI units</i>
1knot	kt	1.689 ft/s	0.515 m/s
كثافة الهواء عند مستوى سطح البحر	ρ_0	0.00238 slug/ft ³	1.225 kg/m ³
سرعة الصوت عند مستوى سطح البحر	a_0	1116.44 ft/s	340.29 m/s
Radian	rad	57.3°	57.3°
تسارع الجاذبية الأرضية	<i>g</i>	32.17 ft/s ²	9.81 m/s ²

بسم الله الرحمن الرحيم

الملحق 5

ديناميات لنظام خطي ثنائي الرتبة

The Dynamics Of Linear Second Order System

حل معادلات الحركة المخطوطة قليلة القلقة للطائرة يحوي بعض الحدود الكلاسيكية الموجودة في الأنظمة ثنائية الرتبة. لذا فإن من المفيد دراسة ديناميات نظام الرتبة الثانية لفهم أكثر لحل معادلات الحركة للطائرات.

لنأخذ المثال المشهور وهو نظام كتلة-زنبرك-مضائل والذي توصف حركته بالمعادلة

$$m\ddot{x}(t) + c\dot{x}(t) + kx(t) = f(t) \dots\dots\dots 1$$

حيث $x(t)$ هي إزاحة الكتلة و $f(t)$ هو اقتران القوة. الثابت في النظام هي الكتلة m والتضاؤل c وممانعة الزنبرك k .

لنأخذ حالة عدم وجود قوة ($f(t) = 0$) ، ولنفرضنا أننا أرحنا الكتلة مسافة A ثم

تركناها . المعادلة 1 ستصبح

$$m\ddot{x}(t) + c\dot{x}(t) + kx(t) = 0 \dots\dots\dots 2$$

الظروف الابتدائية هي $\dot{x}(0) = 0$ و $x(0) = A$. يمكن الحصول على الاستجابة الزمانية لحركة الكتلة بحل المعادلة 2 ضمن القيود التي فرضتها الظروف الابتدائية. وهذا يتم بسهولة باستخدام تحويل لابلاس ، لذا

$$\begin{aligned} L\{m\ddot{x}(t) + c\dot{x}(t) + kx(t)\} &= m(s^2x(s) - sx(0) - \dot{x}(0)) \\ &+ c(sx(s) - x(0)) + kx(s) \\ &= m(s^2x(s) - sA) + c(sx(s) - A) + kx(s) = 0 \end{aligned}$$

بعد إعادة الترتيب نحصل على

$$x(s) = \frac{A(ms + c)}{(ms^2 + cs + k)} \dots\dots\dots 3$$

أو بصورة مكافئة

$$x(s) = \frac{A(s + 2zw)}{(s^2 + 2zws + w^2)} \dots\dots\dots 4$$

حيث

$$2zw = \frac{c}{m}$$

$$w^2 = \frac{k}{m}$$

نسبة التضاؤل Z

التردد الطبيعي الغير متضائل w

الاستجابة الزمانية $x(t)$ يمكن الحصول عليها بايجاد معكوس تحتويل لابلاس للمعادلة 4 (التفاصيل في الكتاب الأصلي لمن أراد). المعادلة المميزة للنظام نحصل عليها بمساواة مقام المعادلة 3 أو 4 بالصفر :

$$ms^2 + cs + k = 0 \dots\dots\dots 6$$

أو بصورة مكافئة

$$s^2 + 2Zws + w^2 = 0 \dots\dots\dots 7$$

$$x(t) = \frac{Ae^{-wzt}}{2} \left(\left(1 + \frac{Z}{\sqrt{Z^2 - 1}} \right) e^{-wt\sqrt{Z^2 - 1}} + \left(1 - \frac{Z}{\sqrt{Z^2 - 1}} \right) e^{wt\sqrt{Z^2 - 1}} \right) \dots\dots 9$$

المعادلة 9 هي الحل العام الذي يصف الحركة - التي لا تؤثر عليها قوة - لنظام الكتلة والزنبرك والمضائل.

نوع الاستجابة يعتمد على نسبة التضاؤل Z :

(i) عندما تكون $Z = 0$ فإن المعادلة 9 تصبح

$$x(t) = \frac{A}{2} (e^{-iwt} + e^{iwt}) = A \cos(wt)$$

وهي حركة اهتزازية غير متضائلة ، يعني النظام سيكون متعادل

(ii) عندما $0 < Z < 1$ فإن معادلة 9 يجب تعديلها بكتابة $w_n = w\sqrt{1 - Z^2}$ ، حيث w_n هو التردد الطبيعي المتضائل ، والحل سيصبح :

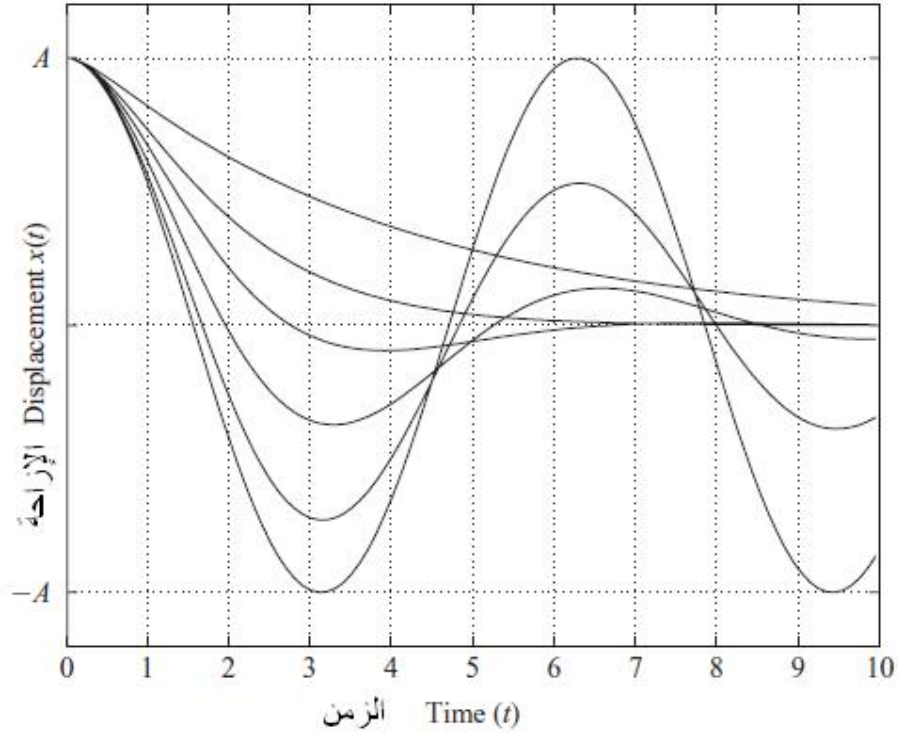
$$x(t) = \frac{Ae^{-wzt}}{2} \left(\left(1 + \frac{iZ}{\sqrt{1 - Z^2}} \right) e^{-i w_n t} + \left(1 - \frac{iZ}{\sqrt{1 - Z^2}} \right) e^{i w_n t} \right) \dots\dots 11$$
$$= Ae^{-wzt} \left(\cos(w_n t) - \frac{wZ}{w_n} \sin(w_n t) \right)$$

(iii) عندما $Z = 1$ فإن الحل يصبح :

$$x(t) = Ae^{-wt} (1 - wt)$$

(iv) عندما تكون $Z > 1$ فإن الحل هو المعطى بمعادلة 9 مباشرة. وهو يعطي حركة غير اهتزازية لكنها متضائلة.

الرسومات الزمانية لاستجابات بعض قيم Z مبينة في الشكل التالي:



من المهم ملاحظة أن نوع الاستجابة يتحدد كلياً بنسبة التضاؤل والتردد الطبيعي الغير متضائل، والذي بدوره يحدد جذور المعادلة المميزة 6 و 7 . لذا فإنه يمكن الحصول على الخصائص الدينامية للنظام من خصائصه الفيزيائية مباشرة.

النظام الكلاسيكي الكتلة-الزنبرك-المضائل دائماً مستقر لكنه هناك أنظمة ثنائية الرتبة أخرى تكون غير مستقرة، وهذا يحصل عندما تكون $z < 1$. الطائرات قد تكون مستقرة أو غير مستقرة.

بسم الله الرحمن الرحيم

الملحق 6

صيغ تقريبية لمشتقات الاستقرار والتحكم الايرودينامية اللابعدية

الجدول A6.1 مشتقات الاستقرار الايرودينامية الطولانية

قلقلات صغيرة بالنسبة لمحاور الريح للطائرة

المشتقة	الصيغة	ملاحظات
X_u	$-2C_D - V_0 \frac{\partial C_D}{\partial V} + \frac{1}{\frac{1}{2} r V_0 S} \frac{\partial t}{\partial V}$	
X_w	$C_L - \frac{\partial C_D}{\partial a}$	
X_q	$-\bar{V}_T \frac{\partial C_{D_T}}{\partial a_T}$	مهملة عادةً
$X_{\dot{w}}$	$-\bar{V}_T \frac{\partial C_{D_T}}{\partial a_T} \frac{de}{da} \equiv X_q \frac{de}{da}$	
Z_u	$-2C_L - V_0 \frac{\partial C_L}{\partial V}$	
Z_w	$C_D - \frac{\partial C_D}{\partial a}$	
Z_q	$-\bar{V}_T a_1$	
$Z_{\dot{w}}$	$-\bar{V}_T a_1 \frac{de}{da} \equiv Z_q \frac{de}{da}$	
M_u	$V_0 \frac{\partial C_m}{\partial V}$	صغير عند أرقام ماخ الصغيرة
M_w	$\frac{dC_m}{d\alpha} = -aK_n$	
M_q	$-\bar{V}_T a_1 \frac{l_T}{\bar{c}} \equiv Z_q \frac{l_T}{\bar{c}}$	
$M_{\dot{w}}$	$-\bar{V}_T a_1 \frac{l_T}{\bar{c}} \frac{d\varepsilon}{d\alpha} \equiv M_q \frac{d\varepsilon}{d\alpha}$	

الجدول A6.2 مشتقات الاستقرار الايرودينامية الجانبية
قلقلات صغيرة بالنسبة لمحاور الريح للطائرة

المشتقة	الصيغة	ملاحظة
Y_v	$\left(\frac{S_B}{S} y_B - \frac{S_F}{S} a_{1F} \right)$	دائما سالبة وبالتالي تدعم الاستقرارية
L_v	$-\frac{1}{Ss} \int_0^s c_y a_y \Gamma y dy$	
	$-\frac{2C_L \tan \Lambda^{1/4}}{Ss} \int_0^s c_y y dy$	
	$-a_{1F} \bar{V}_F \frac{h_F}{l_F}$	
N_v	$a_{1F} \bar{V}_F$	
Y_p	$-\frac{1}{Sb} \int_0^{H_F} a_h c_h h dh$	مهمل عادة
L_p	$-\frac{1}{2Ss^2} \int_0^s (a_y + C_{D_y}) c_y y^2 dy$	
N_p	$-\frac{1}{2Ss^2} \int_0^s \left(C_{L_y} - \frac{dC_D}{d\alpha_y} \right) c_y y^2 dy$	
Y_r	$\bar{V}_F a_{1F}$	مهمل عادة
L_r	$\frac{1}{Ss^2} \int_0^s C_{L_y} c_y y^2 dy$	
	$a_{1F} \bar{V}_F \frac{h_F}{b} \equiv -L_{v(fin)} \frac{l_F}{b}$	
N_r	$-\frac{1}{Ss^2} \int_0^s C_{D_y} c_y y^2 dy$	يساوي تقريبا $C_D/6$
	$-a_{1F} \bar{V}_F \frac{l_F}{b} = -\frac{l_F}{b} N_{v(fin)}$	

الجدول A6.3 مشتقات التحكم الايرودينامية الطولانية

قلقلات صغيرة بالنسبة لمحاور الريح للطائرة

المشتقة	الصيغة	ملاحظات
X_η	$-2\frac{S_T}{S}k_T C_{L_T} a_2$	عادة صغيرة
Z_η	$-\frac{S_T}{S} a_2$	
M_η	$-\bar{V}_T a_2$	

A6.4 مشتقات التحكم الايرودينامية الطولانية (هذا الجدول مأخوذ من الطبعة الثانية من الكتاب الأصلي)

قلقلات صغيرة بالنسبة لمحاور الريح للطائرة

المشتقة	الصيغة	ملاحظات
Y_ξ		مهملة للطائرات الاعتيادية
L_ξ	$-\frac{1}{S_S} a_{2_A} \int_{y_1}^{y_2} c_y y dy$	
N_ξ	$\frac{1}{S_S} \int_{y_1}^{y_2} \left(\frac{\partial C_{D_y}}{\partial \xi} \right) c_y y dy$	
Y_ζ	$\frac{S_F}{S} a_{2_R}$	
L_ζ	$\bar{V}_F \frac{h_F}{l_F} a_{2_R}$	
N_ζ	$-\bar{V}_F a_{2_R}$	

بسم الله الرحمن الرحيم

الملحق 7

تحويل مشتقات الاستقرار الايرودينامية من محاور الجسم إلى محاور الريح، والعكس

1 - مقدمة

تحويل مشتقات الاستقرار الايرودينامية عادة تؤخذ بالنسبة لنظام محاور الجسم أو نظام محاور الريح. لكن قد تكون عندنا البيانات لأحد الأنظمة ونحتاجها للآخر، عندها لا بد من تحويل هذه البيانات، والطريقة مباشرة.

في الطيران المطرد (steady) على ارتفاع ثابت ، يختلف نظام محاور الجسم عن نظام محاور الريح بزاوية سقوط الجسم α_e فقط ، كما هو مبين في الشكل 2.2 .

4 - الخلاصة

تحويل المشتقات من محاور الجسم إلى محاور الريح ملخص في الجدول A7.1 . وتحويل المشتقات من محاور الريح إلى محاور الجسم ملخص في الجدول A7.2 . أيضا التحويلات لمشتقات التحكم ملخصة في A7.3 و A7.4 .

الجدول A7.1 تحويل المشتقات من محاور الجسم إلى محاور الريح

Table A7.1 *Body axes to wind axes derivative transformations*

<i>Wind axes</i> محاور الريح	<i>Body axes</i> محاور الجسم
\dot{X}_{u_w}	$\dot{X}_{u_b} \cos^2 \alpha_e + \dot{Z}_{w_b} \sin^2 \alpha_e + (\dot{X}_{w_b} + \dot{Z}_{u_b}) \sin \alpha_e \cos \alpha_e$
\dot{X}_{w_w}	$\dot{X}_{w_b} \cos^2 \alpha_e - \dot{Z}_{u_b} \sin^2 \alpha_e - (\dot{X}_{u_b} - \dot{Z}_{w_b}) \sin \alpha_e \cos \alpha_e$
\dot{Y}_{v_w}	\dot{Y}_{v_b}
\dot{Z}_{u_w}	$\dot{Z}_{u_b} \cos^2 \alpha_e - \dot{X}_{w_b} \sin^2 \alpha_e - (\dot{X}_{u_b} - \dot{Z}_{w_b}) \sin \alpha_e \cos \alpha_e$
\dot{Z}_{w_w}	$\dot{Z}_{w_b} \cos^2 \alpha_e + \dot{X}_{u_b} \sin^2 \alpha_e - (\dot{X}_{w_b} + \dot{Z}_{u_b}) \sin \alpha_e \cos \alpha_e$
\dot{L}_{v_w}	$\dot{L}_{v_b} \cos \alpha_e + \dot{N}_{v_b} \sin \alpha_e$
\dot{M}_{u_w}	$\dot{M}_{u_b} \cos \alpha_e + \dot{M}_{w_b} \sin \alpha_e$
\dot{M}_{w_w}	$\dot{M}_{w_b} \cos \alpha_e - \dot{M}_{u_b} \sin \alpha_e$
\dot{N}_{v_w}	$\dot{N}_{v_b} \cos \alpha_e - \dot{L}_{v_b} \sin \alpha_e$
\dot{X}_{q_w}	$\dot{X}_{q_b} \cos \alpha_e + \dot{Z}_{q_b} \sin \alpha_e$
\dot{Y}_{p_w}	$\dot{Y}_{p_b} \cos \alpha_e + \dot{Y}_{r_b} \sin \alpha_e$
\dot{Y}_{r_w}	$\dot{Y}_{r_b} \cos \alpha_e - \dot{Y}_{p_b} \sin \alpha_e$
\dot{Z}_{q_w}	$\dot{Z}_{q_b} \cos \alpha_e - \dot{X}_{q_b} \sin \alpha_e$
\dot{L}_{p_w}	$\dot{L}_{p_b} \cos^2 \alpha_e + \dot{N}_{r_b} \sin^2 \alpha_e + (\dot{L}_{r_b} + \dot{N}_{p_b}) \sin \alpha_e \cos \alpha_e$
\dot{L}_{r_w}	$\dot{L}_{r_b} \cos^2 \alpha_e - \dot{N}_{p_b} \sin^2 \alpha_e - (\dot{L}_{p_b} - \dot{N}_{r_b}) \sin \alpha_e \cos \alpha_e$
\dot{M}_{q_w}	\dot{M}_{q_b}
\dot{N}_{p_w}	$\dot{N}_{p_b} \cos^2 \alpha_e - \dot{L}_{r_b} \sin^2 \alpha_e - (\dot{L}_{p_b} - \dot{N}_{r_b}) \sin \alpha_e \cos \alpha_e$
\dot{N}_{r_w}	$\dot{N}_{r_b} \cos^2 \alpha_e + \dot{L}_{p_b} \sin^2 \alpha_e - (\dot{L}_{r_b} + \dot{N}_{p_b}) \sin \alpha_e \cos \alpha_e$
$\dot{X}_{\dot{w}_w}$	$\dot{X}_{\dot{w}_b} \cos^2 \alpha_e + \dot{Z}_{\dot{w}_b} \sin \alpha_e \cos \alpha_e$
$\dot{Z}_{\dot{w}_w}$	$\dot{Z}_{\dot{w}_b} \cos^2 \alpha_e - \dot{X}_{\dot{w}_b} \sin \alpha_e \cos \alpha_e$
$\dot{M}_{\dot{w}_w}$	$\dot{M}_{\dot{w}_b} \cos \alpha_e$
\dot{X}_{η_w}	$\dot{X}_{\eta_b} \cos \alpha_e + \dot{Z}_{\eta_b} \sin \alpha_e$
\dot{Z}_{η_w}	$\dot{Z}_{\eta_b} \cos \alpha_e - \dot{X}_{\eta_b} \sin \alpha_e$

الجدول A7.2 تحويل المشتقات من محاور الريح إلى محاور الجسم

Table A7.2 Wind axes to body axes derivative transformations

Body axes محاور الجسم	Wind axes محاور الريح
\dot{X}_{u_b}	$\dot{X}_{u_w} \cos^2 \alpha_e + \dot{Z}_{w_w} \sin^2 \alpha_e - (\dot{X}_{w_w} + \dot{Z}_{u_w}) \sin \alpha_e \cos \alpha_e$
\dot{X}_{w_b}	$\dot{X}_{w_w} \cos^2 \alpha_e - \dot{Z}_{u_w} \sin^2 \alpha_e + (\dot{X}_{u_w} - \dot{Z}_{w_w}) \sin \alpha_e \cos \alpha_e$
\dot{Y}_{v_b}	\dot{Y}_{v_w}
\dot{Z}_{u_b}	$\dot{Z}_{u_w} \cos^2 \alpha_e - \dot{X}_{w_w} \sin^2 \alpha_e + (\dot{X}_{u_w} - \dot{Z}_{w_w}) \sin \alpha_e \cos \alpha_e$
\dot{Z}_{w_b}	$\dot{Z}_{w_w} \cos^2 \alpha_e + \dot{X}_{u_w} \sin^2 \alpha_e + (\dot{X}_{w_w} + \dot{Z}_{u_w}) \sin \alpha_e \cos \alpha_e$
\dot{L}_{v_b}	$\dot{L}_{v_w} \cos \alpha_e - \dot{N}_{v_w} \sin \alpha_e$
\dot{M}_{u_b}	$\dot{M}_{u_w} \cos \alpha_e - \dot{M}_{w_w} \sin \alpha_e$
\dot{M}_{w_b}	$\dot{M}_{w_w} \cos \alpha_e + \dot{M}_{u_w} \sin \alpha_e$
\dot{N}_{v_b}	$\dot{N}_{v_w} \cos \alpha_e + \dot{L}_{v_w} \sin \alpha_e$
\dot{X}_{q_b}	$\dot{X}_{q_w} \cos \alpha_e - \dot{Z}_{q_w} \sin \alpha_e$
\dot{Y}_{p_b}	$\dot{Y}_{p_w} \cos \alpha_e - \dot{Y}_{r_w} \sin \alpha_e$
\dot{Y}_{r_b}	$\dot{Y}_{r_w} \cos \alpha_e + \dot{Y}_{p_w} \sin \alpha_e$
\dot{Z}_{q_b}	$\dot{Z}_{q_w} \cos \alpha_e + \dot{X}_{q_w} \sin \alpha_e$
\dot{L}_{p_b}	$\dot{L}_{p_w} \cos^2 \alpha_e + \dot{N}_{r_w} \sin^2 \alpha_e - (\dot{L}_{r_w} + \dot{N}_{p_w}) \sin \alpha_e \cos \alpha_e$
\dot{L}_{r_b}	$\dot{L}_{r_w} \cos^2 \alpha_e - \dot{N}_{p_w} \sin^2 \alpha_e + (\dot{L}_{p_w} + \dot{N}_{r_w}) \sin \alpha_e \cos \alpha_e$
\dot{M}_{q_b}	\dot{M}_{q_w}
\dot{N}_{p_b}	$\dot{N}_{p_w} \cos^2 \alpha_e - \dot{L}_{r_w} \sin^2 \alpha_e + (\dot{L}_{p_w} - \dot{N}_{r_w}) \sin \alpha_e \cos \alpha_e$
\dot{N}_{r_b}	$\dot{N}_{r_w} \cos^2 \alpha_e + \dot{L}_{p_w} \sin^2 \alpha_e + (\dot{L}_{r_w} + \dot{N}_{p_w}) \sin \alpha_e \cos \alpha_e$
$\dot{X}_{\dot{w}_b}$	$\dot{X}_{\dot{w}_w} \cos^2 \alpha_e - \dot{Z}_{\dot{w}_w} \sin \alpha_e \cos \alpha_e$
$\dot{Z}_{\dot{w}_b}$	$\dot{Z}_{\dot{w}_w} \cos^2 \alpha_e + \dot{X}_{\dot{w}_w} \sin \alpha_e \cos \alpha_e$
$\dot{M}_{\dot{w}_b}$	$\dot{M}_{\dot{w}_w} \cos \alpha_e$

في الجدولين التاليين يمكن كتابة z مكان d

الجدول A7.3 تحويل مشتقات التحكم من محاور الجسم إلى محاور الريح

Table A7.3 *Body axes to wind axes control derivative transformations*

<i>Wind axes</i> محاور الريح	<i>Body axes</i> محاور الجسم
\dot{X}_{δ_w}	$\dot{X}_{\delta_b} \cos \alpha_e + \dot{Z}_{\delta_b} \sin \alpha_e$
\dot{Y}_{δ_w}	\dot{Y}_{δ_b}
\dot{Z}_{δ_w}	$\dot{Z}_{\delta_b} \cos \alpha_e - \dot{X}_{\delta_b} \sin \alpha_e$
\dot{L}_{δ_w}	$\dot{L}_{\delta_b} \cos \alpha_e + \dot{N}_{\delta_b} \sin \alpha_e$
\dot{M}_{δ_w}	\dot{M}_{δ_b}
\dot{N}_{δ_w}	$\dot{N}_{\delta_b} \cos \alpha_e - \dot{L}_{\delta_b} \sin \alpha_e$

الجدول A7.4 تحويل مشتقات التحكم من محاور الريح إلى محاور الجسم

Table A7.4 *Wind axes to body axes control derivative transformations*

<i>Body axes</i> محاور الجسم	<i>Wind axes</i> محاور الريح
\dot{X}_{δ_b}	$\dot{X}_{\delta_w} \cos \alpha_e - \dot{Z}_{\delta_w} \sin \alpha_e$
\dot{Y}_{δ_b}	\dot{Y}_{δ_w}
\dot{Z}_{δ_b}	$\dot{Z}_{\delta_w} \cos \alpha_e + \dot{X}_{\delta_w} \sin \alpha_e$
\dot{L}_{δ_b}	$\dot{L}_{\delta_w} \cos \alpha_e - \dot{N}_{\delta_w} \sin \alpha_e$
\dot{M}_{δ_b}	\dot{M}_{δ_w}
\dot{N}_{δ_b}	$\dot{N}_{\delta_w} \cos \alpha_e + \dot{L}_{\delta_w} \sin \alpha_e$

بسم الله الرحمن الرحيم

الملحق 8

تحويل عزوم القصور الذاتي ومضاريب القصور من محاور الجسم إلى محاور الريح،
والعكس

الخلاصة في الجدولين التاليين

الجدول A8.1 تحويلات العزوم ومضاريب القصور من محاور الجسم إلى محاور الريح

Table A8.1 *Moment and product of inertia transformations from a body to wind axes reference*

<i>Wind axes</i> محاور الريح	<i>Body axes</i> محاور الجسم
I_{x_w}	$I_{x_b} \cos^2 \alpha_e + I_{z_b} \sin^2 \alpha_e - 2I_{xz_b} \sin \alpha_e \cos \alpha_e$
I_{y_w}	I_{y_b}
I_{z_w}	$I_{z_b} \cos^2 \alpha_e + I_{x_b} \sin^2 \alpha_e + 2I_{xz_b} \sin \alpha_e \cos \alpha_e$
I_{xy_w}	$I_{xy_b} \cos \alpha_e + I_{yz_b} \sin \alpha_e$
I_{xz_w}	$I_{xz_b} (\cos^2 \alpha_e - \sin^2 \alpha_e) + (I_{x_b} - I_{z_b}) \sin \alpha_e \cos \alpha_e$
I_{yz_w}	$I_{yz_b} \cos \alpha_e - I_{xy_b} \sin \alpha_e$

الجدول A8.2 تحويلات العزوم ومضاريب القصور من محاور الريح إلى محاور الجسم

Table A 8.2 *Moment and product of inertia transformations from a wind to body axes reference*

<i>Body axes</i> محاور الجسم	<i>Wind axes</i> محاور الريح
I_{x_b}	$I_{x_w} \cos^2 \alpha_e + I_{z_w} \sin^2 \alpha_e + 2I_{xz_w} \sin \alpha_e \cos \alpha_e$
I_{y_b}	I_{y_w}
I_{z_b}	$I_{z_w} \cos^2 \alpha_e + I_{x_w} \sin^2 \alpha_e - 2I_{xz_w} \sin \alpha_e \cos \alpha_e$
I_{xy_b}	$I_{xy_w} \cos \alpha_e - I_{yz_w} \sin \alpha_e$
I_{xz_b}	$I_{xz_w} (\cos^2 \alpha_e - \sin^2 \alpha_e) + (I_{z_w} - I_{x_w}) \sin \alpha_e \cos \alpha_e$
I_{yz_b}	$I_{yz_w} \cos \alpha_e + I_{xy_w} \sin \alpha_e$

مفتاحي العام الثاني لبرنامج اسرار المجاهدين النسخة الثانية:

#---Begin Al-Ekhlaas Network ASRAR El Moujahedeen V2.0 Public
Key 2048 bit---
pyHAf8xhSSD1F4oni8BCcTFtcU+Ab2H31KoW+zxRoPHBmEj9Lf
CyfQL6RZM8NtkMcBrS/hKaZ11EQ6Es6J37eA1VsG19HBwPj9dl
9IUCbJ15KJYt5DLNn/iZj5EcMMPpSxtgSFwngxGjeJAJ1XCGs
uzNPmjrmgE/guFUIHC0Ncr+z94iJov5SYCfxZ46Tc2ZR1yTO1M
exblu6qD9+gv0Q8x0Box9wkiXgAXS9e+qQUuvjS7NG+epcXKkj
p1ua1C9Q8Kjzfb7To6bwBN4XNYm0BAyPwTvLBUURojCZd2yMy
QiVi6lHeXoBZAqsl9xrFGCnf0Ybcf2/5iDe87IGMNIKPGDWk2X
U73juuxdTtYYJxTgS1tWazLsHVNByE3eLPp9whZb4NUhAgKjjQ
kgFxtMkfjCj3RcPFe4bLiTJ98U+otTLCKRMt93L7b7owGpW1Fs
Ln4puIVaRB4BsJAcPcoWYLxw01GtpAMUdWSmdtPjmJ1rMURm6B
sSvrBEs5mEcp/ObOGsPpaYmzNJCGrey8JvnSyasPudKEi5+umk
sx

#---End Al-Ekhlaas Network ASRAR El Moujahedeen V2.0 Public Key
2048 bit---

بسم الله الرحمن الرحيم

تصميم طائرة بسيطة

(طائرة أ-1)

إعداد

المهندس عبد الرحمن

الإهداء :

إلى المجاهدين عامة وإلى دولة العراق الإسلامية خاصة

هذا الكتاب يتحدث عن التصميم الأولي لطائرة بسيطة ، يمكن صنعها بمواد بسيطة ومتوفرة ، وتكلفتها قليلة جدا (أقل من مئة دولار)، وكتلتها 7 كيلو غرامات. وطولها متر واحد وطول جناحها متر ونصف ، ومحركها هو محرك صاروخي ضعيف سهل الصناعة وآمن ومواده متوفرة. ويتم التحكم في ارتفاع هذه الطائرة بواسطة محرك كهربائي صغير وجهاز تحكم عن بعد بقناة واحدة . مدة طيرانها أكثر من عشر ثواني ومداها أكثر من 200 متر. وهذا النموذج اسمه أ-1

وفي التصميم القادم (بعد اثبات أن هذا التصميم ناجح) سيتم تحسينه لكي يتم التحكم في اتجاه الطيران (بالإضافة إلى الارتفاع)، وسيتم إضافة محرك صاروخي إضافي لزيادة زمن الطيران لعدة دقائق ومدى الطائرة لعدة كيلومترات.

نظام الكتاب

هذا الكتاب سيكون مقسم على عدة فصول وكل فصل مقسم لعدة أجزاء. في بداية كل فصل أو في بداية كل جزء سنشرح النظرية التي نلزمنا باختصار، ثم سوف نطبق عليها لايجاد بعض تفاصيل تصميم طائرتنا.

اسم الطائرة

اسم هذه الطائرة هو طائرة أ-1 ، فإن وضعت مستقبلا تصميم معدل أو مطور سيصبح اسمه أ-2 ثم أ-3 وهكذا. وإن وضعت تصميم لطائرة جديدة فستكون ب-1 وهكذا.

الفهرس

1

مقدمة عامة

1.1 تعريف تصميم جديد

1.2 عملية التصميم

1.3 متطلبات التصميم لطائرتنا

2

اختيار وزن الطائرة

3

اختيار سرعة الطيران ، ومواصفات الإقلاع (التسارع والمسافة والزمن)

4

تصميم المحرك الصاروخي

4.1 أجزاء الصاروخ

4.2 تعريفات

4.3 معدل احتراق الوقود الصلب

4.4 الدفع وضغط غرفة الاحتراق

4.5 الوقود الصلب

4.6 محرك طائرتنا

5

تصميم أبعاد الجناح

5.1 مقدمة نظرية

5.2 تصميم أبعاد الجناح لطائرتنا

6

تصميم أبعاد الذيل

6.1 مقدمة نظرية

6.2 طائرتنا

7

تصميم بنية الطائرة

7.1 مقدمة نظرية

7.2 بنية جناح طائرتنا

تصميم العارضة الرئيسية:

غلاف الجناح
الأضلاع
7.3 بنية الذيل الأفقي
7.4 بنية الذيل الرأسي
7.5 بنية بدن الطائرة
تصميم غلاف بدن الطائرة
تصميم أعضاء التقوية لبدن الطائرة
الإطارات

8

مركز الجاذبية وهامش الاستقرار

9

وضع الجناح والذيل الأفقي والرافع

10

العجلات

11

زمن الطيران

خاتمة

بسم الله الرحمن الرحيم

1

مقدمة عامة

1.1 تعريف تصميم جديد

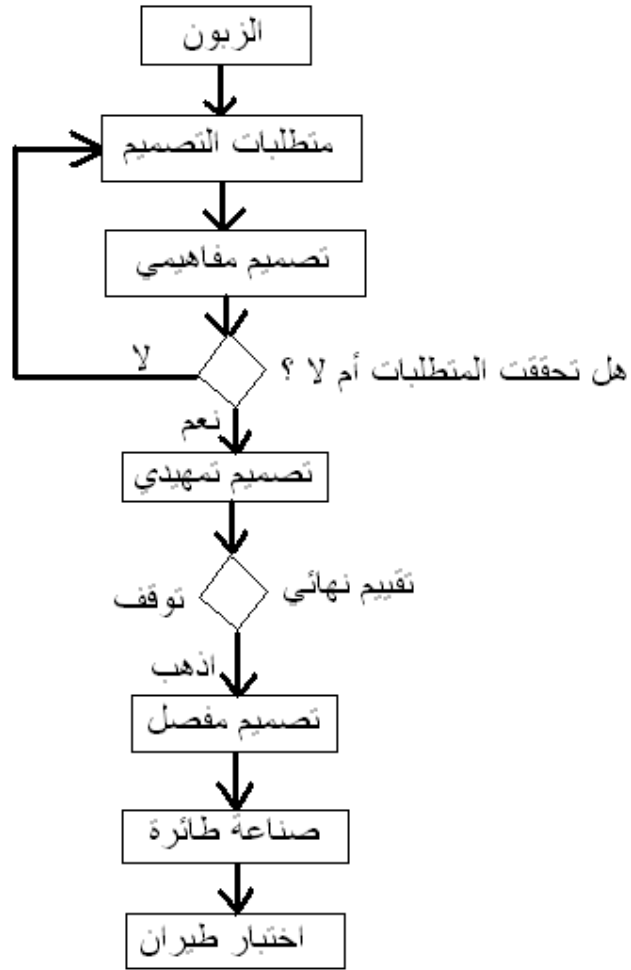
تصميم الطائرة يجمع عدة فروع من علم الطيران ؛ مثل علم الايروديناميات والدفع والبنى والتحكم.

كل فرع يتضمن عدة عوامل تحدد الحجم والشكل والوزن والكفاءة للطائرة. بالرغم من أننا نحاول أن نأخذ القيم المثلى لجميع هذه الصفات، إلا أن هذا مستحيل عملياً؛ والسبب أن أخذ قيمة مثلى لخاصية ما سوف قد يجبرنا على أخذ قيمة دون المثلى لخاصية أخرى. مثلاً، الطائرات طويلة المدى يجب أن تكون لها أجنحة ذات نسبة باعية عالية (أي طويلة ورفيعة)؛ لكن النسبة الباعية العالية ستقلل من امكانيات المناورة. قبل تصميم طائرة لا بد من تحديد عدة أمور:

- هدف ومهمة الطائرة
- نوع وكمية الحمولة
- السرعة المرغوبة
- الارتفاع المرغوب
- المدى المطلوب
- مدة الطيران
- مسافة الإقلاع المطلوبة
- مسافة الهبوط المطلوبة
- التكلفة
- متطلبات أخرى

1.2 عملية التصميم

عملية تصميم طائرة تمر بسلسلة مراحل كما في الشكل التالي



فالزبون أو الجهة الطالبة تحدد لنا متطلبات مهمة الطائرة، مثل السرعة والكتلة و

الخطوة التالية هي التصميم المفاهيمي (conceptual) (يعتمد على المفاهيم الأساسية)

. في التصميم المفاهيمي نقدر الخصائص الايرودينامية التي تلائم متطلبات المهمة، ونقد أيضا المحرك المناسب والبنية المناسبة ومكان الأجنحة. أيضا التصميم المفاهيمي يحدد مجموعات الأوزان التي تحقق متطلبات الاستقرار الاستاتيكية. أيضا في التصميم المفاهيمي نحدد حجم سطوح التحكم التي تعطينا المناورة المطلوبة وأيضا نقدر التكلفة.

التصميم المفاهيمي مبني على متطلبات مهمة الطائرة. لكن في بعض الحالات لا يمكن تحقيق جميع هذه المتطلبات . ونحتاج إلى تعديل أحدها أو بعضها. وهذا مبين في دورة التجريب في الشكل السابق. عندما تتحقق متطلبات التصميم ننتقل للخطوة التالية وهي التصميم التمهيدي.

في التصميم التمهيدي (preliminary) نعدل على ما وضعناها في التصميم المفاهيمي حيث تجري اختبارات النفق الهوائي لنماذج مصغرة من الطائرة، نختبر فيها الأمور التي كان من الصعب التنبأ بها ، مثل أثر الجناح على سطوح التحكم.

التصميم التمهيدي يتضمن أيضا تحليل أكثر تفصيلاً للأحمال الإيرودينامية ووزن الأجزاء. وبناء عليه نزيد من تفصيل التصميم البنيوي. ندرس في هذه المرحلة بعض الظواهر المتقدمة في بنى الطائرات . أيضا نتأكد من صحة التقديرات ببناء واختبار بعض الاجزاء البنيوية.

بعد انتهاء هذه المرحلة، ندرس بجدية امكانية صناعة الطائرة وتكلفتها. ثم نقرر هل نبني الطائرة أم "تجمد" التصميم.

ثم يأتي دور مرحلة التصميم المفصل للطائرة، ونضع فيه جميع التفاصيل اللازمة لبناء الطائرة.

وفي كتابنا هذا سوف نقتصر على التصميم المفاهيمي فقط

(ما سبق كان ترجمة واختصار من أحد الكتب، ولا يعني بالضرورة أن هذا ما سوف نفعله)

1.3 متطلبات التصميم لطائرتنا

نريد تصميم طائرة صغيرة طولها حوالي متر، وكتلتها (5-10kg) ، تعمل بواسطة محرك صاروخي ضعيف ينتج دفع ثابت خلال فترة عمله، مسافة الإقلاع (10-30m) ، سرعتها أقل من 100m/s ، مدة طيرانها أكثر من 10 ثواني. قدرتها على المناورة لا تهمنا، المهم أن تطير، ومبدئياً لن يكون هناك تحكم باتجاهها. فقط سنتحكم في ارتفاعها بواسطة جهاز تحكم عن بعد (بإمكاننا اضافة جهاز تحكم في الاتجاه أيضا، لكن الأهم في التصميم الأول أن نرى هل ستطير الطائرة أم لا ، أما التحكم في الارتفاع فالهدف الحقيقي منه ليس التحكم بالارتفاع بقدر ما هو التحكم في زاوية الطيران وبالتالي في امكانية الطيران في نموذجنا. المواد المستعملة في صناعة الطائرة هي ما يتوفر من صفائح وأعمدة حديد وألمنيوم، بالإضافة للحام والبراغي. أيضا سيلزمنا محرك كهربائي صغير يعمل على البطارية (يسمى servo ويستخدم لتحريك الجزء المتحرك من الذيل الخلفي، وهو يباع في محلات قطع طائرات الهواء ، ويمكن الحصول عليه من بعض الألعاب أيضا)، أيضا سيلزمنا جهاز تحكم عن بعد بقناة واحدة ومداه أكبر من 300 متر. (ويمكن الاستغناء عن الـ servo وجهاز التحكم عن بعد في التجارب الأولى، أنظر خاتمة الكتاب).

قائمة المراجع:

Corke, “Design of Aircraft” – 2003 – Ch1

بسم الله الرحمن الرحيم

2

اختيار وزن الطائرة

بعد تحديد متطلبات التصميم فإن أول خطوة ستكون هي تقدير وزن الطائرة. هذا التقدير مهم جدا لأنه يستخدم في معظم الخطوات التالية. لكن ننبه إلى خطأ شائع وهو أن الكثيرين يظنون أن وحدة الوزن هي كيلوغرام وهذا خطأ ، فالكيلوغرام (Kg) هو وحدة الكتلة، أما الوزن فهو قوة ووحدته هي نيوتن (N) . وهناك علاقة بين الوزن (ويرمز له بـ W) والكتلة (ويرمز لها بـ m) وهي :

$$W = m g$$

حيث g هو تسارع الجاذبية الأرضية ويساوي $9.8 m/s^2$ وسوف نعتبره في كتابنا يساوي $10 m/s^2$

طائرتنا:

قلنا في متطلبات التصميم أننا نرغب بطائرة كتلتها ($5 - 10 Kg$) ، لذا سوف نختار كتلة $7 Kg$ ، أي أن الوزن هو $70 N$.
طبعا هذا تقدير ونستطيع تعديله إن رأينا ضرورة لذلك في خطوات التصميم التالية.

بسم الله الرحمن الرحيم

3

اختيار سرعة الطيران ، ومواصفات الإقلاع (التسارع والمسافة والزمن)

في نموذجنا ستكون الطائرة واقفة على الأرض ، ثم يعمل المحرك فيدفع الطائرة لتسير على الأرض بتسارع ثابت إلى أن تصل الطائرة إلى السرعة التي تكون قادرة عندها على الطيران (سرعة الطيران) ؛ فتقلع الطائرة. إذن زمن الإقلاع هو الزمن اللازم حتى تصل الطائرة إلى سرعة الطيران، ومسافة الإقلاع هي المسافة اللازمة لتصل الطائرة إلى سرعة الطيران.

فإذا رجعنا إلى معادلات الحركة للتسارع الثابت نستطيع أن نثبت أن العلاقة بين سرعة الطيران (V ووحدها m/s) وتسارع الطائرة أثناء الإقلاع (a ووحدها m/s^2) وزمن الإقلاع (t ووحدها s ثانية) ومسافة الإقلاع (X ووحدها m متر) توصف بالمعادلتين التاليتين:

$$t = \frac{V}{a}$$

$$X = \frac{V^2}{2a}$$

نلاحظ من المعادلتين السابقتين أن اختيارنا للتسارع وسرعة الإقلاع سوف يحددان زمن ومسافة الإقلاع.

طائرتنا

يجب أن لا يكون تسارع الطائرة كبير جدا خشية تحطم الطائرة، ويجب أن لا يكون صغير جدا حتى لا يلزمنا مسافة وزمن إقلاع كبيرين.

سوف نجرب أن يكون التسارع مساوي لتسارع الجاذبية الأرضية (g) (أي $10m/s^2$). أما السرعة فمن متطلبات التصميم نجد أنها يجب أن تكون أقل من $100m/s$ ، ومسافة الإقلاع من متطلبات التصميم يجب أن تكون من $(10 - 30m)$ ،

مثلا لو جربنا السرعة $V = 90m/s$ وحسبنا مسافة الإقلاع باستخدام المعادلة السابقة:

$$X = \frac{V^2}{2a} = \frac{90^2}{2 \times 10} = 405m$$

وهي لا تحقق متطلبات التصميم ، إذن نبحث عن لا بد من تعديل قيمة التسارع والسرعة
لتحقق متطلبات التصميم لمسافة الإقلاع ، الآن لنجرب نفس التسارع السابق $(10m/s^2)$ أما
السرعة فلنجرّب $V = 20m/s$ ، ولنحسب مسافة الإقلاع:

$$X = \frac{V^2}{2a} = \frac{20^2}{2 \times 10} = 20m$$

وهي موافقة لمتطلبات التصميم، لنحسب زمن الإقلاع :

$$t = \frac{V}{a} = \frac{20}{10} = 2s$$

وهي جيدة أيضا،

إذن لطائرتنا سوف تكون سرعة الطيران $(V = 20m/s)$ و التسارع أثناء الإقلاع
 $(a = 10m/s^2)$ ومسافة الإقلاع $(X = 20m)$ وزمن الإقلاع $(t = 2s)$.

بالمناسبة في خطوات التصميم التالية قد نجد أن إحدى هذا المواصفات التي اخترناها
تتعارض مع متطلبات تصميم أخرى ، فنضطر للرجوع إلى هنا وتجريب قيم أخرى وإعادة
الحل لنرى هل تحققت متطلبات التصميم الأخرى أم لا ، وهكذا . وهذا ما سبق شرحه في
الفصل الأول للتصميم المفاهيمي.

ملاحظة: سنصمم المحرك بحيث يبقى يعمل لمدة قصيرة بعد الإقلاع، إلى أن تصل
السرعة إلى $(25m/s)$ ، ثم يتوقف المحرك، ثم ستخفّض السرعة بفعل مقاومة الاحتكاك
وبعد فترة من الزمن سترجع السرعة إلى $(20m/s)$ وتهبط الطائرة. فزمن عمل المحرك
هو:

$$t_{thrust} = \frac{V}{a} = \frac{25}{10} = 2.5s$$

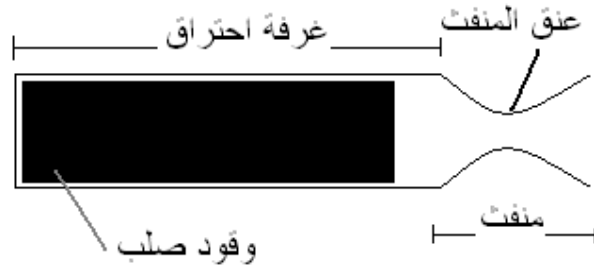
بسم الله الرحمن الرحيم

4

تصميم المحرك الصاروخي

4.1 أجزاء الصاروخ

نقصد بالمحرك الصاروخي محرك صاروخ ذو وقود صلب، وهو يتكون من غرفة احتراق ومنفت ووقود صلب ومُشعل:



عند احتراق الوقود ينشأ لدينا غاز ساخن ذو ضغط مرتفع يندفع للخارج مارا بالمنفت الذي يزيد من سرعته، فتتسأ عندنا قوة دفع من رد الفعل.

غلاف غرفة الاحتراق يجب أن يتحمل الضغط والحرارة العاليين ، والمنفت (خصوصا عنق المنفت) يجب أن يتحمل الحرارة العالية والضغط ولذلك يصنع عادة من الفولاذ.

إذا اردنا أن لا يحصل احتراق لأحد أسطح الوقود (مثلا الذي عند غلاف غرفة الاحتراق) فيجب احاطته بمادة عازلة تمنع الاحتراق. اشعال الوقود يتم بواسطة المُشعل (igniter) وله أنواع عديدة.

4.2 تعريفات

الدفعة الكلية I_t هي تكامل قوة الدفع T بالنسبة للزمن، وفي حالة الدفع الثابت تصبح

$$I_t = F t_b$$

حيث t_b هو زمن الاحتراق (باهمال الفترات الانتقالية في البداية والنهاية)

الدفعة النوعية هي الدفعة الكلية لكل وحدة وزن للوقود. وفي حالة الدفع الثابت تكتب

كالتالي

$$I_s = \frac{I_t}{m_p g} = \frac{F t_b}{m_p g}$$

حيث m_p هي الكتلة الفعالة للوقود.

4.3 معدل احتراق الوقود الصلب

للعديد من أنواع الوقود الصلب من الممكن تقريب معدل الاحتراق على صورة اقتران يعتمد على ضغط غرفة الاحتراق. وعادة تكتب كالتالي:

$$r = a P_c^n$$

حيث r هو معدل احتراق الوقود بوحدة m/s و P_c هو ضغط غرفة الاحتراق بوحدة Pa و a و n هي معاملات تجريبية تعتمد على نوع الوقود بالدرجة الأولى.

4.4 الدفع وضغط غرفة الاحتراق

ضغط غرفة الاحتراق يحسب بالمعادلة:

$$P_c = \left(K_n a r_p \frac{I_s g}{C_F} \right)^{\frac{1}{1-n}}$$

حيث K_n هو معامل مهم جدا في تصميم محرك الصاروخ، ويساوي مساحة سطح الاحتراق A_b على مساحة مقطع عنق المنفذ A_t ، أي

$$K_n = \frac{A_b}{A_t}$$

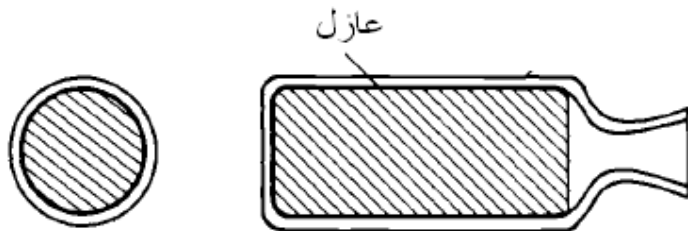
C_F يسمى معامل الدفع، وله معادلة لحسابه، لكن عادة نقدر له قيمة ثابتة اعتمادا على نوع الوقود. و r_p هي كثافة الوقود الصلب.

الدفع الناتج من محرك الصاروخ يحسب بالمعادلة:

$$F = C_F A_t P_c$$

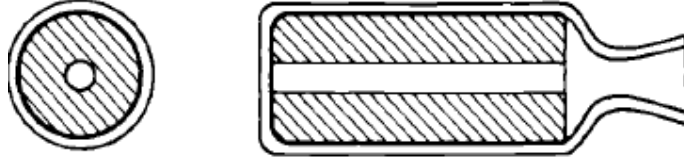
نلاحظ أن الضغط وقوة الدفع تتناسبان مع K_n وبالتالي مع مساحة سطح الاحتراق.

لذا فإن شكل الوقود الصلب الذي يعطي مساحة احتراق ثابتة أثناء الاحتراق سيعطي دفع وضغط ثابتين، مثلا طرفيات الاحتراق:



طرفي الاحتراق

أما تقبي احتراق مثل الشكل التالي:



فمن الواضح أن مساحة سطح الاحتراق تزداد أثناء الاحتراق ، لذا فإن الدفع وضغط غرفة الاحتراق يزدادان أثناء الاحتراق .

يمكن تصميم ثقبين احتراق بحيث تبقى مساحة الاحتراق ثابتة أثناء الاحتراق ، مثلا :



أيضا يمكن تصميمها لتعطي مساحة احتراق وضغط ودفع متناقصات أثناء الاحتراق.

4.5 الوقود الصلب

هناك العديد من أنواع الوقود الصلب، وكل نوع له خصائص معينة مثل الدفعة النوعية وحرارة الاحتراق والكثافة ومعاملات سرعة الاحتراق ودرجة الأمان ... ولمعرفة هذه الخواص نرجع إلى الجداول والأشكال الموجودة في مراجع علم الصواريخ وفي مواقع الانترنت المتخصصة.

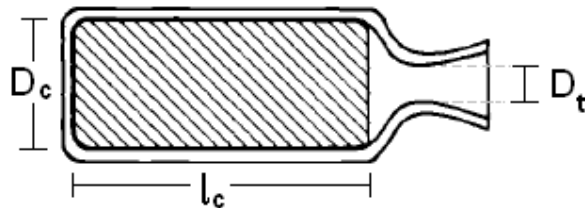
4.6 محرك طائرتنا

بعد هذا الشرح النظري للمحركات الصاروخية نبدأ في التصميم لمحرك طائرتنا. من خطوات التصميم السابقة عرفنا أن زمن عمل المحرك هو 2.5s ، وأن كتلة الطائرة هي 7Kg وأن تسارعها ثابت ومقداره $10 m/s^2$. إذن نحسب الدفع المطلوب بكل بساطة من قانون نيوتن الثاني ، أي

$$F = ma = 7 \times 10 = 70N$$

إذن يجب أن نصمم محرك دفعه ثابت ومقداره 70N ، ويعمل لمدة 2.5s .

كما بينا في الشرح السابق الدفع الثابت معناه مساحة احتراق ثابتة، وعليه سنختار طرفيات الاحتراق :



حيث سنرمز لقطر عنق المنفت بالرمز D_t (لاحظ أن $A_t = p D_t^2 / 4$) ولقطر الوقود بالرمز D_c (لاحظ أن $A_b = p D_c^2 / 4$) ولطول الوقود بالرمز l_c (لاحظ أن $l_c = r t_b$) منطقياً))

يمكن إعادة صياغة المعادلات في هذا الفصل لتصبح :

$$D_t = \left[\frac{p}{4T(C_F)^{\frac{n}{1-n}}} (a r_p I_s g)^{\frac{1}{1-n}} \right]^{\frac{3}{4}} D_c^{2.5}$$

$$K_n = \left(\frac{D_c}{D_t} \right)^2$$

$$l_c = r t_b$$

الآن تحديد نوع الوقود سوف يحدد الكثير من العوامل السابقة، مثلاً الوقود (65/35)

$^1 \text{KN/SU}$ له الخصائص التالية:

$$I_s = 130 \text{ s} \quad a = 3 \times 10^{-5} \text{ m/s/Pa}^{0.4} \quad r_p = 1830 \text{ Kg/m}^3 \quad C_F \approx 1.5$$

$$n = 0.4$$

وأريد أن أضيف شرطين اضافيين وهما

$$K_n > 110$$

$$D_t > 6.35 \times 10^{-3} \text{ m}$$

وسبب هذين الشرطين أن هاتين هما أقل قيمتين وجدتهما في موقعي انترنت مشهورين لهذا الوقود، ولا أريد مخالفتها خشية حصول مشاكل في المحرك².

¹ وهو يتكون من 35% سكر و65% نترات البوتاسيوم (وهو أحد أنواع الأسمدة الزراعية الكيميائية)، ويصنع هذا الوقود بعدة طرق أحدها مشروحة على هذا الرابط:

<http://www.jamesyawn.com/skillet/large/index.html>

وفي هذا الفلم (رابطه موجود في الصفحة السابقة)

<http://www.jamesyawn.com/skillet/large/propellant3-18-06A.wmv>

لكن لا بد من التنبيه أن لا داعي لاستخدام أنواع السكر التي ذكرها الموقع، ولا داعي أيضاً لاستخدام المحلول السكري (corn syrup)، بل يكفي استخدام السكر العاد يونترا البوتاسيوم (بالنسبة 35 % سكر و65 % نترات البوتاسيوم)، أيضاً مسألة قياس حرارة الخليط أثناء الإعداد يمكن الاستغناء عنها، واستخدام سخان كهربائي يمكن استبداله بمصدر لهب لكن يجب أن تكون مقلاة إعداد الوقود عميقة حتى لا يصل اللهب إلى الخليط ويسبب اشتعاله. بالمناسبة هذا الوقود آمن ولا يمكن أن ينفجر أثناء الإعداد، لكن سرعة احتراقه عالية فيجب توخي نوع من الحذر. أيضاً في المراة الأولى يجب التدرج على كميات صغيرة. أيضاً انتبه أن درجة الحرارة في الموقع وفي القلم هي بوحدة فهرنهايت (وقلنا أن درجة الحرارة لا تهتمنا على كل حال).

بالمناسبة موقع الانترنت هذا يعتبر أهم (أو ثاني أهم) موقع في صناعة صواريخ الهواء الأمانة. وفيه أيضاً طرق صناعة المشعل و طرق صناعة أمور أخرى مهمة وبسيطة. الموقع الثاني المميز في هذا المجال هو :

<http://www.nakka-rocketry.net/>

² من المهم دراسة أنواع أخرى من الوقود ضعيف الدفع، فلو توفر عندنا وقود ضعيف الدفع أكثر من هذا، فإننا نستطيع تصميم محرك ثاني للطائرة يعمل بعد انتهاء عمل المحرك الأول، ووظيفته هي إنتاج دفع ضعيف مساو لمقاومة الهواء، وبالتالي ستطير الطائرة لمدة طويلة نسبياً (مدة عمل هذا المحرك وزيادة)، وبالمناسبة أعتقد أن وقود الألعاب النارية قد يكون مفيداً!

الآن نبحث عن أنابيب معدنية متوفرة عندنا ، ولنفرض اننا وجدنا مجموعة من الأنابيب بالأقطار الداخلية التالية D_c (1 انش ، 2 انش ، 2.5 انش ، 3 إنش) ، نحولها إلى متر لتصبح (0.0254m ، 0.0508m ، 0.0635m ، 0.0762m) .

الآن ننشأ جدول نضع فيه هذه القيم ، ثم نحسب D_t و K_n باستخدام المعادلات المذكورة فوق (مع تعويض القيم الأخرى طبعاً) ، أعني

$$D_t = \left[\frac{P}{4T(C_F)^{\frac{n}{1-n}}} (a r_p I_s g)^{\frac{1}{1-n}} \right]^{\frac{3}{4}} D_c^{2.5}$$

$$K_n = \left(\frac{D_c}{D_t} \right)^2$$

إذن :

D_c (m)	D_t (m)	K_n
0.0254	0.0006	1789.259
0.0508	0.003397	223.6573
0.0635	0.005934	114.5126
0.0762	0.009361	66.26884

نلاحظ أن $D_c = 0.0635m$ تكاد تحقق الشرط الأول وتكاد تحقق الشرط الثاني ، لذا سنختارها.

لحساب ضغط غرفة الاحتراق نعوض في المعادلة

$$P_c = \left(K_n a r_p \frac{I_s g}{C_F} \right)^{\frac{1}{1-n}}$$

لنحصل على $P_c = 11.68 \times 10^6 Pa$ ، ونعوض هذه القيمة وقيم a و n في المعادلة

$$r = a P_c^n$$

لنحصل على سرعة احتراق $r = 9.27 \times 10^{-3} m/s$

ولحساب طول الوقود l_c نعوض r وزمن الاحتراق t_b (الذي قلنا أنه 2.5s) في المعادلة

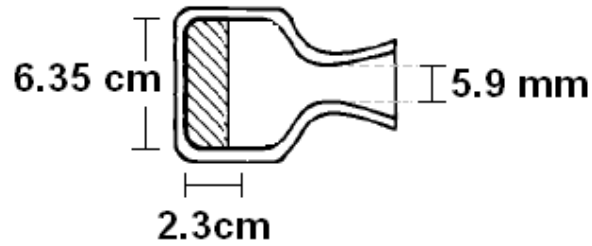
$$l_c = r t_b$$

لنحصل على $l_c = 0.023m$

لو أردنا حساب كتلة الوقود نستعمل المعادلة ،

$$m_p = r_p l_c \frac{P D_c^2}{4} = 0.13 Kg$$

ولنفرض أن كتلة باقي أجزاء المحرك (غرفة الاحتراق و المنفذ والمُشعل) هي حوالي 0.2Kg ، فسنحصل على كتلة كلية لمحرك الطائرة مقدارها 0.33Kg ، وهي كتلة ممتازة ، ملخص شكل محرك الصاروخ في الشكل التالي



المراجع:

- 1 – Sutton, “Rocket Propulsion elements” , 7th edition
- 2 - <http://www.jamesyawn.com/>
- 3 - <http://www.nakka-rocketry.net/>

بسم الله الرحمن الرحيم

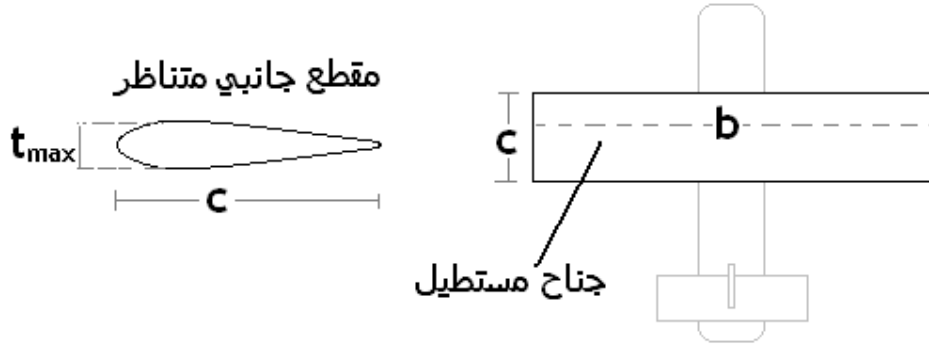
5

تصميم أبعاد الجناح

5.1 مقدمة نظرية

المسؤول الرئيسي عن رفع الطائرة هو الجناح ، وسوف نعتبره المسؤول الوحيد عن هذا.

لنأخذ الجناح ذو الهيئة المستوية المستطيلة (جناح مستطيل)، وذو مقطع جانبي متناظر، أي:



حيث

c تسمى وتر الجناح

b تسمى باع الجناح

t_{max} السمك الأقصى للجناح

مساحة الجناح تسمى S وتساوي :

$$S = cb$$

النسبة الباعية للجناح A تساوي

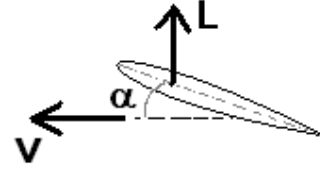
$$A = \frac{b}{c}$$

ونستطيع إعادة كتابة هاتين المعادلتين بالصورة

$$b = \sqrt{SA}$$

$$c = \sqrt{S/A}$$

عندما تطير الطائرة بسرعة V وزاوية هجوم a (زاوية ميل الجناح عن اتجاه الطيران) فإن الجناح سوف يتعرض لقوة رفع مركزها على مسافة ربع وتر الجناح، وهي المسؤولة عن معادلة قوة الجاذبية كي لا تسقط الطائرة ، أيضا هي المسؤولة عن اعطاء الطائرة القدرة على المناورة .



وقوة الرفع تعطى بالمعادلة

$$L = \frac{1}{2} \rho V^2 S C_{La} a$$

L قوة الرفع

ρ كثافة الهواء (وتساوي في الظروف العادية 1.225 Kg/m^3)

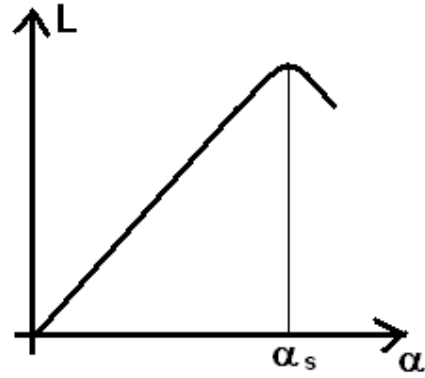
V سرعة الطائرة

a زاوية الهجوم (زاوية ميل الجناح عن اتجاه الطيران)

S مساحة الجناح

C_{La} مشتقة معامل الرفع

نلاحظ من هذا المعادلة أنه كلما زادت زاوية الهجوم ستزداد قوة الرفع، وهذا صحيح إلى حين الوصول إلى زاوية معينة تنخفض عندها قيمة رفع الجناح فجأة، وتسمى هذه الزاوية بزاوية الانهيار a_s ، أنظر الشكل



وقيمة هذه الزاوية تعتمد على عدة عوامل، لكن يجب أن نحرص على عدم وصول زاوية الهجوم إلى هذه الزاوية، ويجب أن نحاول أن نجعل قيمة هذه الزاوية كبيرة قدر الإمكان في تصميمنا (من طرق زيادتها أن نجعل $(t/s)_{\max}$ قريبة من 14%).

مشتقة معامل الرفع للجناح المستطيل يحسب بالمعادلة :

$$C_{La} = \frac{2pA}{2 + \sqrt{4 + A^2}} \frac{1}{57.3} (^{\circ-1})$$

حيث A هي النسبة الباعية

نستنتج من هذه المعادلة أن زيادة النسبة الباعية ستزيد قيمة C_{La} وهذا أمر مفيد، بل وأيضا ستزيد نسبة الرفع إلى المقاومة، وهذا أمر مهم في الطائرات الانزلاقية (أي التي تطير دون

محرك كما في المرحلة الأخيرة من طيران طائرتنا)، لكن طبعا A يجب أن لا تكون كبيرة كثيراً حتى لا تجربنا على استخدام بنية ثقيلة للجناح الطويل الناتج.

5.2 تصميم أبعاد الجناح لطائرتنا

الخطوة الأولى هي اختيار النسبة الباعية ، ولنجرب $A=5$

الآن نحسب C_{La}

$$C_{La} = \frac{2p \times 5}{2 + \sqrt{4 + 5^2}} \frac{1}{57.3} (^{\circ-1}) = 0.074 ^{\circ-1}$$

الآن قلنا في أحد الفصول السابقة أن سرعة الطائرة عند الإقلاع ستكون $V=20\text{m/s}$ ، عند الإقلاع يجب أن تكون قوة الرفع مساوية لوزن الطائرة، لذا

$$W = L$$

$$\Rightarrow W = \frac{1}{2} \rho V_{TO}^2 S C_{La} a_{TO}$$

حيث TO ترمز للإقلاع (Take-Off)

زاوية الجناح التي نريد الإقلاع عندها a_{TO} يجب أن لا تكون صغيرة أكثر من اللازم حتى لا نضطر إلى زيادة مساحة الجناح (وبالتالي وزنه)، ويجب أن لا تكون كبيرة أكثر من اللازم حتى لا نصل إلى زاوية الانهيار أثناء التحكم بالطائرة وهي في الجو¹ ، لذا سنأخذها بقيمة 8° (وهي بعيدة عن زاوية الانهيار التي أقدرها بصورة غير دقيقة بـ 12°).
الآن نعوض لحساب مساحة الجناح:

$$70 = \frac{1}{2} \times 1.2 \times 20^2 \times S \times 0.074 \times 8^{\circ}$$

$$\Rightarrow S = 0.49$$

الآن نحسب طول الباع وطول الوتر

$$b = \sqrt{SA} = \sqrt{0.49 \times 5} = 1.56\text{m}$$

$$c = \sqrt{S/A} = \sqrt{0.49/5} = 0.31\text{m}$$

نلاحظ أن الجناح أطول من الطائرة ، وهذا امر عادي. لكن نخشى أن يلزمنا بنية قوية (وثقيلة) له، لذا إن وجدنا في خطوات التصميم التالية أن البنية أثقل من المقبول ، فعلينا الرجوع إلى هنا وتقليل النسبة الباعية وإعادة الحسابات، إن أن نصل إلى وضع مرضي، بل قد يلزمنا الرجوع والتعديل على الخطوات السابقة لهذا الفصل . وهذا أمر عادي في التصميم المفاهيمي.

¹ يجب الانتباه إلى أن الاستمرار في الطيران بعد انتهاء عمل المحرك معناه تناقص السرعة ، فنضطر إلى زيادة زاوية الهجوم للمحافظة على الرفع، لكن يجب عدم الاعتماد على هذا كثيراً لأننا نصل إلى زاوية الانهيار وستسقط الطائرة، لذا لا بد من جعل الطائرة تهبط عندما مرور فترة من الزمن تهبط فيها السرعة إلى سرعة الإقلاع أو أقل يقليل.

إذن خلاصة التصميم في هذا الفصل :

$$b = 1.56m$$

$$c = 0.31m$$

$$\alpha_{TO} = 8^\circ$$

$$A=5$$

$$S = 0.49m^2$$

أما السمك الأقصى للجناح فنحدده في فصل تصميم بنية الجناح

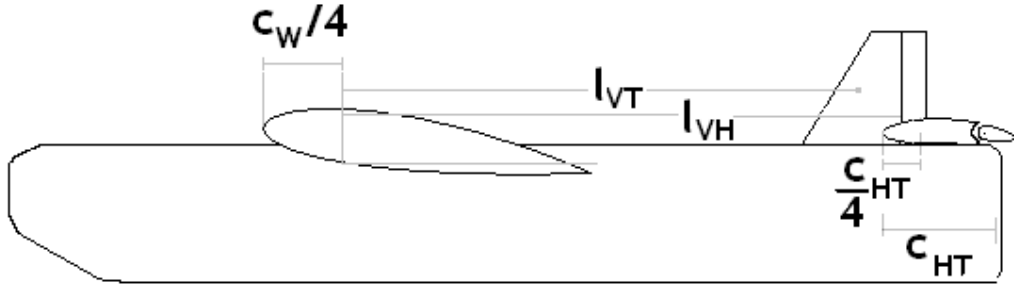
المراجع

Corke , “Design of aircraft” , 2003

6.1 مقدمة نظرية

وظيفة الذيل هي اعطاء استقرارية للطائرة، بالإضافة إلى اعطاء آلية للتحكم من خلال الجزء المتحرك من الذيل.

هذا الفصل يتحدث عن تصميم أبعاد الذيل وعن المكان الأنسب لوضعه. سنرمز للذيل الرأسي بالرمز VT وللذيل الأفقي بالرمز HT وبالرمز W للجناح، مثلاً S_{HT} معناها مساحة الذيل الأفقي، وهكذا. أيضاً أنظر إلى الشكل التالي لتعرف معنى بعض الرموز المهمة



عادة تكون l_{HT} و l_{VT} حوالي نصف طول الطائرة أو أقل بقليل. أما مساحة الذيل العمودي فتحسب بالمعادلة التجريبية التالية:

$$S_{VT} = 0.03 \frac{b_W S_W}{l_{VT}}$$

أما مساحة الذيل الأفقي فتحسب بالمعادلة التجريبية التالية:

$$S_{HT} = 0.5 \frac{c_W S_W}{l_{HT}}$$

حيث S_W c_W b_W هي مساحة وطول وتر وطول باع الجناح (رمزنا لها سابقاً بـ S c b) النسبة الباعية للذيل الأفقي A_{HT} سنختارها نحن، والأصل ان تكون كبيرة نسبياً. وسوف نختار الذيل الأفقي مستطيل الشكل، لذا نستطيع أن نكتب (كما فعلنا في الفصل السابق):

$$b_{HT} = \sqrt{S_{HT} A_{HT}}$$

$$c_{HT} = \sqrt{S_{HT} / A_{HT}}$$

يفضل أن يكون الذيل الأفقي أخفض من الجناح أو على مستواه الأفقي أو أعلى قليلاً.

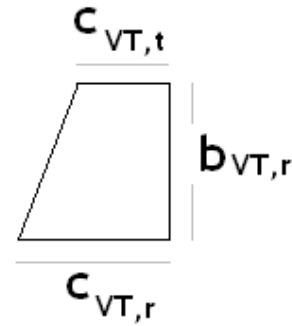
النسبة الباعية للذيل العمودي تكون عادة (1.5 - 2) و طول وتر العلوي مقسوم على طول وتره السفلي يساوي عادةً حوالي 0.5 ($I \sim 0.5$). (بما أنه ليس مستطيل الشكل فالنسبة الباعية يصبح معناها هنا مربع طول الباع مقسومة على المساحة)

$$b_{VT} = \sqrt{S_{VT} A_{VT}}$$

$$c_{VT,r} = \frac{2 S_{VT}}{b_{VT}(1+I)}$$

$$c_{VT,t} = \frac{2 I S_{VT}}{b_{VT}(1+I)}$$

حيث



ينصح أن لا يكون الذيل الرأسي أما الأفقي أو العكس ، ونحن سنجعل الذيل الرأسي هو الذي في الأمام.

6.2 طائرتنا

قلنا في متطلبات التصميم أن طول الطائرة حوالي متر. إذن

$$l_{HT} \approx \frac{1m}{2} = 0.5m$$

أما الذيل الرأسي فقلنا أنه يجب أن يكون متقدم عن الأفقي لذا سنأخذه أقل قليلاً ليكون

$$l_{VT} \approx 0.4m$$

مساحة الذيل الأفقي تساوي

$$S_{HT} = 0.5 \frac{c_w S_w}{l_{HT}} = 0.5 \frac{0.31 \times 0.49}{0.5} = 0.152m^2$$

وإن أخذنا نسبة باعية تساوي 5 فسنحصل على الأبعاد التالية :

$$b_{HT} = \sqrt{S_{HT} A_{HT}} = \sqrt{0.152 \times 5} = 0.87m$$

$$c_{HT} = \sqrt{S_{HT} / A_{HT}} = \sqrt{0.152 / 5} = 0.17m$$

مساحة الذيل الرأسي تساوي

$$S_{VT} = 0.03 \frac{b_w S_w}{l_{VT}} = 0.03 \frac{1.56 \times 0.49}{0.4} = 0.057 m^2$$

لنأخذ النسبة الباعية للذيل الرأسية تساوي 1.7 ($A_{VT} = 1.7$) إذن :

$$b_{VT} = \sqrt{S_{VT} A_{VT}} = \sqrt{0.057 \times 1.7} = 0.311 m$$

$$c_{VT,r} = \frac{2 S_{VT}}{b_{VT} (1 + I)} = \frac{2 \times 0.057}{0.31 \times (1 + 0.5)} = 0.245 m$$

$$c_{VT,t} = \frac{2 I S_{VT}}{b_{VT} (1 + I)} = \frac{2 \times 0.5 \times 0.057}{0.31 \times (1 + 0.5)} = 0.12 m$$

سمك الذيل الأفقي سنحسبه في خطوات التصميم اللاحقة، أما سمك الذيل الرأسية فسنقدره منطقيا وسيكون أقل من سمك الذيل الأفقي .

المراجع

Corke , “Design of aircraft” , 2003

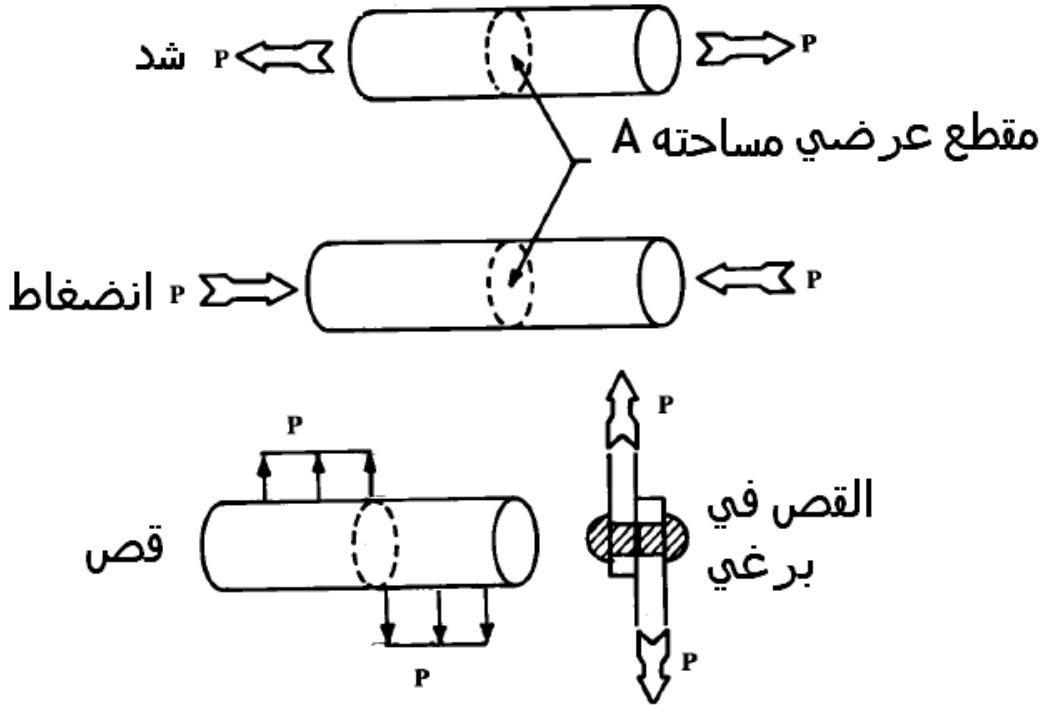
7.1 مقدمة نظرية

عند تصميم قطعة في آلة ميكانيكية (طائرة أو سيارة أو ماكينة ...) فلا بد أن نحرص على أن لا تنهار هذه القطعة (أن لا تنكسر أو تنقطع مثلاً)، أيضاً لا بد أن لا تكون هذه القطعة أثقل من اللازم. لذا فنحن يهمنا أن نعرف أبعاد أخف قطعة يمكن استخدامها دون أن تنهار. أي أن الاجهاد على أي قطعة يجب أن يكون أقل من اجهاد الانهيار؛ بل ولا بد أن يكون أقل من اجهاد الانهيار مقسوماً على معامل الأمان، حيث أن معامل الأمان هو رقم أكبر من 1 (في الطائرات يكون عادة 1.5).

إذن الآن يجب أن نأخذ فكرة عن الاجهاد الناتج من قوة معينة وفكرة عن اجهاد الانهيار.

الاجهاد الناتج عن قوة:

هناك ثلاث أنواع من الاجهادات الناتجة عن قوة وهي اجهاد الشد واجهاد الانضغاط واجهاد القص، أنظر الشكل التالي:



1 - اجهاد الشد S : لو أثرتنا بقوة شد مقدارها P على جزء بنيوي، فإن اجهاد القص الناتج يساوي

$$S = \frac{F}{A} \dots\dots\dots(1)$$

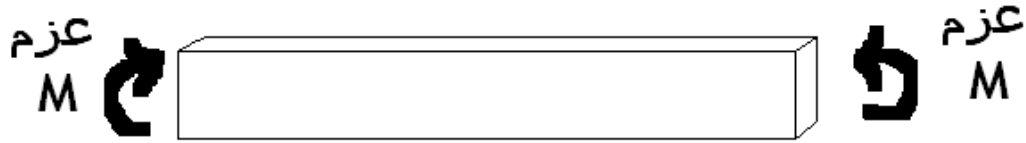
2 - اجهاد الانضغاط S : لو أثرتنا بقوة شد مقدارها P على جزء بنيوي، فإن اجهاد القص الناتج يساوي

$$S = \frac{F}{A} \dots\dots\dots(2)$$

3 - اجهاد القص t : لو أثرتنا بقوة قص مقدارها P على جزء بنيوي، فإن اجهاد القص الناتج يساوي

$$t = \frac{F}{A} \dots\dots\dots(3)$$

ايضا الاجهادات يمكن أن تنشأ عن العزوم، مثلاً للعزم المؤثر على عارضة منتظمة كما في الشكل



يكون الاجهاد الناتج متغير وأعلى قيمة له هي

$$S = \frac{M y_{\max}}{I} \dots\dots\dots(4)$$

حيث M هو العزم

y_{\max} هي المسافة بين مركز مساحة المقطع العرض وحافة المقطع للعارضة

I هو عزم القصور الذاتي للمقطع العرضي للعارضة.

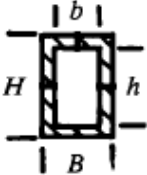


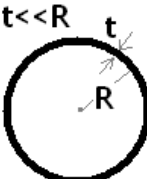
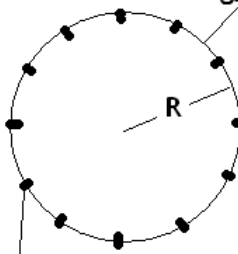
بعض صيغ عزم القصور الذاتي I والمساحة A و y_{\max} مبينة في الجدول التالي، لكن يجب الانتباه إلى أن هذه الصيغ للعزم الموجود في مستوى التماثل الرأسي للمقطع العرضي. أي أن



المقطع الأول في الجدول هو لحالة

الجدول (1)

	A	I	y_{\max}
	BH	$\frac{BH^3}{12}$	$\frac{H}{2}$

	$BH - bh$	$\frac{BH^3 - bh^3}{12}$	$\frac{H}{2}$
	pR^2	$\frac{pR^4}{4}$	R
	$p(R^2 - r^2)$	$\frac{p(R^4 - r^4)}{4}$	R
	$2pRt$	pR^3t	R
 <p>عدد اعضاء التقوية N سمك مهمل R مقطع عرضي لعضو تقوية مساحته A_{st}</p>	-	$\frac{NR^2 A_{st}}{2}$	R

اجهاد الانهيار:

عند تعرض أي قطعة بنوية لاجهاد أعلى من قيمة محددة (تسمى اجهاد الانهيار) فإن هذا القطعة ستتهار وهناك قية لاجهاد الانهيار للشد تنقطع عندها القطعة، وقيمة لاجهاد الانهيار للانضغاط تتكسر عندها القطعة، وقيمة لاجهاد الانهيار للقص تنقص عندها القطعة. واجهادات الانهيار هذه تعتمد على مادة القطعة، وتأخذ من الجدول، مثلا الجدول التالي

الجدول (2)

المادة	الكثافة r Kg / m^3	S_y (للشد والانضغاط) $\times 10^6 Pa$	t_y (القص) $\times 10^6 Pa$	E (معامل المرونة) $\times 10^9 Pa$
Steel(ASTM-	7860	250	145	200

A36)				
Steel(ASTM-A913) Grade 450	7920	450	145	200
Aluminum 1100-H14(99% Al)	2710	95	55	70
Aluminum 2014-T6	2800	400	230	75

لاحظ أن الجدول أعطانا خصائص متباينة للفلولاذ (بسبب اختلاف السبيكة) ونفس الكلام عن الألمنيوم. إذن لا يكفي أن نعرف أن المادة هي الألمنيوم مثلاً كي نحدد مواصفاتها، بل يجب أن نعرف معلومات أكثر، (الأصل أن تكن هذه القيم معطاة من الشركة المصنعة للمواد).

اجهاد انهيار الانبعاج:

في حالة اجهاد الانضغاط هناك نوع اضافي من الانهيار قد يحصل عند اجهادات أقل من اجهاد الانهيار العادي، وهو انهيار الانبعاج ، حيث تنتنى القطعة بصورة لا تعود معها قادرة على تحمل أي القوة.



اجهاد الانبعاج للأعمدة يحسب بالمعادلة

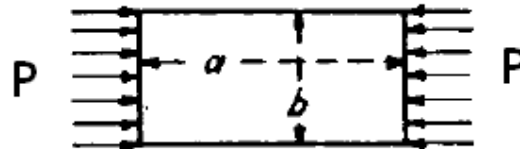
$$s_{cr} = \frac{p^2 E I}{L_e^2} \dots\dots\dots(5)$$

حيث L_e هو الطول المكافئ للعمود، ويساوي الطول الحقيقي للعمود مضروب بمعامل يعتمد على كيفية تثبيت النهايتين.

اجهاد الانبعاج للصفائح الرقيقة يحسب بالمعادلة

$$s_{cr} = K E \left(\frac{t}{b} \right)^2 \dots\dots\dots(6)$$

حيث t هو سمك الصفيحة و a هو طولها و b هو عرضها



و K معامل يعتمد على كيفية تثبيت الطرفين والنهائيتين، ونوجده من الجداول والأشكال المختصة. و E هو معامل المرونة وهو خاصية من خواص المادة ونأخذه من جداول المواد (أنظر الجدول السابق).

إذن في الطائرة يجب أن يكون اجهاد الشد على أي جزء بنيوي أقل من اجهاد الانهيار مقسوم على 1.5 (معامل الأمان ، (وهو يساوي تقريبا اجهاد المطاوعة)، إذن

$$s < s_u / 1.5 \equiv s < s_y \dots\dots\dots(7)$$

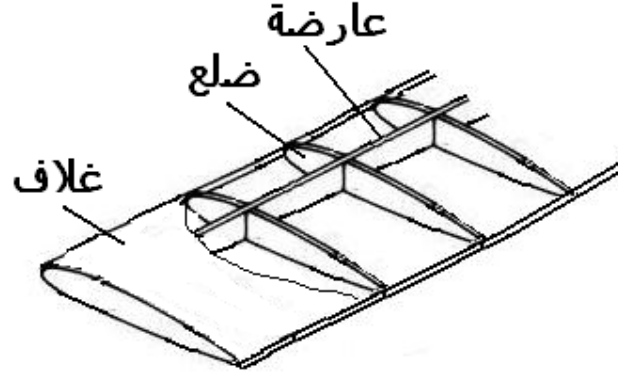
ونفس الكلام عن اجهاد الانضغاط والقص.

أيضا يجب أن يكون اجهاد الانضغاط أقل من اجهاد الانبعاج مقسوم على معامل الأمان (1.5) ، أي

$$s < s_{cr} / 1.5 \dots\dots\dots(8)$$

7.2 بنية جناح طائرتنا

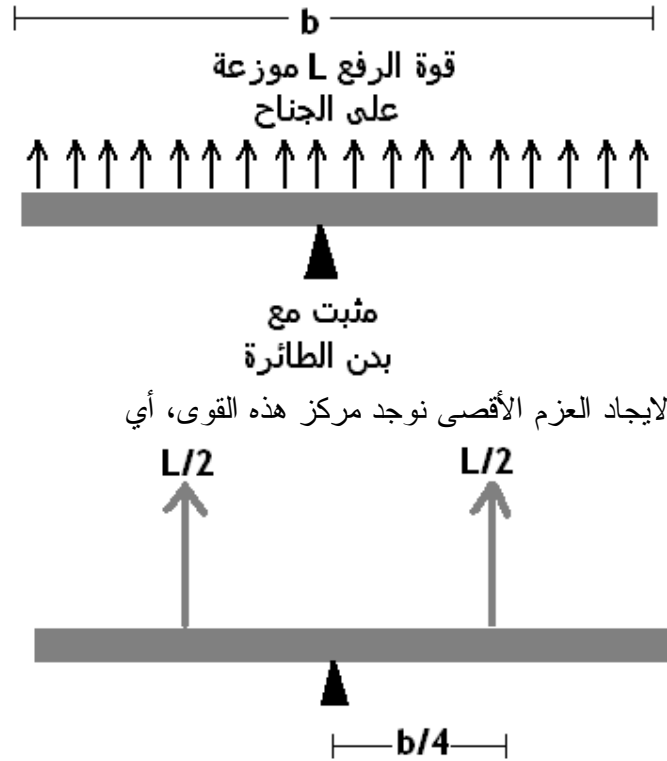
سنختار بنية بسيطة للجناح وهي كما في الشكل التالي تتكون من عارضة رئيسية وأضلاع وغلاف :



تصميم العارضة الرئيسية:

العارضة الرئيسية موجودة على مسافة ربع الوتر من مقدمة الجناح عادة ويجب أن تتحمل العزم الناتج عن قوة الرفع ، وتكون موصلة مع بدن الطائرة من منتصف طولها. ونثبت عليها الأضلاع والغلاف.

الآن يجب أن نحسب اقصى عزم ناتج من قوة الرفع القصوى الموزعة على الجناح، لو فرضنا أن قوة الرفع موزع بانتظام على الجناح ، فإن القوة المؤثرة على العارضة تكون كالتالي



إذن العزم الأقصى يكون عند نقطة التثبيت مع الجناح وقيمته ، هي

$$M_{Max} = \frac{L b}{2 \cdot 4} = \frac{Lb}{8}$$

أيضا قلنا سابقا أن أقصى قوة رفع سنسمح بها هي $2W$ ، إذن

$$M_{Max} = \frac{Wb}{4}$$

الآن لايجاد الاجهاد الأقصى في العارضة الناتج من هذا العزم نعوض في معادلة (4)

$$S = \frac{M y_{max}}{I} = \frac{Wb y_{max}}{4I}$$

وكما قلنا سابقا يجب أن يكون أقل من S_y للابتعاد عن اجهاد الانهيار (بمعامل أمان مقداره

(1.5

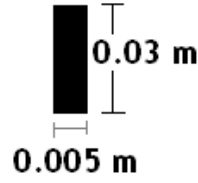
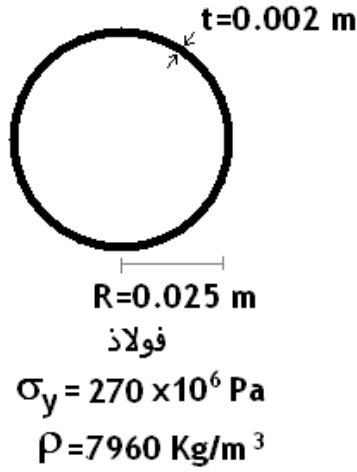
$$S_{Max} < S_y$$

$$\Rightarrow \frac{Wb y_{max}}{4I} < S_y$$

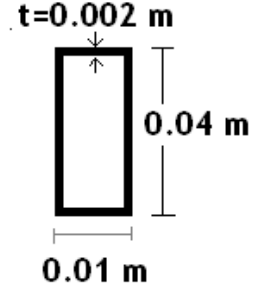
وهذه هي المعادلة التي سنستخدمها في التصميم (الشرط)، إذن يجب أن نبحث الآن عن أبعاد المقطع العرضي (والتي ستحدد I و y_{Max}) و نوع المادة (التي ستحدد S_y) اللتان ستحققان الشرط السابق.

لنفرض أننا بحثنا عن القضبان المتوفرة عندنا فوجدناها بالمقاطع العرضية والخواص

التالية:



فولاذ
 $\sigma_y = 250 \times 10^6 \text{ Pa}$
 $\rho = 7860 \text{ Kg/m}^3$

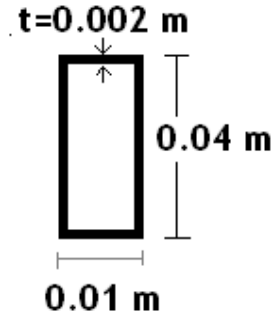


ألمنيوم
 $\sigma_y = 100 \times 10^6 \text{ Pa}$
 $\rho = 2720 \text{ Kg/m}^3$

الآن نحسب I و y_{Max} لكل مقطع ونرى هل تحقق الشرط $\frac{W b y_{max}}{4I} < S_y$ (للتذكير)

(أيضا تذكر اننا قلنا في فصل 5 أن الوضع المفضل $b = 1.56 \text{ m}$ و $W = 70 \text{ N}$)، (أيضا تذكر اننا قلنا في فصل 5 أن الوضع المفضل ايروديناميا للسمك الأقصى للجناح (اي ارتفاع مقطع العارضة هنا) هو $(t/c)_{Max} \sim 0.14$)، أي $(t \sim 0.14 \times 0.31 \sim 0.04 \text{ m})$ ، ايضا نريد أن يكون وزن العارضة مقبول.

نبدأ بالمقطع الأول



ألمنيوم
 $\sigma_y = 100 \times 10^6 \text{ Pa}$
 $\rho = 2720 \text{ Kg/m}^3$

بالاستعانة بالجدول (1) :

$$I = \frac{B^3 H - b^3 h}{12} = \frac{0.04^3 \times 0.01 - (0.04 - 2 \times 0.002)^3 \times (0.01 - 2 \times 0.002)}{12}$$

$$\Rightarrow I = 3 \times 10^{-8} m^4$$

$$y_{\max} = \frac{0.04}{2} = 0.02 m$$

$$s_{\max} = \frac{W b y_{\max}}{4 I} = \frac{70 \times 1.56 \times 0.02}{4 \times 3 \times 10^{-8}} = 18.2 \times 10^6 Pa$$

وهي أقل من $(s_y = 100 \times 10^6)$ ، إذن الشرط تحقق ، ونلاحظ أن ارتفاع المقطع هو 0.04m وهي القيمة التي نرغب بها ايروديناميا كما أسلفنا.

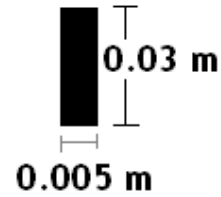
يبقى أن نرى الكتلة، أولاً مساحة المقطع العرضي من الجدول (1)

$$A = BH - bh = 0.04 \times 0.01 - (0.04 - 2 \times 0.002) \times (0.01 - 2 \times 0.002) \\ = 1.84 \times 10^{-4} m^2$$

$$m = r A b = 2720 \times 1.56 \times 1.84 \times 10^{-4} = 0.78 Kg$$

وهي قيمة جيدة ،

الآن نحسب للمقطع الثاني :



فولاذ

$$\sigma_y = 250 \times 10^6 Pa$$

$$\rho = 7860 Kg/m^3$$

فنحصل على

$$I = 1.125 \times 10^{-8} m^4$$

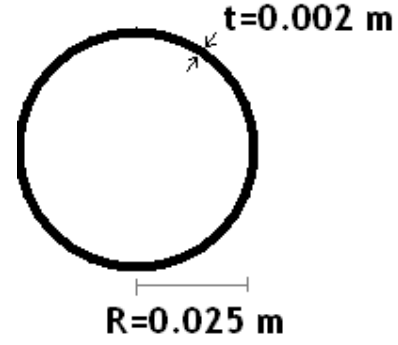
$$s_{\max} = 72.8 \times 10^6 Pa \quad (< (s_y = 250 \times 10^6 Pa))$$

$$m = 1.84 Kg$$

يحقق الشرط لكنه أثقل من الأول، إذن نرفضه ،

نجرّب التالي :

¹ لو حسبنا I لنفس المقطع لكن مع قلب المقطع بهذه الصورة  فستكون 2.7×10^{-9} ، أي بأنها أضعف بعشر مرات! لذا دائما نضع المقطع العرضي بحيث يكون ممتد رأسياً.



فولاذ

$$\sigma_y = 270 \times 10^6 \text{ Pa}$$

$$\rho = 7960 \text{ Kg/m}^3$$

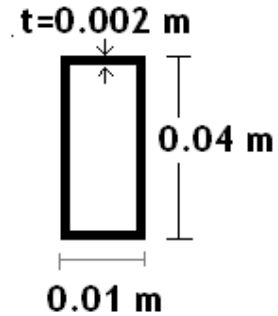
بعد الحساب نحصل على:

$$I = 8.7 \times 10^{-8} \text{ m}^4$$

$$s_{\max} = 7.8 \times 10^6 \text{ Pa} \quad (< (s_y = 270 \times 10^6 \text{ Pa}))$$

$$m = 3 \text{ Kg}$$

كتلة كبيرة ، إذن مرفوض، إذن نختار الأول:



ألمنيوم

$$\sigma_y = 100 \times 10^6 \text{ Pa}$$

$$\rho = 2720 \text{ Kg/m}^3$$

غلاف الجناح

نصنع من صفيحة ألمنيوم رقيقة ونقدر سمكها منطقياً ، مثلاً لو توفرت لدينا صفيحة ألمنيوم سمكها $(t = 0.00025 \text{ m})$ و الكثافة $(\rho = 2700 \text{ Kg/m}^3)$ نستعملها، كتلة الغلاف ستكون تقريباً

$$m = 2ctbr = 2 \times 0.31 \times 0.00025 \times 2700 = 0.65 \text{ Kg}$$

الأضلاع

وتحافظ على شكل الجناح . وسنقدر عددها وسمكها منطقياً، مثلاً لنقل أننا نريد ضلع كل 10cm ، يعني نحتاج حوالي (N=15) ضلع، ونبحث عن صفيحة ألومنيوم بسمك مقبول ، مثلاً لو وجدنا صفيحة ألومنيوم سمكها ($t = 0.001m$) وكثافتها ($r = 2700Kg / m^3$) نستعملها: وكتلتها ستكون تقريباً

$$m = N \times \frac{t_{w,max} c}{2} t r$$

$t_{w,max}$ هي سمك الجناح الأقصى (والذي أوجدنا قبل قليل عند تصميم العارضة وكان 0.04m ، إذن الكتلة تساوي تقريباً:

$$m = 15 \times \frac{0.04 \times 0.31}{2} \times 0.001 \times 2700 = 0.25Kg$$

وهي جيدة،

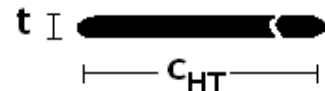
الآن نحسب الكتلة الكلية للجناح، وهي تساوي كتلة العارضة (0.78Kg) زائد كتلة الغلاف (0.65Kg) زائد كتلة الأضلاع (0.25Kg) زائد كتلة البراغي واللحام وغيره ونقدرها بـ (0.1Kg)، وهي تساوي (1.78Kg) وهي جيدة مقارنة بالكتلة الكلية للطائرة (7Kg)

7.3 بنية الذيل الأفقي

الذيل الأفقي يتعرض لقوة رفع نقدرها بـ 0.1 الرفع الموجود على الجناح (إن اكتشفنا أن هذه النسبة أقل من التي سنحسبها في الفصول القادمة، عندها لا بد من الرجوع إلى هنا لتأكد أن بنية الذيل الأفقي قادرة على تحمل القوة الحقيقية.) إذن نحسب العزم الأقصى الذي يتعرض له الذيل الأفقي بنفس الطريقة التي اتبعناها للجناح، إذن

$$M_{max} = \frac{W b_{HT}}{4} 0.1 = \frac{W b_{HT}}{40}$$

حيث b_{HT} هي طول باع الذيل الأفقي ، وحسيناه في فصل 6 وكان 0.87m ، أيضاً من نفس الفصل c_{HT} (طول جذر الجناح) يساوي 0.17m . الآن بما أن العزم قليل نستطيع أن نصنع الذيل من صفيحة مصمتة، أعني



$$S = \frac{M y_{max,HT}}{I} = \frac{W b_{HT}}{40} \frac{1}{\frac{1}{12} t^3 c_{HT}} \frac{t}{2} = \frac{3W b_{HT}}{20 c_{HT}} \frac{1}{t^2}$$

وشرط عدم حصول انهيار (مع معامل الأمان 1.5) هو

$$S_{\max} < S_y$$

$$\Rightarrow \frac{3W}{20} \frac{b_{HT}}{c_{HT}} \frac{1}{t^2} < S_y$$

$$\Rightarrow t > \sqrt{\frac{3W}{20} \frac{b_{HT}}{c_{HT}} \frac{1}{S_y}}$$

وهذا هو شرط عدم حصول الانهيار،

إذن لو توفرت لدينا مثلاً مجموعة من صفائح الألمنيوم من نو له $S_y = 100 \times 10^6 Pa$ و

$r = 2700 Kg / m^3$ ، إذن نبحت عن صفيحة سمكها t يحقق الشرط

$$t > \sqrt{\frac{3 \times 70}{20} \times \frac{0.87}{0.17} \times \frac{1}{100 \times 10^6}}$$

$$\Rightarrow t > 7.33 \times 10^{-4} m$$

مثلاً لو وجدنا صفيحة سمكها $t = 0.001 m$ نستعملها ، كتلة الذيل الأفقي تساوي إذن

$$m = r t c_{HT} b_{HT} = 2700 \times 0.001 \times 0.87 \times 0.17 = 0.4 Kg$$

7.4 بنية الذيل الرأسي

الذيل الرأسي يتعرض لقوى إيروديناميكية ضعيفة ، لذا سنقدر سمكه ومادته بصورة

منطقية ، مثلاً لو استخدمنا صفيحة الألمنيوم التي استخدمناها للذيل الأفقي مثلاً ، أي

$$r = 2700 Kg / m^3 \text{ و } t = 0.001 m$$

فستكون أكثر من كافية، إذن الكتلة تساوي :

$$m = r \times S_{VT} \times t$$

S_{VT} هي مساحة الذيل الرأسي وحسبناها في فصل 6 وكانت $0.057 m$. إذن الكتلة تساوي

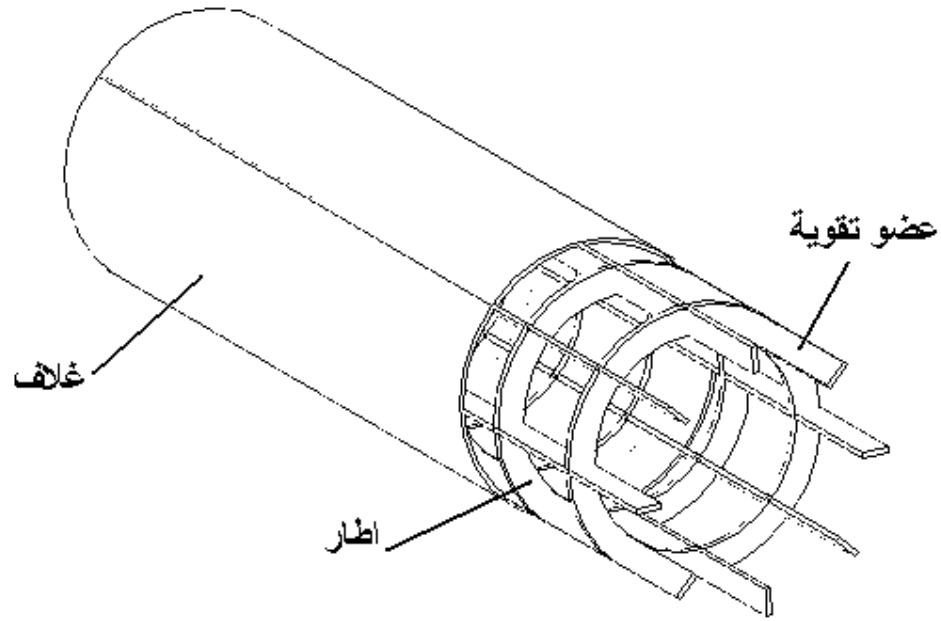
$$m = 2700 \times 0.057 \times 0.001 = 0.15 Kg$$

7.5 بنية بدن الطائرة

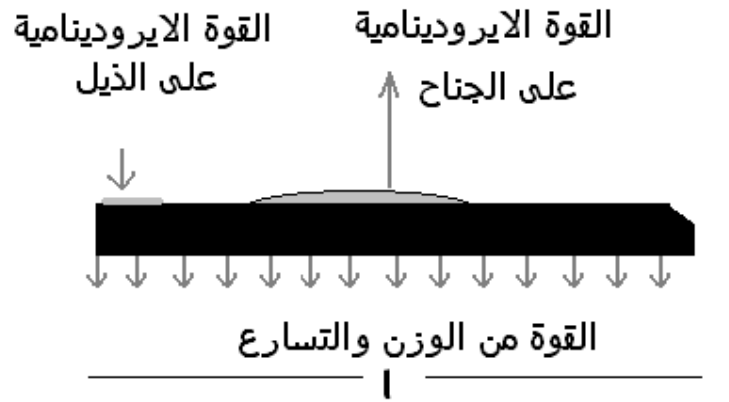
بنية بدن الطائرة تتكون من الغلاف، وسنعتبره المسؤول عن تحمل اجهاد الشد

وأعضاء التقوية الطولانية وسنعتبرها مسؤولة عن تحمل اجهاد الانضغاط ، والإطارات وهي

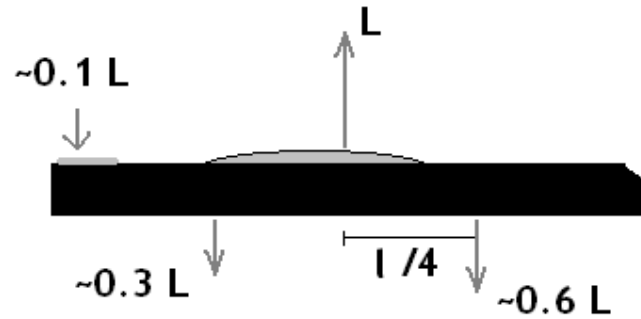
مسؤولة عن المحافظة على شكل البدن، أنظر الشكل:



اجهادا الشد والانضغاط في البدن ناتجان من عزم الانثناء، مثلاً لو رسمنا رسمة تقريبية للقوى المؤثرة على طول بدن الطائرة فهي تقريباً:



ويمكن تقريبها بالصورة



ومنها نلاحظ أن قيمة أقصى عزم تكون عند الجناح وقيمتها تقريباً:

$$M_{\max} = 0.6 L_{\max} \frac{l}{4} = 0.6 \times 2W \times \frac{l}{4}$$

$$\Rightarrow M_{\max} = 0.3Wl$$

حيث l طول الطائرة

تصميم غلاف بدن الطائرة

يصنع من صفيحة رقيقة، وعادة يعتبر غلاف الطائرة هو المسؤول الوحيد عن تحمل
اجهاد الشد الناتج من عزم الانثناء، ومن جدول (1) :

$$I = p R^3 t$$

$$y_{\max} = R$$

بالتعويض في معادلة (4) ، اجهاد الشد الناتج من الانثناء هو :

$$s = \frac{M_{\max} y_{\max}}{I} = \frac{0.3WlR}{p R^3 t} = \frac{0.3Wl}{p R^2 t}$$

ويجب أن يكون أقل من s_y لمادة الغلاف، إذن :

$$\frac{0.3Wl}{p R^2 t} < s_y$$

$$\Rightarrow t > \frac{0.3Wl}{p R^2 s_y}$$

وهذا هو شرط الأمان من حصول الانهيار .

سنحاول اختيار أقل R ممكنة (لتقليل المقاومة الايرودينامية للطائرة)، لكن R ستكون
طبعاً أكبر من نصف قطر المحرك (وهو كما في الفصل 4 يساوي 0.03175m)، لنجرب
اختيار R تساوي 0.05cm .

لنفرض أننا وجدنا عدة صفائح ألومنيوم من نوع له $r = 2720 \text{Kg} / \text{m}^3$ و

$s_y = 100 \times 10^6$ ، إذن :

$$t > \frac{0.3 \times 70 \times 1}{p \times 0.05^2 \times 100 \times 10^6}$$

$$\Rightarrow t > 2.6 \times 10^{-5} \text{m}$$

إذن لو وجدنا صفيحة سمكها 0.0005m فستكون أكثر من كافية، نحسب كتلتها:

$$m = 2p R t l \quad r = 2p \times 0.05 \times 0.0005 \times 1 \times 2720 = 0.43 \text{Kg}$$

تصميم أعضاء التقوية لبدن الطائرة

عادة تعتبر أعضاء التقوية هي المسؤولة الوحيدة عن تحمل اجهاد الانضغاط الناتج من عزم الانثناء، بالرجوع إلى الجدول (1) نجد أن

$$I = \frac{N R^2 A_{st}}{2}$$

$$y_{\max} = R$$

إذن من معادلة (4) اجهاد الانضغاط الأقصى يساوي :

$$S_{\max} = \frac{2M_{\max}}{N R A_{st}} = \frac{2 \times 0.3W \times l}{N R A_{st}} = \frac{0.6W \times l}{N R A_{st}}$$

حيث

A_{st} هي مساحة مقطع كل عضو تقوية

R أخذناها قبل قليل 0.05m

N عدد أعضاء التقوية وسنأخذها 8 (افضل أن لا تقل عن 8 دائما . وأن تكون من مضاعفات الـ 4 حتى تعطي تماثل في التوزيع)

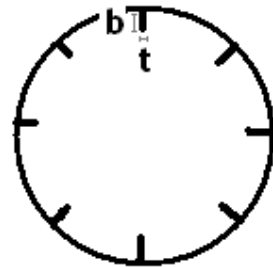
عادة أعضاء التقوية تصنع من صفائح رقيقة ؛ لذا يجب أن نحرص على أن لا يحصل لها انهيار انبعاجي، إذن

$$S_{\max} < S_{cr}$$

و بتعويض صيغة S_{cr} للصفحة الرقيقة من معادلة (6) ، نحصل على

$$\frac{0.6W \times l}{N R A_{st}} < K E \left(\frac{t}{b} \right)^2$$

t سمك عضو التقوية، b عرض عضو التقوية، K معامل يعتمد على طريقة التثبيت، ونحن سنختار عضو إحدى حوافه مثبتة بالغلاف والثانية حرة، وبالرجوع إلى الجداول نعرف أن K لهذه الحالة تساوي تقريباً 0.385 . المقطع العرضي للغلاف وأعضاء التقوية سيكون كالتالي:



الآن لنبسط المعادلة السابقة

$$\frac{0.6W \times l}{8Rbt} < \frac{0.385}{1.5} E \frac{t^2}{b^2}$$

$$\Rightarrow b < 3.4 \frac{REt^3}{Wl}$$

هذا هو شرط عدم حصول انهيار انبعاجي، أيضا نحن نريد أن يحصل انهيار عادي ، لذا يجب أن تكون

$$s_{\max} < s_y$$

$$\Rightarrow \frac{0.6W \times l}{8Rbt} < s_y$$

$$\Rightarrow b > \frac{0.075W \times l}{Rts_y}$$

بدمج الشرطين معا نحصل على

$$\frac{0.075W \times l}{Rts_y} < b < \frac{3.4REt^3}{Wl}$$

أيضا قيمة b يجب أن تكون منطقية مقارنة بـ R وان تكون الكتلة الكلية لأعضاء التقوية مقبولة.

الآن لنفرض أنه توفرت لدينا صفائح ألومنيوم من نوع له $E = 70 \times 10^9 Pa$

و $r = 2710 Kg/m^3$ و $s_y = 95 \times 10^6 Pa$ وسمك الصفائح هو :

$$t = 0.001m, 0.0005m,$$

نعوض للسلك $t = 0.001m$

$$\frac{0.075 \times 70 \times 1}{0.005 \times 0.001 \times 95 \times 10^6} < b < \frac{3.4 \times 0.005 \times 70 \times 10^9 \times 0.001^3}{70 \times 1}$$

$$\Rightarrow 0.01 < b < 0.017$$

اذن يمكن اختيار بـ تحقق الشروط ، ولتكن 0.015m ، نحسب الكتلة ،

$$m = rNbt = 2710 \times 8 \times 0.015 \times 0.001 \times 1 = 0.3252 Kg$$

الكتلة جيدة،

نحرب الآن للسلك الثاني $t = 0.001m$:

$$\Rightarrow 0.022 < b < 2.125 \times 10^{-3}$$

إذن يستحيل وجود b تحقق الشروط، إذن نعتمد الأولى

فعليه ، لدينا 8 أعضاء تقوية مصنوعة من صفائح الألومنيوم ذات سمك 0.001m ، كل عضو

تقوية عرضه 0.015m كتلتها الكلية هي 0.3252Kg

الإطارات

وظيفة الإطارات هي المحافظة على شكل بدن الطائرة، أيضا القوى المؤثرة على بدن الطائرة تؤثر عليها (مثل تثبيت الجناح مع البدن يكون معها ومع أعضاء التقوية وليس مع الغلاف، ووزن حمولة الطائرة يكون عليها وعلى أعضاء التقوية وليس على الغلاف). ونقدر سمك وعدد الإطارات بصورة منطقية، مثلا لنقل أننا نريد اطار سمكه 0.001m كل 15cm إذن سيلزمنا 7 اطارات، ولنقل أننا نريد اطار سمكه 0.05m عند الجناح (لنثبت فيه) ، ولنقل أننا نريد أن يكون عرض الاطار مساوي لعرض أعضاء التقوية، ولنفرض أن الاطارات من الألمنيوم كثافته $r = 2710 \text{ Kg} / \text{m}^3$ إذن الكتلة ستكون:

$$m = r(7 \times 0.001 + 0.05) \times p(R^2 - (R^2 - b^2))$$
$$= 2710(7 \times 0.001 + 0.05) \times p(0.05^2 - (0.05 - 0.015)^2) = 0.62 \text{ Kg}$$

وهي مقبولة.

إذن الكتلة الكلية لبنية بدن الطائرة هي كتلة الغلاف (0.43Kg) زائد كتلة أعضاء التقوية (0.3252Kg) زائد كتلة الإطارات (0.62Kg) زائد حوالي (0.1Kg) لحام وبراجي وغيره. فالمحصلة هي (1.475Kg)

أما كتلة بنية الطائرة كاملة (البدن) (1.475Kg) والذيل الأفقي (0.4Kg) والذيل الرأسي (0.15Kg) والجناح (1.78Kg) فهي (3.8Kg) .

إذن يتبقى من وزن الطائرة (3.2Kg) للحمولة والعجلات والمعدات. وهو وضع مقبول

المراجع:

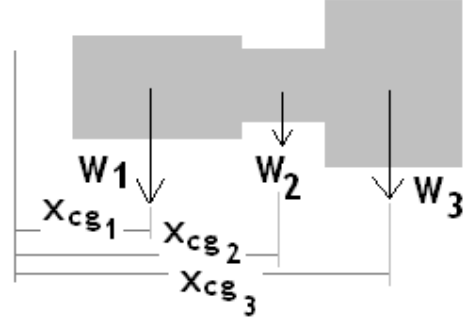
Raymer, "Aircraft Design: A Coceptual Approach", 1989 , Ch 14
Corke , "Design of aircraft", 2003

بسم الله الرحمن الرحيم

8

مركز الجاذبية وهامش الاستقرار

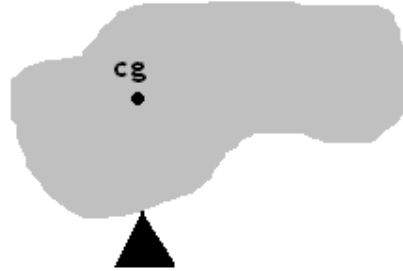
مركز الجاذبية cg (أو مركز الكتلة) هو النقطة التي يمكن اعتبار أن قوة الوزن تؤثر عندها، مثلاً مركز الجاذبية لـ ■ هو منتصفه (لأنه متمثل). أما الأجسام غير المتمثلة فيحسب مركز الجاذبية لها حساب، مثلاً مركز الجاذبية للشكل:



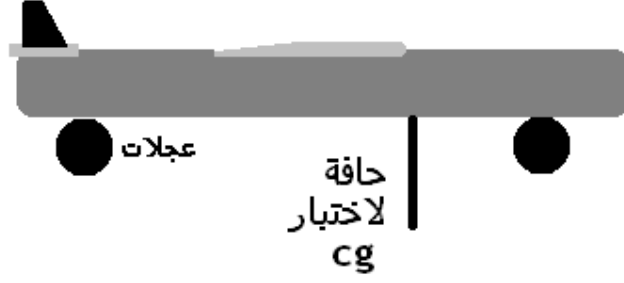
هو:

$$x_{cg} = \frac{x_{cg,1}W_1 + x_{cg,2}W_2 + x_{cg,3}W_3}{W_1 + W_2 + W_3}$$

هناك نتيجة مفيدة عمليا، وهي أنه لو وضعنا جسم ما تحت مركز جاذبية جسم ثاني، فإن الجسم الثاني لن يميل أو يسقط. مثلاً:



وهذه هي الطريقة التي يدب أن نستعملها للتأكد أن مركز الجاذبية لطائرتنا في مكانه المحسوب في التصميم، أعني بعد حساب مركز الجاذبية للطائرة والحمولة، نضع الطائرة على حافة ما (مباشرة فوق مركز الجاذبية المحسوب) لنرى هل ستترن أم لا ، أعني :

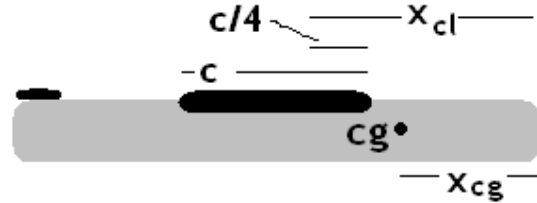


، فإن اتزنت يكون مركز الجاذبية في المكان المحسوب، وإن لم تتزن نعدل الوضع والحمولة إلى أن تتزن في المكان الذي حسبناها في التصميم (طبعاً يجب أن نثبت الحمولة حتى لا تتحرك أثناء الطيران ويتغير مركز الجاذبية)

الآن يأتي سؤال بديهي ، لماذا كل هذا الاهتمام بمركز الجاذبية ؟ الجواب لارتباطه المباشر بالاستقرارية الاستاتيكية. فكون مركز الجاذبية أمام مركز الرفع يعني أن الطائرة مستقرة استاتياً (مركز الرفع يكون عادة على مسافة ربع الوتر من مقدمة الجناح). وكلما كان مركز الجاذبية أقرب إلى مقدمة الطائرة وأبعد عن مركز الرفع كلما كانت الطائرة أكثر استقرارية لكن للأسف أقل قابلية للتحكم والمناورة. وعليه يجب أن يكون في مكان معقول . ونحدد مكانه السليم بالاستعانة بحد اسمه هامش الاستقرارية (SM) ، ويعرف كالتالي:

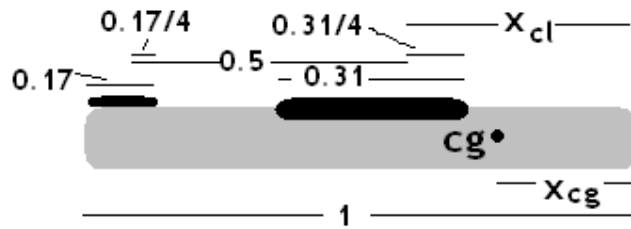
$$S.M = \frac{x_{cl} - x_{cg}}{c}$$

x_{cl} حيث هي المسافة من مقدمة الطائرة إلى مركز الرفع
 x_{cg} حيث هي المسافة من مقدمة الطائرة إلى مركز الجاذبية
 c طول وتر الجناح



و SM للطائرات العادية يكون بين (0.03-1) ، أما في طائرتنا فساختاره 0.16 (رغبة في زيادة الاستقرارية). الآن نحسب x_{cl} بناء على أبعاد الطائرة التي حددناها سابقاً ثم سنحسب x_{cg} .

ملخص ما حسبناها لطائرتنا من أبعاد تهمنا هنا هو :



إذن يمكن ببساطة حساب x_{cl} من الشكل وستساوي 0.373 ، الآن نحسب x_{cg} :

$$S.M = \frac{x_{cl} - x_{cg}}{c}$$

$$\Rightarrow 0.16 = \frac{0.37 - x_{cg}}{0.31}$$

$$\Rightarrow x_{cg} = 0.32m$$

لاحظ أن المسافة بين مركز الجاذبية ومركز الرفع هي فقط 5cm ، وهذا يؤكد أهمية التأكد العملي من أن مركز في مكانه المحسوب.

مراجع

Corke , “Design of aircraft” , 2003

بسم الله الرحمن الرحيم

9

وضع الجناح والذيل الأفقي والرافع

الآن نريد أن نختار زوايا ميل الجناح والذيل الأفقي والرافع (الجزء المتحرك من الذيل الأفقي)، وهناك الكثير من الخيارات المحتملة، لكن لو أردنا من الطائرة أن تسير على الأرض أثناء الإقلاع وهي أفقية (موازية للأرض) ثم تقلع وهي موازية للأرض، فيجب أن يكون الجناح هو المائل. أيضا يجب أن يكون الذيل والرافع في وضع يجبران فيه الطائرة على البقاء أفقية أثناء مغادرة الأرض.

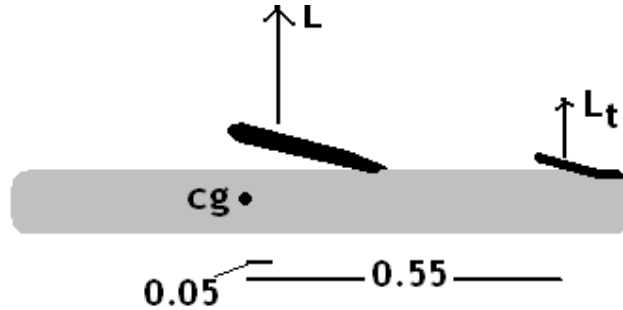
أما ميل الجناح فهي مسألة بسيطة ، فقد قلنا سابقا أننا نريد أن تكون زاوية الهجوم للطائرة أثناء الإقلاع 8° ، وعليه فستكون هذه نفسها زاوية ميل الجناح عن الطائرة، إذن



الآن نريد أن نحسب زاوية الذيل الأفقي والرافع التي ستجعل الطائرة ترتفع وهي أفقية. بإمكاننا أن نجعل الذيل الأفقي أفقي وأن نحسب الزاوية المناسبة للرافع لتعطي التأثير المطلوب، لكننا سوف نجعل الرافع هو الأفقي أثناء الإقلاع ونريد أن نحسب زاوية الذيل الأفقي المناسبة لتعطي الأثر المطلوب، أي سيكون الوضع :



أول شيء يجب حساب القوة التي يتعرض لها الذيل، بالرجوع للفصل السابق نستطيع أن نضع الأبعاد التالية على الرسم التالي:



وكي يكون هناك توازن يجب أن تكون العزوم حول مركز الجاذبية متعادلة ، أي :

$$0.05L = -0.55L_t$$

و L عند الوزن تساوي الوزن أي $70N$ ، لذا:

$$L_T = -\frac{0.05}{0.55} 70 = -6.36N$$

إذن الآن علينا البحث عن زاوية الذيل الأفقي التي ستعطينها هذا المقدار من الرفع السالب (أي للأسفل)، معادلة رفع الذيل لحالتنا هي :

$$L_T = \frac{1}{2} r U^2 S_T C_{L_a, T} \left(i_T + \Delta a_{T0} - \frac{\partial e}{\partial a} a_w \right)$$

حيث r هي كثافة الهواء وتساوي في الظروف العادية $1.225 \text{ Kg} / \text{m}^3$

U هي سرعة الطائرة عند الأقلع ، وهي 20 m/s

S_T مساحة الذيل الأفقي (بما فيه الرفع) ، وحسبناها في فصل 6 وكانت 0.152 m^2

$C_{L_a, T}$ مشتقة معامل الرفع وهي كما في فصل 5 :

$$C_{L_a, T} = \frac{2p \times A}{2 + \sqrt{4 + A^2}} \frac{1}{57.3} (^{\circ-1})$$

والنسبة الباعية A للذيل قلنا في فصل 6 أنها تساوي 5 . إذن لدينا:

$$C_{L_a, T} = \frac{2p \times 5}{2 + \sqrt{4 + 5^2}} \frac{1}{57.3} (^{\circ-1}) = 0.074^{\circ-1}$$

i_T هي زاوية ميل الذيل عن الأفقي (أي التي نريد حسابها)

Δa_{T0} ناتجة من تأثير اختلاف ميل الرفع عن ميل باقي الذيل الأفقي (التحذب)

$-\frac{\partial e}{\partial a} a_w$ ناتجة من تأثير الجناح على اتجاه الرياح الساقطة على الذيل (الاجتراف السفلي).

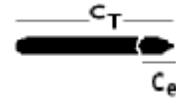
لن ندخل في تفاصيل آخر حدين، لكن بالاستعانة بـ"كتاب Raymer صفحة 423-425¹" نجد

أن $-\frac{\partial e}{\partial a} a_w$ لحالتنا تساوي:

$$-\frac{\partial e}{\partial a} a_w = -0.5 \times 8^{\circ} = -4^{\circ}$$

أما Δa_{T0} : فلو أخذنا طول الرفع مساوي تقريباً لـ 0.1 من طول وتر الذيل الأفقي ، أعني

$0.1 \sim c_e / c_T$ في الرسم التالي :



ولو افترضنا أن زاوية الذيل ستكون أقل من 10° ، عندها بالرجوع إلى "كتاب Raymer

صفحة 418-422² ، نجد أن $\Delta a_{T0} = -0.5 i_T$ ، إذن تصبح معادلة رفع الذيل:

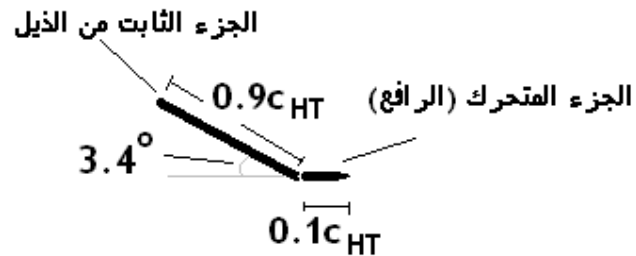
¹ انظر المراجع
² انظر المراجع

$$-6.36 = \frac{1}{2}(1.225)(20)^2(0.152)(0.074)(i_T - 0.5i_T - 4^\circ)$$

إذن:

$$i_T = 3.4$$

يعني الذيل سيصبح كالتالي:



الأصل أن يكون هذا الوضع مناسب لأن تقلع الطائرة أفقياً، لكن عند التجربة قد نجد وضع أفضل من هذا ، فهذا تصميم مفاهيمي وليس نهائي وهو قابل للتعديل. بعد الطيران تصوير مهمة الرافع هي التحكم في ارتفاع الطائرة وفي ميلها. ويتم تحريكه بواسطة محرك كهربائي صغير اسمه servo . ويتم التحكم فيه عن بعد في طائرتنا، لكن هذه التفاصيل خارج نطاق التصميم المفاهيمي.

مراجع

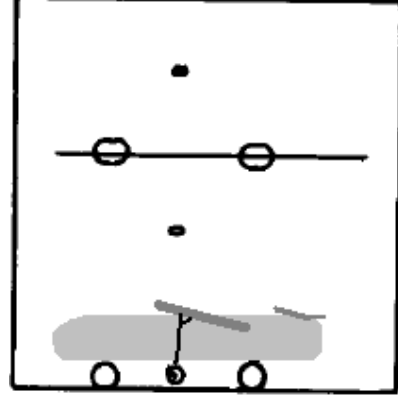
Raymer, “Aircraft Design: A Coceptual Approach” , 1989 , Ch 14

بسم الله الرحمن الرحيم

10

العجلات

الآن يأتي دور العجلات ، ولن نتوسع في موضوعها فقط سنحدد شكل العجلات التي نرغب بها وسنختار الشكل يشبه هذا:



عجل في المقدمة وعجل في المؤخرة ، وعجلين أصغر حجما مثبتين على الجناح (يمين ويسار الطائرة). وطائرتنا أفقي كما سبق وقلنا.

للاستزادة انظر الفصل الحادي عشر من

Raymer, "Aircraft Design: A Coceptual Approach" , 1989 , Ch11

بسم الله الرحمن الرحيم

11

زمن الطيران

من الصعب تحديد زمن الطيران، خصوصا أن الاحتكاك الناتج عن العجلات لا أعرفه، لكن لو كان زمن الطيران مجرد 10 ثواني فما المشكلة (والمدى 200 متر)! المهم أن تطير الطائرة، ثم يأتي التطوير والتعديل. بل حتى لو كان زمن الطيران قليل فيمكن زيادته بطريقة سبق أن أشرنا إليها في فصل "تصميم المحرك"، أعني إضافة محرك صاروخي ثاني ضعيف الدفع طويل مدة الاحتراق. لكن هذا الكلام سابق لأوانه، المهم الآن أن نضمن أن تطير الطائرة، وإن لم تطر يجب أن نبحث عن الحلول، ثم يأتي دور التحسينات مثل زيادة زمن الطيران.

بسم الله الرحمن الرحيم

خاتمة

انتهى الكتاب والتصميم، وأعيد وأبين أن هذا تصميم مفاهيمي وليس نهائي، ويحتاج إلى تعديل ، والتعديل يتم بدراسة أوسع للتفاصيل ، وبالتجارب، ففشل إحدى التجارب ليس بالأمر المستبعد ، لكن المهم أن نعرف ماذا نعدل على التصميم بعد كل تجربة. ولا أستطيع أن أعطي حلول قبل أن أعرف ما هي المشاكل . فمن جرب صناعة هذا التصميم أتمنى أن يعطيني نتائج تجاربه حتى يتم تطوير التصميم وتعديله.

ملاحظة : لا بأس في التجارب الأولى من الاستغناء عن محرك الرافع وتثبيت الرافع إن كان هناك ضرورة لذلك (كعدم توفر جهاز تحكم عن بعد)، لكن للعلم أتوقع أن يكون مسار الطيران عندها كالتالي:



واحتمال كبير أن تسقط الطائرة، فإن حصل هذا تكون الطائرة قد نجحت في الاختبار الأول!!!! ويبقى اعادة التجربة مع وجود محرك كهربائي يحرك الرافع وفق الأوامر الواصلة بواسطة جهاز التحكم عن بعد .

ما أقصده من هذه الملاحظة أنه لا داعي لانتظار الحصول على جهاز تحكم عن بعد ومحرك كهربائي للرافع، بل يمكن البدء بالتجارب قبل توفرهما. أيضا هذا سيوفر علينا بعض المال إن تحطمت الطائرة.

بالتوفيق إن شاء الله

مفتاحي العام الثاني لبرنامج اسرار المجاهدين النسخة الثانية:

#---Begin Al-Ekhlaas Network ASRAR El Moujahedeen V2.0 Public
Key 2048 bit---
pyHAf8xhSSD1F4oni8BCcTFtcU+Ab2H31KoW+zxRoPHBmEj9Lf
CyfQL6RZM8NtkMcBrS/hKaZ11EQ6Es6J37eA1VsG19HBwPj9dl
9IUCbJ15KJYt5DLNn/iZj5EcMMPpSxtgSFwngxGjeJAJ1XCGs
uzNPmjrmgE/guFUIHC0Ncr+z94iJov5SYCfxZ46Tc2ZR1yTO1M
exblu6qD9+gv0Q8x0Box9wkiXgAXS9e+qQUuvjS7NG+epcXKkj
p1ua1C9Q8Kjzfb7To6bwBN4XNYm0BAyPwTvLBUURojCZd2yMy
QiVi6lHeXoBZAqsl9xrFGCnf0Ybcf2/5iDe87IGMNIKPGDWk2X
U73juuxdTYYJxTgS1tWazLsHVNByE3eLPp9whZb4NUhAgKjjQ
kgFxtMkfjCj3RcPFe4bLiTJ98U+otTLCKRMt93L7b7owGpW1Fs
Ln4puIVaRB4BsJAcPcoWYLxw01GtpAMUdWSmdtPjmJ1rMURm6B
sSvrBEs5mEcp/ObOGsPpaYmzNJCGrey8JvnSyasPudKEi5+umk
sx

#---End Al-Ekhlaas Network ASRAR El Moujahedeen V2.0 Public Key
2048 bit---

بسم الله الرحمن الرحيم

تصميم طائرة ب-1

المهندس عبدالرحمن

مقدمة

هذا التصميم سيكون لطائرة براكب واحد سرعتها $100m/s$ وكتلتها $400Kg$ ، تعمل بواسطة محرك سيارة (Nissan) يستعمل لتدوير مروحة أمامية .

هذا التصميم سيكون مختصر جداً (بل ناقص!)، لكنه سيثبت إمكانية استخدام محرك سيارة لصناعة طائرة براكب واحد .

أما سبب عدم التفصيل في الكتاب فهو :

1 - انشغالي بترجمة المرجع الرئيسي للكتاب (وهو "Design of aircraft" ، Corke) ، فأنا أريد أن أنهى دورة هندسة الطيران ونشرها . أيضاً أريد أن أقرأ هذا الكتاب قراءة متأنية حتى أضع التصميم بصورة منضبطة أكثر .

2 - لا أملك معلومات عن أنواع المعادن المتوفرة، مثلاً أحتاج إلى قائمة بـ:

أ - سمك صفائح الألمنيوم (والمعدنية عموماً) المتوفرة، وكثافتها واجهاد المطاوعة فيها S_y (أو الاجهاد النهائي S_{\parallel})

ب - أبعاد وسمك أعمدة الألمنيوم (والمعدنية عموماً وربما الخشبية من نوع Spruce) ، وكثافتها واجهاد المطاوعة فيها S_y (أو الاجهاد النهائي S_{\parallel})

3 - وأحتاج معلومات عن مواصفات المحركات المتوفرة مثل (hp ، rpm ، معدل استهلاك الوقود، الوزن ، القياسات).

تقدير وزن الطائرة:

بالنظر إلى التصميم العالمية نجد أن كتلة هذه الطائرة (مع الراكب والحمولة والوقود ...) قريبة من $400Kg$. أيضاً لا بد أن ننتبه إلى أننا سنضطر إلى تقليل الحمولة لأن محركنا أثقل من المستعمل عادة في الطائرات .

المحرك والمروحة

لنفرض أنه توفر لدينا محرك سيارة نيسان قدرته القصوى هي 66KW عند سرعة دوران مقدارها 5200 لفة في الدقيقة (أي Nissan 66KW @ 5200rpm) ، وكتلته هي 120Kg .

الآن نريد أن نرى هل بإمكاننا تصميم مروحة لهذا المحرك بحيث تعطي الدفع المعتاد لمثل هذا النوع من الطائرات أثناء الإقلاع (وهو حوالي أربع أعشار الوزن أن حوالي 1600N) .

بالرجوع إلى كتاب Corke نستطيع اشتقاق المعادلتين التاليتين.

$$D = \left(\frac{P}{r n^3 C_p} \right)^{0.2}$$
$$T = r n^2 D^4 C_T$$

حيث P هي قدرة المحرك، هي لمحركنا (66000W)

r هي كثافة الهواء وتساوي تقريباً 1.225

n عدد لفات المروحة بالثانية وهي (على فرض عدم استخدام صندوق مسننات لمحركنا)

تساوي 5200/60 (حيث 5200 أخذناها من مواصفات المحرك) إذن n=87

D هو قطر مروحة الطائرة، أعني :



C_p C_T عوامل تحدد شكل المروحة ونأخذها من الأشكال البيانية المتخصصة.

طريقة التصميم :

1 - نبحث في جداول مراوح الطائرات عن جدول بين C_p و C_T / C_p للدفع الاستاتي (انظر الجداول الموجودة في ملحق C من كتاب "Roskam; airplane aerodynamics & performance")

2 - نختار قيمة عشوائية لـ C_p ومن الجداول نوجد C_T / C_p المقابلة، ثم نحسب C_T

3 - نحسب D و T من المعادلتين:

$$D = \left(\frac{P}{r n^3 C_p} \right)^{0.2}$$

$$T = r n^2 D^4 C_T$$

4 - إذا كانت قيمة D الناتجة منطقية ، وقيمة T أكبر أو تساوي قيمة الدفع المطلوب نكون قد حصلنا على تصميم مقبول، فإن لم يتحقق ذلك نعيد من نقطة 2 لـ C_p جديدة إلى أن نصل إلى تصميم مقبول .

نحرب لمحركنا:

1 - نبحث في الجداول الطائرات ونختار الجدول التالي، وهو لمروحة بثلاث شفرات و حدود أخرى يحددها شكل الشفرات.

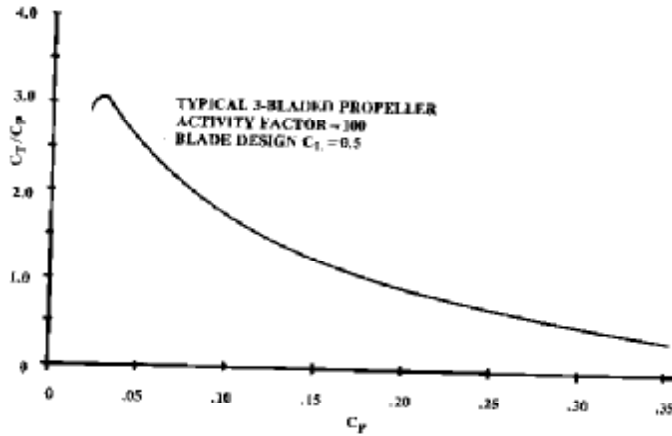


Fig. 13.8 Static propeller thrust. (after Ref. 50)

2 - نحرب C_p تساوي 0.1 ، من الشكل نحصل على $C_T / C_p = 1.8$ ، إذن $C_T = 0.18$

3 - نحسب

$$D = \left(\frac{P}{r n^3 C_p} \right)^{0.2} = \left(\frac{66000}{1.225 * 83^3 * 0.1} \right)^{0.2} = 0.99m$$

$$T = r n^2 D^4 C_T = 1.225 * 83^2 * 0.99^4 * 0.18 = 1448N$$

4 - نلاحظ أن D منطقية و $T=1448$ قريبة جدا من المطلوبة، $T=1600$ إذن نقبل بها أو نعيد للحصول على المطلوبة أو أعلى منها (وقد جربت ونجح)، لكن سوف أقبل بها .
ملاحظة: نفضل أيضا أن تكون سرعة طرف المروحة (pnD) مقسومة على سرعة الصوت أقل من 0.85 (وهذا متحقق في تصميمنا).

حساب الدفع الأقصى أثناء الطيران المطرد:

الدفع الأقصى أثناء الطيران المطرد سيكون أقل من الدفع الأقصى أثناء بداية الإقلاع، لذا يجب حسابه للتصميم الذي وضعناه كي نتأكد أن الطائرة قادرة على التغلب على مقاومة الهواء، ومقاومة الهواء تقدر أثناء الطيران المطرد بحوالي $W/12$ ، أي حوالي 333N في طائرتنا. إذن الآن يجب أن نرى هل مروحتنا ومحركنا قادران على انتاج 333N أثناء الطيران المطرد (أو أكثر).

بالرجوع لفصل 7 من Corke نرى أن ذلك يتم بالخطوات التالية:

1 - نحسب J من المعادلة:

$$J = \frac{V}{nD}$$

حيث V هي سرعة الطائرة.

2 - نرجع إلى الأشكال البيانية المتخصصة التي تعطي h_p تبعاً لقيمة J و C_p

3 - نحسب T بواسطة :

$$T = \frac{h_p P}{V}$$

نطبق لمحركنا:

1 -

$$J = \frac{V}{nD} = \frac{100}{83 * 0.99} = 1.22$$

2 - نرجع إلى الأشكال البيانية ونأخذ الشكل لنفس المروحة التي استخدمناها

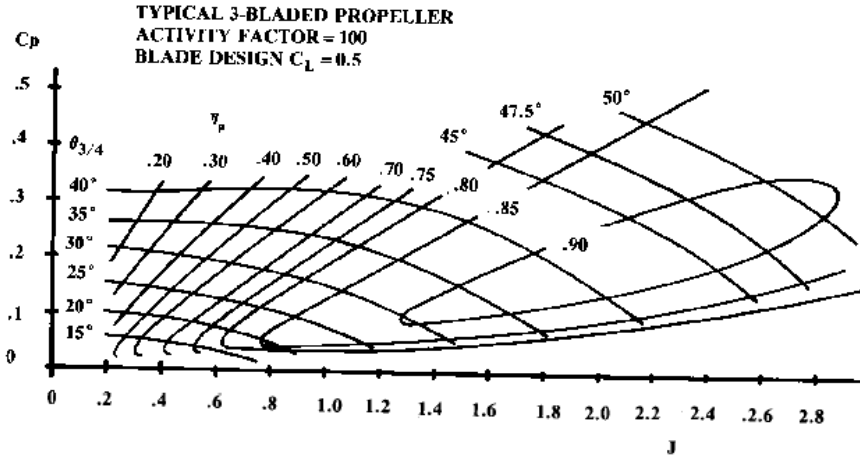


Fig. 13.9 Forward flight thrust and efficiency. (after Ref. 50)

حيث C_p حسبناها سابقا وكانت 0.1 ، و J حسبناها للتو وكانت 1.22 ، ومنها نجد أن

$$h_p \approx 0.87$$

3 - نحسب الدفع:

$$T = \frac{h_p P}{V} = \frac{0.87 * 66000}{100} = 748N$$

وهو أكبر من الدفع المطلوب 333 (يجب على الطيار أن يقلل البنزين الداخل للمحرك أثناء الطيران المطرد)، إذن التصميم نجح ، وأثبتنا إمكانية استخدام محرك سيارة لتطير طائرة براكب واحد بكتلة كلية مقدارها 400Kg .

الجناح

حسب فصل 3 من Corke فإن C_L أثناء الطيران المطرد لهذا النوع من الطائرات تقدر بـ 0.35 ، والنسبة الباعية تقدر بـ 6، إذن نقدر مساحة الجناح S وطول باعه b من المعادلة:

$$W = \frac{1}{2} \rho V^2 C_L S$$

$$\Rightarrow 4000 = \frac{1}{2} * 1.225 * 100^2 * 0.35 * S$$

$$\Rightarrow S = 1.85 m^2$$

$$b = \sqrt{AS} = \sqrt{6 * 1.85} = 3.34 m$$

والجناح يحوي جزء متحرك على طرفيه يسمى جنيحات ويستخدم لتدوير الطائرة حول

محورها الطولي ، أيضا يحوي أجزاء متحركة أخرى تسمى Flaps وظيفتها زيادة C_L

للجناح أثناء الاقلاع (والهبوط) إلى حوالي 1.9 لهذا النوع من الطائرات. (انظر الفصل 9

من كتاب Corke) .

نستطيع التفصيل أكثر في بنية الجناح والذيل الأفقي وبدن الطائرة، لكن بما أنه لا يوجد قائمة بالمواد المذكورة في المقدمة فلا داعي لهذا الآن.

انتهى

مفتاحي العام الثاني لبرنامج اسرار المجاهدين النسخة الثانية:

#---Begin Al-Ekhlaas Network ASRAR El Moujahedeen V2.0 Public
Key 2048 bit---
pyHAf8xhSSD1F4oni8BCcTFtcU+Ab2H31KoW+zxRoPHBmEj9Lf
CyfQL6RZM8NtkMcBrS/hKaZ11EQ6Es6J37eA1VsG19HBwPj9dl
9IUCbJ15KJYt5DLNn/iZj5EcMMPpSxtgSFwngxGjeJAJ1XCGs
uzNPmjrmgE/guFUIHC0Ncr+z94iJov5SYCfxZ46Tc2ZR1yTO1M
exblu6qD9+gv0Q8x0Box9wkiXgAXS9e+qQUuvjS7NG+epcXKkj
p1ua1C9Q8Kjzfb7To6bwBN4XNYm0BAyPwTvLBUURojCZd2yMy
QiVi6lHeXoBZAqsl9xrFGCnf0Ybcf2/5iDe87IGMNIKPGDWk2X
U73juuxdTtYYJxTgS1tWazLsHVNByE3eLPp9whZb4NUhAgKjjQ
kgFxtMkfjCj3RcPFe4bLiTJ98U+otTLCKRMt93L7b7owGpW1Fs
Ln4puIVaRB4BsJAcPcoWYLxw01GtpAMUdWSmdtPjmJ1rMURm6B
sSvrBEs5mEcp/ObOGsPpaYmzNJCGrey8JvnSyasPudKEi5+umk
sx

#---End Al-Ekhlaas Network ASRAR El Moujahedeen V2.0 Public Key
2048 bit---